

AZƏRBAYCAN RESPUBLİKASI TƏHSİL NAZIRLIYI
BAKİ DÖVLƏT UNIVERSİTETİ

F.Ə.İmanov

**HİDROMETEOROLOGİYADA
STATİSTİK METODLAR**

Azərbaycan Respublikası Təhsil Nazirliyinin 2011-ci il 04 iyul tarixli 1159 nömrəli əmri ilə dərslik təsdiq edilmişdir

BAKİ-2011

Rəyçilər:

551.5
i 40

Q.İ.Calalov, AMEA-nın müxbir üzvü, texnika elmləri doktoru, professor (AMEA-nın Geologiya İnstitutu)

R.H.Verdiyev, coğrafiya elmləri namizədi (Eko- logiya və Təbii Sərvətlər Nazirliyi Hidrometeorolojiya İnstitutu)

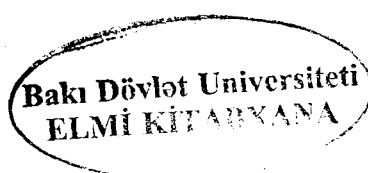
F.H.Rəhimov, fizika-riyaziyyat elmləri doktoru, professor (BDU, Ehtimal nəzəriyyəsi və riyazi statistika kafedrası)

İmanov Fərda. Hidrometeorologiyada statistik metodlar.
Bakı, 2011, 272 s.

Dərslikdə beynəlxalq təcrübə nəzərə alınmaqla statistik metodların hidrometeorologiyada tətbiqi tarixi, ehtimal nəzəriyyəsi və riyazi statistika haqqında ümumi məlumat, əsas analitik paylanma funksiyalarının tipləri və onların parametrlərinin təyini metodları, statistik meyarlar və asılılıqlar, xətti korrelyasiya, hidrometeoroloji sıraların riyazi modelləşdirilmə metodları haqqında məlumat verilmişdir.

Dərslik Bakı Dövlət Universitetinin coğrafiya fakültəsində hidrometeorologiya ixtisası üzrə təhsil alan tələbələr üçün nəzərdə tutulsa da, müvafiq ixtisaslı magistrant, doktorant və mühəndislər üçün də faydalı ola bilər.

ISBN: 978-9952-29-048-6



© F.Ə.İmanov

Mündəricat

| | |
|--|-----|
| Giriş | 6 |
| 1. Statistik metodlarının hidrometeorologiyada tətbiqinin qısa tarixi | 8 |
| 2. Ehtimal nəzəriyyəsi və riyazi statistika haqqında ümumi məlumat | 17 |
| 2.1. Ehtimal nəzəriyyəsi və riyazi statistikanın hidrologiyada tətbiqinin möqsəd və vəzifələri | 17 |
| 2.2. Təsadüfi kəmiyyətlər | 20 |
| 2.3. Paylanma funksiyalarının ümumi səciyyəsi | 21 |
| 2.4. Təsadüfi kəmiyyətlərin ədədi xarakteristikaları və onların xassələri | 30 |
| 2.4.1. Ədədi orta, riyazi gözləmə, mediana və moda | 30 |
| 2.4.2. Təsadüfi kəmiyyətin momentləri | 35 |
| 2.4.3. Dispersiya, orta kvadratik meyletmə və variasiya əmsalı | 36 |
| 2.4.4. Asimmetriya və ekses | 39 |
| 2.4.5. Normallaşdırılmış təsadüfi kəmiyyətlər və paylanma kvantilləri | 42 |
| 3. Empirik təminat əyriləri və analitik paylanma funksiyaları | 47 |
| 3.1. Empirik təminat əyriləri | 47 |
| 3.2. Hidrometeorologiyada istifadə olunan analitik paylanma funksiyaları | 58 |
| 3.2.1. Normal paylanma | 58 |
| 3.2.2. Loqarifmik-normal paylanma | 63 |
| 3.2.3. Binomial paylanma | 68 |
| 3.2.4. Puasson paylanması | 70 |
| 3.2.5. Pirsonun III tip paylanması | 73 |
| 3.2.6. Kritski-Menkel paylanması | 79 |
| 3.2.7. Ekstremal-kəmiyyət paylanması | 82 |
| 3.2.8. Qumbel paylanması | 83 |
| 3.2.9. Veybul paylanması | 90 |
| 3.2.10. GEV paylanma | 93 |
| 3.2.11. Conson paylanması | 96 |
| 4. Paylanma əyrilərinin parametrlərinin qiymətləndirilmə metodları | 99 |
| 4.1. Momentlər metodu | 99 |
| 4.2. Ən çox həqiqətəbənzər metod | 104 |

| | |
|---|------------|
| 4.3. L-momentlər metodu | 106 |
| 4.4. Kvantillər metodu | 110 |
| 4.5. Qrafik metod | 118 |
| —4.6. Paylanmanın seçmə parametrlərinin xətalarının qiymətləndirilməsi | 119 |
| 5. Parametrlərin intervallar üzrə qiymətləndirilməsi və statistik hipotezlərin yoxlanması | 124 |
| 5.1. Paylanma parametrlərinin intervallar üzrə qiymətləndirilməsi ... | 124 |
| 5.1.1. Riyazi gözləmənin interval qiyməti | 126 |
| 5.1.2. Dispersiyanın interval qiyməti | 127 |
| —5.2. Statistik hipotez və meyarlar | 131 |
| —5.3. Hidrometeoroloji sıraların bircinsliyinin qiymətləndirilməsi | 136 |
| —5.3.1. Styudent meyari | 137 |
| —5.3.2. Fışer meyari | 139 |
| 5.3.3. Uilkokson-Mann-Uitni meyari | 141 |
| 5.3.4. Zigel-Tüki meyari | 144 |
| 5.4. Sıraların təsadüfiliyinin qiymətləndirilməsi | 146 |
| 5.4.1. Seriyalar meyarları | 147 |
| 5.4.2. Artma və azalmaların sayı meyari | 150 |
| 5.4.3. Ekstremumların sayı meyari | 152 |
| —5.5. Empirik və analitik təminat əyrilərinin uyğunluğunun yoxlanması | 153 |
| 5.5.1. χ^2 (Pirson) meyari | 153 |
| 5.5.2. Kolmoqorov meyari | 160 |
| 5.5.3. $n\omega^2$ (Kramer-Mizes-Smirnov) meyari | 163 |
| —6. Hidrometeorologiyada statistik asılılıqlar və xətti korrelyasiya | 167 |
| 6.1. Funksional və stoxastik əlaqələr | 167 |
| 6.2. Ən kiçik kvadratlar metodu | 170 |
| 6.3. İki dəyişən kəmiyyət üçün xətti regressiya tənliyi | 171 |
| 6.4. Qeyri-xətti asılılıqların düzləndirilməsi | 176 |
| —6.5. İki dəyişən kəmiyyət üçün xətti regressiya tənliyinin dəqiqliyinin qiymətləndirilməsi | 180 |
| —6.6. Xətti regressiya tənliyi parametrlərinin etibarlılıq intervalı və əhəmiyyətlilik səviyyəsinin qiymətləndirilməsi | 185 |
| 6.6.1. Cüt korrelyasiya əmsalının etibarlılıq intervalı | 185 |
| 6.6.2. Spirmenin ranq korrelyasiya əmsalı | 187 |

| | |
|--|------------|
| 6.6.3. Reqressiya əmsalinin etibarlılıq intervalı | 191 |
| 6.6.4. Sərbəst həddin interval üzrə qiymətləndirilməsi | 192 |
| —6.7. Xətti reqressiya tənliyinin etibarlılıq intervalı və əhəmiyyətliliyinin qiymətləndirilməsi | 193 |
| 6.8. Çoxhədli xətti korrelyasiya | 195 |
| —7. Hidrometeoroloji sıraların riyazi modelləşdirilməsi | 204 |
| —7.1. Sıraların təsadüfi kəmiyyət sxemi üzrə modelləşdirilməsi | 206 |
| 7.2. Sıraların sadə Markov zənciri sxemi üzrə modelləşdirilməsi | 212 |
| Ədəbiyyat | 216 |
| Əlavələr | 219 |
| 1. Pirsonun III tip analitik təminatlar əyrisinin normallaşdırılmış ordinatları | 220 |
| 2. Kritski-Menkelin təminatlar əyrisinin modul əmsalları ilə ifadə olunmuş ordinatları (üçparametrlı qamma paylanması) | 222 |
| 3. H – paylanması (A.V.Yejovun) təminatlar əyrisinin modul əmsalları ilə ifadə olunmuş ordinatları | 233 |
| 4. χ^2 paylanması | 236 |
| 5. Styudent paylanması | 237 |
| 6. F – paylanması (Fişer paylanması) | 239 |
| 7. Kolmoqorov paylanması | 245 |
| 8. $y=f(z)$ asılılığı üçün yanlış korrelyasiya effekti (Bensona görə) ... | 246 |
| 9. Ən çox həqiqətəbənzər metod ilə λ_2 statistikasından asılı olaraq variasiya əmsalını təyin etmək üçün cədvəl | 247 |
| 10. Dikson statistikasının böhran qiymətləri | 251 |
| 11. Smirnov-Qrabbs statistikasının böhran qiymətləri | 257 |
| 12. Standart normal əyri altındakı sahələr | 263 |
| 13. Kolmoqorov – Smirnov statistikasının böhran qiymətləri | 267 |
| 14. Qamma funksiyası | 268 |
| 15. Korrelyasiya əmsalinin böhran qiymətləri | 269 |

GİRİŞ

Hidrometeoroloji hadisələr və onların kəmiyyət göstəriciləri çoxsaylı amillərin təsirinin nəticəsidir və hər bir amilin təsirini ayrıraqda nəzərə almaq demək olar ki, qeyri-mümkündür. Buna görə də hidrometeoroloji xarakteristikalara təsadüfi kəmiyyət kimi baxılır və onları təyin etmək üçün ehtimal nəzəriyyəsi və riyazi statistikanın metodlarından geniş istifadə olunur. Hazırda mövcud müşahidə məlumatlarının statistik metodlarla işlənməsi tətbiqi hidrometeorologiyanın mühüm tərkib hissəsidir. Riyazi statistika və ehtimal nəzəriyyəsinin metodları meteoroloji və hidroloji hesablamalarda, meteoroloji və hidroloji proqnozların tərtibində, ekoloji monitoring prosesində geniş istifadə olunur.

Dərslik 7 fəsildən ibarətdir. Bu fəsillərdə müvafiq olaraq statistik metodların hidrometeorologiyada tətbiqi tarixi, ehtimal nəzəriyyəsi və riyazi statistika haqqında ümumi məlumat, əsas analitik paylanması funksiyalarının tipləri və onların parametrlərinin təyini metodları, statistik meyarlar və asılılıqlar, xətti korrelyasiya, hidrometeoroloji sıraların riyazi modelləşdirilmə metodları haqqında məlumat verilmişdir.

Dərslikdə nəzəri materialla yanaşı statistik metodların konkret tətbiqinə aid çoxsaylı misallar da verilmişdir.

Əlavələrə geniş istifadə olunan əsas statistik cədvəllər daxil edilmişdir.

Qeyd etmək lazımdır ki, hazırda hidrometeorologiya ixtisası üzrə təhsil alan azərbaycanlı tələbələr və onların müəllimləri başlıca olaraq rus dilində çap olunmuş dərslik və elmi ədəbiyyatdan istifadə edirlər. Bu baxımdan, Qərb ölkələrində işlənmiş və orada hidrometeoroloji tədqiqatlarda istifadə olunan statistik metodlar ilə tanışlıq tələbələrin müxtəlif məktəblərin yanaşmalarını müqayisə etmələri üçün yaxşı imkandır.

Dərslik hazırlanarkən nəzərə alınmışdır ki, tələbələr ümumi meteorologiya, hidrologiya, ehtimal nəzəriyyəsi və riyazi statistikanın fundamental kursları ilə artıq tanışdırılar.

Dərsliyin bakalavriat pilləsində təhsil alan hidrometeoroloq

tələbələr üçün nəzərdə tutulmasına baxmayaraq, o, magistrantlar, doktorantlar, mühəndis hidrometeoroloqlar və elmi işçilər üçün də faydalı ola bilər.

Müəllif dərsliyin əlyazmasının çapa hazırlanmasında göstərdikləri texniki köməyə görə A.A.Quliyevaya, A.A.Nuriyevə və P.B.Sultanovaya öz minnətdarlığını bildirir.

1. STATİSTİK METODLARIN HİDROMETEOROLOGİYADA TƏTBİQİNİN QISA TARİXİ

Hidrometeoroloji müşahidə məlumatlarının işlənilməsində statistik metodların tətbiqi ilk ümumi lesdirmələrin yerinə yetirilməsi ilə əlaqədardır. Əvvəller hidrometeoroloji kəmiyyətləri xarakterizə etmək üçün statistik sıraların ən sadə parametrlərindən (orta kəmiyyət, mediana, amplitud) və s.) istifadə edilirdi. Həmin dövrdə atmosfer yağışları, havanın temperaturu, suyun səviyyəsi və sərfərinin empirik davamiyyət əyriləri də qurulurdu. Bəzən korrelyasiyon analizdən istifadə olunurdu.

Ehtimal nəzəriyyəsi və riyazi statistikanın hidrometeorologiyada geniş tətbiqi XX əsrin əvvəllərinə təsadüf edir. İlk dəfə A.Hazen (Hazen, 1914; 1917) çay axımının çoxillik tərəddüdlərinin statistik qanuna uyğunluqlarını təhlil etmək üçün ehtimal nəzəriyyəsini tətbiq etmişdir.

A.Hazen çay axımı sırasının statistik paylanması təsvir etmək üçün Qaus əyrisindən istifadə etmişdir. Məlumudur ki, bu əyri simmetrikdir və dəyişən kəmiyyətlər $-\infty$ və $+\infty$ arasında qiymətlər ala bilər. Qaus əyrisinin iki parametri var - dəyişən kəmiyyətin orta qiyməti və orta kvadratik meyletməsi.

O, empirik təminatı təyin etmək üçün düstur da təklif etmişdir (bax 3-cü fəslə).

İlk dəfə Hazen empirik təminat əyrilərini aproksimasiya və ekstrapolyasiya etmək üçün ehtimallar daması qurmuşdur. Bu ehtimallar damasında normal paylanma əyrisi (Qaus əyrisi) düz xətt forması alır. Hazırda əksər meteoroloji elementlərin təminatlı qiymətlərinin hesablanmasında Qaus əyrisindən istifadə olunur.

Statistik metodların tətbiqində növbəti mühüm mərhələ A.Fosterin (Foster, 1923; 1924) adı ilə bağlıdır. O, göstərdi ki, bir çox meteoroloji elementlərin müşahidə sıralarından fərqli olaraq su sərfi sıraları simmetrik deyil. Buna görə də o, su sərfərinin təminatlı qiymətlərini hesablamaq üçün Pirsonun III tip asimetrik əyrisindən istifadənin məqsədə uyğun olduğunu əsaslandırdı.

Məlumdur ki, Qaus əyrisinin ordinatları mənfi qiymətlər də ala bilər. Bu isə axım hadisəsinin mahiyyətinə ziddir. Belə ki, su sərfləri yahniz sıfıra bərabər və ya müsbət qiymətlər ala bilər. Pirsonun III tip əyrisinin ordinatları isə paylanma parameitrlərinin müəyyən qiymətlərində yahniz müsbət qiymətlər alır və bu da onun əsas üstünlüklerindən biridir.

Pirsonun III tip əyrisindən geniş istifadə mümkün olsun deyə, Foster xüsusi cədvəl hazırlamışdır. Hidrometeoroloji müşahidə sırasının əsas parametrlərinə (orta kəmiyyət, variasiya və asimmetriya əmsalları) görə bu cədvəldən əyrinin dayaq ordinatlarını (kvantillərini) təyin etmək və onu qurmaq olar.

Fosterin cədvəlini sonradan S.İ.Ribkin (Рыбкин, 1938) dəqiqləşdirmişdir və indi bu cədvəl Foster-Ribkin cədvəli adlanır.

Keçmiş SSRİ-də ehtimal nəzəriyyəsi və riyazi statistika aparatının hidrologiyada ilk dəfə D.L.Sokolovski (Соколовский, 1930) istifadə etmişdir. O, SSRİ-nin Avropa hissəsi çaylarının illik axımının təminatlı qiymətlərini təyin etmək üçün Fosterin hesablama sxemini tətbiq etmişdir. Sokolovski ilk dəfə göstərdi ki, bu sxem müşahidə məlumatları olmayan çaylar üçün də istifadə oluna bilər. O, müşahidə məlumatları olmayan çayların illik axımının variasiya əmsalını hesablamaq üçün empirik düstur təklif etdi.

Yuxarıda qeyd olunduğu kimi, təminat əyrisini qurmaq üçün sıranın üç parametri məlum olmalıdır. Müşahidə məlumatları olduqda bu parametrlər mövcud metodlardan birinə görə hesablanır. Lakin müşahidə məlumatları olmadıqda parametrlərin hər biri ayrılıqda dolayı yolla təyin olunmalıdır. Öyrənilməmiş çayların axım normasını, \bar{Q} və ya \bar{q} , təyin etmək üçün D.İ.Koçerin (Кочерин, 1927), variasiya əmsalını, C_v , qiymətləndirmək üçün isə Sokolovski üsul işləmişlər. Üçüncü parametri-asimetriya əmsalını, C_s , hətta mövcud uzun müşahidə sıralarına görə dəqiq təyin etmək qeyri-mümkündür. Buna görə də illik axımı hesablamaq üçün $C_s = 2C_v$ nisbəti qəbul olunurdu. Belə ki, $C_s = 2C_v$ olduqda baxılan hidrometeoroloji kəmiyyətin təminatlı

qiymətləri heç vaxt mənfi qiymət almır.

Sonrakı illerdə Pirsonun III tip əyrisi digər axım xarakteristikalarının təminatlı qiymətlərinin hesablanmasında da istifadə olunmağa başlandı.

Bu əyridən hidrometeorologiyada geniş istifadə edilməsinə baxmayaraq, onun mühüm çatışmazlığı da müəyyən olmuşdu: $C_s < 2C_v$, olduqda baxılan kəmiyyətlərin (atmosfer yağışları, su sərfəri və s.) böyük təminatlı qiymətləri mənfi alınırdı.

Bu çatışmazlığı aradan qaldırmaq üçün ilk cəhdi Q.H.Brovkoviç (Бровкович, 1941; 1946) etmişdir. O, $0 < x < \infty$ intervalında dəyişən kəmiyyətin ehtimallarının paylanması funksiyasını Lagerinin polinomları üzrə sıraya ayırma şəklində ifadə etdi. Sonralar Brovkoviçin bu yanaşmasını M.A.Velikanov inkişaf etdirməyə çalışmışdır. Lakin G.A.Alekseyev göstərdi ki, Velikanovun təklifləri Pirsonun III tip əyrisinin qeyd olunan çatışmazlığını aradan tam götürmür.

Baxılan problemin həllinə S.N.Kritski və M.F.Menkel (Крицкий, Менкель, 1946) nail oldular. Onlar ilkin dəyişən X kəmiyyətini başqa Z kəmiyyəti ilə əvəz etdilər: $Z = ax^b$, burada a və b ilkin X kəmiyyətinin empirik sırasının variasiya və asimmetriya əmsallarından asılı olan parametrləridir.

Pirsonun III tip əyrisi əsasında alınan bu əyrlər praktikada Kritski-Menkelin üç parametrlı qamma-paylanması adı altında tanınır. Bu ad A.V.Rojdestvenski və A.I.Çebootaryovun fikirlərinə görə o qədər də dəqiq deyil, çünkü Pirsonun III tip əyrisi də ümumi halda üç parametrlə ifadə olunan qamma-paylanmadır.

Kritski-Menkel əyrləri universal xarakter daşıyır. Onlar keçmiş SSRİ və indi MDB məkanında ən geniş istifadə olunan əyrlərdir. Rusiya Federasiyasında qüvvədə olan normativ sənəddə də bu əyridən istifadə nəzərdə tutulur. Eyni zamanda hidrometeoroloji kəmiyyətlərin müşahidə sıralarının səciyyəvi xüsusiyyətlərini nəzərə alan yeni sxemlərin işlənməsi istiqamətində də tədqiqatlar davam etdirilirdi. Məsələn, M.V.Myalkovski (Мялковский, 1937) normal paylanması qanununu Qramm-Şarlye sırasına

ayırmaqla transformasiya etmiş və Şarlye paylanması almışdır. Lakin bu əyridən praktikada istifadə olunmur, çünkü onun ordinatlarını təyin etmək üçün asimetriya və ekses əmsalları hesablanmalıdır və məlumdur ki, qısa empirik sıralar üçün onların qiymətləndirilmə dəqiqliyi çox aşağıdır.

Normal qanunun loqarifmik çevirmələri də məlumdur və bunnların nəticəsində loqarifmik-normal (loq-normal) paylanması alınır. Bu çevirmələr iki yolla yerinə yetirilir. Birinci halda normal qanunun tənliyində X dəyişəni $\lg X$ ilə əvəz olunur. Alınan loq-normal paylanması asimetrik olur, paylanması sıfırdan başlayır və yuxarıdan məhdudlanmır. İkinci halda ilkin müşahidə sırasının X elementləri $\lg X$ ilə əvəzlənir. Bu zaman baxılan kəmiyyətin dəyişmə intervalı ($0 \leq X < \infty$) genişlənir ($-\infty < \lg X < \infty$), sira simmetrikləşir və onu normal paylanması qanunu ilə təsvir etmək mümkün olur.

Loqarifmik çevirmələrlə bağlı ilk tədqiqatları danimarkalı riyaziyyatçı A.Fişer yerinə yetirmişdir. Hidrologiyada isə ilk dəfə loq-normal paylanması J.Sleyd (Slade, 1937) tətbiq etmişdir. ABŞ-da Berdon və Kumperon, keçmiş SSRİ-də Y.Q.Bloxinov bu paylanması yağış daşqınlarının maksimal su sərfərinin təminatlı qiymətlərinin hesablanmasında istifadə etmişlər.

A.V.Rojdestvenski və A.İ.Çebotaryov qeyd edirlər ki, hidrometeorologiyada dəyişən kəmiyyətin loqarifmik çevirməsini yuxarıda adları çəkilən alımlardan daha əvvəl S.İ.Ribkin yerinə yetirmişdir. Lakin o, loq-normal paylanmasıdan yox, Pirsonun II tip paylanmasından istifadə etmişdir.

Ümumiyyətlə, K.Pirson (Pearson, 1930) 13 tip paylanması (normal paylanması da daxil olmaqla) təklif etmişdir. Lakin bu əyrlərin əksəriyyəti hidrometeoroloji kəmiyyətlər üçün səciyyəvi olan $0 \leq X < \infty$ intervalından kənara çıxdığına görə, praktikada yalnız III tip əyridən geniş istifadə olunur.

R.D.Qudriç (Goodrich, 1927) atmosfer yağıntıları və çay axımının çoxillik tərəddüdlərini təsvir etmək üçün paylanması təklif etmişdir. Lakin bu paylanmasıın Pirsonun III tip və Kritskii-

Menkelin əyriləri ilə müqayisədə aşkar üstünlükləri olmadığına görə o, praktikada geniş istifadə olunmur.

Eyni sözləri Conson paylanması haqqında da demək olar. Bu paylanması həm aşağıdan, həm də yuxarıdan məhdudlanır. Lakin dəyişən kəmiyyətin maksimal və minimal qiymətlərinin təyini subyektiv xarakter daşıyır. Bu paylanmasıın imkanlarını Q.Q.Svanidze və Q.L.Qriqoliya geniş təhlil etmişlər (Сванидзе, Григолия, 1973).

Ekstremal hidrometeoroloji kəmiyyətlərin təminatlı qiymətlərinin hesablanmasında Qumbel (Gumbel, 1935) paylanmasından (I tip ekstremal-kəmiyyət paylanması) geniş istifadə edilir. Qərb ölkələrində minimal su sərflərinin tədqiqində Veybul (Weibull, 1939) paylanması da tətbiq olunur. Bu paylanmasıın başqa adı III tip ekstremal-kəmiyyət paylanmasıdır.

Ekstremal-kəmiyyət paylanmasıın üç tipi məlumdur (Fisher and Tippett, 1928). Keçmiş SSRİ-də bunlardan yalnız Qumbel paylanmasından bəzi hallarda istifadə olunurdu.

Meteoroloji məlumatların maksimal qiymətlərinin çoxillik tərəddüdlərini təsvir etmək üçün GEV (general extreme-value) paylanması təklif olunmuşdur (Jenkinson, 1955). Bu paylanması digər hidrometeoroloji xarakteristikaların (yağış layı, küləyin sürəti, dalğa hündürlüyü, daşqın sərfləri və s.) maksimumlarının qiymətləndirilməsində tətbiq edilə bilər (Martins and Stedinger, 2000).

Yuxarıda adları çəkilən paylanmasıın hamısı kəsilməzdir. Diskret paylanması hidrometeorologiyada az hallarda istifadə olunur. Belə paylanması misal olaraq Puasson paylanmasıını göstərmək olar. Bu paylanması çaylarda quruma hadisəsinin, həmçinin yağışsız dövrlərin davamiyyətinin tədqiqində tətbiq olunur.

Müasir dövrdə işlənmiş paylanmasıardan A.V.Yeovun (Ежов, 1986) H-paylanması qeyd etmək olar. Bu paylanması funksiyası üçparametrlidir və arqument 0 ilə $+\infty$ arasında qiymətlər alır. H-paylanması üçün parametrlərin momentlər metodu və ən çox həqiqətbənzər metod ilə hesablanmış qiymətləri üst-üstə düşür.

Bu paylanması Rusiya Dövlət Hidrometeorologiya Universitetinin "Qurunun hidrologiyası" kafedrasında A.V.Sikan (Сикан,

2007) tərəfindən ətraflı təhlil olunmuşdur. Müəyyən edilmişdir ki, onun çatışmazlığı paylanmasıın əsas parametrlərə çox sərt məhdudiyyətlər qoymasıdır. Həmçinin H-paylanmasıın real istifadə olunan ordinatları Kritski-Menkel əyrilərinin müvafiq ordinatlarından çox cüzi fərqlənir.

Hidrometeoroloji müşahidə sıraları adətən qısa olduqlarına görə empirik təminat əyriləri analitik təminat əyriləri (paylanması funksiyaları) ilə hər iki tərəfə-həm mümkün ən kiçik, həm də ən böyük qiymətlər zonalarına ekstrapolyasiya olunur. Yalnız bu yolla nadir təkrarlanmaya malik hidrometeoroloji xarakteristikalar qiymətləndirilir.

Hələ 1930-cu ildə D.L.Sokolovski çay axımı sıraları misalında analitik və empirik təminat əyrilərinin uyğunluğunu qiymətləndirməyə çalışmışdı. Lakin həmin dövrdə mövcud müşahidə sıraları çox qısa olduğundan, onun yerinə yetirdiyi müqayisəli təhlilin nəticələri o qədər də etibarlı hesab oluna bilməzdi. Buna görə də 1941-ci ildə Q.N.Brovkoviç və Q.N.Velikanov qısa müşahidə sıralarını əhəmiyyətli dərəcədə uzatmaq üçün il-məntəqə metodunu təklif etdilər. Bu metodun mahiyyəti ondan ibarətdir ki, variasiya əmsalları bir-birindən az fərqlənən bir neçə su sərfi sırası vahid sıradə birləşdirilir və bu sıra üçün empirik təminat əyrisi qurulur. Sonra müvafiq analitik əri seçilir və hər iki əyrinin uyğunluğu təhlil olunur. Müəlliflər belə nəticəyə gəlmişlər ki, maksimal su sərfərinin təsadüfi tərəddüdlərinin qanuna uyğunluqlarını təsvir etmək üçün $C_s = 2C_v$ olduqda Pirsonun III tip əyrisindən istifadə edilə bilər.

Kritski və Menkel il-məntəqə metodu və statistik bircinslik meyarları ilə geniş tədqiqatlar apararaq göstərdilər ki, həm onların öz təminatlar əyrisi, həm də $C_s \geq 2C_v$ olduqda Pirsonun III tip əyrisi çay axımının çoxillik tərəddüdlərinin statistik qanuna uyğunluqlarını təsvir etmək üçün yararlıdır.

İl-məntəqə metodu atmosfer yağıntıları haqqında məlumatların işlənməsində də tətbiq olunmuşdur.

Q.P.Kalinin (Калинин, 1968) illik və maksimal axımın misa-

lunda hidrometeoroloji kəmiyyətlərin paylanmasıın yeni sxemini-ümumiləşdirilmiş empirik təminat əyriləri ordinatlarının cədvəlini tərtib etmişdir. Pirsonun III tip əyrisinin xüsusi hələ kimmi qiymətləndirilən bu cədvəllər bir daha həmin əyridən istifadənin mümkünlünü təsdiq etdi (Рождественский, Чеботарев, 1974).

Hazırda analitik və empirik təminat əyrilərinin uyğunluğunu qiymətləndirmək üçün xüsusi statistik meyarlar işlənmişdir. Hidrometeorologiyada daha çox χ^2 (Pirson), $n\omega^2$ (Kramer-Mizes-Smirnov) və Kolmoqorov meyarlarından istifadə olunur.

Müşahidə sıralarının bircinsliyi və təsadüfiliyini yoxlamaq üçün də statistik meyarlar işlənmişdir. Bu çox vacib məsələdir, çünki hidrometeoroloji kəmiyyətlərin çoxillik tərəddüdlərini təsvir etmək üçün model (təsadüfi kəmiyyət modeli, sadə Markov zənciri modeli və s.) məhz sıranın statistik strukturundan asılı olaraq seçilir. Bu məqsədlə parametrik və qeyri-parametrik meyarlardan istifadə olunur.

Hidrometeorologiyada, xüsusilə hidrologiyada daha geniş istifadə olunan Pirsonun III tip ərisi və Kritski-Mankel əyriləri üç parametrlidir. Bu parametri qiymətləndirmək üçün bir sıra metodlar işlənmişdir. Ən qədim və daha çox istifadə olunan metod momentlər metodudur.

1941-ci ildən başlayaraq hidroloji sıraların parametrlərini hesablaması üçün ən çox həqiqətəbənzər metoddan da istifadə olunur (Крицкий, Менкель, 1941). Bu metodun riyazi əsası ingiltərəli riyaziyyatçı R.Fisher tərəfindən işlənmişdir. Ən çox həqiqətəbənzər metodun hidroloji hesablamalarda tətbiqi imkanlarını Y.Q.Bloxinov (Блохинов, 1968) ətraflı tədqiq etmişdir.

1960-cı ildə G.A.Alekseyev daha bir metod (kvantillər və ya qraf-analitik metod) təklif etmişdir. Bu metod Pirsonun III tip əyrisi əsasında işlənmişdir və Qərb ölkələrində demək olar ki, istifadə edilmir.

Son dövrdə paylanma parametrlərini qiymətləndirmək üçün daha bir metod-L-metod işlənmişdir (Hosking, 1990; Hosking and Wallis, 1997; Chin, 2007). Bu metodun imkanlarını Hosking

ətraflı araşdırılmışdır. Hesab olunur ki, xüsusilə qısa sıralar üçün ($n=20$ il) L-metodun tətbiqi effektivdir. Kritski-Menkel əyrisinin parametrləri də bu metod ilə qiymətləndirilmiş və Hoskingin nəticələri təsdiqlənmişdir (Болгов, Осипова, 2000).

Tədqiqatlarda paylanması əyirlərinin seçmə parametrlərinin hesablanması dəqiqliyinin statistik qiymətləndirilməsinə da geniş yer verilir. Bu tipli ilk tədqiqatlarda yalnız normal paylanması parametrlərinin təsadüfi xətalarını qiymətləndirmək üçün asılılıqlar təklif olunurdu. 1946-cı ildə Kritski və Menkel $C_s = 2C_v$ olduqda binomial paylanması qanununun momentlər metodu ilə təyin olunmuş parametrlərinin təsadüfi xətalarını təyin etmək üçün riyazi ifadələr aldılar. 1968-ci ildə isə onlar Pirsonun III tip paylanmasıın ordinatları və variasiya əmsalının təsadüfi (standart) xətalarını hesablamak üçün düsturlar təklif etdilər.

Sonrakı illərdə bu istiqamət Monte-Karlo metodunun tətbiqi ilə inkişaf etdirilmişdir. Bu metodu amerikalı riyaziyyatçılar C.Neyman və S.Ulam təklif etmişlər. Mahiyyətcə Monte-Karlo metoduna oxşar yanaşma Xəzər dənizində səviyyənin illik gedişinin modelləşdirilməsində tətbiq olunmuşdur (Крицкий, Менкель, 1946). Hazırda Monte-Karlo metodу statistik sınalalar metodu da adlandırılır. Bu metodun hidrologiyada tətbiqinin metodik əsaslarını ilk dəfə Q.Q.Svanidze (Сванидзе, 1964) işləmişdir.

Paylanması funksiyalarının seçmə parametrlərinin təsadüfi xətalarını qiymətləndirmək üçün Y.Q.Bloxinov (Блохинов, 1966) və A.Ş.Reznikovski (Резниковский, 1967; 1969) də Monte-Karlo metodundan istifadə etmişlər. Bu icmalda təhlil olunan işlərin həmisi hədə hidrometeoroloji xarakteristikalara sərf təsadüfi kəmiyyətlər kimi baxılmışdır. Başqa sözlə, tədqiqatlarda istifadə edilən müşahidə sıralarında və ya modelləşdirilmiş sıralarda qonşu hədlər arasında hər hansı bir əlaqə (korrelyasiya) nəzərə alınmamışdır.

Əslində belə yanaşma tam əsaslandırılmış hesab oluna bilməz. Hələ 1936-cı ildə P.A.Yefimoviç (Ефимович, 1936) göstərmişdir ki, illik su sərflərinin statistik sıralarında qonşu hədlər arasında korrelyasiya var. Lakin bu heç də o demək deyil ki, belə sıralara

analitik təminat əyriləri tətbiq oluna bilməz. Belə hallarda axım xarakteristikasının çoxillik tərəddüdlərini təsvir etmək üçün sadə Markov zənciri modeli istifadə edilir (Крицкий, Менкель, 1959, 1964; Блохинов, 1968; Раткович, 1970; Сванидзе, 1973 və s.). Bu model tətbiq olunduqda variasiya və asimmetriya əmsallarının momentlər metodu ilə hesablanmış qiymətlərinə sıradaxılı korrelyasiya əmsalından asılı olaraq düzeliş edilir.

Y.M.Alyoxin (Алехин, 1963) axımın çoxillik tərəddüdlərinin tədqiqində mürəkkəb Markov zənciri modelindən istifadə etmişdir. Bu modelə görə sıradaxılı korrelyasiya yalnız qonşu hədlər arasında deyil, həm də çoxillik sıranın qalan hədləri arasında ($\tau \leq 30$ il) statistik baxımdan əhəmiyyətlidir. Bu tipli tədqiqatları hazırda V.A.Şelutko (Щелутко, 1984; 1991) davam etdirir.

Göründüyü kimi, bu qısa icmalda əsas diqqət təsadüfi kəmiyyətlərin paylanması funksiyalarına, onların parametrlərinin təyini metodlarına, bu parametrlərin təsadüfi xətalarının qiymətləndirilmə üsullarına və s. yetirilmişdir. Lakin hidrometeorologiyada statistik metodların tətbiq sahələri daha genişdir. Hidrometeoroloji kəmiyyətlər arasında statistik (korrelyasion) əlaqələr, stasionar və qeyri-stasionar proseslər, sinxronluq və sınfazlıq, müşahidə sıralarının spektral və avtokorrelyasiya funksiyaları, çoxillik tərəddüdlərinin məkan-zaman qanuna uyğunluqları, hipotezlərin (fərziyyələrin) statistik yoxlanması və s. də statistik metodlarla təhlil olunur.

Statistik metodların tətbiqinə həsr olunmuş fundamental monografiya və dərsliklərin müəllifləri xüsusi qeyd olunmalıdır: meteorologiya üzrə (Пановский, Брайер, 1967; Брукс, Каузерс, 1963; Гандин, 1963; Поляк, 1975; 1979; Исаев, 1988); hidrologiya üzrə (Рождественский, Чеботарев, 1974; Алексеев, 1971; Сванидзе, 1977; Щелутко, 1984; 1991; Chow, 1988; Chin, 2007), hidrometeorologiya üzrə (Сикан, 2007; Казакевич, 1977; Алексеев, 1975).

2. EHTİMAL NƏZƏRİYYƏSİ VƏ RİYAZİ STATİSTİKA HAQQINDA ÜMUMİ MƏLUMAT

2.1. Ehtimal nəzəriyyəsi və riyazi statistikanın hidrologiyada tətbiqinin məqsəd və vəzifələri

Hidrometeoroloji tədqiqatlar zamanı bir çox məsələlərin həllində ehtimal nəzəriyyəsi və riyazi statistik metodlardan istifadə olunur, çünki bir çox hallarda bu baxılan hadisəni kəmiyyətçə qiyamətləndirməyin yeganə yoludur. Bu, hidrometeoroloji proseslərə coxsayılı amillərin təsiri ilə əlaqədardır. Məlumdur ki, eksər hidrometeoroloji proseslər coxsayılı amillərin təsirinin nəticəsidir və baxılan hadisənin formallaşmasında hər bir amilin rolunu ayrıraqda nəzərə almaq qeyri-mümkündür. Belə hadisələrin riyazi təsviri yalnız statistik metodlarla mümkündür.

Məsələn, çayların minimal axımının əmələ gəlməsinə iqlim amilləri (atmosfer yağışları, havanın temperaturu, buxarlanması, havanın rütubət çatışmazlığı və s.), hövzənin geoloji quruluşu və hidrogeoloji xüsusiyyətləri, sutoplayıcının sahəsi və orta hündürlüyü, göllər, bataqlıqlar, buzlaqlar, antropogen amillər (su anbarları, kanallar, kollektorlar və s.) təsir göstərir.

Riyazi statistika, riyaziyyatın elmi və praktik nəticələr əldə etmək üçün statistik məlumatların riyazi metodlarla sistemləşdirilməsi, islənməsi və istifadəsinə həsr olunmuş bölməsidir.

Riyazi statistikanın fundamental anlayışları baş çoxluq və seçmədir.

Baş çoxluq təsadüfi kəmiyyətin bütün mümkün qiyamətlər coxluğudur. Baş çoxluqlar sonlu və sonsuz ola bilər. Əgər, baş çoxluğun qiyamətləri məlum dursa, onda bu qiyamətlərə görə təsadüfi kəmiyyətin ədədi xarakteristikaları (orta kəmiyyəti) və s.) və paylanma qanunu müşahidə məlumatlarının dəqiqliyinə bərabər dəqiqliklə təyin oluna bilər.

Xəzər dənizi yaranandan bugünə kimi onun səviyyələri haqqında məlumatlar olsaydı, onlar baş çoxluq əmələ getirərdi. Lakin hidrometeoroloji hadisələr üzərində müşahidə sıraları qıсадır.

Əgər, bu sıraların uzunluğunu (müşahidə illerinin sayını) n ilə işaretə etsək, onda həmişə $\frac{1}{n} < \infty$. Hidrometeoroloji müşahidə sıraları (küleyin sürəti, daşqının maksimal su sərfi, leysanın şiddətliyi və s.) baş çoxluğun cox qısa bir fragmentidir. Belə qısa sıralara ~~seçmə çoxluğu~~ və ya ~~elə seçim~~ deyilir.

Seçmənin elementlərinin (hadrlarının) sayı onun həcmindəndən adlanır.

Statistik metodların əsas vəzifəsi məhdud həcmli seçimə görə baş çoxluğun xüsusiyyətləri haqqında etibarlı nəticələr əldə edilməsinə nail olmaqdır. Bu isə seçimənin reprezentativliyindən, yəni onun baş çoxluğu nə dərəcədə təmsil etməsindən asılıdır. Məsələn, reprezentativ axım sırası ~~çoxsulu~~, azsulu və ortasulu illəri əhatə etməlidir.

Müasir dövrdə hidrometeoroloji kəmiyyətlərin hesabi qiymətlərinin təyini və proqnozunda müşahidə sıralarının statistik qanuna uyğunluqlarına əsaslanan metodlardan cox geniş istifadə olunur. Bu metodları korrekt tətbiq etmək üçün belə fərz edilir ki, baxılan kəmiyyətlərin zaman sıraları təsadüfi çoxluqlar kimi formalasdır. Başqa sözlə, hidrometeoroloji kəmiyyətlərə təsadüfi kəmiyyət kimi baxılır. Bu isə o deməkdir ki, təsadüfi kəmiyyətlərə xas olan tərəddüb qanuna uyğunluqları hidrometeoroloji kəmiyyətlərə də aid edilir və hidrometeoroloji kəmiyyətin zama-na bağlılığı elə bir əhəmiyyət kəsb etmir və təsadüfi xarakter daşıyır. Məsələn, qar örtüyünün qalınlığının, küleyin maksimal sürətinin və ya çayda maksimal su sərfinin hansı ildə müşahidə olunması ~~prinsipi~~ ~~sayılmır~~.

Hidrometeoroloji müşahidə sıralarına təsadüfi hadisələr çoxluğu kimi baxılmasının ~~nəzəri~~ əsasını ehtimal nəzəriyyəsinin ~~limit teoremləri~~ ~~təskil~~ edir. Bu teoremlərin fundamental müddəələrindən biri böyük ədədlər qanunu ilə ifadə olunur. Bu qanuna görə təsadüfi hadisələrin sayı cox böyük olduqda onların orta kəmiyyəti artıq təsadüfi olmur və böyük ehtimalla qiymətləndirilə və ya proqnozlaşdırıla bilər. Təsadüfi hadisələrin bu xüsusiyyəti hidrometeoroloji sıralarda aydın təzahür edir. Belə ki, müşahidə illerinin sayı artıqca, empirik təminat əyrisi daha dayanıqlı forma alır.

Daha bir müddəə mərkəzi limit teoremi ilə əlaqədardır. Bu teo-

remə görə çoxsaylı asılı olmayan (və ya zəif asılı olan) təsadüfi amillərin cəmi və ya hasilinin təsiri nəticəsində baş verən hadisələr müəyyən statistik qanunlara tabe olan təsadüfi çoxluq əmələ gətirir.

Aydındır ki, bir çox hidrometeoroloji hadisələr bu sxemə cavab verir.

Hidrometeoroloji tədqiqatlarda statistik metodlarının tətbiqinin özünəməxsus xüsusiyyətləri var.

Birinci xüsusiyyət ondan ibarətdir ki, adətən hidrometeoroloquñ ixtiyarında olan informasiyanın həcmi az olur və onu əhəmiyyətli dərəcədə artırmaq mümkün olmur. Buna görə də mövcud qısa sıraların statistik parametrlərinin təyini və onların təsadüfi xətalarının qiymətləndirilməsi, bu sıraların uzadılması, analitik paylanması funksiyasının seçilməsi xüsusi əhəmiyyət kəsb edir.

İkinci xüsusiyyət onunla əlaqədardır ki, bəzən müşahidə sıraları zamana görə və ərazi üzrə bircins olmur. Bu, baxılan hidrometeoroloji kəmiyyətin tərəddüdlərinin statistik təsvirini əhəmiyyətli dərəcədə çətinləşdirir. Belə ki, klassik statistik aparat bircins (stasionar) sıralar üçün işlənmişdir.

Sıraların bircinsliyinin pozulma səbəbləri obyektiv və subyektiv ola bilər. Subyektiv səbəblərə misal olaraq ölçmə işləri zamanı müşahidəçinin xətalarını göstərmək olar. Obyektiv səbəblərə isə iqlim tərəddüdlərinin regional təzahürləri, antropogen amillər (hidrotexniki qurğuların inşası, torpaqdan istifadə növünün dəyişdirilməsi, meşələrin qırılması və s.) aiddir. Bunları nəzərə alaraq, statistik hesablamalara başlamazdan əvvəl ilkin hidrometeoroloji informasiyanın bircinsliyi həm genetik (fiziki), həm də statistik nöqtəyi-nəzərdən qiymətləndirilməlidir.

Üçüncü xüsusiyyət ondan ibarətdir ki, müşahidə sıralarının qonşu hədləri arasında statistik baxımdan əhəmiyyətli korrelyasiyon əlaqə (avtokorrelyasiya) ola bilər. Məsələn, axarsız göllərin səviyyə sıraları, bəzi çayların illik və minimal su sərfəri sıraları buna misal ola bilər. Belə sıralara təsadüfi kəmiyyətlər çoxluğu kimi baxıla bilməz, çünki aytokorrelyasiyanın mövcudluğu ilkin müşahidə məlumatlarındakı asılı olmayan informasiyanın

həcmini azaldır. Nəzərə alsaq ki, hidrometeoroloji sıralar adətən qısa olur və asılı olmayan informasiyanın bir qədər də azalması seçmə parametrlərin dayanıqlığına mənfi təsir göstərir.

Beləliklə, hidrometeoroloji tədqiqatlarda riyazi statistikanın əsas vəzifələri aşağıdakılardır:

1. Müşahidə məlumatlarına görə əvvəlcədən məlum olmayan paylanma funksiyasının (analitik təminat əyrisinin) müəyyən olunması;
2. Paylanma funksiyasının parametrlərinin təyini;
3. Fərziyyələrin (bircinslik, təsadüfilik haqqında və s.) statistik yoxlanması.

2.2. Təsadüfi kəmiyyətlər

Qiyməti sınaqdan sınağa dəyişən kəmiyyət təsadüfi kəmiyyət adlanır. Tutaq ki, hər hansı bir meteoroloji müşahidə məntəqəsinin 20 il ərzində atmosfer yağışları ölçülüb və hər bir il üçün illik yağıntı layı hesablanıb. Bu məlumatlar əsasında növbəti 21-ci müşahidə ilində nə qədər yağıntı düşəcəyini demək mümkün deyil.

Təsadüfi kəmiyyət adətən latın əlifbasının böyük hərifləri ilə işarə olunur: X, Y və s. Təsadüfi kəmiyyətin sınaq (eksperiment) nəticəsində ala biləcəyi mümkün qiymətləri isə indeksli kiçik həriflərlə göstərilir: x_1, x_2, \dots, x_n , burada $1, 2, \dots, i, \dots, n$ -sira hədlərinin nömrələridir. Yağıntı layının X 20 il ərzində dəyişmə prosesi x_1, x_2, \dots, x_{20} və ya $x_i (i = 1, 2, \dots, 20)$ şəklində göstərilə bilər.

Tutaq ki, müəyyən bir ərazidə yağışların paylanması təsvir etmək tələb olunur: müşahidə məntəqələrinin sayı, m , müşahidə dövrü isə n ildir. Onda birinci məntəqə üçün müşahidə sırası $x_{11}, x_{12}, \dots, x_{1n}$ və ya $x_{1i} (i = 1, 2, \dots, n)$, m -ci məntəqə üçün isə $x_{m1}, x_{m2}, \dots, x_{mn}$ və ya $x_{mi} (i = 1, 2, \dots, n)$ kimi yazılı bilər.

Ümumi halda baxılan ərazidə yağışların paylanması müşahidə matrisi şəklində verilə bilər:

$$\begin{aligned}
 & 1 - m \\
 & 2 - n \\
 & x_{11} \ x_{12} \dots x_{1n} \quad i \\
 & x_{21} \ x_{22} \dots x_{2n}
 \end{aligned} \tag{2.1}$$

$$x_{m1} \ x_{m2} \dots x_{mn}.$$

Matrisdəki məlumatlar daha qısa şəkildə yazılıa bilər:

$$x_{ji} \quad (j = 1, 2, \dots, m; \quad i = 1, 2, \dots, n). \tag{2.2}$$

Təsadüfi kəmiyyətin iki tipi var: diskret və kəsilməz.

Diskret təsadüfi kəmiyyətlər yalnız sonlu sayıda qiymətlər ala bilər. Buludluğun bal şkalası buna misal ola bilər. Məlumdur ki, buludlu luq 10 ballıq şkalası ilə qiymətləndirilir. Buna görə də buludluğun mümkün qiymətlər sırası yalnız 0,1,2,...,10 ədədlərinən ibarət olur.

Kəsilməz təsadüfi kəmiyyətlər müəyyən interval daxilində ixtiyar Nədədi qiymət ala bilər. Belə təsadüfi kəmiyyətlərə misal olaraq havanın temperaturu və əzəyiqlisi, savin su sərfi, dəniz cərəyanlarının sürətinə və s. göstərmək olar.

Hidrometeoroloji tədqiqatlarda ölçmələrin dəqiqliyi və yuvarlaqlaşdırma ilə əlaqədar, kəsilməz təsadüfi kəmiyyətlər diskret təsadüfi kəmiyyətlər ilə əvəz olunur. Hava temperaturunun diskretlik addımı 0,1 (15,1; 15,2; 15,3 və s.), su sərfi $100\text{m}^3/\text{s}$ -dən çox olduqda 1 (101; 102; 103; və s.) qəbul edilmişdir.

2.3. Paylanma funksiyalarının ümumi səciyyəsi

Təsadüfi kəmiyyətin sınaq nəticəsində alacağı qiymət əvvəlcədən bilinmir, lakin onun paylanma qanunu verilə bilər. Təsadüfi kəmiyyətin paylanma qanunu təsadüfi kəmiyyətin mümkün qiymətləri ilə onların müvafiq ehtimalları arasında asılılıqdır.

Hər hansı bir hadisənin baş vermə ehtimalı 0 və 1 arasında dəyişir:

$$0 \leq P(x) \leq 1 \tag{2.3}$$

Vəzifə
Qrafik
Analitik Şəkildə

Paylanması qanunları cədvəl, qrafik və analitik şəkildə verilə bilər.

Hidrometeoroloji kəmiyyətlərin nəzəri ehtimalı əvvəlcədən məlum olmadığına görə, fadətən, empirik ehtimaldan istifadə olunur. Müşahidə sırası nə qədər uzun olarsa, empirik təminat da bir o qədər nəzəri qiymətə yaxınlaşar. X hadisəsinin empirik ehtimalı, $P(X)$, aşağıdakı düstura görə təyin olunur:

$$P(X) = \frac{m}{n}, \quad (2.4)$$

burada m - X hadisəsinin bas verdiyi halların sayı; n - baxılan hadisələrin ümumi sayıdır.

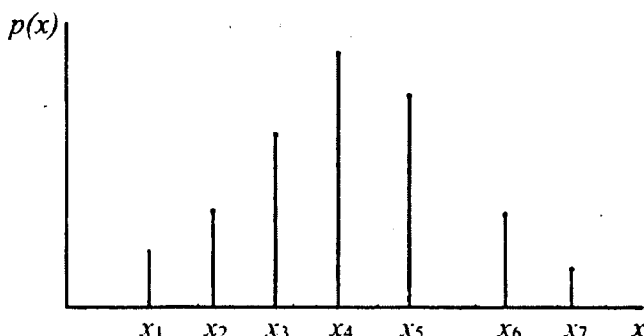
Təsadüfi kəmiyyətin paylanması sırası (cədvəl 2.1) və histogram (şəkil 2.1) yalnız diskret təsadüfi kəmiyyət üçün tərtib olunur. Kəsilməz təsadüfi kəmiyyət üçün onlardan istifadə mümkün deyil, çünki belə təsadüfi kəmiyyət qiymətləri həddən artıq çoxdur və buna görə də onların hər birinin ehtimalı sıfır çox yaxındır.

Cədvəl 2.1

X təsadüfi kəmiyyətinin paylanması sırası

$$X \dots x_1 \ x_2 \ x_3 \dots x_n$$

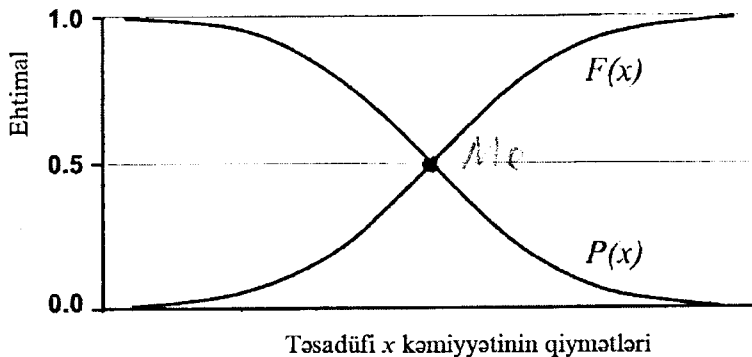
$$P_x \dots p_1 \ p_2 \ p_3 \dots p_n$$



Şəkil 2.1. Diskret təsadüfi kəmiyyətin ehtimallarının paylanması histogramı

Kəsilməz təsadüfi kəmiyyətin paylanması qanununun analitik ifadəsi paylanması funksiyası adlanır. Paylanması funksiyalarının iki tipi var: integral (rusdilli ədəbiyyatda) və ya kumulyativ (ingilisdilli ədəbiyyatda) və differensial paylanması funksiyaları. Təsadüfi kəmiyyətin, X , integral paylanması funksiyası, $F(x)$, təsadüfi kəmiyyətin verilmiş x qiymətini ötməməsinin ehtimalını göstərir (şəkil 2.2), yəni:

$$F(x) = P\{X \leq x\}.$$



Şəkil 2.2. X təsadüfi kəmiyyətinin integral paylanması funksiyası $F(x)$ və təminatlar funksiyası $P(x)$

Təsadüfi kəmiyyətin, X , qiymətlərinin x_1 və x_2 arasında olma ehtimalı bu nöqtələrdə paylanması funksiyasının qiymətlərinin fərginə bərabərdir:

$$P\{x_1 < X \leq x_2\} = F(x_2) - F(x_1). \quad (2.5)$$

Analoji olaraq:

$$P\{X > x\} = P\{+\infty > X > x\} = 1 - F(x). \quad (2.6)$$

Qərb ölkələrindən fərqli olaraq, keçmiş SSRİ-də və indi Azərbaycanda hidrometeoroloji tədqiqatlarda paylanması funksiyasının, $F(x)$, əvəzinə daha çox təminat funksiyasından, $P(x)$, istifadə olunur:

$$P(x) = 1 - F(x) = P\{X \geq x\}. \quad (2.7)$$

Beləliklə, X , təsadüfi kəmiyyətinin təminat funksiyası verilmiş x qiymətinin ötülmə (aşma) ehtimalını göstərir.

İntegral paylanması funksiyası və təminat funksiyası aşağıdakı xassələrə malikdir:

1. $\lim_{x \rightarrow -\infty} F(x) = 0$; $\lim_{x \rightarrow -\infty} P(x) = 1$.
2. $\lim_{x \rightarrow +\infty} F(x) = 1$; $\lim_{x \rightarrow +\infty} P(x) = 0$.
3. $F(x) \geq 0$; $P(x) \geq 0$.
4. $F(x_2) \geq F(x_1)$, əgər $x_2 > x_1$; $P(x_2) \leq P(x_1)$, əgər $x_2 > x_1$.

Əgər, $F(x)$ funksiyası təsadüfi kəmiyyətin, X , bütün qiymətləri üçün diferensiallanırsa, onda ehtimalların paylanması qanunu həm də diferensial paylanması funksiyası şəklində ifadə oluna bilər:

$$f(x) = \frac{dF(x)}{dx} = \lim_{\Delta x \rightarrow 0} \frac{P\{x < X \leq x + \Delta x\}}{\Delta x}, \quad (2.8)$$

burada $\Delta x > 0$.

Bu $f(x)$ funksiyası paylanması funksiyasının, $F(x)$, törəməsidir və ehtimalın paylanması sıxlığının funksiyası (və ya qısa-ehtimalın sıxlıq funksiyası) adlanır.

Ehtimalın sıxlıq funksiyasının, $f(x)$, əsas xassələri aşağıdakılardır:

1. $f(x) \geq 0$.
2. $\lim_{|x| \rightarrow \infty} f(x) = 0$.
3. $\int_{-\infty}^{+\infty} f(x) dx = 1$.

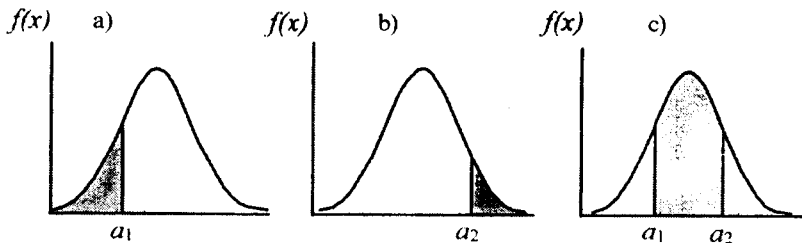
$$4. \int_{-\infty}^x f(x)dx = F(x).$$

Diferensial paylanma funksiyalarının köməyi ilə təsadüfi kəmiyyətin mümkün qiymətlər çoxluğunun verilmiş oblastına düşmə ehtimalını hesablamaq olar (şəkil 2.3):

$$a) P\{X \leq a_1\} = \int_{-\infty}^{a_1} f(x)dx;$$

$$b) P\{X > a_2\} = \int_{a_2}^{\infty} f(x)dx;$$

$$c) P\{a_1 < X \leq a_2\} = \int_{a_1}^{a_2} f(x)dx.$$



Şəkil 2.3. Ehtimalın sıxlıq funksiyasının qrafikləri: şəkilləndimmiş sahə X təsadüfi kəmiyyətinin verilmiş intervala düşmə ehtimalına uyğundur

Misal 2.1. Dnepr çayının (Lotsmanskaya Kamenka məntəqəsi) 1818-1962-ci illəri əhatə edən dövr üçün orta illik su sərfərinə (cədvəl 2.2) görə histoqram və empirik təminatlar funksiyasını tərtib edin.

Cədvəl 2.2

Dnepr çayının (Lotsmanskaya Kamenka məntəqəsində)
orta illik su sərfələri

| İl | Q, m ³ /s | İl | Q, m ³ /s | İl | Q, m ³ /s | İl | Q, m ³ /s |
|------|-------------------------|------|-------------------------|------|-------------------------|------|-------------------------|
| 1818 | 1480 | 1855 | 1900 | 1891 | 1470 | 1927 | 1730 |
| 1819 | 1600 | 1856 | 1500 | 1892 | 1120 | 1928 | 1840 |
| 1820 | 2400 | 1857 | 1300 | 1893 | 1820 | 1929 | 1910 |
| 1821 | 1740 | 1858 | 1400 | 1894 | 1460 | 1930 | 1180 |
| 1822 | 1370 | 1859 | 1000 | 1895 | 2420 | 1931 | 2480 |
| 1823 | 1200 | 1860 | 1800 | 1896 | 1990 | 1932 | 2620 |
| 1824 | 1150 | 1861 | 2400 | 1897 | 1590 | 1933 | 2630 |
| 1825 | 1800 | 1862 | 1400 | 1898 | 1190 | 1934 | 1860 |
| 1826 | 1200 | 1863 | 900 | 1899 | 1220 | 1935 | 1620 |
| 1827 | 1300 | 1864 | 1000 | 1900 | 1670 | 1936 | 1560 |
| 1828 | 2080 | 1865 | 1700 | 1901 | 1320 | 1937 | 1620 |
| 1829 | 2500 | 1866 | 1600 | 1902 | 1690 | 1938 | 1490 |
| 1830 | 2100 | 1867 | 2000 | 1903 | 1620 | 1939 | 1080 |
| 1831 | 2060 | 1868 | 2000 | 1904 | 1080 | 1940 | 1680 |
| 1832 | 1550 | 1869 | 1200 | 1905 | 1740 | 1941 | 2300 |
| 1833 | 1340 | 1870 | 1400 | 1906 | 2060 | 1942 | 2470 |
| 1834 | 1750 | 1871 | 2000 | 1907 | 2100 | 1943 | 1010 |
| 1835 | 1000 | 1872 | 1780 | 1908 | 2220 | 1944 | 1380 |
| 1836 | 1030 | 1873 | 1100 | 1909 | 1700 | 1945 | 1480 |
| 1837 | 1680 | 1874 | 1520 | 1910 | 1160 | 1946 | 1310 |
| 1838 | 1940 | 1875 | 900 | 1911 | 1310 | 1947 | 1530 |
| 1839 | 1540 | 1876 | 2100 | 1912 | 1890 | 1948 | 1660 |
| 1840 | 1930 | 1877 | 3040 | 1913 | 1800 | 1949 | 1290 |
| 1841 | 1930 | 1878 | 1960 | 1914 | 1610 | 1950 | 1060 |
| 1842 | 870 | 1879 | 2450 | 1915 | 1820 | 1951 | 1480 |
| 1843 | 1100 | 1880 | 1640 | 1916 | 2050 | 1952 | 1240 |

| Il | Q, m³/s | Il | Q, m³/s | Il | Q, m³/s | Il | Q, m³/s |
|------|------------|------|------------|------|------------|------|------------|
| 1844 | 2000 | 1881 | 1670 | 1917 | 2400 | 1953 | 1970 |
| 1845 | 3000 | 1882 | 1060 | 1918 | 1300 | 1954 | 874 |
| 1846 | 1000 | 1883 | 2070 | 1919 | 1910 | 1955 | 1520 |
| 1847 | 1400 | 1884 | 1340 | 1920 | 1480 | 1956 | 1740 |
| 1848 | 1200 | 1885 | 1160 | 1921 | 717 | 1957 | 1500 |
| 1849 | 2400 | 1886 | 1550 | 1922 | 1730 | 1958 | 2420 |
| 1850 | 1800 | 1887 | 1330 | 1923 | 1710 | 1959 | 1320 |
| 1851 | 1740 | 1888 | 2060 | 1924 | 1820 | 1960 | 1250 |
| 1852 | 1650 | 1889 | 1940 | 1925 | 874 | 1961 | 1330 |
| 1853 | 2100 | 1890 | 1250 | 1926 | 1890 | 1962 | 1510 |
| 1854 | 1800 | | | | | | |

Həlli: 1. Cədvəl 2.2-nin məlumatlarına əsasən orta illik su sərflərinin amplitudu, R , yəni ən böyük, Q_{mak} , ən kiçik, Q_{min} , qiymətlərinin fərqi tapılır:

$$R = Q_{mak} - Q_{min} = 3040 - 717 = 2323 \text{ m}^3/\text{s}.$$

2. Amplituda k sayda bərabər intervala bölünür. İntervalların sayı aşağıdakı düstura görə təyin oluna bilər:

$$k \approx 5 \lg n,$$

burada n -müşahidə illərinin sayı və ya sıranın uzunluğuudur.

Bu misalda $n = 145$ və $k = 5 \lg 145 = 11$. Beləliklə, təxmini olaraq $k = 11$ qəbul edilir.

3. Hesabi intervalın uzunluğu təyin olunur: $l=R/K=2323/11=211$. Hasablamalar asan olsun deyə, l kəmiyyəti yuvarlaqlaşdırıla bilər (l -in qiyməti 10-15%-dən çox dəyişdirilməməlidir). Yekun qiymət kimi $l=200$ qəbul edilə bilər.

4. Birinci intervalın sol sərhəddi kimi Q_{mak} və ya ondan böyük qiymət qəbul olunmalıdır. Nəzərə alsaq ki, l -in qiyməti yüzlülkərə qədər yuvarlaqlaşdırılıb, onda belə sərhəd 3100 təyin oluna bilər. Onda, birinci intervalın sağ sərhəddi $3100-200=2900$ olur. Növbəti intervalların sərhədləri $2900-2700$; $2700-2500$;

2500-2300 və s. olacaq.

İntervalların sərhədləri kəsişməsin deyə, bütün intervalların sol sərhədləri cüzi dəyişdirilir: 3099-2900; 2899-2700; 2699-2500 və s.

5. Növbəti hesablamaların nəticələri cədvəl 2.3-də verilir.

Cədvəl 2.3

Dnepr çayının (Lotsmanskaya Kamenka məntəqəsində) illik axımının qruplaşdırılmış məlumatları

| Su sərfi intervalları, Q m ³ /s | İntervallara düşmə sayı (təkrarlanma, m _i) | Nisbi tezlik, P* % | Intervalın sağ sərhəddini aşmaların sayı | Empirik təminat, % |
|---|--|-----------------------|--|--------------------|
| (1) | (2) | (3) | (4) | (5) |
| 3099-2900 | 2 | 1.38 | 2 | 1.38 |
| 2899-2700 | 0 | 0 | 2 | 1.38 |
| 2699-2500 | 3 | 2.07 | 5 | 3.45 |
| 2499-2300 | 10 | 6.90 | 15 | 10.4 |
| 2299-2100 | 5 | 3.45 | 20 | 13.8 |
| 2099-1900 | 20 | 13.80 | 40 | 27.6 |
| 1899-1700 | 23 | 15.86 | 63 | 43.5 |
| 1699-1500 | 25 | 17.24 | 88 | 60.7 |
| 1499-1300 | 24 | 16.56 | 112 | 77.3 |
| 1299-1100 | 17 | 11.73 | 129 | 89.0 |
| 1099-900 | 12 | 8.28 | 141 | 97.3 |
| 899-700 | 4 | 2.76 | 145 | 100 |
| Cəmi | 145 | 100 | | |

Cədvəl 2.3-dən görünür ki, su sərflərinin amplitudunu tam əhatə etmək üçün 11 yox, 12 intervaldan istifadə olunur. Qeyd etmək lazımdır ki, bu, prinsipial əhəmiyyət daşıdır.

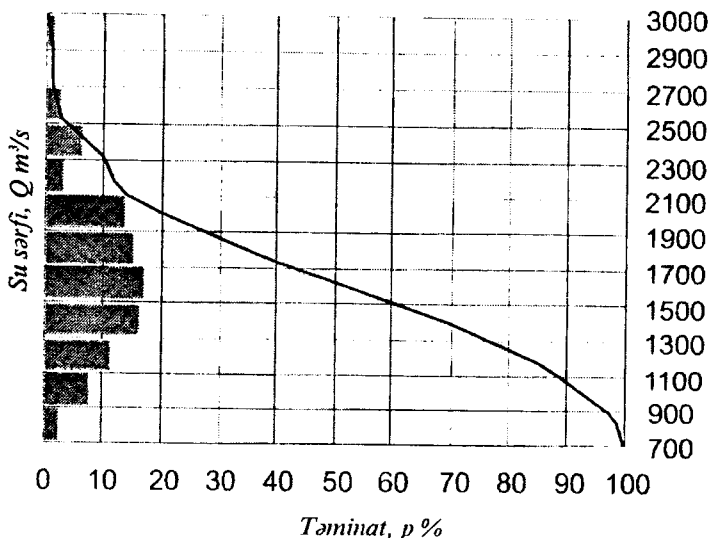
Cədvəlin 2-ci sütununda hər bir intervala düşən su sərflərinin sayı verilir.

3-cü sütundada hər bir intervala düşən su sərflərinin təkrarlanması göstərilir: $P = (m_i / n) \cdot 100\%$, burada $m_i - i$ intervalına

düşən su sərfərinin sayıdır. 4-cü sütundakı ədədləri almaq üçün 2-ci sütunda verilən ədədlər ardıcıl olaraq toplanır. 4-cü sütunun ilk ədədi (2) göstərir ki, 145 su sərfindən yalnız ikisinin qiyməti $2900 \text{ m}^3/\text{s}$ və ya ondan böyükdür. Bu sütundakı 88 ədədi isə onu göstərir ki, 145 su sərfindən 88-nin qiyməti $1500 \text{ m}^3/\text{s}$ və ya ondan böyükür və s.

5-ci sütunda isə 4-cü sütunda verilmiş ədədlərin ümumi müşahidə illərinin ($n=145$ il) neçə faizini təşkil etdiyi göstərilir.

6. 3-cü sütunun məlumatlarına görə empirik tezliklərin (təkrarlanmaların) qrafiki və ya histoqramı, 5-ci sütunun məlumatlarına isə empirik təminat funksiyası və ya empirik təminat əyrisi qurulur (şəkil 2.4).



Şəkil 2.4. Dnepr çayının Lotsmanskaya Kamenka məntəqəsində illik axımın empirik tezliklərinin histoqramı və empirik təminatlar əyrisi

2.4. Təsadüfi kəmiyyətlərin ədədi xarakteristikaları və onların xassələri

Təsadüfi kəmiyyət haqqında tam təsəvvür əldə etmək üçün paylanması sırası və ya paylanması funksiyasını bilmək kifayətdir. Lakin müşahidə sıralarının mugavisən təhlilini yerinə yetirdikdə paylanması sırası və paylanması funksiyasından istifadə rahat deyil. Praktikada çox zaman təsadüfi kəmiyyətin (və ya müşahidə sırasının) müəyyən bir xüsusiyyətini kompakt səkildə səciyyələndirən ədədi xarakteristikalarlardan istifadə olunur. Bu xarakteristikalar eyni zamanda analitik paylanması funksiyalarının (təminat əyrilərinin) parametrləridir.

Təsadüfi kəmiyyətlərin ədədi xarakteristikaları üç qrupa bölgələnər:

1. Paylanması mərkəzinin verini səciyyələndirən xarakteristikalar: ədədi orta, riyazi gözləmə, moda, mediana.
2. Paylanması mərkəzinə nəzərən təsadüfi kəmiyyətin səpələnmə dərəcəsini səciyyələndirən xarakteristikalar: dispersiya, orta kvadratik meyletmə (standart), variasiya əmsali.
3. Paylanması mərkəzinə nəzərən təsadüfi kəmiyyətin səpələnməsinin simmetriklik dərəcəsini səciyyələndirən xarakteristikalar: asimmetriya və ya əyintilik əmsalları.

2.4.1. Ədədi orta, riyazi gözləmə, mediana və moda

Statistik sıranın, x , əsas parametrlərindən biri ədədi ortadır, \bar{x} :

$$\bar{x} = \frac{1}{n} (x_1 + x_2 + \dots + x_n) = \frac{1}{n} \sum_{i=1}^n x_i. \quad (2.9)$$

Ədədi ortanın iki əsas xassəsi var.

1. Sıranın bütün hədlərinin ədədi ortadan fərqlərinin cəmi sıfıra bərabərdir:

$$\sum_{i=1}^n (x_i - \bar{x}) = 0. \quad (2.10)$$

2. Sıranın bütün hədlərinin ədədi ortadan fərqləri kvadratların cəmi, istənilən $a \neq \bar{x}$ ədədinə nəzərən hesablanmış müvafiq cəmdən kiçikdir:

$$S = \sum_{i=1}^n (x_i - \bar{x})^2 = \min. \quad (2.11)$$

Bir neçə bircins müşahidə sırası birləşdirildikdə yaranan vahid sıranın ədədi ortası əvəzinə orta çəki qiyməti, \bar{x} , hesablanır:

$$\bar{x} = \frac{\sum_{k=1}^m n_k \bar{x}_k}{\sum_{k=1}^m n_k}, \quad (2.12)$$

burada m -birləşdirilən sıraların sayı; n_k -hər bir birləşdirilən sıranın uzunluğu (sıra hədlərinin sayı); \bar{x}_k -bu sıraların ədədi ortalarıdır.

Təqvim aylarında günlərin sayı eyni olmadığına görə, havanın orta illik temperaturu, çayın orta illik su sərfi və s. orta aylıq qiymətlərə əsasən hesablandıqda düstur (2.12-dən) istifadə etmək olar.

Dağ çaylarının sutoplayıcılarına düşən yağıntılarının miqdarı da orta çəki düsturuna görə qiymətləndirilir.

Hidrometeorologiyada norma adlandırılan xüsusi tip orta kəmiyyətdən geniş istifadə olunur. Norma baxılan hidrometeoroloji kəmiyyətin ədədi ortasının çoxillik müşahidə dövrü üçün təyin olunmuş qiymətidir.

Sıranın orta qiyməti (seçmə ədədi orta) müşahidə illerinin sayı

ardıqca həqiqi orta qiymətə (baş çoxluğun ədədi ortasına) və ya riyazi gözləməyə m_x , μ_x , yaxınlaşır.

Əslində, hidrometeoroloji tədqiqatlarda riyazi gözləmə anlayışı riyazi abstraksiyadır, çünkü müşahidə sıraları qıсадır. Buna görə də, hidrometeoroloji hesablamalarda riyazi gözləmə dedikdə bir neçə onillik və ya yüzillik üçün ədədi orta nəzərdə tutulur.

Rusdilli və ingilisdilli elmi ədəbiyyatda diskret təsadüfi kəmiyyətin riyazi gözləməsi müvafiq olaraq aşağıdakı düsturlara görə hesablanır:

$$m_x = \sum_{i=1}^N X_i P_i, \quad (2.13)$$

$$\mu_x = \sum_{i=1}^N x_i f(X_i). \quad (2.14)$$

Kəsilməz təsadüfi kəmiyyət üçün isə düstur belədir:

$$m_x = \mu_x = \int_{-\infty}^{+\infty} X' f(x') dx'. \quad (2.15)$$

Riyazi gözləmənin əsas xassələri:

1. Sabit kəmiyyətin riyazi gözləməsi elə həmin kəmiyyətin özünə bərabərdir:

$$M[c] = c, \quad M[c] = c \quad (2.16)$$

burada $c = \text{const.}$

2. Sabit vuruq riyazi gözləmə işarəsindən kənara çıxarıla bilər:

$$M[cX] = cM[X]. \quad (2.17)$$

3. Aslı olmayan təsadüfi kəmiyyətlərin cəminin riyazi gözləməsi onların riyazi gözləmələrinin cəminə bərabərdir:

$$M\left[\sum_{i=1}^N X_i \right] = \sum_{i=1}^N M[X_i], \quad (2.18)$$

məsələn, iki təsadüfi kəmiyyət üçün:

$$M[X + Y] = M[X] + M[Y]. \quad (2.19)$$

4. Təsadüfi kəmiyyətdən xətti funksiyanın riyazi gözləməsi aşağıdakı dəsturla ifadə olunur:

$$M[aX + b] = aM[X] + b, \quad (2.20)$$

burada a və $b = \text{const.}$

5. Asılı olmayan təsadüfi kəmiyyətlərin hasilinin riyazi gözləməsi onların riyazi gözləmalarının hasilinə bərabərdir:

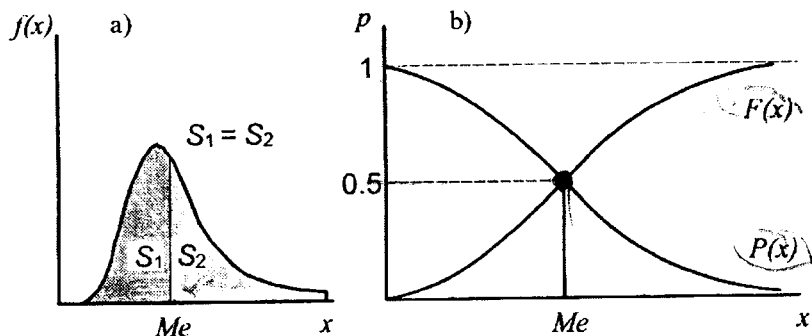
$$M\left[\prod_{i=1}^N X_i\right] = \prod_{i=1}^N M[X_i]. \quad (2.21)$$

X təsadüfi kəmiyyətinin medianası (Me) , onun elə qiymətinə deyilir ki, bu qiymətdə:

$$P\{X < Me\} = P\{X > Me\} = 0,5, \quad (2.22)$$

şərti ödənilsin.

Mediana təsadüfi kəmiyyətin elə qiymətidir ki, bu qiymətdə təminat və paylanması funksiyalarının qiymətləri bərabərdir (Şəkil 2.5):



Şəkil 2.5. Diferensial (a) və integral (b) paylanması funksiyaları qrafiklərində mediananın mövqeyi

$$P(Me) = F(Me) = 0.5 . \quad (2.23)$$

Beləliklə, mediana azalma və ya artma qaydasında düzülmüş müşahidə sırasının ortasında yerləşən həddin qiyməti. Əgər, müşahidə sırasının, X_i , hədlərinin sayı təkdirsə və $2m+1$ təşkil edirsə, onda azalma və ya artma qaydasında düzülmüş sıranın medianası:

$$Me = X_{m+1} . \quad (2.24)$$

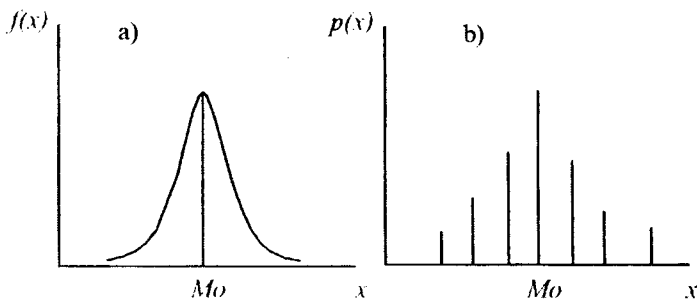
hədlərin sayı cüt, $2m$, olduqda isə:

$$Me = \frac{1}{2}(X_m + X_{m+1}) , \quad (2.25)$$

ifadəsinə görə təyin olunur.

Hidrometeorologiyada medianadan praktiki olaraq istifadə edilmir,

X kəsilməz təsadüfi kəmiyyətinin modası, M_o , onun elə qiymətinə deyilir ki, bu qiymətdə ehtimal sixligi maksimum olur (şəkil 2.6).



Şəkil 2.6. Kəsilməz (a) və diskret (b) təsadüfi kəmiyyətlərin modası

Diskret paylanmasıda isə moda təsadüfi kəmiyyətin ehtimalı ən böyük olan qiymətidir (şəkil 2.6). Paylanması maksimumlarının sayı birdən çox olduqda, belə paylanması, çoxmodalı və ya poli-

modalı adlanır

Birmodalı və çox asimmetrik olmayan paylanmaların modasını təyin etmək üçün K.Pirson düstur təklif etmişdir:

$$M_0 = \bar{X} + 3(Me - \bar{X}). \quad (2.26)$$

Hidrometeorologiyada küləyin istiqaməti haqqında məlumatlar istisna olunmaqla, moda çox az hallarda istifadə olunur. Qafqaz çaylarında dekadalıq minimal su sərflərinin müşahidə olunma vaxtı haqqında məlumatların ümumiləşdirilməsi empirik paylanmaların mediana və modalarına görə yerinə yetirilmişdir (Иманов, 2000).

Dnepr çayının Lotsmanskaya Kamenka məntəqəsinin (1818-1962-ci illər, $n = 145$ il) orta illik su sərfləri haqqında məlumatlarına görə: $\bar{X} = 1642 \text{ m}^3/\text{s}$; $Me = 1620 \text{ m}^3/\text{s}$; $M_0 = 1576 \text{ m}^3/\text{s}$ (düstur 2.26-ya görə).

2.4.2. Təsadüfi kəmiyyətin momentləri

Təsadüfi kəmiyyətlərin praktikada istifadə olunan əksər parametrləri bir-biri ilə əlaqəlidir və vahid sistem əmələ gətirir. Bu əlaqələr təsadüfi kəmiyyətin momentləri anlayışına əsaslanır. Təsadüfi kəmiyyətin başlangıç və mərkəzi momentlərindən daha çox istifadə olunur.

X təsadüfi kəmiyyətinin S dərəcəli başlangıç momenti aşağıdakı düstura görə hesablanır:

$$\alpha_s = M[X^s], \quad (2.27)$$

və ya:

$$\alpha_s = \int_{-\infty}^{+\infty} x^s f(x) dx. \quad (2.28)$$

X təsadüfi kəmiyyətinin S dərəcəli mərkəzi momenti aşağıdakı düstura görə təyin olunur:

və ya:

$$\mu_s = M[(X - m_x)^s], \quad (2.29)$$

$$\mu_s = \int_{-\infty}^{+\infty} (x - m_x)^s f(x) dx. \quad (2.30)$$

Düstur (2.27)-dən alınır ki, riyazi gözləmə ələ birinci başlangıç momentə bərabərdir, yəni, $m_x = M[X^1] = \alpha_1$.

Başlangıç və mərkəzi momentlər arasındaki əlaqələrin riyazi ifadələri aşağıdakı kimiidir:

$$\left. \begin{array}{l} \mu_1 = 0; \\ \mu_2 = \alpha_2 - \alpha_1^2; \\ \mu_3 = \alpha_3 - 3\alpha_2\alpha_1 + 2\alpha_1^3; \\ \mu_4 = \alpha_4 - 4\alpha_3\alpha_1 + 6\alpha_2\alpha_1^2 - 3\alpha_1^4. \end{array} \right\} \quad (2.31)$$

2.4.3. Dispersiya, orta kvadratik meyletmə və variasiya əmsali

Təsadüfi kəmiyyəti tam səciyyələndirmək üçün yalnız onun orta qiymətini bilmək kifayət deyil. Məsələn, Nyu-York və San-Fransisko şəhərlərində çoxillik dövr üçün havanın orta illik temperaturları demək olar ki, eynidir. Buna baxmayaraq, bu iki şəhərdə iqlim fərqlidir, çünki Nyu-Yorkda temperaturun dəyişkənliyi çox böyükdür.

Təsadüfi kəmiyyətin orta qiymətə (və ya paylanma mərkəzinə) nəzərən səpələnmə dərəcəsi dispersiya, orta kvadratik meyletmə və ya variasiya əmsalına görə qiymətləndirilir.

X təsadüfi kəmiyyətinin dispersiyası, D_x , ikinci mərkəzi momentə bərabərdir:

$$D_x = \mu_2 = M[(X - m_x)^2]. \quad (2.32)$$

Diskret və kəsilməz təsadüfi kəmiyyətlərin dispersiyaları müvafiq olaraq aşağıdakı düsturlara görə hesablanır:

$$D_x = \sum_{i=1}^N (x_i - \mu_x)^2 f(x_i), \quad (2.33)$$

$$D_x = \int_{-\infty}^{+\infty} (x' - \mu_x)^2 f(x') dx'. \quad (2.34)$$

Praktikada müşahidə sıralarının dispersiyasını qiymətləndirmək üçün aşağıdakı düsturdan istifadə olunur:

$$D_x = \frac{\sum_{i=1}^n (x_i - \bar{x})^2}{n-1}. \quad (2.35)$$

Əslində, bu düsturda $n-1$ əvəzinə n yazılımalıdır. Nisbətən uzun müşahidə sıralarının ($n > 30$ il) seçmə dispersiyası hesablaşdırıqda belə də edilir. Lakin tədqiqatlar nəticəsində müəyyən olunmuşdur ki, müşahidə sırası qısa olduqda ($n \leq 30$ il) və n əvəzinə $n-1$ götürüldükdə seçmə dispersiyasının qiyməti baş çoxluğun dispersiyasına daha çox yaxınlaşır.

Dispersiyanın əsas xassələri:

1. Sabit kəmiyyətin dispersiyası sıfır bərabərdir:

$$D[C] = 0, \quad (2.36)$$

burada $c = const$.

2. Sabit kəmiyyəti kvadrata yüksəltməklə dispersiya işarəsin-dən kənara çıxarmaq olar:

$$D[cX] = c^2 D[X]. \quad (2.37)$$

3. Təsadüfi kəmiyyətlərin cəminin dispersiyası onların dispersiyalarının cəminə bərabərdir:

$$D\left[\sum_{i=1}^N X_i\right] = \sum_{i=1}^N D[X_i]. \quad (2.38)$$

4. Təsadüfi kəmiyyətin xətti funksiyasının dispersiyası aşağıdakı ifadəyə görə təyin olunur:

$$D[aX + b] = a^2 D[X]. \quad (2.39)$$

X təsadüfi kəmiyyətinin dispersiyasının kvadrat kökü orta kvadratik meyletmə, σ_x , adlanır:

$$\sigma_x = \sqrt{D_x}, \text{ və ya } \sigma_x^2 = D_x. \quad (2.40)$$

Bu parametrə həmçinin standart meyletmə və ya standart da deyilir. Orta kvadratik meyletmədən praktikada istifadə çox əlverişlidir, çünkü onun ölçü vahidi təsadüfi kəmiyyətin ölçü vahidi ilə eynidir. Bu, səpələnməni (meyletməni) təsadüfi kəmiyyətin öz qiymətləri ilə müqayisə etməyə imkan verir.

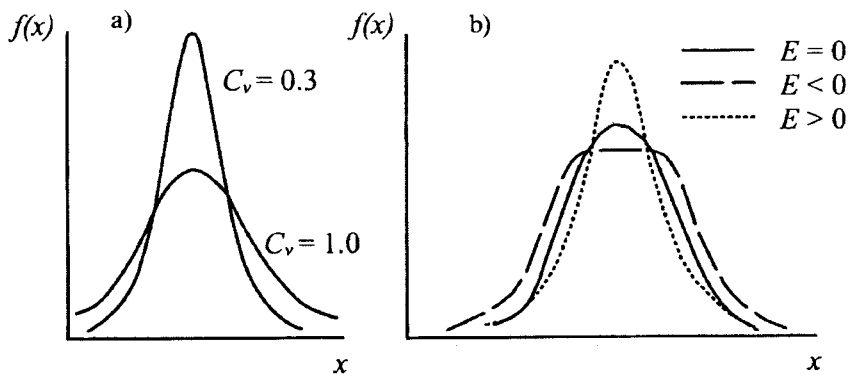
Müşahidə sırası hədlərinin $2/3$ hissəsi $\bar{x} + \sigma_x$ və $\bar{x} - \sigma_x$ intervalında yerləşir. Əgər, təsadüfi kəmiyyət normal paylanırsa, onda sira hədlərinin düz 50% -i $\bar{x} + 0,674\sigma_x$ və $\bar{x} - 0,674\sigma_x$ arasında qiymətlər alır ($\Delta = 0,674\sigma_x$ -ehtimal olunan xəta və ya meyletmə adlanır).

Təsadüfi kəmiyyətin səpələnməsinin bir xarakteristikası da variasiya əmsalıdır, C_v . O, orta kvadratik meyletmənin riyazi gözləməyə (orta qiymətə) nisbətinə bərabərdir:

$$C_v = \frac{\sigma_x}{m_x} = \frac{\sqrt{D_x}}{m_x}. \quad (2.41)$$

Variasiya əmsalı ölçü vahidi olmayan parametrdür və onun praktik əhəmiyyəti elə bununla bağlıdır. Məsələn, Kür və Qoşqar çaylarının maksimal sərfələri sıralarının orta kvadratik meyletmələri kəskin fərqlənir, çünkü bu çayların müvafiq su sərfərinin mütləq qiymətləri kəskin fərqlidir.

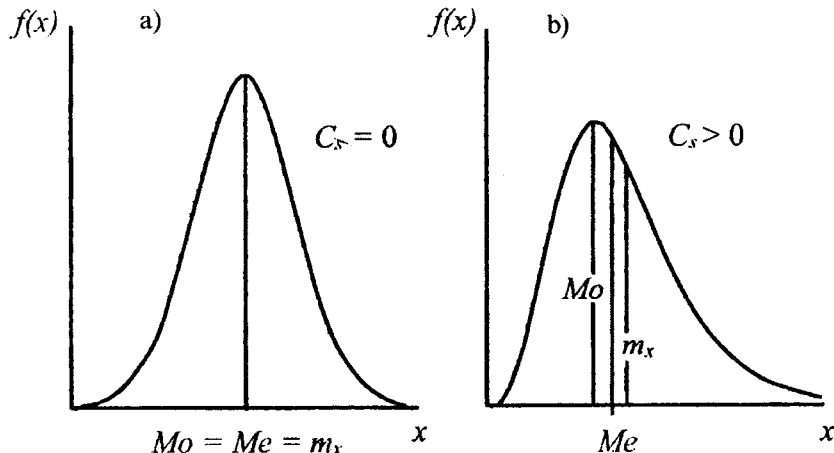
Variasiya əmsalı bəzən faizlə ifadə olunur. Hidroloji hesablamalarda bu əmsaldan geniş istifadə edilir. Variasiya əmsalının (eyni zamanda dispersiya və orta kvadratik meyletmənin) paylanması funksiyasına təsiri şəkil 2.7-də göstərilir.



Şəkil 2.7. Variasiya əmsalı (a) və ekssesin (b) ehtimalın sıxlığı funksiyasının formasına təsiri

2.4.4. Asimetriya və eksses

İki müşahidə sırasının orta kəmiyyəti və dispersiyalarının eyni olmasına baxmayaraq onların sıra hədlərinin riyazi gözləməyə (paylanma mərkəzinə) nəzərən səpələnməsinin simmetriklik dərəcəsi fərqli ola bilər (Şəkil 2.8).



Şəkil 2.8. Simmetrik (a) və asimetrik (b) paylanmaların ehtimal sıxlığı funksiyalarının qrafikləri

Statistik sıranın simmetrikliliini səciyyələndirmək üçün sıra hədləri ilə ədədi orta arasında fərqli kubunun orta qiymətdən istifadə olunur:

$$\mu_3 = \frac{1}{n} \sum_{i=1}^n (x_i - \bar{x})^3. \quad (2.42)$$

Sıranın simmetrikliliyinin ölçüsüz göstəricisindən daha geniş istifadə edilir və o, asimetriya əmsali, C_s , adlanır:

$$C_s = \frac{\mu_3}{\sigma_x^3} = \frac{M[(X - m_x)^3]}{\sigma_x^3}. \quad (2.43)$$

Diskret və kəsilməz təsadüfi kəmiyyətlər üçün asimetriya əmsalı müvafiq olaraq aşağıdakı düsturlara görə hesablanır:

$$C_s = \frac{1}{\sigma_x^3} \sum_{i=1}^N (x_i - \mu_x)^3 f(x_i), \quad (2.44)$$

$$C_s = \frac{1}{\sigma_x^3} \int_{-\infty}^{+\infty} (x' - \mu_x)^3 f(x') dx'. \quad (2.45)$$

Asimetriya əmsalının ümumi qəbul olunmuş işarəsi yoxdur. O, rusdilli ədəbiyyatda, \leftarrow , ingilisdilli ədəbiyyatda isə çox zaman \rightarrow kimi işarə edilir.

Bələliklə, təsadüfi kəmiyyətlərin paylanması simmetrik və asimetrik ola bilər. Simmetrik paylanması üçün asimetriya əmsali sıfır bərabərdir, çünkü, bu halda sıranın orta qiymətdən böyük və kiçik hədlərinin sayı və müxtəlif işarəli fərqlərinin kubları bərabər olur.

Əgər, sıranın riyazi gözleməsi modadan böyükdürsə, ($m_x = \mu_x > M_0$), onda sıra müsbət asimetriyalı ($C_s = g_x > 0$), əks halda isə ($m_x = \mu_x < M_0$) mənfi asimetriyalı ($C_s = g_x < 0$) olur.

Müsbət asimetriyalı sıradə kəmiyyəti ədədi ortadan böyük

olan hədlərin sayı az, lakin onların mütləq qiymətləri və müvafiq olaraq müsbət fərqlərinin kubları böyük olur. Kəmiyyəti ədədi ortadan kiçik olan hədlərin nisbətən çoxsaylı olmasına baxmayaraq, onların mənfi fərqləri o qədər də əhəmiyyətli olmur.

Çayların maksimal su sərfələri sıraları müsbət asimmetriyalı olur. Bunun səbəbi odur ki, maksimal su sərfələri sıfirdan böyükdür və ayrı-ayrı qiymətlər sıranın riyazi gözləməsindən bir neçə dəfə çox ola bilər. Məsələn, çayın (Dry-Gulch Creek) maksimal su sərfələri sırasının orta qiyməti $350,9 \text{ m}^3/\text{s}$ təşkil etdiyi halda, bəzi illərdə $2239 \text{ m}^3/\text{s}$ və $1259 \text{ m}^3/\text{s}$ su keçmişdir (bax misal 4.4-ə).

Küləyin sürətinin paylanması da müsbət asimmetriyalıdır, çünki kiçik sürətlər daha çoxsaylıdır və $\mu_x > M_0$. Nyu-York yaxınlığında poliqonda (Lya-Gadria) yerinə yetirilmiş müşahidələrə görə küləyin ora sürəti 16 mil/saat, moda isə 12,7 mil/saat olmuşdur.

Həm də nəzərə almaq lazımdır ki, küləyin sürəti mənfi ola bilməz və buna görə də onun paylanması müsbət asimmetriyalıdır. Atmosfer yağıntılarının miqdəri da mənfi ola bilməz, nəticədə sutkalıq yağıntı layının paylanması asimetrikdir. Müləyim rütubətli iqlim şəraiti hakim olan ərazilərdə illik yağıntı layı simmetrik paylanır. Bu onunla izah olunur ki, yağıntıların qeydiyyat başlangıcı (0 mm) illik yağıntı cəmlərinin müşahidə olunmuş qiymətləri intervalından çox kənardadır.

Mənfi asimmetriyalı paylanmaya misal olaraq subasarlı çayların maksimal səviyyə sıralarını göstərmək olar. Mənfi asimmetriyanın səbəbi subasara su çıxdıqda çayın canlı kəsiyinin eninin kəskin artmasıdır.

Bələ hesab edilir ki, əgər, təsadüfi kəmiyyətin mümkün qiymətləri müəyyən fiziki sərhədlərlə məhdudlanırsa və müşahidə məlumatlarının diapozonu bu sərhədlərə yaxındırsa, onda paylanma funksiyası adətən asimetrik olur.

Paylanma funksiyasının parametrlərindən biri də ekssesdir. Bu parametr aşağıdakı düstura görə hesablanır:

$$E_x = \frac{\mu_4}{\sigma_x^4} - 3 = \frac{M[(x - m_x)^4]}{\sigma_x^4} - 3 = \frac{\sum_{i=1}^n (x_i - m_x)^4}{\sum_{i=1}^n (x_i - m_x)^2} - 3. \quad (2.46)$$

Ekses ehtimal sıxlığı funksiyası zirvəsinin şıslılıını qiymətləndirməyə imkan verir (şəkil 2.7). Bu qiyməti ləndirmə normal paylanma qanununa nəzərən yerinə yetirilir. Normal paylanma üçün $E_x = 0$. Əgər, təsadüfi kəmiyyətin qiymətlərinin az hissəsi paylanma mərkəzinə yaxındırsa, onda ekssesin qiyməti kiçik olur. Buludluğun paylanması çox kiçik ekssesə malikdir.

Hidrometeoroloji məlumatların statistik işlənməsində adətən ekses istifadə olunmur. Bu onunla izah olunur ki, mövcud sıralar qıсадır və belə sıralara görə hesablanmış ekssesin seçmə qiymətinin xətası çox böyük olur.

2.4.5. Normallaşdırılmış təsadüfi kəmiyyətlər və paylanma kvantilları

Bir çox hallarda X təsadüfi kəmiyyətinin əvəzinə ondan elementar çevirmələr yolu ilə alınmış başqa təsadüfi kəmiyyətdən istifadə daha münasib və əlverişli olur. Məsələn, müxtəlif asimmetriyalı paylanmaları müqayisə etmək üçün riyazi gözləmə, m_x , μ_x , və orta kvadratik meyletmənin, σ_x , təsirindən azad olmaq tələb olunur. Bunu təsadüfi kəmiyyətin qiymətlərini normallaşdırmaq (standartlaşdırmaq) yolu ilə etmək mümkündür. Hidrometeoroloji tədqiqatlarda daha tez-tez modul əmsallarından və standart normallaşdırılmış təsadüfi kəmiyyətdən istifadə olunur.

Modul əmsali, k_i , təsadüfi kəmiyyətin qiymətinin, x_i , onun riyazi gözləməsinə, m_x , nisbətinə deyilir:

$$k_i = \frac{x_i}{m_x}. \quad (2.47)$$

Modul əmsalları sırası üçün $m_x = 1$.

Standart normallaşdırılmış kəmiyyət, t_i , aşağıdakı düsturlara görə hesablanır:

$$t_i = \frac{x_i - m_x}{\sigma_x}, \quad (2.48)$$

$$t_i = \frac{k_i - 1}{C_v}. \quad (2.49)$$

Standart normallaşdırılmış kəmiyyət sırası üçün $m_x = 0$ və $\sigma_x = D_x = 1$.

Artıq göstərildiyi kimi (bax bölmə 2.3-ə), integral paylanması funksiyasına, $F(x)$, görə ixtiyari x üçün onun ötməmə ehtimalı təyin oluna bilər. Lakin bir çox hallarda tərsinə qoyuluşlu məsələni həll etmək tələb olunur: verilmiş ötülməmə ehtimalına, $F(x) = P'$, görə x'_p kəmiyyəti hesablanmalıdır. Riyazi statistikada x'_p kəmiyyəti kvantil adlandırılır.

Bələliklə, p -kvantil və ya p % kvantil (əgər, p %-lə ifadə olunursa) təsadüfi kəmiyyətin x'_p qiymətinə deyilir və bu qiymət verilmiş ötülməmə ehtimalına, $F(x) = p'$, müvafiqdir.

Hidrometeorologiyada, xüsusilə hidrologiyada (daha doğrusu, keçmiş SSRİ, Rusiya, Azərbaycanda) kvantil anlayışına oxşar olaraq təminat əyrisinin p -ordinatı terminindən istifadə olunur.

Təminat əyrisinin ordinatı hidrometeoroloji kəmiyyətin elə x_p qiymətidir ki, bu qiymət verilmiş ötülmə ehtimalına, $P(x) = p$, müvafiqdir, $P(x) = 1 - F(x)$ olduğuna görə, $p = 1 - p'$ və ya $p = 100 - p'$ (əgər, p %-lə verilirsə).

Kvantilləri təminat əyrilərinin ordinatlarından fərqləndirmək üçün, onlar strixlə qeyd olunur.

Misal 2.2. Təsadüfi kəmiyyətin ehtimallarının paylanması aşağıdakı cədvəldə verilib.

| x_i | $f(x_i)$ |
|-------|----------|
| 0 | 0.13 |
| 1 | 0.27 |
| 2 | 0.28 |
| 3 | 0.18 |
| 4 | 0.09 |
| 5 | 0.03 |
| 6 | 0.02 |
| >6 | 0.00 |

Bu təsadüfi kəmiyyətin ədədi xarakteristikalarını (parametrlərini) hesablayın.

Həlli: Təsadüfi kəmiyyətin riyazi gözləməsi:

$$\begin{aligned}\mu_x &= \sum_{i=1}^N x_i f(x_i) = (0)(0.013) + (1)(0.27) + (2)(0.28) + \\ &+ (3)(0.18) + (4)(0.09) + (5)(0.03) + (6)(0.02) = 2.\end{aligned}$$

Dispersiyası:

$$\begin{aligned}\sigma_x^2 &= \sum_{i=1}^N (x_i - \mu_x)^2 f(x_i) = \\ &= (0 - 2)^2 (0.13) + (1 - 2)^2 (0.27) + (2 - 2)^2 (0.28) + (3 - 2)^2 (0.18) + \\ &+ (4 - 2)^2 (0.09) + (5 - 2)^2 (0.03) + (6 - 2)^2 (0.02) = 1.92.\end{aligned}$$

Asimetriya əmsali:

$$\begin{aligned}g_x &= \frac{1}{\sigma_x^3} \sum_{i=1}^N (x_i - \mu_x)^3 f(x_i) = \\ &= \frac{1}{(1.92)^{\frac{3}{2}}} \left[(0 - 2)^3 (0.13) + (1 - 2)^3 (0.27) + (2 - 2)^3 (0.28) + (3 - 2)^3 (0.18) + \right. \\ &\quad \left. + (4 - 2)^3 (0.09) + (5 - 2)^3 (0.03) + (6 - 2)^3 (0.02) \right] = 0.631\end{aligned}$$

Misal 2.3. Yay mövsümündə Mayamidə (Miami) qeydə alınmış leysanlararası müddət üçün ehtimalın paylanması sıxlığı $f(t)$ aşağıdakı ifadə ilə verilir:

$$f(t) = \begin{cases} 0.014e^{-0.014t}, & t > 0 \\ 0, & t \leq 0 \end{cases}$$

burada t -leysanlar arasındaki zaman intervalıdır, saat. Bu zaman intervalının, t , ədədi xarakteristikalarını (parametrlərini) qiymətləndirin.

Həlli: Leysanlararası zaman intervalının riyazi gözəlməsi aşağıdakı düstura görə hesablanır:

$$\mu_t = \int_0^\infty t' f(t') dt' = \int_0^\infty t' (0.014e^{-0.014t'}) dt' = 0.014 \left(\int_0^\infty t' e^{-0.014t'} dt' \right).$$

$$\int_0^\infty x e^{-ax} dx = \frac{1}{a^2}$$

Bu integrallar nəzərə alınmaqla:

$$\mu_t = 0.014 \left(\frac{1}{0.014^2} \right) = 71 \text{ saat.}$$

Dispersiya:

$$\sigma_t^2 = \int_0^\infty (t' - \mu_t)^2 f(t') dt' = \int_0^\infty (t' - 71)^2 0.014e^{-0.014t'} dt' =$$

$$= 0.014 \int_0^\infty (t'^2 - 142t' + 5041) e^{-0.014t'} dt'$$

$$\int_0^\infty x^2 e^{-ax} dx = \frac{2}{a^3}; \quad \int_0^\infty x e^{-ax} dx = \frac{1}{a^2}; \quad \int_0^\infty e^{-ax} dx = \frac{1}{a}.$$

Bu integrallar nəzərə alınmaqla:

$$\sigma_t^2 = 0.014 \left[\frac{2}{0.014^3} - 142 \left(\frac{1}{0.014^2} \right) + 5041 \left(\frac{1}{0.014} \right) \right] = 5102 \text{ saat}^2$$

Standart meyletmə, $\sigma_t = \sqrt{5102} = 71$ saat.

Asimmetriya əmsali:

$$g_t = \frac{1}{\sigma_t^3} \int_0^\infty (t' - \mu_t)^3 f(t') dt' = \frac{1}{(71)^3} \int_0^\infty (t' - 71)^3 0.014 e^{-0.014t'} dt' = \\ = \frac{0.014}{(71)^3} \int_0^\infty (t' - 213t'^2 + 15.213t' - 357.911) e^{-0.014t'} dt'$$

$$\int_0^\infty x^3 e^{-ax} dx = \frac{6}{a^4}.$$

Bu integrallər nəzərə alınmaqla:

$$g_t = 3.91 \times 10^{-8} \left(\frac{6}{0.014^4} - 213 \frac{2}{0.014^3} + \right. \\ \left. + 15,123 \frac{1}{0.014^2} - 357,911 \frac{1}{0.014} \right) = 2.1$$

və $g_t > 0$ olduğuna görə paylanma müsbət asimetriyalıdır.

3. EMPİRİK TƏMİNAT ƏYRİLƏRİ VƏ ANALİTİK PAYLANMA FUNKSIYALARI

3.1. Empirik təminat əyriləri

Müxtəlif layihələrin hazırlanmasında bu və ya digər hidrometeoroloji xarakteristikanın (dalğanın hündürlüyü, küləyin sürəti, su sərfi və s.) verilmiş təminatlı qiymətini hesablamaq tələb olunur. Bu məsələ, baxılan hidrometeoroloji xarakteristikanın paylanma qanunu məlum olduqda asanlıqla həll olunur. Lakin, praktikada çox zaman tədqiq edilən xarakteristikanın paylanma qanunu məlum olmur və onun haqqında müəyyən təsəvvür əldə etmək üçün empirik müşahidə məlumatlarından istifadə olunur. Bu məlumatlara görə qurulan təminat funksiyası empirik təminat əyrisi adlanır.

Faktiki olaraq, misal 3.1-də empirik təminat əyrisinin qurulma qaydası izah olunub, və belə əyri nümunəsi şəkil 2.4-də göstərilib. Bu qayda müşahidə sıraları kifayət qədər uzun olduqda tətbiq edilir.

Hidrometeoroloji müşahidə sıralarının uzunluqları, adətən bir neçə onillikdən çox olmur və buna görə də belə qısa sıralar üçün empirik təminat əyriləri başqa yolla qurulur. Bu metod istifadə olunduqda müşahidə sırası azalma və ya artma qaydasında düzülür. Hidrometeorologiyada sıranın azalma qaydasında düzülməsi qəbul olunub.

Tutaq ki, hər hansı bir hidrometeoroloji xarakteristikanın azalma qaydasında düzülmüş qiymətləri məlumdur: $x_1 > x_2 > x_3 > \dots > x_m > \dots > x_N$. Onda bu sıranın m -ci həddi, x_m , üçün ehtimalın ötülməsinin nəzəri qiyməti aşağıdakı düsturla ifadə oluna bilər:

$$P\{X \geq x_m\} = \lim_{N \rightarrow \infty} (m/N). \quad (3.1)$$

Lakin real şəraitdə seçmənin (sıranın) uzunluğu həmişə sonludur, $n < \infty$. Baxılan sıranın hər bir həddi üçün ötülmə ehtimalını təqribi qiymətləndirmək üçün düstur 3.1-də N -i n -lə əvəz etmək

lazımdır:

$$p_m = P\{X \geq x_m\} \approx (m/n) \cdot 100\%, \quad (3.2)$$

burada m - azalma qaydasında düzülmüş sıranın m -ci həddinin, x_m , sıra nömrəsi; p_m - azalma qaydasında düzülmüş sıranın m -ci həddinin təminatıdır, (%)-lə.

Düstur 3.2-yə uyğun olaraq azalma qaydasında düzülmüş sıranın birinci (ən böyük) həddinin empirik təminatı $P_1 = (1/n)100\%$, ikinci həddininki $P_2 = (2/n)100\%$ və s. olacaq. Beləliklə, bu düsturdan istifadə etdikdə azalma sırasının axırıcı həddi, x_n , mütləq minimumdur və X təsadüfi kəmiyyəti heç vaxt x_n -dən kiçik qiymət almayıcaq.

Hesablamalar düstur 3.2 ilə yerinə yetirildikdə ona görə belə alınır ki, N əvəzinə n istifadə olunur. Əslində, müşahidələr davam etdirildikdə gələcəkdə x_n -dən də kiçik qiymətlər qeydə alınır bilər. Doğrudan da, uzunluğu N il olan baş coxluqdan uzunluğu n il olan sonsuz sayda qısa sıra (seçmə) almaq olar ki, hər belə sıranın da öz maksimumu və minimumu olacaq. Buna görə də azalma sırasının m -ci həddinin empirik təminatı özü də təsadüfi kəmiyyətdir. Bu səbəbdən, empirik təminatın hesabi qiyməti kimi onun riyazi gözləməsi (orta qiymət), modası və ya digər dayanıqlı xarakteristikasından istifadə olunur. Hazırda empirik təminatı hesablamaq üçün 10-a yaxın düstur məlumdur.

A. Hazenin düsturu:

$$P_m = \frac{m - 0,5}{n} 100\%. \quad (3.3)$$

V. Veybulun düsturu:

$$P_m = \frac{m}{n + 1} 100\%. \quad (3.4)$$

Bu düstur keçmiş SSRİ-də Kritski-Menkel düsturu adlandırıldı.

N.N. Çeqodayevin düsturu:

$$P_m = \frac{m - 0,3}{n + 0,4} 100\% . \quad (3.5)$$

Düstur 3.4 empirik təminatın riyazi gözləməsinə, düstur 3.5 isə mediana qiymətinə uyğundur.

I.I.Qrinqorten (Gringorten, 1963) universal düstur təklif etmişdir:

$$P_m = \frac{m - a}{n + 1 - 2a} 100\% . \quad (3.6)$$

Bu düsturdan $a = 0,5$ olduqda düstur 3.3, $a = 0$ olduqda düstur 3.4, $a = 0,3$ olduqda düstur 3.5 alınır.

Qrinqorten a parametrinin müşahidə sırasının uzunluğuna görə təyin olunmasını tövsiyə etmişdir: $n = 10$ il olduqda $a = 0,448$; $n = 30$ il, $a = 0,442$; $n = 50$ il, $a = 0,440$; $n = 100$ il, $a = 0,439$.

Hazırda Fransada düstur 3.3, ABŞ, Rusiya və Azərbaycanda düstur 3.4, İngiltərədə isə düstur 3.6-dan ($a = 0,44$) istifadə olunur.

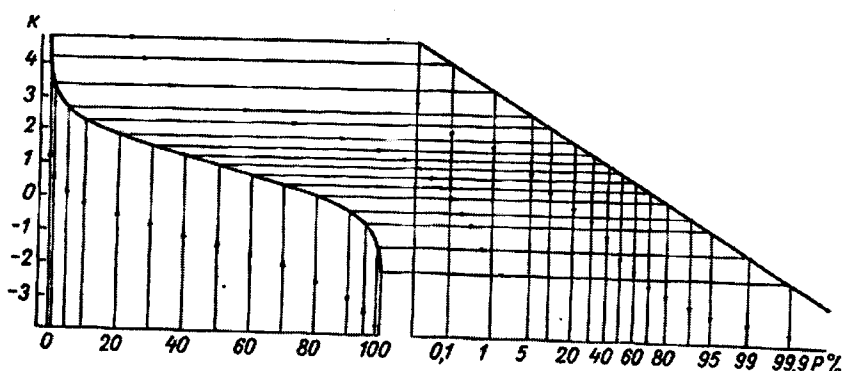
M.Ə.Məmmədov maksimal su sərfləri sıralarındaki ən böyük hədlərin empirik təminatını hesablamaq üçün düstur təklif etmişdir:

$$P_m = \frac{m}{n + k^z} 100\% , \quad (3.7)$$

burada k -modul əmsali ($K_i = Q_i / \bar{Q}$); z -üst göstəricisidir. Lakin sonrakı tədqiqatlar göstərmişdir ki, bu düstur minimal su sərfləri sıralarının ən kiçik hədlərinin, maksimal leysan laylarının və digər ekstremal hidrometeoroloji xarakteristikaların empirik təminatlarını təyin etmək üçün də tətbiq oluna bilər.

Təminat əyrisi xüsusi ehtimallar damasında qurulur. Bu onunla izah olunur ki, hidrometeorologiyada geniş istifadə edilən ehti-

malların paylanmasıının integral əyriləri (məsələn, su sərflərinin davamiyyət əyriləri) dekart koordinat sistemində mürəkkəb formalıdır. Bu əyrilərin həm yuxarı, həm də aşağı hissələrində cəm ehtimalın (təminatın) cüzi artımına hidrometeoroloji xarakteristikanın böyük artımı uyğun gəlir. Bu isə öz növbəsində integral əyrini hamarlaşdırmağı və onu müşahidə məlumatları ilə əhatə olunmayan yuxarı və aşağı hissələrə uzatmağı (ekstrapolyasiyanı) çətinləşdirir. Ehtimallar damasından istifadədə məqsəd bu texniki çətinliyi aradan götürmək və bununla da təminat əyrisinin hamarlaşdırılmasına, hətta düzləndirilməsinə nail olmaqdır (şəkil 3.1)



Əgər ehtimallar daması təminat əyrisini düz xəttə transformasiya edirsə, onda hidrometeoroloji sıranın parametrləri elə alınmış düz xəttə görə təyin oluna bilər. Hidroloji hesablamalarda istifadə olunan ehtimallar damasının (ED) aşağıdakı tipləri var:

- normal paylanması qanununun ED;
- variasiya və asimetriya əmsallarının müxtəlif nisbətlərin də üçparametrlı qamma paylanması düzləndirən ED (Brovko-viçin ED, Rojdestvenski və Çebotaryovun ED);
- loqarifmik-normal paylanması qanununun ED ($C_v > 0,5$ və $C_v < 0,5$ olaraq).

$C_s > 2C_v$ olduqda istifadə olunur);

- Qumbelin ED;
- Çeqodayevin ED;
- Qudriçin ED ($C_s > 3C_v$ olduqda istifadə olunur);

Praktikada daha çox ilk üç ED-dan istifadə edilir.

Müxtəlif ehtimallar damalarının tərtib qaydaları A.V.Rojdestvenski və A.İ.Çebotaryovun (Рождественский, Чеботарев, 1974) birgə monoqrafiyasında ətraflı izah olunur.

Empirik təminat əyrisi yalnız hidrometeoroloji xarakteristikasının müşahidə olunmuş qiymətlərinə görə deyil, həm də onların modul əmsallarına və normallaşdırılmış qiymətlərinə görə də qurula bilər.

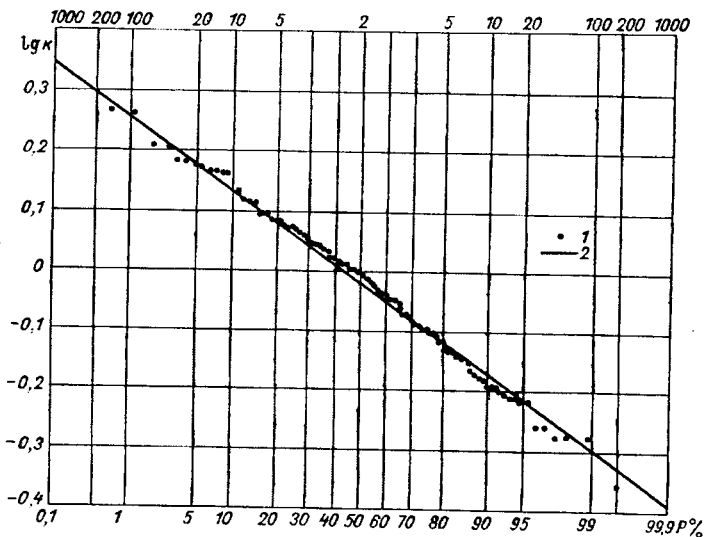
Qeyd etmək lazımdır ki, keçmiş SSRİ-də və indi Azərbaycanda hidrometeoroloji tədqiqatlarda baxılan xarakteristikanın təminatlı qiymətlərindən, Qərb ölkələrində isə verilmiş təkrarlanmlara müvafiq qiymətlərindən istifadə olunur. Məsələn, Azərbaycan şəraitində tapşırıq belə qoyula bilər: verilmiş məntəqə üçün maksimal leysan layının 2% təminatlı qiymətini hesablayın. Eyni tapşırıq Qərb ölkələrində belə verilər: verilmiş məntəqə üçün təkrarlanması 50 ildə 1 dəfə olan maksimal leysan layını hesablayın.

Təminat (P) və təkrarlanma (N və ya T) arasındaki asılılıqdan istifadə edərək, onlardan biri verildikdə o birini asanlıqla təyin etmək olar:

$$N = \frac{100}{P}, \quad P < 50\% \text{ olduqda,} \quad (3.8)$$

$$N = \frac{100}{100 - P}. \quad P > 50\% \text{ olduqda.} \quad (3.9)$$

Cox zaman ehtimallar damasının aşağı üfüqi oxunda təminatlar, yuxarı üfüqi oxunda isə təkrarlanmalar göstərilir (şəkil 3.2).



Mədul amalı

Şəkil 3.2. Dnepr çayının Lotsmanskaya Kamenka məntəqəsində illik axımın loqarifmik-normal paylanması
1 – empirik nöqtələr, 2 – loqarifmik-normal əyri

Misal 3.1. Cədvəl 3.1-də verilmiş maksimal su sərfərinin empirik təminat əyrisini qurun.

Cədvəl 3.1
Yağış daşqınlarının maksimal su sərfəri (m^3/s)

| İl | Sərf | İl | Sərf |
|------|------|------|------|
| 1954 | 71.4 | 1970 | 84.5 |
| 1955 | 22.1 | 1971 | 37.5 |
| 1956 | 32.7 | 1972 | 24.0 |
| 1957 | 145 | 1973 | 22.1 |
| 1958 | 46.0 | 1974 | 130 |
| 1959 | 29.9 | 1975 | 21.3 |
| 1960 | 28.4 | 1976 | 58.2 |
| 1961 | 73.8 | 1977 | 58.7 |
| 1962 | 121 | 1978 | 130 |
| 1963 | 25.0 | 1979 | 22.0 |
| 1964 | 31.4 | 1980 | 54.0 |
| 1965 | 17.3 | 1981 | 100 |

| İl | Sərf | İl | Sərf |
|------|------|------|------|
| 1966 | 54.8 | 1982 | 78.1 |
| 1967 | 29.9 | 1983 | 39.2 |
| 1968 | 104 | 1984 | 66.0 |
| 1969 | 27.5 | 1985 | 84.4 |

Həlli: 1. Verilmiş su sərfləri sırası azalan qaydada düzülür (cədvəl 3.2).

Maksimal su sərfləri üçün empirik təminat
əyrisinin ordinatlarının hesablanması

Cədvəl 3.2

| m_i | İllər | Su sərfləri, m^3/s | Azalma sıraları | | Təminat, % |
|-------|-------|-------------------------|-------------------------|--------------------|---------------|
| | | | su sərfləri, m^3/s | modul əmsalları | |
| 1 | 1954 | 71.4 | 145 | 2.48 | 3.03 |
| 2 | 1955 | 22.1 | 130 | 2.22 | 6.06 |
| 3 | 1956 | 32.7 | 130 | 2.22 | 9.09 |
| 4 | 1957 | 145 | 121 | 2.07 | 12.1 |
| 5 | 1958 | 46.0 | 104 | 1.78 | 15.2 |
| 6 | 1959 | 29.9 | 100 | 1.71 | 18.2 |
| 7 | 1960 | 28.4 | 84.5 | 1.45 | 21.2 |
| 8 | 1961 | 73.8 | 84.4 | 1.44 | 24.2 |
| 9 | 1962 | 121 | 78.1 | 1.34 | 27.3 |
| 10 | 1963 | 25.0 | 73.8 | 1.26 | 30.3 |
| 11 | 1964 | 31.4 | 71.4 | 1.22 | 33.3 |
| 12 | 1965 | 17.3 | 66.0 | 1.13 | 36.4 |
| 13 | 1966 | 54.8 | 58.7 | 1.00 | 39.4 |
| 14 | 1967 | 29.9 | 58.2 | 1.00 | 42.4 |
| 15 | 1968 | 104 | 54.8 | 0.94 | 45.5 |
| 16 | 1969 | 27.5 | 54.0 | 0.92 | 48.5 |
| 17 | 1970 | 84.5 | 46.0 | 0.79 | 51.5 |
| 18 | 1971 | 37.5 | 39.2 | 0.67 | 54.6 |
| 19 | 1972 | 24.0 | 37.5 | 0.64 | 57.6 |
| 20 | 1973 | 22.1 | 32.7 | 0.56 | 60.6 |
| 21 | 1974 | 130 | 31.4 | 0.54 | 63.6 |
| 22 | 1975 | 21.3 | 29.9 | 0.51 | 66.7 |
| 23 | 1976 | 58.2 | 29.9 | 0.51 | 69.7 |

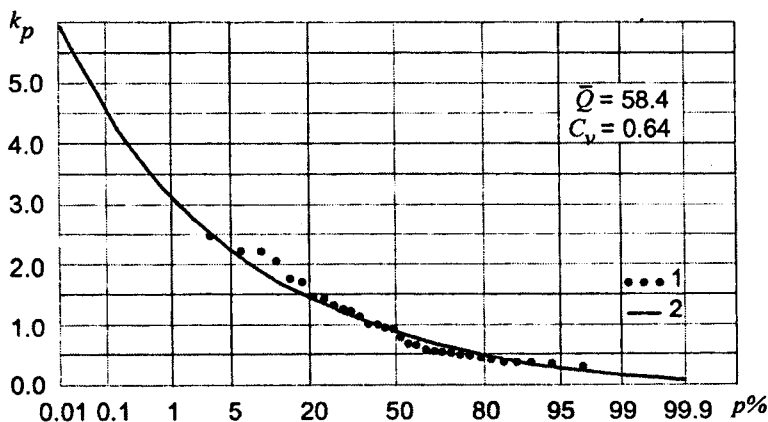
Cədvəl 3.2 davamı

| m_i | İllər | Su sərfələri, m^3/s | Azalma sıraları | | Təminat, % |
|-------|-------|-----------------------|-----------------------|-----------------|------------|
| | | | su sərfələri, m^3/s | modul əmsalları | |
| 24 | 1977 | 58.7 | 28.4 | 0.49 | 72.7 |
| 25 | 1978 | 130 | 27.5 | 0.47 | 75.8 |
| 26 | 1979 | 22.0 | 25.0 | 0.43 | 78.8 |
| 27 | 1980 | 54.0 | 24.0 | 0.41 | 81.8 |
| 28 | 1981 | 100 | 22.1 | 0.38 | 84.9 |
| 29 | 1982 | 78.1 | 22.1 | 0.38 | 87.9 |
| 30 | 1983 | 39.2 | 22.0 | 0.38 | 90.9 |
| 31 | 1984 | 66.0 | 21.3 | 0.36 | 93.9 |
| 32 | 1985 | 84.4 | 17.3 | 0.30 | 97.0 |

2. Azalma sırasının hər bir su sərfi üçün, $P = \frac{m}{n+1} \cdot 100\%$

düsturuna əsasən empirik təminat hesablanır. Sıranın uzunluğu $n=32$ -dir və sıranın birinci həddinin təminatı $p_1=(1/33)100\% = 3,03\%$; ikinci həddininki isə $p_2=(2/33)100\% = 6,06\%-ə$ bərabərdir və s.

3. Cədvəl 3.2-nin axırıncı iki sütununun məlumatlarına əsasən ehtimal damasında empirik təminat əyrisi qurulur (şəkil 3.1).



Misal 3.2. Çay üzerinde 150 il ərzində yerinə yetirilmiş müşahidə məlumatlarına əsasən maksimal su sərflərinin integrallı paylanması funksiyasının koordinatları hesablanıb və aşağıdakı cədvəldə verilib. Təkrarlanma dövrü 10, 50 və 100 il olan maksimal su sərflərini təyin edin.

| n | Su sərfləri, x_n (m ³ /s) | P(X < x _n) |
|----|---|------------------------|
| 1 | 0 | 0 |
| 2 | 25 | 0,19 |
| 3 | 50 | 0,35 |
| 4 | 75 | 0,52 |
| 5 | 100 | 0,62 |
| 6 | 125 | 0,69 |
| 7 | 150 | 0,88 |
| 8 | 175 | 0,92 |
| 9 | 200 | 0,95 |
| 10 | 225 | 0,98 |
| 11 | 250 | 1,00 |

Həlli: $P = \frac{1}{T}$ düsturuna görə, təkrarlanma dövrü, T , 10, 50, və 100 il olan su sərflərinin ötülmə ehtimalı müvafiq olaraq $1/10=0.10$, $1/50=0.02$ və $1/100=0.01$ təşkil edir. Bu təminatlara müvafiq integrallı (cəm) ehtimallar $1-0.1=0.9$, $1-0.02=0.98$ və $1-0.01=0.99$ alınır. Verilmiş integrallı paylanması funksiyasından interpolasiya yolu ilə aşağıdakı nəticələr alınır:

| Təkrarlanma dövrü (illər) | Su sərfi m ³ /s |
|---------------------------------|-------------------------------|
| 10 | 163 |
| 50 | 225 |
| 100 | 238 |

Misal 3.3. Qvadalupe çayının Viktoriya yaxınlığında (Texas) maksimal su sərfəri 1965-1978-ci illər üçün aşağıdakı cədvəldə verilmişdir.

| İl | Mak.su sərfi (fut ³ /s) | İl | Mak.su sərfi (fut ³ /s) |
|------|---------------------------------------|------|---------------------------------------|
| 1965 | 15,000 | 1972 | 58,500 |
| 1966 | 9790 | 1973 | 33,100 |
| 1967 | 70,000 | 1974 | 25,200 |
| 1968 | 44,300 | 1975 | 30,200 |
| 1969 | 15,200 | 1976 | 14,100 |
| 1970 | 9190 | 1977 | 54,500 |
| 1971 | 9740 | 1978 | 12,700 |

Veybul və Qinqorten düsturlarından istifadə edərək maksimal su sərfərinin kumulyativ (cəm) paylanma funksiyalarını qurun. Alınan nəticələri müqayisə edin.

Həlli: Müşahidə sırası azalma qaydasında düzülür və aşağıdakı cədvəlin 2-ci sütununda yazılır.

Sıranın uzunluğu $N = 14$ ildir. Veybul düsturuna görə empirik təminatlar hesablanır:

$$P(Q > q_m) = \frac{m}{N+1} = \frac{m}{14+1} = \frac{m}{15}.$$

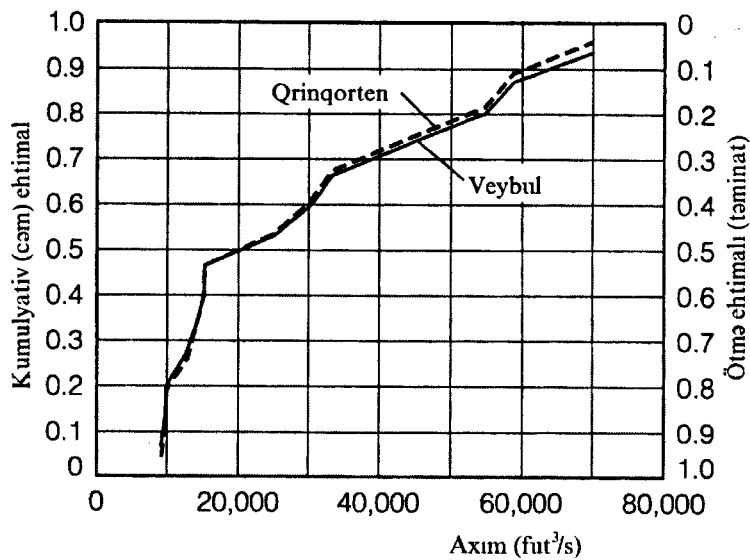
Bu empirik təminatlar cədvəlin 3-cü sütununda yazılır. Qinqorten düsturuna görə empirik təminatlar hesablanır ($\alpha = 0,40$ qəbul olunur):

$$P(Q > q_m) = \frac{m - \alpha}{N + 1 - 2\alpha} = \frac{m - 0.40}{14 + 1 - 2(0.40)} = \frac{m - 0.40}{14.2}$$

və empirik təminatlar cədvəlin 4-cü sütununda yazılır.

Hər iki düstura görə hesablanmış empirik təminatlara əsasən ehtimalın kumulyativ paylanma funksiyası qurulmuşdur (şəkil 3.4). Bu əyrlilər çox oxşardır. Su sərfərinin böyük qiymətləri üçün Qinqorten düsturu ilə hesablanmış empirik təminatlar daha kiçik qiymətlər alır və müvafiq olaraq daha böyük təkrarlanma dövrünə malikdir.

| m | Mak.su sərfi (fut ³ /s) | Veybul $P(Q > q_m)$ | Qrinqorten $P(Q > q_m)$ |
|-----|---------------------------------------|------------------------|----------------------------|
| (1) | (2) | (3) | (4) |
| 1 | 70,000 | 0.067 | 0.042 |
| 2 | 58,500 | 0.133 | 0.113 |
| 3 | 54,500 | 0.200 | 0.183 |
| 4 | 44,300 | 0.267 | 0.253 |
| 5 | 33,100 | 0.333 | 0.324 |
| 6 | 30,200 | 0.400 | 0.394 |
| 7 | 25,200 | 0.467 | 0.465 |
| 8 | 15,200 | 0.533 | 0.535 |
| 9 | 15,000 | 0.600 | 0.606 |
| 10 | 14,100 | 0.667 | 0.676 |
| 11 | 12,700 | 0.733 | 0.746 |
| 12 | 9790 | 0.800 | 0.817 |
| 13 | 9740 | 0.867 | 0.887 |
| 14 | 9190 | 0.933 | 0.958 |



Şəkil 3.4. Qrinqorten və Veybul düsturlarına görə qurulmuş integral paylanması funksiyaları

3.2. Hidrometeorologiyada istifadə olunan analitik paylanma funksiyaları

Hidrometeoroloji müşahidə sıraları qısa olduğuna görə empirik təminatlar əyrisi (empirik nöqtələrin düzülüşü) hətta ehtimallar damasında mürəkkəb formali-bəzi hissələri batıq, bəzi hissələri işə qabarır olur. Digər tərəfdən, kiçik və böyük təminatlar zonalarında empirik nöqtələr olmur. Məsələn, cədvəl 3.2 və şəkil 3.3-dən görünür ki, maksimal su sərfərinin empirik təminatları 3,03%-la 97% arasında qiymətlər alır. Lakin I sinif hidrotexniki qurğular layihələndirildikdə 0,01% təminatlı su sərfi hesablanması lädir. Belə məsələləri həll etmək üçün empirik təminatlar əyrisi böyük və kiçik qiymətlər zonasına ekstrapolyasiya olunmalıdır. Ekstrapolyasiya gözəyari yerinə yetmiş ümiməz, çünki alınan nəticələr subjektiv xarakter daşıyacaq.

Hidrometeorologiyada empirik təminat əyrlərini hamarlaşdırmaq və ekstrapolyasiya etmək üçün ehtimalların paylanma funksiyalarından istifadə olunur. Hidroloqlar bu funksiyalar analitik təminatlar əyrləri adlandırırlar. Bu bölmədə hidrometeorologiyada istifadə edilən analitik paylanma funksiyaları (analitik təminat əyrləri) təhlil olunur.

3.2.1. Normal paylanma

Təbiətdə çoxsaylı əsili olmayan və ya zəif əsili olan təsadüfi kəmiyyətlərin cəmi kimi baxıla bilən təsadüfi kəmiyyətlər geniş yayılmışdır. Belə təsadüfi kəmiyyətlərin toplananlarının dispersiyaları ümumi cəmin (dispersiyası) ilə müqayisədə azdır. Mərkəzi limit teoreminə görə belə təsadüfi kəmiyyətlərin paylanması normal paylanma ilə yaxşı aproksimasiya olunur. Buna görə də normal paylanma geniş tətbiq edilir. Normal paylanma həm də Qaus və ya Qaus-Laplas paylanması da adlandırılır.

Normal paylanma üçün ehtimalın sıxlıq funksiyası aşağıdakı ifadəyə görə təyin olunur:

Dispersiya

$$f(x) = \frac{1}{\sigma_x \sqrt{2\pi}} \exp\left[\frac{-(x - m_x)^2}{2\sigma_x^2} \right], \quad (3.10)$$

burada π - "pi" adedidir.

Normal paylanması iki parametrlidir, yəni iki parametrdən asılıdır: riyazi gözləmə, m_x və orta kvadratik meyletmədən, σ_x .

Normal paylanması ehtimal sıxlığı funksiyasının qrafiki şəkil 2.8 a-da göstərilir. Bu şəkildən göründüyü kimi normal paylanması simmetrikdir və onun üçün asimetriya əmsali sıfır bərabərdir ($C_s = 0$), moda, mediana və riyazi gözləmə isə eynidir. Normal paylanması təbə olan təsadüfi kəmiyyətin mümkün qiymətlər oblastı $(-\infty, +\infty)$ intervalıdır. $(-\infty, +\infty)$

Bu paylanması integrallı funksiyası aşağıdakı kimidir:

$$F(x) = \frac{1}{\sigma_x \sqrt{2\pi}} \int_{-\infty}^x \exp\left[\frac{-(z - m_x)^2}{2\sigma_x^2} \right] dz, \quad (3.11)$$

burada z -inteqrallamanın dəyişənidir.

Bu düsturdakı integrallı elementar funksiyalarla ifadə etmək olmaz və buna görə də normal paylanması ~~ordinat~~ adətən cədvəl şəklində verilir. Riyazi gözləmə, m_x , və orta kvadratik meyletmənin, σ_x , müxtəlif qiymətlər cümləkləri üçün çoxsaylı cədvəller çap etməkdən ötrü X təsadüfi kəmiyyəti əvəzinə normallaşdırılmış t və ya Z təsadüfi kəmiyyətindən istifadə olunur (cədvəl 3.3), çünki X və t kəmiyyətlərini düstur (2.48) əlaqələndirir.

Normallaşdırılmış t təsadüfi kəmiyyəti üçün $m_t=0$ və $\sigma_t=1$ olduğuna görə, onun paylanması funksiyalarının ifadələri aşağıdakı kimidir:

$$f(t) = \left(1/\sqrt{2\pi}\right) \exp\left(-t^2/2\right), \quad (3.12)$$

$$F(X) = \left(1/\sqrt{2\pi}\right)' \int_{-\infty}^x \exp(-z^2/2) dz. \quad (3.13)$$

Cədvəl 3.3

Normal paylanan t təsadüfi kəmiyyətinin normallaşdırılmış kvantilları ($F(t)$ -nin qiymətləri %-lə verilmişdir)

| $F(t)$ | t | $F(t)$ | t |
|--------|-------|--------|------|
| 0.01 | -3.72 | 60 | 0.25 |
| 0.1 | -3.09 | 70 | 0.52 |
| 0.5 | -2.58 | 75 | 0.67 |
| 1 | -2.33 | 80 | 0.84 |
| 2 | -2.02 | 90 | 1.28 |
| 2.5 | -1.96 | 95 | 1.64 |
| 3 | -1.88 | 97 | 1.88 |
| 5 | -1.64 | 97.5 | 1.96 |
| 10 | -1.28 | 98 | 2.02 |
| 20 | -0.84 | 99 | 2.33 |
| 25 | -0.67 | 99.5 | 2.58 |
| 30 | -0.52 | 99.9 | 3.09 |
| 40 | -0.25 | 99.99 | 3.72 |
| 50 | 0.00 | | |

Normallaşdırılmış təsadüfi kəmiyyətin qiymətlərindən ilkin qiymətlərə keçmək üçün aşağıdakı düsturdan istifadə olunur:

$$x_p = t_p \sigma_p + m_x \quad (3.14)$$

və ya modul əmsalları üçün

$$K_p = t_p C_v + 1 \quad (3.15)$$

Nəzəri cəhətdən, hidrometeoroloji kəmiyyətlərin əksəriyyəti normal paylaşılmır, çünki onların qiyməti mənfi olmur və 0, $0 + \infty$ intervalında dəyişir. Məlum olduğu kimi, normal paylanan təsadüfi kəmiyyətlər $-\infty$ və $+\infty$ arasında qiymətlər alır. Lakin təsadüfi kəmiyyətin orta qiyməti orta kvadratik meyletmədən üç-dörd dəfə böyük olarsa, onda bir çox hallarda onun normal paylandığını qəbul etmək olar (Haan, 1977). Məsələn, illik yağışlırlar,

havanın temperaturu və təzyiqi, marşrut boyu qar örtüyünün qalınlığı, axın sürətinin turbulent pulsasiyaları demək olar ki, normal paylanır. Lakin bunu sutkalıq yağıntı layı, küləyin sürəti, buludluq haqqında demək olmaz.

Misal 3.4. İllik yağış layı normal paylanır. Sıranın orta kəmiyyəti 127 sm və orta kvadratik meyletməsi 19 sm təşkil edir. 50 ildə 1 dəfə təkrarlanan yağış layını təyin edin.

Həlli: 50 ildə 1 dəfə təkrarlanan yağış layı, x_{50} , təkrarlanma əmsalından, K_{50} , istifadə etməklə aşağıdakı kimi yazıla bilər:

$$x_{50} = \mu_x + K_{50}\sigma_x,$$

Bu yağış layına uyğun empirik təminat tapılır:

$$p = \frac{1}{T} = \frac{1}{50} = 0.02 \text{ və ya } 2\%$$

Aralıq w kəmiyyəti hesablanır:

$$w = \left[\ln\left(\frac{1}{p^2}\right) \right]^{1/2} = \left[\ln\left(\frac{1}{0.02^2}\right) \right]^{1/2} = 2.797,$$

təkrarlanma əmsalı təyin olunur:

$$\begin{aligned} K_{50} &= w - \frac{2.515517 + 0.802853w + 0.010328w^2}{1 + 1.432788w + 0.189269w^2 + 0.001308w^3} = \\ &= 2.797 - \frac{2.515517 + 0.802853(2.797) + 0.010328(2.797)^2}{1 + 1.432788(2.797) + 0.189269(2.797)^2 + 0.001308(2.797)^3} = 2.054 \end{aligned}$$

50 ildə 1 dəfə təkrarlanan yağış layı qiymətləndirilir:

$$x_{50} = \mu_x + K_{50}\sigma_x = 127 + 2.054(19) = 166 \text{ sm.}$$

Misal 3.5. Məlumdur ki, X təsadüfi kəmiyyəti parametrləri $m_x = 10$, $\sigma_x = 5$ olan normal paylanma qanununa tabedir. x'_p -nin 95%-i aşmayan ehtimala müvafiq 5% təminatlı qiymətini tapın (yəni, $F(x)=95\%$ olduqda).

Həlli: 1. Cədvəl 3.3-ə əsasən normallaşdırılmış t təsadüfi kə-

miyyətinin 95%-li kvantili təyin edilir: $t'_{95} = 1,64$.

2. Məlum düstura görə:

$$x'_{95} = t_{95}\sigma_{95} + m_x = 1,64 \cdot 5 + 10 = 18,2.$$

Misal 3.6. Əvvəlki misaldan X təsadüfi kəmiyyəti üçün x_p -nin 1% təminata müvafiq qiymətini təyin edin ($P(x) = 1\%$ olduqda).

Həlli: 1. Cədvəl 3.3-də integrallı paylanma funksiyasının ordinatları verildiyindən, əvvəlcə normallaşdırılmış t təsadüfi kəmiyyəti üçün $F(t)$ (%) -lər təyin edilir:

$$F(t) = 100 - P(t) = 100 - 1 = 99\%.$$

2. Cədvəl 3.3-dən normallaşdırılmış t təsadüfi kəmiyyətinin 99%-li kvantili təyin edilir:

$$t'_{99} = 2,33.$$

3. Aşağıdakı düstura əsasən $x_{1\%}$ hesablanır:

$$x_{1\%} = x'_{99} = 2,33 \cdot 5 + 10 = 21,65.$$

Misal 3.7. Çay sutoplayıcısına düşən illik yağış layının orta qiyməti 130 sm, orta kvadratik meyletməsi isə 15,6 sm təşkil edir. Əgər, yağış layı normal paylanma qanununa tabedirsə, hər hansı bir ildə yağış layının 101,6 sm-dən az olma ehtimalını hesablayın.

Həlli: Şərtə görə: $\mu_x = 130.0$ sm, və $\sigma_x = 15.6$ sm. Illik yağış layı $x = 101.6$ sm olduqda, standart normallaşdırılmış kəmiyyət:

$$z = \frac{x - \mu_x}{\sigma_x} = \frac{101.6 - 130.0}{15.6} = -1.82$$

Standart normallaşdırılmış kəmiyyət, $z < 0$ ($z \leq -1.82$) olduğuna görə $F(-1.82) = B$.

$$\begin{aligned} B &= \frac{1}{2} \left[1 + 0.196854 |z| + 0.115194 |z|^2 + 0.000344 |z|^3 + 0.019527 |z|^4 \right]^{-4} \\ &= \frac{1}{2} \left[1 + 0.196854 |-1.82| + 0.115194 |-1.82|^2 + 0.000344 |-1.82|^3 + \right. \\ &\quad \left. + 0.019527 |-1.82|^4 \right] = 0.034 \end{aligned}$$

və beləliklə:

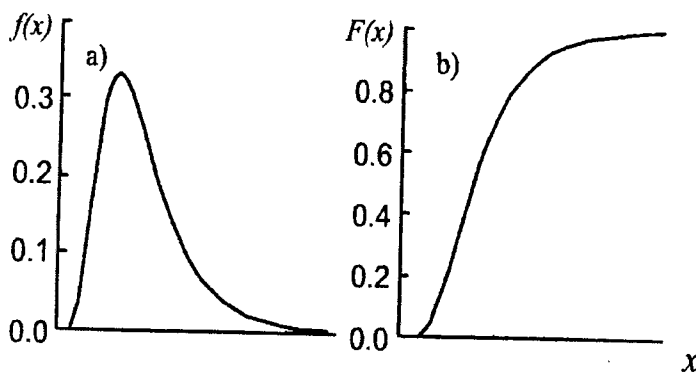
$$F(-1.82) = 0.034 = 3.4\%.$$

İllik yağış layının 101,6 sm-dən az olma ehtimalı 3,4 %-dir.

3.2.2. Loqarifmik-normal paylanma

Əvvəlki paraqrafda qeyd olunduğu kimi, hidrometeoroloji kəmiyyətlərin əksəriyyəti müsbət asimmetriyalıdır və buna görə onlar normal paylanır. Lakin bir çox hallarda dəyişən kəmiyyəti onun loqarifmi ilə əvəzləməklə asimetrik paylanmayı normal paylanmaya gətirmək olar.

Müsbət təsadüfi X kəmiyyətinin loqarifmi, $Z = \ln(X)$, normal paylanırsa, onda X kəmiyyəti loqarifmik-normal paylanır (şəkil 3.5).



Şəkil 3.5. Loqarifmik-normal qanunun ($m_z=1$ və $\sigma_z=0.5$) diferensial (a) və integral (b) paylanma funksiyaları

Loq-normal paylanmanın integral funksiyası aşağıdakı kimi-dir:

$$F(x) = \begin{cases} 0 & x \leq 0 \quad \text{olduqda} \\ F(u) = \frac{1}{\sqrt{2\pi}} \int_{-\infty}^u \exp \frac{-s^2}{2} ds & x > 0 \quad \text{olduqda} \end{cases} \quad (3.16)$$

burada $u = (z - m_z) / \sigma_z$; $z = \ln(x)$; s -inteqrallamanın dəyişənidir.

Bu ifadə diferensiallıqda loq-normal paylanması üçün ehtimalın sıxlıq funksiyası alınır:

$$f(x) = \begin{cases} 0 & x \leq 0 \text{ olduqda} \\ \frac{1}{\sigma_z x} f(u) = \frac{1}{\sigma_z x \sqrt{2\pi}} \exp\left(\frac{-u^2}{2}\right) & x > 0 \text{ olduqda} \end{cases} \quad (3.17)$$

Beləliklə, bu paylanması iki parametri var: Z təsadüfi kəmiyyətinin riyazi gözləməsi, m_z və orta kvadratik meyletməsi, σ_z .

X və Z təsadüfi kəmiyyətlərinin riyazi gözləmə və orta kvadratik meyletmələri arasında asılılıq var:

$$m_z = \ln(m_x) - \frac{\sigma_x^2}{2} = \ln(m_x) - \frac{\ln(\sigma_x^2/m_x^2 + 1)}{2}, \quad (3.18)$$

$$\sigma_z^2 = \ln\left(\frac{\sigma_x^2}{m_x^2} + 1\right). \quad (3.19)$$

Log-normal paylanması asimetriya əmsalı aşağıdakı düstura görə təyin olunur:

$$C_s = 3C_v + C_v^3, \quad (3.20)$$

burada $C_v = \sigma_x / m_x$.

Hidrometeoroloji xarakteristikaların eksəriyyəti üçün $C_v < 1$ olduğuna görə, $C_s / C_v = 3,0 - 3,5$ olduqda empirik və loq-normal analitik təminat əyriləri bir-birinə daha uyğun olur.

Loq-normal paylanmış X təsadüfi kəmiyyətinin moda və medianası aşağıdakı ifadələrə görə qiymətləndirilir:

$$M_0 = \exp(m_z - \sigma_z^2); \quad (3.21)$$

$$Me = \exp(m_z). \quad (3.22)$$

Loq-normal analitik təminat əyrisinin ordinatlarını təyin etmək üçün standart normal paylanmasından istifadə olunur. Lakin təsadüfi kəmiyyət kimi $Z = \ln(X)$ götürülür.

Loq-normal paylanması daşqınların maksimal su sərflərinin (Çin, Yaponiya, Böyük Britaniya, Rusiya, Bolqaristan) və sutkalıq yağış layının hesablanmasından istifadə olunur.

Misal 3.8. İllik yağış layı loqarifmik-normal paylanır. Sıranın orta kəmiyyəti 127 sm və orta kvadratik meyletməsi 19 sm təşkil edir. Yağış layının 50 ildə 1 dəfə təkrarlanmaya uyğun qiymətini təyin edin.

Həlli: Yağış layının müşahidə olunmuş qiymətlərinin orta kəmiyyəti, μ_x , və orta kvadratik meyletməsi, σ_x^2 , ilə $Y = \ln X$ ifadəsinə görə alınmış sıranın müvafiq parametrləri, μ_y və σ_y arasında aşağıdakı əlaqələr var:

$$\mu_x = \exp\left(\mu_y + \frac{\sigma_y^2}{2}\right), \quad \sigma_x^2 = \mu_x^2 [\exp(\sigma_y^2) - 1].$$

Bu ifadələr aşağıdakı kimi də yazılı bilər:

$$\mu_y = \frac{1}{2} \ln\left(\frac{\mu_x^4}{\mu_x^2 + \sigma_x^2}\right), \quad \sigma_y = \sqrt{\ln \frac{\sigma_x^2 + \mu_x^2}{\mu_x^2}}.$$

Beləliklə,

$$\mu_y = \frac{1}{2} \ln\left(\frac{127^4}{127^2 + 19^2}\right) = 4.83.$$

və

$$\sigma_y = \sqrt{\ln \frac{19^2 + 127^2}{127^2}} = 0.149.$$

Yağış layının 50 ildə 1 dəfə təkrarlanan qiyməti y_{50} , aşağıdakı düstura görə hesablanır:

$$y_{50} = \mu_y + K_{50} \sigma_y.$$

$K_{50}=2.054$ olduğuna görə:

$$y_{50} = 4.83 + 2.054(0.149) = 5.14$$

və təkrarlanma dövrü 50 ildə 1 dəfə olan yağış layı aşağıdakı kimi hesablanır:

$$x_{50} = e^{y_{50}} = e^{5.14} = 171 \text{ sm.}$$

Misal 3.9. Loqarifmik-normal paylanması qanunundan istifadə etməklə cədvəl 3.1-in məlumatlarına görə çayın 1% təminatlı, Q_1 , maksimal su sərfini təyin edin.

Həll 1. İlkin sıranın hədləri $z_i = \ln Q_i$ düsturuna əsasən dəyişdirilir və yeni sıra tərtib olunur.

2. Z təsadüfi kəmiyyətlər sırasına əsasən təqribi olaraq m_z və σ_z təyin edilir:

$$m_z = \frac{1}{n} \sum_{i=1}^n z_i \approx 3,87, \sigma_z = \sqrt{\frac{1}{n-1} \sum_{i=1}^n (z_i - m_z)^2} \approx 0,64.$$

3. Cədvəl 3.3-də integrallı paylanması funksiyasının ordinatları verildiyindən, o, təminat paylanması funksiyası ilə əvəz edilir: $F(t)=100$ - P(t)=100-1=99%.

4. Cədvəl 3.3-ə əsasən normal paylanmış normallaşdırılmış t təsadüfi kəmiyyətinin 99%-li kvantili təyin edilir: $t'_{99} = 2,33$.

5. z_1 hesablanır:

$$z_1 = z'_{99} = \sigma_z t'_{99} + m_z = 2,33 \times 0,64 + 3,87 = 5,36.$$

6. $z_1 = \ln Q_1$, olduğundan, $Q_1 = \exp(z_1) = \exp(5,36) = 213 \text{ m}^3/\text{s.}$

Həll 2.

1. Bilavasitə ilkin sıraya əsasən (cədvəl 3.1) təqribi olaraq m_Q və σ_Q təyin edilir:

$$m_Q \approx 58,44; \sigma_Q \approx 37,19.$$

2. m_z və σ_z hesablanır:

$$\begin{aligned} \sigma_z^2 &= \ln \left(\frac{\sigma_x^2}{m_x^2} + 1 \right) = \ln \left[\frac{(37,19)^2}{(58,44)^2} + 1 \right] = \\ &= 0,34; \sigma_z = 0,58; \end{aligned}$$

$$m_z = \ln(m_x) - \frac{\sigma_x^2}{2} = \ln(m_x) - \frac{\ln(\sigma_x^2/m_x^2 + 1)}{2} = \\ = \ln(58,44) - 0,34/2 = 3,90.$$

3. Sonrakı hesablamalar birinci variantda olduğu kimi yerinə yetirilir:

$$t_{99}' = 2,33; z_1 = z_{99}' = 2,33 \cdot 0,58 + 3,90 = 5,25; \\ Q_1 = \exp(5,25) = 191 \text{ m}^3/\text{s}.$$

Göründüyü kimi, m_z və σ_z parametrlərinin müxtəlif variantlarda hesablanmış qiymətləri bir qədər fərqlənir. 1% təminatlı su sərflərinin, Q_1 , qiymətlərinin ($213 \text{ m}^3/\text{s}$ və $191 \text{ m}^3/\text{s}$) fərqi 12% təşkil edir. Bu onu göstərir ki, baxılan sıra loq-normal əyri ilə aproksimasiya oluna bilər, lakin bu aproksimasiya ideal deyil.

Misal 3.10. Qvadalupe (Guadalupe) çayının Viktoriya yaxınlığında (Texas) maksimal su sərfinin orta çoxillik qiyməti $801 \text{ m}^3/\text{s}$, standart meyletməsi $851 \text{ m}^3/\text{s}$, məcranın suburaxma qabiliyyəti $900 \text{ m}^3/\text{s}$ təşkil edir. Su sərfləri log-normal qanuna müvafiq paylanırsa, maksimal su sərfinin məcranın suburaxma qabiliyyətini ötmə (aşma) ehtimalını təyin edin.

Həlli: Şərtə görə $\mu_x = 801 \text{ m}^3/\text{s}$ və $\sigma_x = 851 \text{ m}^3/\text{s}$.

$$\exp(\mu_y + \sigma_y^2 / 2) = 801 (= \mu_x),$$

və

$$(801)^2 [\exp(\sigma_y^2) - 1] = (851)^2 (= \sigma_x^2),$$

buradan:

$$\mu_y = 6.31 \text{ və } \sigma_y = 0.870.$$

Əgər, $x = 900 \text{ m}^3/\text{s}$, olarsa onda loqarifmik dəyişdirilmiş y dəyişəni $y = \ln 900 = 6.80$ və normallaşdırılmış təsadüfi z kəmiyyəti:

$$z = \frac{y - \mu_y}{\sigma_y} = \frac{6.80 - 6.31}{0.870} = 0.563.$$

Standart normalallaşdırılmış kəmiyyət $z > 0$ ($z \leq (0,563)$) olduğuna görə $F(0,563) = 1 - B$

$$B = \frac{1}{2} \left[1 + 0.196854|z| + 0.115194|z|^2 + 0.000344|z|^3 + 0.019527|z|^4 \right]^{-4}$$

$$= \frac{1}{2} \left[1 + 0.196854|0.563| + 0.115194|0.563|^2 + 0.000344|0.563|^3 \right]^{-3} +$$

$$+ 0.019527|0.563|^4 = 0.286$$

buradan:

$$F(0.563) = 1 - B = 1 - 0,286 = 0,714 = 71,4\%.$$

Çayın maksimal su sərfinin məcraının suburaxma qabiliyyətini ötmə ehtimalı $1 - 0,714 = 0,286 = 28,6\%$ təşkil edir. Bu kifayət qədər böyük ehtimaldır və faktik olaraq, baxılan hadisə hər il baş verə bilər.

3.2.3. Binomial paylanması

Binomial və ya Bernulli paylanması diskret paylanmasıdır. Bu paylanması, keyfiyyətcə yalnız iki nəticə ilə səciyyələnən istənilən hadisəyə tətbiq oluna bilər. Məsələn, çay quruyur və ya çayda axım var, temperatur donma nöqtəsindən aşağı və ya yuxarıdır, maksimal su sərfi verilən qiymətdən böyük və ya kiçikdir və s.

Binomial paylanması belə yazılır:

$$f(n) = \frac{N!}{n!(N-n)!} P^{n} (1-P)^{N-n}, \quad (3.23)$$

burada N - ümumi sınaqların sayı; n -uğurlu sınaqların sayı; P - uğurlu sınaqların ehtimalıdır.

Bu paylanması aşağıdakı kimi də yazıla bilər:

$$f(n) = \binom{N}{n} P^n (1-P)^{N-n}, \quad (3.24)$$

burada

$$\binom{N}{n} = \frac{N!}{n!(N-n)!}, \quad (3.25)$$

bu axırıncı ifadə binomial əmsal adlanır.

Binomial paylanmasıın parametrləri aşağıdakı düsturlara görə təyin olunur:

$$m_n = \mu_n = NP; \quad (3.26)$$

$$\sigma_n^2 = NP(1-P); \quad (3.27)$$

$$C_s = g = \frac{1-2p}{NP(1-P)}. \quad (3.28)$$

Binomial paylanması, $f(n)$, $p = 0,5$ olduqda simmetrik, $p < 0,5$ olduqda müsbət asimmetriyalı, $p > 0,5$ olduqda isə mənfi asimmetriyalı olur.

Misal 3.11. Yaşayış məntəqəsindən yağış sularını kənarlaşdırın sistem təkrarlanması dövrü 10 il olan leysana görə layihələndirilir. Bu sistemin 20 ildə 1 dəfə sıradan çıxma ehtimalını qiymətləndirin. Sistemin 20 ildə ən azı 1 dəfə sıradan çıxma ehtimalı nə qədərdir?

Həlli: Sistem suyu o halda kənarlaşdırıa bilməz ki, leysan layı hesabi (layihədə nəzərdə tutulan) laydan böyük olsun. 10 ildə 1 dəfə təkrarlanan leysanın ehtimalı $P=1/10=0,1$ (və ya 10%) təşkil edir. Təkrarlanması dövrü 10 il olan leysanın 20 ildə 1 dəfə ötmə ehtimalı binomial paylanmasına görə qiymətləndirilə bilər:

$$f(n) = \frac{N!}{n!(N-n)!} p^n (1-p)^{N-n},$$

burada $n = 1, N = 20$ və $p = 0,1$. Bu qiymətləri yerinə yazsaq:

$$f(1) = \frac{20!}{1!(20-1)!} (0,1)^1 (1-0,1)^{20-1} = 0,27.$$

Beləliklə, baxılan sistemin 20 ildə 1 dəfə sıradan çıxma ehtimalı 27%-dir.

10 ildə 1 dəfə təkrarlanan leysanın 20 ildə ən azı 1 dəfə ötmə ehtimalı aşağıdakı kimi hesablanır:

$$P = \sum_{i=1}^{20} f(i) = 1 - f(0) = 1 - \frac{20!}{0!(20-0)!} (0.1)^0 (1-0.1)^{20-0} = 1 - 0.12 = 0.88.$$

Hesabi kəmiyyətin ən azı 1 dəfə ötmə ehtimalı sistemin riski, və ötməmə ehtimalı isə sistemin etibarlığı adlanır. Bu misalda, 20 il ərzində sistemin öz funksiyasını yerinə yetirə bilməməsi riski 88%, həmin dövr ərzində etibarlığı isə 12%-dir.

Misal 3.12. Çayın su rejimi üzərində 20 il müşahidələr yerinə yetirilmiş və 4 ildə quruma hadisəsi qeydə alınmışdır. Növbəti 20 il ərzində çayda 8 dəfə quruma müşahidə olunmasının ehtimalını təyin edin.

Həlli: Hesablamaşalar aşağıdakı ardıcılıqla yerinə yetirilir:

1. Müşahidə dövrü ərzində çayın quruma ehtimalı tapılır:

$$P = \frac{n}{N} = \frac{4}{20} = 0,2.$$

2. Binomial paylanmasından dəsturuna görə çayın növbəti 20 ildə 8 dəfə quruma ehtimalı hesablanır:

$$P_{20}(8) = \frac{N!}{n!(N-n)!} P^n (1-P)^{N-n} = \frac{20!}{8!(20-8)!} 0,2^8 (1-0,2)^{20-8} = 0,0221$$

və ya 2,21%.

3.2.4. Puasson paylanması

Puasson paylanması $N \rightarrow \infty$, $p \rightarrow 0$ olduqda və $Np = \lambda$ sabit sonlu qiymətini saxladıqda diskret binomial paylanmasından onun limiti kimi alınır:

$$\lim_{N \rightarrow \infty, p \rightarrow 0} \frac{N!}{n!(N-n)!} p^n (1-p)^{N-n} = \frac{(NP)^n e^{-Np}}{n!}, \quad (3.29)$$

burada N, n və P -binomial paylanmadakı işarələrlə eynidir.

Əgər, $Np = \lambda$ qəbul etsək, onda Puasson paylanması aşağıdakı kimi yazılar:

$$f(n) = \frac{\lambda^n e^{-\lambda}}{n!}. \quad (3.30)$$

Bu düsturdan göründüyü kimi, Puasson paylanmasıının yalnız bir parametri, λ , var.

Diskret Puasson paylanmasıının orta qiyməti, dispersiyası və asimmetriya əmsalı aşağıdakı ifadələrə görə təyin olunur:

$$\mu_n = m_n = \lambda, \sigma_n^2 = \lambda, g_n = C_s = \lambda^{-\frac{1}{2}}. \quad (3.31)$$

Bu paylanması üçün orta qiymət və dispersiya bir-birinə bərabərdir. Variasiya və asimmetriya əmsalları da bərabərdir:

$$C_s = C_v = \lambda^{-\frac{1}{2}}.$$

Beləliklə, əgər, diskret təsadüfi kəmiyyət sırası üçün $m_n \approx \sigma_n^2 \approx \mu_3 \approx \lambda$ şərti ödənilirsə, onda hesab etmək olar ki, bu təsadüfi kəmiyyət Puasson qanununa görə paylanır (μ_3 – üçüncü mərkəzi momentdir).

Misal 3.13. 1903-1988-ci illərdə Florida ştatında müşahidə olunan tropik siklonların sayı aşağıdakı cədvəldə verilmişdir:

| | 00 | 01 | 02 | 03 | 04 | 05 | 06 | 07 | 08 | 09 |
|------|----|----|----|----|----|----|----|----|----|----|
| 1900 | | | | 1 | 1 | 0 | 2 | 0 | 0 | 1 |
| 1910 | 1 | 1 | 0 | 0 | 0 | 1 | 2 | 1 | 0 | 1 |
| 1920 | 0 | 1 | 0 | 0 | 2 | 1 | 2 | 0 | 2 | 1 |
| 1930 | 0 | 0 | 1 | 2 | 0 | 2 | 1 | 0 | 0 | 1 |
| 1940 | 0 | 1 | 0 | 0 | 1 | 2 | 1 | 2 | 2 | 1 |
| 1950 | 2 | 0 | 0 | 1 | 0 | 0 | 1 | 0 | 0 | 0 |
| 1960 | 1 | 0 | 0 | 3 | 0 | 1 | 2 | 0 | 1 | 0 |
| 1970 | 0 | 0 | 1 | 0 | 0 | 1 | 0 | 0 | 0 | 1 |
| 1980 | 0 | 0 | 0 | 0 | 0 | 2 | 0 | 1 | 0 | |

İl ərzində müşahidə olunmuş tropik siklonların sayının Puasson paylanması uyğunluğunu nəzərə alaraq bu paylanması parametrlərini təyin edin. Floridakı bir ildə 3 tropik siklonun müşahidə olunma ehtimalını qiymətləndirin.

Həlli: Puassonun paylanması funksiyası, $f(n)$, aşağıdakı kimi midir:

$$f(n) = \frac{(\lambda t)^n e^{-\lambda t}}{n!},$$

burada n – bir ildə müşahidə olunmuş hadisələrin sayı, λt parametri isə orta qiymət, μ_n , və orta kvadratik meyletmə ilə funksional əlaqəlidir.

Müşahidə sırasının uzunluğu 86 il təşkil edir və bir ildə müşahidə olunmuş tropik siklonların orta sayı, μ_n , birinci dərəcəli moment kimi, \bar{N} , təyin olunur:

$$\mu_n \approx \bar{N} = \frac{1}{86} \sum n_i = \frac{1}{86} (56) = 0.65,$$

$\lambda t=0.65$ olduğu üçün Puassonun paylanması funksiyası aşağıdakı kimi yazılır:

$$f(n) = \frac{0.65^n e^{-0.65}}{n!}.$$

Bir ildə 3 tropik siklonun ($n=3$) müşahidə olunma ehtimalı aşağıdakı kimi tapılır:

$$f(3) = \frac{0.65^3 e^{-0.65}}{3!} = 0.02 = 2\%.$$

Florida ştatında bir ildə ən azı bir tropik siklonun müşahidə olunma ehtimalı isə 48 % təşkil edir:

$$1 - f(0) = 1 - e^{-0.65} = 0.48 = 48\%.$$

Misal 3.14. Daşqına nəzarət sistemi təkarlanma dövrü 50 il olan maksimal su sərfinə görə layihələndirilir. Əgər, daşqının maksimal su sərfi Puasson paylanması ilə təsvir olunursa, onda sistemin istismar müddətinin ilk 10 ildə hesabi sərfin iki dəfə (iki hadisə) ötmə ehtimalını hesablayın. İlk 10 ildə hesabi sərfin

iki dəfədən çox (iki və daha çox sayıda hadisə) ötmə ehtimalı nə qədərdir?

Həlli: Puasson paylanması görə baxılan hadisənin (maksimal su sərfinin) ötmə hallarının sayı aşağıdakı tənliklə hesablanıa bilər:

$$f(n) = \frac{\lambda^n e^{-\lambda}}{n!}.$$

10 ildən artıq dövrdə ötmələrin gözlənilən sayı, λ , 50 ildə 1 dəfə təkrarlanan su sərfi üçün:

$$\lambda = Np = (10) \left(\frac{1}{50} \right) = 0.2$$

və hesabi sərfin iki dəfə ötmə ehtimalı:

$$f(2) = \frac{0.2^2 e^{-0.2}}{2!} = 0.016 = 1.6\%.$$

İlk 10 il ərzində hesabi sərfin iki dəfədən çox sayıda ötmə ehtimalı belə hesablanır:

$$P = 1 - [f(0) + f(1) + f(2)] = 1 - \left[\frac{0.2^0 e^{-0.2}}{0!} + \frac{0.2^1 e^{-0.2}}{1!} + \frac{0.2^2 e^{-0.2}}{2!} \right] = \\ = 1 - [0.819 + 0.164 + 0.016] = 0.001.$$

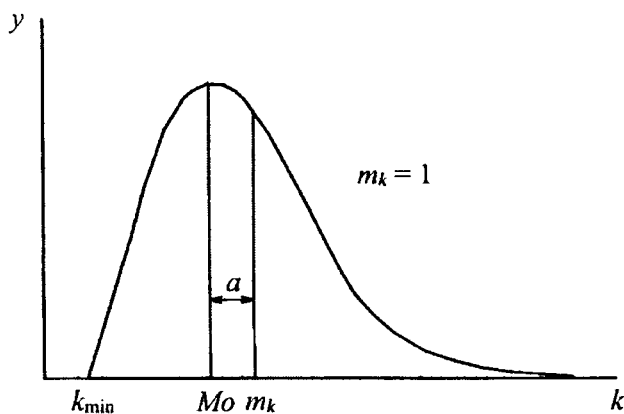
Beləliklə, təkrarlanma dövrü 50 il olan maksimal su sərfinin ilk 10 ildə iki dəfədən çox sayıda ötmə ehtimalı cəmi 0,1%-dir.

3.2.5. Pirsonun III tip paylanması

Ehtimalın sixlıq funksiyası birmodalı asimmetrik olan hidrometeoroloji kəmiyyətlərin paylanma qanununu aproksimasiya etmək üçün A.Foster Pirsonun ümumi diferensial tənliyindən istifadə olunmasını təklif etmişdir:

$$\frac{dy}{dx} = \frac{y(z+a)}{b_0 + b_1 Z + b_2 Z^2}, \quad (3.32)$$

burada Z -ilkin X təsadüfi kəmiyyəti ilə əlaqəli olan təsadüfi kəmiyyət ($Z = X / m_x - 1 = k - 1$; k -modul əmsalı): $y - Z$ təsadüfi kəmiyyəti ehtimalının sıxlıq funksiyasının ordinatı; a -paylanma mərkəzindən, m_k , modaya, M_0 , qədər olan məsafə; b_0 , b_1 , b_2 -parametrlərdir və onları dəyişdirməklə yeni tip paylanma əyriləri almaq olar (şəkil 3.6).



Şəkil 3.6. Pirsonun III tip paylanması üçün ehtimalın sıxlıq funksiyasının tərtibi sxemi ($Cs/Cv > 2$ və $k_{min} > 0$ olduqda)

Hidroloji hesablamaları praktikasında Pirsonun III tip əyirlərindən (cəmi 13 tip Pirson əyrisi var) daha çox istifadə olunur. Bu əyri üçün $b_2 = 0$ və tənlik (3.32) sadələşir:

$$\frac{dy}{dz} = \frac{y(z+a)}{b_0 + b_1 z}. \quad (3.33)$$

Bu tənliyə bir qrup funksiya uyğun gəlir. Həqiqətən, $y(z)$ -in axtarılan sıxlıq funksiyası olması üçün bir neçə əlavə şərt qəbul olunmalıdır:

1. $\int_{Z_{\min}}^{+\infty} y(z) dz = 1;$
2. $y(z) = 0 \quad Z = Z_{\min} \quad \text{olduqda};$
3. $y(z) = 0 \quad Z \rightarrow +\infty \quad \text{olduqda}.$

Tənlik (3.33)-ü integralladıqdan sonra Z təsadüfi kəmiyyətindən modul əmsalına keçmək və bir sıra çevirmələr yerinə yetirməklə ehtimalın sıxlıq funksiyası üçün ifadə almaq olar:

$$y(k) = \begin{cases} 0 & k \leq k_{\min} \quad \text{olduqda} \\ \frac{\beta^\alpha (k - k_{\min})^{\alpha-1}}{\Gamma(\alpha)} \exp[-\beta(k - k_{\min})] & k > k_{\min} \quad \text{olduqda}, \end{cases} \quad (3.34)$$

burada $\Gamma(\alpha)$ -qamma funksiya; α və β - X təsadüfi kəmiyyətinin variasiya və asimmetriya əmsalları ilə aşağıdakı ifadələrlə əlaqəli olan paylanması parametrləridir:

$$\alpha = (2/C_s)^2; \quad (3.35)$$

$$\beta = 2/(C_s \cdot C_v). \quad (3.36)$$

Qeyd etmək lazımdır ki, X təsadüfi kəmiyyəti modul əmsalları ilə əvəz olunduqda C_v və C_s dəyişmir.

Modul əmsalının minimal qiyməti, k_{\min} , aşağıdakı düstura görə təyin olunur:

$$k_{\min} = 1 - 2C_v / C_s. \quad (3.37)$$

Bu düsturdan belə alınır ki,

$$\begin{aligned} C_s = 2C_v &\quad K_{\min} = 0 \quad \text{olduqda}, \\ C_s > 2C_v &\quad K_{\min} > 0 \quad \text{olduqda}, \\ C_s < 2C_v &\quad K_{\min} < 0 \quad \text{olduqda}. \end{aligned}$$

Bu isə o deməkdir ki, Pirsonun III tip paylanmasıının diferen-

sial əyrisi $C_s = 2C_v$ olduqda sıfırdan, $C_s > 2C_v$ olduqda müəyyən bir müsbət ədəddən başlayır və $C_s < 2C_v$ olduqda isə mənfi ədədlər oblastına keçir.

C_v və C_s parametrlərinin qiymətləri məlum olduqda K_{\min} , α , β parametrlərini hesablayıb, modul əmsallarının təminatlarını təyin etmək üçün aşağıdakı ifadəni almaq olar:

$$P(k) = \int_k^{+\infty} y(s) ds = \frac{\beta^\alpha}{\Gamma(\alpha)} \int_k^{+\infty} (s - k_{\min})^{\alpha-1} \exp[-\beta(s - k_{\min})] ds, \quad (3.38)$$

burada s -inteqrallamanın dəyişənidir.

$C_s = 2C_v$ olduqda $k_{\min} = 0$, $\alpha = 1/C_v^2$, $\beta = 1/C_v^2$ alınır və (3.34), (3.38) tənlikləri xeyli sadələşir:

$$y(k) = \frac{\alpha^\alpha}{\Gamma(\alpha)} k^{\alpha-1} \exp(-ak); \quad (3.39)$$

$$P(k) = \frac{\alpha^\alpha}{\Gamma(\alpha)} \int_k^{+\infty} s^{\alpha-1} \exp(-as) ds. \quad (3.40)$$

Tənlik (3.39) iki parametrlı qamma paylanması və ya Γ -paylanması adlanır.

Pirsonun III tip təminatlar əyrisi (3.38) ümumi halda üçparametrlidir və birmənalı olaraq C_v və C_s parametrləri ilə təyin olunur: üçüncü parametri, m , modul əmsallarından X təsadüfi kəmiyyətinin qiymətlərinə keçmək üçün bilmək lazımdır.

Bu əyrinin əsəri (k_{\min}), var, yuxarıdan isə o məhdudlanır. C_s sıfıra yaxınlaşdırıqca, Pirsonun III tip əyrisi normal paylanması yaxınlaşır.

Adətən, Pirsonun III tip əyrisinin ordinatları cədvəl şəklində verilir (Əlavə 1). Bu onunla əlaqədardır ki, (3.38) və (3.40) tənliklərinin ədədi həlli çox zəhmət tələb edir.

Qeyd olunan cədvəllərdə normallaşdırılmış təsadüfi kəmiyyətin qiymətləri verilir. Bu qiymətlər təminat və asimmetriya əmsalına görə təyin olunur. Normallaşdırılmış ordinatlardan

baxılan kəmiyyətin ilkin qiymətlərinə keçmək üçün (3.14) və (3.15) düsturlarından istifadə olunur.

Pirsonun III tip əyrisi hidroloqlar üçün xüsusi əhəmiyyət kəsb edir, çünkü o, hidroloji hesablamalar praktikasında tətbiq olunmuş ilk əyridir. Pirsonun III tip paylanmasıın cədvəllərini ilk dəfə A.Foster 1924-cü ildə çap etdirmişdir.

Keçmiş SSRİ-də bu əyridən ilk dəfə 1930-cu ildə D.L.Sokolovski istifadə etmişdir. A.Fosterin cədvəllərini 1938-ci ildə S.İ.Ribkin dəqiqləşdirmiş və genişləndirmiştir.

Hazırda Pirsonun III tip əyrisi bütün dünya üzrə hidroloji hesablamalar praktikasında ən populyar əyridir.

Bəzi ölkələrdə Pirsonun III tip məlum əyrisi ilə yanaşı Pirsonun III tip loqarifmik əyrisindən də istifadə edilir. Məsələn, ABŞ-da maksimal su sərflərini Pirsonun III tip loqarifmik əyrisinə görə hesablanması tövsiyə olunur. Bu halda ilkin təsadüfi kəmiyyət, X , yox, onun loqarifmi, $\ln(X)$, Pirson paylanmasına uyğun olur. Belə yanaşmada məqsəd, $C_s < 2C_v$ olduqda əyrini mənfi oblastdan çıxartmaqdır.

Pirsonun III tip paylanması rusdilli elmi ədəbiyyatda həm də kəsilməz binomial paylanma, ingilisdilli ədəbiyyatda isə üçparametrlı gamma paylanma adlandırılır.

Misal 3.15. Pirsonun III tip təminat əyrisindən istifadə etməklə çayın (cədvəl 3.1) maksimal su sərfinin 1% təminatlı qiymətini, $Q_{1\%}$, hesablayın.

Həlli: 1. Verilmiş su sərfləri sırası üçün

$$m_Q \approx \bar{Q} = 58,4; \sigma_Q \approx 37,2; C_v \approx 0,64$$

təyin edilir.

2. Empirik məlumatlara əsasən C_s -in qiyməti böyük xəta ilə təyin edildiyindən, bütün baxılan hidroloji rayon üçün C_s/C_v nisbətinin orta qiyməti qəbul edilir: $C_s/C_v = 2,5$. Beləliklə, C_v və C_s/C_v -nisbətini bilməklə asimetriya əmsalı təyin edilir: $C_s = 2,5 \cdot 0,64 = 1,60$.

3. Əlavə 1-dən Pirsonun III tip təminat əyrisinin normallaş-

dirilmiş ordinatı taptılır: $t_{1\%}=3,39$.

4. $t_{1\%}$ -dən $Q_{1\%}$ -ə keçilir:

$$Q_{1\%}=t_{1\%} \sigma_Q + \bar{Q}=3,39 \cdot 37,2 + 58,4=185 \text{ m}^3/\text{s}.$$

Hesabi su sərfi başqa yolla da təyin edilə bilər. Əvvəlcə modul əmsalı hesablanır: $k_{1\%}=t_{1\%} C_v + 1=3,39 \cdot 0,64 + 1=3,17$.

Daha sonra su sərfi taptılır:

$$Q_{1\%}=k_{1\%} \bar{Q}=3,17 \cdot 58,4=185 \text{ m}^3/\text{s}.$$

Misal 3.16. Çayın maksimal su sərfərinin orta kəmiyyəti $811 \text{ m}^3/\text{s}$, standart meyletməsi $851 \text{ m}^3/\text{s}$ və asimetriya əmsali $0,94$ -ə bərabərdir. Maksimal su sərfəri Pirsonun III tip əyrilərinə uyğun paylanır. Təkrarlanması 100 ildə 1 dəfə olan maksimal su sərfini qiymətləndirin. Əgər asimetriya əmsali $1,52$ olarsa, bu, hesabi maksimal su sərfinə necə təsir göstərər?

Həlli: Verilənlərə görə: $\mu_x = 811 \text{ m}^3/\text{s}$, $\sigma_x = 851 \text{ m}^3/\text{s}$, və $g_x = 0.94$. Təkrarlanma dövrü 100 il (empirik təminatı 1%) olan standart normal kəmiyyət, $x'_{100} = 2.33$ (cədvəl 3.3 və ya Əlavə 1). $k = g_x / 6 = 0.94 / 6 = 0.157$. Təkrarlanma faktoru, K_{100} , hesablanır:

$$\begin{aligned} K_{100} &= \frac{1}{3k} \left\{ [(x'_{100} - k)k + 1]^3 - 1 \right\} = \\ &= \frac{1}{3(0.157)} \left\{ [(2.33 - 0.157)(0.157) + 1]^3 - 1 \right\} = 3.00 \end{aligned}$$

Artıq standart normal kəmiyyətdən həqiqi su sərfinə, x_{100} , keçmək olar:

$$x_{100} = \mu_x + K_{100}\sigma_x = 811 + (3.00)(851) = 3364 \text{ m}^3/\text{s}.$$

Əgər, asimetriya əmsalı $1,52$ olarsa, K_{100} Əlavə 1-dən taptılır. Bu misal üçün $K_{100} = 3.342$ və

$$x_{100} = \mu_x + K_{100}\sigma_x = 811 + (3.342)(851) = 3655 \text{ m}^3/\text{s}.$$

Beləliklə, asimetriya əmsalının qiymətinin 0.94 -dən 1.52 -yə kimi artırılması (62%), 100 ildə 1 dəfə təkrarlanan maksimal su

sərfini 9% çoxaldır.

Misal 3.17. Maksimal su sərfərinin natural loqarifmləri sırasının orta qiyməti 6,33, standart meyletməsi 0,862 və asimetriya əmsalı -0,833-dür. Pirsonun III tip loqarifmik paylanmasından istifadə edərək 100 ildə 1 dəfə təkrarlanan maksimal su sərfini təyin edin.

Həlli: Verilənlərə görə $\mu_y = 6.33$, $\sigma_y = 0.862$, və $g_y = -0.833$. Onda, $k = g_y / 6 = -0.833 / 6 = -0.139$. Təkrarlanma dövrü 100 il olan $x'_{100} = 2.33$ (cədvəl 3.3).

Təkrarlanma faktoru, K_{100} , hesablanır:

$$K_{100} = \frac{1}{3k} \left\{ [(x'_{100} - k)k + 1]^3 - 1 \right\} = \\ = \frac{1}{3(-0.139)} \left\{ [(2.33 + 0.139)(-0.139) + 1]^3 - 1 \right\} = 1.72$$

Təkrarlanma dövrü 100 il olan su sərfinin loqarifmi, y_{100} ,

$$y_{100} = \mu_y + K_{100}\sigma_y = 6.33 + (1.72)(0.862) = 7.81$$

və maksimal su sərfinin həqiqi qiyməti, x_{100} , tapılır:

$$x_{100} = e^{y_{100}} = e^{7.81} = 2465 \text{ m}^3/\text{s.}$$

3.2.6. Kritski-Menkel paylanması

$$C_s < 2C_v$$

Artıq qeyd olunduğu kimi, hidroloji hesablamalar praktikasında çox geniş istifadə olunan Pirsonun III tip paylanmasından müümü çatışmazlığı var: $C_s < 2C_v$ olduqda, əyri mənfi qiymətlər oblastına keçir.

Bu çatışmazlığı aradan qaldırmaq üçün çoxsaylı cəhdələr edilmişdir. Məsələnin uğurlu həllini 1946-cı ildə S.N.Kritski və M.F.Menkel təklif etmişlər. Onlar ilkin model kimi $C_s = 2C_v$ olduqda Pirsonun III tip əyrisini (ikiparametrlı qamma paylan-

manı) qəbul etmişlər:

$$G(z) = \frac{\alpha^\alpha}{\Gamma(\alpha)} \int_0^z S^{\alpha-1} e^{-as} ds, \quad (3.41)$$

burada $G(z)$ -qamma paylanmanın (Γ -paylanmanın) integralləri; S -integrallamanın dəyişəni; $\bar{z} = 1$; $C_s = 2C_v$; $\alpha = 1/C_{v,z}$.

Müəlliflər arqumenti, z , yeni dəyişənə transformasiya etmişlər:

$$k = az^b, \quad (3.42)$$

burada a və b -parametrlərdir.

Nəzərdə tutulurdu ki, bu yeni dəyişənin, k , riyazi gözləməsi vahidə bərabərdir, yəni:

$$M[K] = M[az^b] = 1. \quad (3.43)$$

Kritski və Menkel tənlik (3.41)-də $Z = (k/a)^{\frac{1}{b}}$ ifadəsindən istifadə edərək və $f(k) = dG(k)/d(k)$ olduğunu nəzərə alaraq yeni paylanma almışlar. Bu paylanma üçün ehtimalın sıxlıq funksiyası aşağıdakı kimidir:

$$f(k) = \frac{\alpha^\alpha}{a^{\alpha/b} \Gamma(\alpha) b} e^{-\alpha(k/a)^{1/b}} k^{(\alpha/b)-1}. \quad (3.44)$$

Bu paylanmanın i dərəcəli başlangıç momenti α , a və b parametrlərindən asılıdır:

$$\mu_i = \frac{\Gamma(\alpha + ib) \alpha^i}{\Gamma(\alpha) \alpha^{ib}}. \quad (3.45)$$

Bu düsturdan $i = 1$ olduqda aşağıdakı ifadə alınır:

$$M[k] = \mu_1 = \frac{\Gamma(\alpha + b) \alpha}{\Gamma(\alpha) \alpha^b}. \quad (3.46)$$

Şərtə görə $M[k] = 1$ olduğundan, axırıncı düsturdan a parametri üçün ifadə alınır:

$$a = \frac{\Gamma(\alpha)\alpha^b}{\Gamma(\alpha + b)}. \quad (3.47)$$

Düstur (3.47)-ni düstur (3.44)-də nəzərə alsaq, onda Γ -funksiyani nəzərə almaqla Kritski-Menkel əyrisi üçün ehtimalın sıxlıq funksiyasının ifadəsini almaq olar. Bu ifadə iki parametrlə (a və b) təyin olunur və onlar düstur (3.45)-i nəzərə almaqla ikinci, μ_2 , və üçüncü, μ_3 , başlanğıc momentlərə görə tapılı bilər. Bu momentlər isə öz növbəsində C_v və C_s ilə ifadə oluna bilər.

Beləliklə, bu paylanması iki parametrlidir. Lakin, praktik hesablamalarda modul əmsallarından baxılan hidrometeoroloji kəmiyyətin ilkin qiymətlərinə keçmək üçün üçüncü parametri-riyazi gözəlməmə, m_x , bilmək tələb olunur. Buna görə də Kritski-Menkel paylanması həm də üçparametrlı gamma paylanması adlanır.

Kritski-Menkel analitik təminat əyrisinin ordinatları xüsusi cədvəllərə görə təyin olunur (Əlavə 2). Cədvəllərdə modul əmsallarının təminatlı qiymətləri verilir. Bu qiymətlər empirik təminat, $P\%$, variasiya əmsali, C_v , və asimetriya əmsalının variasiya əmsalına nisbətinə, C_s/C_v , görə tapılır.

Hazırda Rusiyada qüvvədə olan normativ sənədlər hidroloji hesablamalarda istifadə üçün Kritski-Menkel əyrisini tövsiyə edir.

Beləliklə, baxılan əyrinin əsas xüsusiyyətləri bunlardır:

1. Ehtimalın sıxlıq əyrisi birmodalı və müsbat asimetriyalıdır.
2. Əyrinin əşəklərini həmisi sifira bərabərdir.
3. Əyri yuxarıdan məhdudlanınır.
4. $C_s = 2C_v$, olduqda əyri ikiparametrlı Γ -paylanması çevrilir, başqa sözlə Pirsonun III tip əyrisi ilə üst-üstə düşür.

Misal 3.18. Kritski-Menkelin təminatlar əyrisindən istifadə etməklə çayın (cədvəl 3.1) maksimal su sərfinin 1% təminatlı qiymətini, $Q_{1\%}$, hesablayın.

Həlli: 1. Empirik məlumatlara əsasən sıranın parametrləri təyin edilir: $m_Q \approx \bar{Q} = 58,4$; $C_v \approx 0,64$; $C_s/C_v = 2,5$.

2. Əlavə 2-dən 1% təminatlı modul əmsali təyin olunur. Əgər, cədvəllər C_s/C_v -nin yalnız tam qiymətləri üçün tərtib olunubsa, onda interpolasiya etmək lazımlı gəlir:

$C_s/C_v = 2$ üçün $C_v = 0,64$ və $p = 1\%$ olduqda $k_{1\%} = 3,05$.

$C_s/C_v = 3$ üçün $C_v = 0,64$ və $p = 1\%$ olduqda $k_{1\%} = 3,24$.

Müvafiq olaraq, $C_s/C_v = 2,5$ üçün $k_{1\%} = 3,15$ alınır.

3. Modul əmsalını \bar{Q} -ya vurmaqla, hesabi su sərfini alırıq: $Q_{1\%} = k_{1\%} \cdot \bar{Q} = 3,15 \cdot 58,4 = 184 \text{ m}^3/\text{s}$.

3.2.7. Ekstremal-kəmiyyət paylanması

Ekstremal kəmiyyət dedikdə təsadüfi dəyişənin maksimal və ya minimal qiymətləri nəzərdə tutulur. Tutaq ki, x_1, x_2, \dots, x_n sırasının ən böyük qiyməti Y -dir. Əgər, $Y > y$ şərtinin ehtimalı $F(y)$ və $X_i < x_i$ şərtinin ehtimalı $PX_i(x_i)$ olarsa, onda $Y < y$ -in ehtimalı bütün x_i qiymətlərinin y -dən kiçik olmasına ehtimalına bərabərdir, yəni

$$F(y) = P_{X_1}(y)P_{X_2}(y)\dots P_{X_n}(y) = [P_x(y)]^n \quad (3.48)$$

Ekstremal kəmiyyətin, Y , integral (kumulyativ) paylanması funksiyası bu tənliklə ifadə olunur.

Təsadüfi kəmiyyətin, Y , ehtimalının sıxlıq funksiyası, $f(y)$, aşağıdakı kimidir:

$$f(y) = \frac{d}{dy} F(y) = n [Px(y)^{n-1} Px'(y)]. \quad (3.49)$$

Bu paylanma həmçinin ana paylanma (parent distribution) adlanır.

Bu tənlik təsadüfi kəmiyyətin maksimal qiymətləri üçün alınmışdır və oxşar tənlik minimal qiymətlər üçün də alına bilər. Ekstremal kəmiyyət paylanması üç tipi var (Fisher and Tippett, 1928): I tip, II tip və III tip. II tip paylanma praktikada demək olar ki, istifadə olunmur. I tip paylanma daha çox Qumbel paylanması, III tip paylanma isə Veybul paylanması kimi tanınır.

Növbəti paraqraflarda bu paylanmalara baxılır.

3.2.8. Qumbel paylanması

Qumbelin paylanması qanunu faktik olaraq I tip ekstremal kəmiyyət paylanması ilə eynidir və rusilli elmi ədəbiyyatda seçmənin kənar hədlərinin paylanması qanunu adlandırılır. Bu paylanma maksimal və minimal su sərflərinin, həmçinin maksimal sutkalıq, yağış, layının, küləyin sürətinin və hidrometeoroloji rejimin digər ekstremal xarakteristikalarının tədqiqində istifadə olunur. Qumbelin təminatlar funksiyası aşağıdakı ifadə ilə təyin olunur:

$$P(x) = \exp[-\exp(-y)]$$

$$P(x) = P\{X \geq x\} = 1 - \exp[-\exp(-y)], \quad (3.50)$$

burada y - ölçü vahidi olmayan kəmiyyətdir və X dəyişənidən asılıdır:

$$\begin{aligned} y &= \alpha(X - q) \\ y &= \alpha(x - q), \end{aligned} \quad (3.51)$$

burada q - X təsadüfi kəmiyyətinin modasıdır. Bu parametr sıranın orta qiyməti və orta kvadratik meyletməsinə görə aşağıdakı düstur ilə hesablanır:

$$q = \bar{x} - 0,45\sigma_x, \quad (3.52)$$

α parametri aşağıdaki düstura görə təyin olunur:

$$\underline{\alpha = 1,28 / \sigma_x}. \quad (3.53)$$

Praktik hesablamalarda düstur (3.51)-in əvəzinə onun x -ə nəzərən həllindən alınan düsturdan istifadə edilir:

$$x_p = q + (1/\alpha)y_p. \quad (3.54)$$

Düstur (3.50)-ni iki dəfə loqarifmləməklə y_p -nin qiymətlərini hesablamaq üçün yeni ifadə almaq olar:

$$y_p = -\ln\{-\ln[(100 - P)/100]\}, \quad (3.55)$$

burada p - hesabi (tələb olunan) təminatdır, %-lə.

Qumbelin təminat əyrisinin dayaq ordinatlarının qiymətləri, $\underline{y_p}$, cədvəl 3.4-də verilir.

Cədvəl 3.4

Müxtəlif təminatlar üçün y_p -nin qiymətləri

| $p \%$ | y_p | $p \%$ | y_p | $p \%$ | y_p |
|--------|-------|--------|-------|--------|-------|
| 0.01 | 9.09 | 10 | 2.25 | 80 | -0.48 |
| 0.1 | 6.89 | 20 | 1.50 | 90 | -0.83 |
| 0.5 | 5.29 | 30 | 1.03 | 95 | -1.10 |
| 1 | 4.60 | 50 | 0.37 | 99.0 | -1.53 |
| 5 | 2.97 | 70 | -0.19 | 99.9 | -1.93 |

Düstur (3.52) və (3.53) $n \rightarrow \infty$ olduqda q və α parametrlərini \bar{x} və σ_x parametrləri ilə əlaqələndirir. Qumbel hədlərinin sayı n olan sıralar üçün aşağıdakı düsturları təklif etmişdir:

$$(1/\alpha) = \sigma_x / \sigma_y; \quad (3.56)$$

$$q = \bar{x} - \bar{y}(1/\alpha). \quad (3.57)$$

Bu düsturların \bar{y} və σ_y parametrləri sıranın uzunluğundan asılı olaraq cədvəl 3.5-dən tapılır.

Cədvəl 3.5

Müxtəlif uzunluqlu sıralar üçün
 \bar{y} və σ_y parametrlərinin orta qiymətləri (Qumbelə görə)

| n | \bar{y} | σ_y | n | \bar{y} | σ_y |
|----|-----------|------------|----------|-----------|------------|
| 20 | 0.524 | 1.063 | 50 | 0.548 | 1.161 |
| 22 | 0.527 | 1.076 | 52 | 0.549 | 1.164 |
| 24 | 0.530 | 1.086 | 54 | 0.550 | 1.167 |
| 26 | 0.532 | 1.096 | 56 | 0.551 | 1.170 |
| 28 | 0.534 | 1.105 | 58 | 0.552 | 1.172 |
| 30 | 0.536 | 1.112 | 60 | 0.552 | 1.175 |
| 32 | 0.538 | 1.119 | 65 | 0.554 | 1.180 |
| 34 | 0.540 | 1.126 | 70 | 0.555 | 1.185 |
| 36 | 0.541 | 1.131 | 75 | 0.556 | 1.190 |
| 38 | 0.542 | 1.136 | 80 | 0.557 | 1.194 |
| 40 | 0.544 | 1.141 | 85 | 0.558 | 1.197 |
| 42 | 0.545 | 1.146 | 90 | 0.559 | 1.201 |
| 44 | 0.546 | 1.150 | 95 | 0.559 | 1.204 |
| 46 | 0.547 | 1.154 | 100 | 0.560 | 1.206 |
| 48 | 0.548 | 1.157 | ∞ | 0.577 | 1.282 |

Düstur (3.51) nəzərə alınmaqla, Qumbel paylanması üçün ehtimalın sıxlıq funksiyası aşağıdakı kimi yazılır:

$$f(x) = \alpha \exp\{-\alpha(x - q) - \exp[-\alpha(x - q)]\}. \quad (3.58)$$

Bu düsturdan göründüyü kimi, Qumbel paylanması üçün X təsadüfi dəyişəninin mümkün qiymətlər oblastı $(-\infty, +\infty)$ intervalıdır. Bu paylanma iki parametrlidir (x və σ_x).

G.A.Alekseyev nəzəri tədqiqatlar nəticəsində müəyyən etmişdir ki, $n \rightarrow \infty$ olduqda, üçüncü mərkəzi moment $\mu_3 = 2,404$. Onda,

$$C_{s,y} = C_{s,x} = \mu_3 / \sigma_y^3 = 2,404 / (1,282)^3 = 1,44 . \quad (3.59)$$

Qumbel paylanmasıının bu izahı rus dilində çap olunmuş müvafiq dörslik və monoqrafiyalar əsasında hazırlanmışdır. Lakin ingilisdilli ədəbiyyatda Qumbel paylanması üçün ehtimalın sıxlıq funksiyasının yazılışı və onun parametrlərinin işarələri fərqlidir. Praktik hesablamalarda narahatçılıq yaranmasın deyə, aşağıdakı verilən düstur və qeydlər faydalı ola bilər.

Düstur (3.58) belə yazılır:

$$f(x) = \frac{1}{a} \exp\left\{\pm \frac{x-b}{a} - \exp\left[\pm \frac{x-b}{a}\right]\right\}, \quad -\infty < x < \infty \quad (3.60)$$

burada $-\infty < b < \infty$, $a > 0$.

Hesablamalar maksimal kəmiyyət üçün yerinə yetirildikdə düsturda “-” işarəsi, minimal kəmiyyət üçün isə “+” işarəsi istifadə olunur.

Maksimal kəmiyyət üçün paylanması parametri aşağıdakı düstura görə qiymətləndirilir:

$$\mu_x = b + 0,577a, \quad \sigma_x^2 = 1,645a^2, \quad g_x = 1,1396 \quad (3.61)$$

minimal kəmiyyət üçün isə:

$$\mu_x = b - 0,577a, \quad \sigma_x^2 = 1,645a^2, \quad g_x = -1,1396 . \quad (3.62)$$

Ölçü vahidi olmayan y kəmiyyəti, x dəyişəni, həmçinin a və b parametrləri ilə aşağıdakı düsturla əlaqəlidir:

$$y = \frac{x-b}{a} . \quad (3.63)$$

Beləliklə, Qumbel paylanması üçün asimmetriya əmsalının qiyməti sabitdir. Bu paylanması daha bir nöqsan cəhəti təminatın böyük qiymətlərində əyrinin mənfi qiymətlər oblastına keçməsidir. Buna görə də keçmiş SSRİ-də bu paylanması çox az

istifadə olunurdu. ABŞ, Fransa, Niderland və digər ölkələrdə yağış daşqınlarının maksimal su sərfərinin, həmçinin müxtəlif davamıyyətli maksimal yağış layının hesablanmasında bu paylanması çox geniş tətbiq olunur.

Misal 3.19. Çayın orta çoxillik maksimal su sərfi $811 \text{ m}^3/\text{s}$, standart meyletməsi $851 \text{ m}^3/\text{s}$ təşkil edir. Maksimal su sərfəri Qumbel paylanması (I tip ekstremal kəmiyyət paylanması) uyğundur. Təkrarlanma dövrü 100 ildə 1 dəfə olan su sərfini qiymətləndirin.

Həlli: Şərtə görə $\mu_x = 811 \text{ m}^3/\text{s}$ və $\sigma_x = 851 \text{ m}^3/\text{s}$. Paylanması a və b parametrləri μ və σ_x -ə görə tapılır:

$$a = \frac{\sigma_x}{\sqrt{1.645}} = \frac{851}{\sqrt{1.645}} = 664 \text{ m}^3/\text{s},$$

$$b = \mu_x - 0.577a = 811 - 0.577(664) = 428 \text{ m}^3/\text{s}.$$

Bu parametrlərdən istifadə etməklə maksimal su sərfəri, X , normallaşdırılmış kəmiyyətə, Y , transformasiya olunur (çevrilir):

$$Y = \frac{X - b}{a} = \frac{X - 428}{664}.$$

100 ildə 1 dəfə təkrarlanan maksimal su sərfinin ötmə ehtimalı (təminatı) $1/100 = 0,01$ və integral (kumulyativ) ehtimalı isə $F(y) = 1 - 0,01 = 0,99$ təşkil edir. Qumbel paylanmasıın tənлиyinə görə:

$$0.99 = \exp[-\exp(-y_{100})],$$

burada y_{100} təkrarlanma dövrü 100 ildə 1 dəfə olan kəmiyyətdir.

Buradan:

$$y_{100} = -\ln(-\ln 0.99) = 4.60.$$

Təkrarlanma dövrü 100 ildə bir dəfə olan maksimal su sərfi,

X_{100} , aşağıdakı ifadəyə görə hesablanır:

$$y_{100} = \frac{x_{100} - 428}{664}$$

Və

$$x_{100} = 428 + 664 \quad y_{100} = 428 + 664 \cdot (4.60) = 3482 \text{ m}^3/\text{s}.$$

Misal 3.20. Qumbelin paylanması qanunundan istifadə etməklə çayın (cədvəl 3.1) maksimal su sərfinin 1% təminatlı qiymətini, $Q_{1\%}$, hesablayın.

Həlli: 1. Müşahidə sırasına görə təqribi olaraq m_Q və σ_Q təyin edilir:

$$m_Q \approx \bar{x} = 58,4; \sigma_Q \approx 37,2.$$

2. Aşağıdakı düstura görə $y_{1\%}$ hesablanır:

$$y_{1\%} = -\ln\{-\ln[(100 - 1)(100)]\} = 4,60.$$

$y_{1\%}$ cədvəl 3.4-ə görə də təyin oluna bilər.

3. Sıranın uzunluğundan n asılı olaraq cədvəl 3.5-ə əsasən \bar{y} və σ_y təyin edilir. $n=32$ olduğundan, $\bar{y}=0,54$; $\sigma_y=1,12$.

4. $(1/\alpha)$ və q parametrləri hesablanır:

$$1/\alpha = \sigma_Q / \sigma_y = 37,2 / 1,12 = 33,2;$$

$$q = \bar{x} - \bar{y}(1/\alpha) = 58,4 - 0,54 \cdot 33,2 = 40,5.$$

5. Hesabi su sərfi aşağıdakı düstura görə tapılır:

$$\begin{aligned} Q_{1\%} &= q + (1/\alpha) y_{1\%} = 40,5 + 33,2 \cdot y_{1\%} = \\ &= 40,5 + 33,2 \cdot 4,60 = 193 \text{ m}^3/\text{s}. \end{aligned}$$

Misal 3.21. 30 illik müşahidə məlumatlarına görə çayın maksimal su sərfi sırasının orta kəmiyyəti $811 \text{ m}^3/\text{s}$ və standart meyletməsi $851 \text{ m}^3/\text{s}$ təşkil edir. Qumbel paylanmasından (I tip ekstremal kəmiyyət paylanması) istifadə edərək təkrarlanma dövrü 100 ildə 1 dəfə olan maksimal su sərfini təyin edin. Əgər, sıranın uzunluğu 60 il və ya sonsuz olarsa, hesabi su sərfi necə dəyişər?

Həlli: Şərtə görə $\mu_x = 811 \text{ m}^3/\text{s}$ və $\sigma_x = 851 \text{ m}^3/\text{s}$. 100 ildə 1 dəfə təkrarlanan su sərfi, x_{100} , aşağıdakı ifadəyə görə hesablanır:

$$x_{100} = \mu_x + K_{100}\sigma_x = 811 + K_{100}851.$$

Sıranın uzunluğu 30 il olduqda 100 ildə 1 dəfə təkrarlanan su sərfi üçün təkrarlanma faktoru, $K_{100} = 3,653$ (cədvəl 3.6) alınır. Onda:

$$x_{100} = 811 + (3.653)851 = 3920 \text{ m}^3/\text{s.}$$

Əgər, sıranın uzunluğu 60 il olarsa, onda $K_{100} = 3.446$ (cədvəl 3.6) və hesabi su sərfi:

$$x_{100} = 811 + (3.446)851 = 3740 \text{ m}^3/\text{s.}$$

Əgər, sıranın uzunluğu sonsuz olarsa,

$$K_{100} = -\frac{\sqrt{6}}{\pi} \left\{ 0.5772 + \ln \left[\ln \left(\frac{100}{100-1} \right) \right] \right\} = 3.137$$

(cədvəldən də eyni qiymət alınır)

Onda:

$$x_{100} = 811 + (3.137)851 = 3480 \text{ m}^3/\text{s.}$$

Cədvəl 3.6

Qumbel paylanması üçün təkrarlanma faktorunun (K) qiymətləri

| Sıranın uzunluğu | Təkrarlanma dövrü | | | | | | | | |
|---------------------|-------------------|-------|-------|-------|-------|-------|-------|-------|-------|
| | 2.33 | 5 | 10 | 20 | 25 | 50 | 75 | 100 | 1000 |
| 15 | 0.065 | 0.967 | 1.703 | 2.410 | 2.632 | 3.321 | 3.721 | 4.005 | 6.265 |
| 20 | 0.052 | 0.919 | 1.625 | 2.302 | 2.517 | 3.179 | 3.563 | 3.386 | 6.006 |
| 25 | 0.044 | 0.888 | 1.575 | 2.235 | 2.444 | 3.088 | 3.463 | 3.729 | 5.842 |
| 30 | 0.038 | 0.866 | 1.541 | 1.188 | 2.393 | 3.026 | 3.393 | 3.653 | 5.727 |
| 40 | 0.031 | 0.838 | 1.495 | 2.126 | 2.326 | 2.943 | 3.301 | 3.554 | 5.476 |
| 50 | 0.026 | 0.820 | 1.466 | 2.086 | 2.283 | 2.889 | 3.241 | 3.491 | 5.478 |
| 60 | 0.023 | 0.807 | 1.446 | 2.059 | 2.253 | 2.852 | 3.200 | 4.446 | 5.410 |
| 70 | 0.020 | 0.797 | 1.430 | 2.038 | 2.230 | 2.824 | 3.169 | 3.413 | 5.359 |
| 75 | 0.019 | 0.794 | 1.423 | 2.029 | 2.220 | 2.812 | 3.155 | 3.400 | 5.338 |
| 100 | 0.015 | 0.779 | 1.401 | 1.998 | 2.187 | 2.770 | 3.109 | 3.340 | 5.261 |
| ∞ | -0.067 | 0.720 | 1.305 | 1.866 | 2.044 | 2.592 | 2.911 | 3.137 | 4.900 |

Beləliklə, sıranın uzunluğu 30, 60 il və sonsuz olarsa, 100 ildə 1 dəfə təkrarlanan maksimal su sərfi müvafiq olaraq $3920 \text{ m}^3/\text{s}$, $3740 \text{ m}^3/\text{s}$ və $3480 \text{ m}^3/\text{s}$ olar. Bu onu göstərir ki, müşahidə illərinin sayı artıqca 100 ildə 1 dəfə təkrarlanan maksimal su sərfinin qiyməti azalır.

3.2.9. Veybul paylanması

Artıq qeyd olunduğu kimi, Veybul paylanması həm də III tip ekstremal kəmiyyət paylanması adlanır. Bu paylanması sol tərəfdən sıfır ilə məhdudlanır və $x \geq c$ olduqda təminat funksiyası, $P_X(x)$, aşağıdakı kimi yazılır:

$$P_X(x) = a(x - c)^a, \quad x \geq c, \quad (3.64)$$

burada c parametri x təsadüfi kəmiyyətinin ən kiçik (minimal) qiymətidir. Bu paylanması hidrologiyada minimal su sərf-lərinin hesablanmasında istifadə olunur. Veybul paylanması (Weibull, 1939) $c = 0$ olduqda, aşağıdakı kimidir:

$$f(x) = ax^{a-1}b^{-a} \exp\left[-\left(\frac{x}{b}\right)^a\right], \quad x \geq 0, \quad a, b > 0. \quad (3.65)$$

Bu paylanması orta qiyməti və dispersiyası aşağıdakı ifadələrə görə:

$$\mu_x = b\Gamma\left(1 + \frac{1}{a}\right), \quad \sigma_x^2 = b^2 \left[\Gamma\left(1 + \frac{2}{a}\right) - \Gamma^2\left(1 + \frac{1}{a}\right) \right] \quad (3.66)$$

və asimmetriya əmsalı isə:

$$g_x = \frac{\Gamma(1+3/a) - 3\Gamma(1+2/a)\Gamma(1+1/a) + 2\Gamma^3(1+1/a)}{\left[\Gamma(1+2/a) - \Gamma^2(1+1/a)\right]^{\frac{3}{2}}}, \quad (3.67)$$

düsturuna görə təyin olunur. Burada $\Gamma(n)$ qamma funksiyasıdır. Veybulun integrallər paylanması belədir:

$$F(x) = 1 - \exp\left[-\left(\frac{x}{b}\right)^a\right]. \quad (3.68)$$

Bu paylanma təsadüfi kəmiyyətlərin minimal qiymətlərinin təkrarlanması dövrünü (və ya təminatını) qiymətləndirmək üçün məqsədə uyğundur. Əgər, baxılan təsadüfi kəmiyyətin ən kiçik qiyməti (aşağı limiti) $c \neq 0$, onda integrallər paylanma funksiyası belə yazılır:

$$F(x) = 1 - \exp\left[-\left(\frac{x-c}{b-c}\right)^a\right]. \quad (3.69)$$

Bu tənlik bəzən Veybulun üçparametrlı paylanması və ya məhdudlanan eksponensial paylanma adlandırılır. Bu paylanmanın asimetriya əmsali düstur (3.67)-yə görə, orta qiyməti və dispersiya isə:

$$\begin{aligned} \mu_x &= c - (b - c) \Gamma\left(1 + \frac{1}{a}\right), \\ \sigma_x^2 &= (b - c)^2 \left[\Gamma\left(1 + \frac{2}{a}\right) - \Gamma^2\left(1 + \frac{1}{a}\right) \right] \end{aligned} \quad (3.70)$$

İfadələrinə görə təyin olunur.

Misal 3.22. Yaşayış məntəqəsini içməli su ilə təchiz etmək üçün su götürülməsi nəzərdə tutulan çayın orta çoxillik minimal su sərfi $123 \text{ m}^3/\text{s}$, standart meyletməsi isə $37 \text{ m}^3/\text{s}$ təşkil edir. Minimal su sərfinin ən kiçik qiyməti $0 \text{ m}^3/\text{s}$ olarsa, Veybul paylanmasından (III tip ekstremal kəmiyyət paylanması) istifadə etməklə minimal su sərfinin $80 \text{ m}^3/\text{s}$ -dən az olma ehtimalını hesablayın.

Həlli: Şərtə görə $\mu_x = 123 \text{ m}^3/\text{s}$ və $\sigma_x = 37 \text{ m}^3/\text{s}$. Veybul paylanmasıının a və b parametrlərini təyin etmək üçün aşağıdakı ifadələrdən istifadə olunur:

$$b\Gamma\left(1 + \frac{1}{a}\right) = 123 \quad (= \mu_x)$$

və

$$b^2 \left[\Gamma\left(1 + \frac{2}{a}\right) - \Gamma^2\left(1 + \frac{1}{a}\right) \right] = (37)^2 \quad (= \sigma_x^2)$$

Bu iki tənliyi birgə həll edərək b parametrini yox etmək olar:

$$\frac{123^2}{\Gamma^2\left(1 + \frac{1}{a}\right)} \left[\Gamma\left(1 + \frac{2}{a}\right) - \Gamma^2\left(1 + \frac{1}{a}\right) \right] = 37^2$$

və ya

$$\frac{\Gamma\left(1 + \frac{2}{a}\right) - \Gamma^2\left(1 + \frac{1}{a}\right)}{\Gamma^2\left(1 + \frac{1}{a}\right)} = 0.0905.$$

Bu tənliyi iterasiya yolu ilə həll edib $f(a)$ funksiyasına görə a parametrini təyin etmək olar:

$$f(a) = \frac{\Gamma\left(1 + \frac{2}{a}\right) - \Gamma^2\left(1 + \frac{1}{a}\right)}{\Gamma^2\left(1 + \frac{1}{a}\right)} = \frac{\Gamma\left(1 + \frac{2}{a}\right)}{\Gamma^2\left(1 + \frac{1}{a}\right)} - 1.$$

Qamma funksiyasının cədvəl qiymətlərindən istifadə etməklə a parametrini tapmaq olar: $f(a) = 0,0905$ qiymətinə uyğun $a = 3,65$ (Əlavə 14).

beləliklə, $a = 3,65$ və

$$b = \frac{123}{\Gamma\left(1 + \frac{1}{a}\right)} = \frac{123}{\Gamma\left(1 + \frac{1}{3.65}\right)} = \frac{123}{0.903} = 136.$$

Minimal su sərfəri üçün Veybulun kumulyativ (integral) paylanmasıının tənliyinə görə:

$$F(x) = 1 - \exp\left[-\left(\frac{x}{b}\right)^a\right] = 1 - \exp\left[-\left(\frac{x}{136}\right)^{3.65}\right]$$

və $X \leq 80 \text{ m}^3/\text{s}$ hadisəsinin ehtimalı:

$$F(80) = 1 - \exp\left[-\left(\frac{80}{136}\right)^{3.65}\right] = 0.134 = 13.4\%.$$

3.2.10. GEV paylanması

Ümumiləşdirilmiş ekstremal kəmiyyət paylanması (GEV) I, II və III tip ekstremal kəmiyyət paylanmaları ilə əlaqəlidir. Bu paylanması ilk dəfə meteoroloji məlumatların ən böyük kəmiyyətlərinin tərəddüdlərini təsvir etmək üçün Jenkinson (Jenkinson, 1955) təklif etmişdir. GEV paylanması bu günə kimi daşqın, leysan, küləyin sürəti, dalğanın hündürlüyü və s. kimi müxtəlif təbii ekstremumların hesablanmasında geniş istifadə olunur (Martins and Stedinger, 2000). Onun integral paylanması funksiyası aşağıdakı kimi verilir:

$$F(x) = \begin{cases} \exp\left\{-\left[1 - \frac{c(x-a)^{1/c}}{b}\right]\right\} & c \neq 0 \\ \exp\left\{-\exp\left[\frac{-(x-a)}{b}\right]\right\} & c = 0 \end{cases} \quad (3.71)$$

burada a , b və c -müvafiq olaraq vəziyyət, miqyas və forma parametrləridir.

GEV paylanması $c = 0$ olduqda, I tip ekstremal kəmiyyət paylanması ilə üst-üstə düşür; $c < 0$ olduqda o, aşağıdan $a + b/c$ ifadəsi ilə məhdudlanan II tip ekstremal kəmiyyət paylanması (maksimum üçün) və $c > 0$ olduqda isə yuxarıdan $a + b/c$ ifadəsi ilə məhdudlanan III tip ekstremal kəmiyyət paylanması ilə (maksimum üçün) oxşardır. GEV paylanmasıın orta kəmiyyəti, dispersiyası və asimmetriya əmsalı aşağıdakı düsturlara görə təyin olunur (Kottegoda and Rosso, 1997):

$$\mu_x = a + \frac{b}{c} [1 - \Gamma(1+c)] \quad c > -1 \quad (3.72)$$

$$\sigma_x^2 = \left(\frac{b}{c}\right)^2 [\Gamma(1+2c) - \Gamma^2(1+c)] \quad c > -0.5 \quad (3.73)$$

$$g_x = \text{sign}(c) \frac{-\Gamma(1+3c) + 3\Gamma(1+c)\Gamma(1+2c) - 2\Gamma^3(1+c)}{\left[\Gamma(1+2c) - \Gamma^2(1+c)\right]^{3/2}} - 1, \quad c > -1/3 \quad (3.74)$$

Göründüyü kimi, bu düsturlarla momentlər yalnız c parametrinin müəyyən qiymətləri üçün hesablanı bilər. Böyük Britaniyada daşqınların illik maksimal su sərfərinin hesablanmasında adətən GEV paylanması istifadə olunur (Singh and Strupeczewski, 2002).

Misal 3.23. Subtropik qurşaqdə 24 saatlıq illik maksimal yağış layı ümumiləşdirilmiş ekstremal kəmiyyət paylanması (GEV paylanması) uyğundur. Sıranın parametrləri belədir: $a=13.8$ sm, $b=2.14$ sm və $c= -0.129$. 20 ildə bir dəfə təkrarlanan 24 saatlıq illik maksimal yağış layını təyin edin.

Həlli: 20 ildə bir dəfə təkrarlanan 24 saatlıq illik maksimal yağış layının kəmiyyəti aşağıdakı kimi təyin olunur.

$$x_{20} = a + \frac{b}{c} \left[1 - \left(\ln \frac{T}{T-1} \right)^c \right] = 13.8 + \frac{2.17}{-0.129} \left[1 - \left(\ln \frac{20}{20-1} \right)^{-0.129} \right] = 21.7 \text{ sm.}$$

Misal 3.24. Subtropik qurşaqda 24 saatlıq (sutkalıq) maksimal yağış hayatı sırasının orta kəmiyyəti 15,4 sm, standart meyletməsi 3,42 sm və asimetriya əmsalı 1,24 təşkil edir. GEV paylanmadan istifadə edərək 100 ildə 1 dəfə təkrarlanan 24 saatlıq maksimal yağış layını hesablayın.

Həlli: Misalın şərtinə görə $\mu_x = 15,4$ sm, $\sigma_x = 3,42$ sm və $g_x = 1,24$. GEV paylanmanın integral funksiyasını təyin etmək üçün əvvəlcə a , b və c parametrləri hesablanmalıdır. Əyrinin forma parametri, c , birbaşa asimetriya əmsalına g_x , görə tapılır.

$$g_x = 1,24 = \text{sign}(c) \frac{-\Gamma(1+3c) + 3\Gamma(1+c)\Gamma(1+2c) - 2\Gamma^3(1+c)}{\left[\Gamma(1+2c) - \Gamma^2(1+c)^{3/2}\right]} - 1.$$

Bu ifadədən $c = -0,129$. Sonra b parametri:

$$b = \sqrt{\frac{c^2 \sigma_x^2}{\Gamma(1+2c) - \Gamma^2(1+c)}} = \sqrt{\frac{(-0,129)^2 (3,42)^2}{1,236 - 1,093^2}} = 2,17 \text{ sm}$$

və nəhayət, a parametri hesablanır:

$$a = \mu_x - \frac{b}{c} [1 - \Gamma(1+c)] = 1,54 - \frac{2,17}{-0,129} [1 - 0,093] = 13,8 \text{ sm.}$$

Tənlik (3.71)-ə görə:

$$F(x) = \exp \left\{ - \left[1 - \frac{c(x-a)}{b} \right]^{1/c} \right\} = \exp \left\{ - \left[1 - \frac{-0,129(x-13,8)}{2,17} \right]^{1/-0,129} \right\},$$

buradan:

$$F(x) = \exp \left\{ -[1 + 0,0594(x - 13,8)]^{-7,75} \right\}.$$

Təkrarlanma dövrü 100 il olduqda $F(x_{100}) = 1 - 1/100 = 0,99$

və

$$F(x_{100}) = 0,99 = \exp \left\{ -[1 + 0,0594(x_{100} - 13,8)]^{-7,75} \right\}$$

buradan:

$$x_{100} = 27,4 \text{ sm.}$$

Beləliklə, təkrarlanma dövrü 100 ildə 1 dəfə olan (və ya təminatı 1% olan) 24 saatlıq maksimal yağış layı 27,4 sm təşkil edir.

3.2.11. Conson paylanması

G.G.Svanidze və Q.L.Qriqoliya hidroloji kəmiyyətlərin empirik təminat əyrilərini aproksimasiya etmək üçün Conson paylanmasından istifadə edilməsini təklif etmişlər. Bu paylanması hər iki tərəfdən, həm aşağıdan, həm də yuxarıdan məhdudlanır.

Bu yanaşma çərçivəsində belə hesab olunur ki, əgər, ilkin X təsadüfi kəmiyyətini aşağıdakı ifadə ilə əvəz etsək:

$$Z = \ln \left[\frac{x-a}{b-x} \right], \quad Z = \ln \left[\frac{Y-\sigma_z}{B-Y} \right] \quad (3.75)$$

onda yeni Z təsadüfi kəmiyyəti normal paylanması qanununa tabe olacaq. Burada a və b müvafiq olaraq X dəyişən kəmiyyətinin aşağı və yuxarı limitləridir.

Conson paylanmasıının sıxlıq funksiyası belə yazılır:

$$f(x) = \frac{b-a}{\sigma_z \sqrt{2\pi} (x-a)(b-x)} \exp \left\{ -\frac{1}{2\sigma_z^2} \left[\ln \left(\frac{x-a}{b-x} \right) - m_z \right]^2 \right\}. \quad (3.76)$$

Bu düsturdan göründüyü kimi, baxılan paylanma dörd parametlidir: α və β parametrlərindən başqa daha iki parametr var. Bunlardan biri Z dəyişəninin riyazi gözləməsi, m_z , digəri isə, onun orta kvadratik meyletməsidir. σ_z

Consonun analitik təminat əyrisinin ordinatlarını təyin etmək üçün normallaşdırılmış t kəmiyyətinin qiymətlər cədvəlindən istifadə olunur (cədvəl 3.3). Hesablamalar logaritmik normal paylanma üçün (bax misal 3.9, həll 1) olduğu kimi yerinə yetirilir. Fərqli yalnız ondan ibarətdir ki, α və β məlumdursa, m_z və σ_z parametrlərini təyin etmək üçün ilkin müşahidə sırası düstur (3.75)-dən istifadə olunmaqla Z qiymətlərinin sırası ilə əvəz edilməlidir.

Əgər, Conson paylanmasıın bütün dörd parametri məlumdursa, onda cədvəl 3.3-dən normallaşdırılmış ordinat, t_p , tapılır, sonra Z_p hesablanır və nəhayət düstur (3.77)-yə görə X_p qiymətləndirilir:

$$X_p = \frac{b \exp(Z_p) + a}{\exp(Z_p) + 1}. \quad (3.77)$$

Praktikada çox az halda hidrometeoroloji xarakteristikanın aşağı və yuxarı sərhədləri məlum olur. Məsələn, daşqının axım əmsalinin təminat əyrisi üçün $a=0$, $b=1$.

Conson paylanmasından praktikada az istifadə olunur. Bunun əsas səbəbi odur ki, α və β parametrlərini çox nadir hallarda etibarlı qiymətləndirmək mümkün olur.

Misal 3.25. Consonun təminat əyrisindən istifadə etməklə çayın (cədvəl 3.1) maksimal su sərfinin 1% təminatlı qiymətini, $Q_{1\%}$, hesablayın. Nəzərə alın ki, a və b parametrləri məlumdur: $a=11$, $b=490$.

Həlli: 1. Verilmiş sıranın hədləri aşağıdakı düstura görə dəyişdirilir:

$$z_i = \ln \left(\frac{Q_i - a}{b - Q_i} \right) = [(Q_i - 11) / (490 - Q_i)].$$

2. Z təsadüfi kəmiyyətlər sırasına əsasən təqribi olaraq m_z və σ_z təyin edilir: $m_z = -2,54$; $\sigma_z = 0,95$.

3. Cədvəl 3.3-də integrallar paylanma funksiyasının ordinatları verildiyindən, əvvəlcə normallaşdırılmış t təsadüfi kəmiyyəti üçün $F(t) = 100 - P(t) = 100 - 1 = 99\%$ təyin edilir.

4. Cədvəl 3.3-dən t təsadüfi kəmiyyəti üçün 99%-li kvantil təyin edilir: $t'_{99} = 2,33$.

5. z_1 hesablanır: $z_1 = z'_{99} = \sigma_z t'_{99} + m_z = 0,95 \cdot 2,33 - 2,54 = -0,33$

6. $Q_{1\%}$ təyin edilir:

$$Q_{1\%} = \frac{b \cdot \exp(z_1) + a}{\exp(z_1) + 1} = \frac{(490e^{-0,33} + 11)}{(e^{-0,33} + 1)} = 363/1,72 = 211 \text{ m}^3/\text{s.}$$

4. PAYLANMA ƏYRİLƏRİNİN PARAMETRLƏRİNİN QİYMƏTLƏNDİRİLMƏ METODLARI

Hidrometeoroloji məlumatların paylanması parametrlərini qiymətləndirmək üçün bir neçə hesablama metodundan istifadə olunur. Bu metodlar üç qrupa bölündür: analitik, graf-analitik və trafik. Momentlər metodu, L -momentlər metodu və ən çox həqiqətəbənzər metod analitik metodlar qrupuna aiddir.

4.1. Momentlər metodu

Bu metod empirik paylanması parametrlərinən istifadəyə əsaslanır. Paylanması seçmə riyazi gözləməsi, m_x^* , (seçmə orta, \bar{x}) aşağıdakı düstura görə hesablanır:

$$\bar{x} = \frac{1}{n} \sum_{i=1}^n x_i. \quad (4.1)$$

Seçmə dispersiya D^* və ya S^2 simvolu ilə işarə olunur:

$$D^* = S^2 = \frac{1}{n} \sum_{i=1}^n (x_i - \bar{x})^2. \quad (4.2)$$

Seçmə dispersiyanın bu düstur ilə hesablanmış qiyməti baş coxluğun dispersiyası, D , ilə müqayisədə kiçik alınır. Buna görə də, xüsusilə $n < 40$ olduqda D^* -nin düstur 4.2-yə görə hesablanmış qiymətinə, $n(n-1)$ düzəlişi edilir:

$$D^* = \frac{1}{n-1} \sum_{i=1}^n (x_i - \bar{x})^2. \quad (4.3)$$

Bu düzəliş orta kvadratik meyletmə, σ^* , və variasiya əmsali, C_v^* , hesablandıqda da nəzərə alınır:

$$\sigma_x^* = S = \sqrt{\frac{1}{n-1} \sum_{i=1}^n (x_i - \bar{x})^2}, \quad (4.4)$$

$$C_{v_x}^* = \frac{S}{x} = \sqrt{\frac{1}{n-1} \sum_{i=1}^n (k_i - 1)^2}. \quad (4.5)$$

Asimetriya əmsalı aşağıdakı ifadəyə görə hesablanır:

$$C_S^* = \frac{\sum_{i=1}^n (x_i - \bar{x})^3}{nS} = \frac{n \sum_{i=1}^n (k_i - 1)^3}{n(C_{v_x}^*)^3}. \quad (4.6)$$

Asimetriya əmsalının daha dəqiq qiymətini hesablamaq üçün bu düstura $n^2 / [(n-1)(n-2)]$ düzəlişi edilir:

$$C_{S_x}^* = \frac{n \sum_{i=1}^n (x_i - \bar{x})^3}{(n-1)(n-2)S^3} = \frac{n \sum_{i=1}^n (k_i - 1)^3}{(n-1)(n-2)(C_{v_x}^*)^3}. \quad (4.7)$$

Bu düsturlarda n -müşahidə sırasının uzunluğu; x_i -hidrometeoroloji kəmiyyətin müşahidə olunmuş qiymətləri; $k_i = x_i / \bar{x}$ modul əmsalıdır.

Hidroloji sıraların uzunluğu üçüncü momenti (həmçinin, C_s -i) və daha yüksək dərəcəli momentləri tələb olunan dəqiqliklə hesablamaya imkan vermir. Buna görə də praktikada asimetriya əmsalının əvəzinə C_s / C_v nisbətinin rayon qiymətindən istifadə olunur. Bu nisbət təyin edildikdən sonra variasiya əmsalının qiymətinə görə asimetriya əmsalını hesablamaq olar.

C_s / C_v nisbətinin rayon qiymətini təyin etmək üçün bircins hidroloji rayon daxilində uzunsıralı müşahidə məntəqələri seçilir və hər bir belə sira üçün C_v , C_s və C_s / C_v hesablanır. C_s / C_v nisbətinin orta qiyməti hidroloji rayonun bütün məntəqələrinə şamil olunur.

Əgər, hidroloji rayonda müşahidə sıraları qıсадırsa, onda C_s / C_v nisbəti hər bir sira üçün fərdi qaydada təyin olunur. Bu halda empirik təminat əyrisinə daha uyğun olan analitik əyrinin C_s / C_v nisbəti qəbul edilir.

Momentlər metodunun əsas üstünlüklerindən biri parametrlə-

rin hidroloji xarakteristikanın paylanması qanunundan asılı olmasıdır. Həmçinin, hesablama düsturları kifayət qədər sadədir. Buna görə də hidroloji hesablamalar praktikasında bu metod daha geniş yayılmışdır.

Eyni zamanda qeyd etmək lazımdır ki, bu metoda görə hesablanmış variasiya və asimetriya əmsallarının qiymətləri həqiqi qiymətlə müqayisədə bir qədər kiçik alınır. Adətən, bu metoddan $C_v < 0,5$ olduqda istifadə olunur. $C_v > 0,5$ olduqda, parametrlərin qiymətləndirilmə dəqiqliyi əhəmiyyətli dərəcədə azalır və bu səbəbdən ən çox həqiqətənəz metoddan istifadə etmək tövsiyə olunur.

Misal 4.1. Üç müşahidə məntəqəsi üçün illik cəm yağıntı sıralarının (cədvəl 4.1) parametrlərini təyin edin və bu sıraların paylanmalarının müqayisəli təhlilini yerinə yetirin.

Cədvəl 4.1

İllik cəm yağıntılar, düym

| Il | Enniston, Alabama ştatı | Los-Anceles, Kaliforniya ştatı | Riçmond, Virciniya ştatı |
|------|----------------------------|-----------------------------------|-----------------------------|
| 1928 | 48 | 9 | 43 |
| 1927 | 49 | 19 | 44 |
| 1926 | 55 | 19 | 38 |
| 1925 | 98 | 9 | 31 |
| 1924 | 43 | 8 | 47 |
| 1923 | 53 | 6 | 49 |
| 1922 | 56 | 15 | 52 |
| 1921 | 47 | 20 | 31 |
| 1920 | 69 | 11 | 51 |
| 1919 | 57 | 9 | 40 |
| 1918 | 61 | 18 | 41 |
| 1917 | 64 | 8 | 43 |
| 1916 | 99 | 23 | 37 |
| 1915 | 54 | 17 | 36 |
| 1914 | 40 | 23 | 34 |
| 1913 | 47 | 17 | 38 |
| 1912 | 58 | 10 | 36 |
| 1911 | 44 | 18 | 37 |
| 1910 | 44 | 5 | 43 |

| İl | Enniston, Alabama ştatı | Los-Anceles, Kaliforniya ştatı | Riçmond, Virciniya ştatı |
|------|----------------------------|-----------------------------------|-----------------------------|
| 1909 | 64 | 24 | 34 |
| 1908 | 44 | 19 | 53 |
| 1907 | 51 | 15 | 49 |
| 1906 | 71 | 21 | 47 |

Həlli: Hesablamalar aşağıdakı düsturlara görə yerinə yetirilir.
Orta kəmiyyət:

$$\bar{x} = \frac{1}{n} \sum_{i=1}^n x_i$$

Standart meyletmə:

$$S^2 = \frac{1}{n-1} \sum_{i=1}^n (x_i - \bar{x})^2$$

Variasiya əmsalı:

$$C_v = \frac{S}{\bar{x}}$$

Asimetriya əmsalı:

$$C_s = \frac{n}{(n-1)(n-2) \cdot S^3} \sum_{i=1}^n (x_i - \bar{x})^3$$

Alınmış nəticələr aşağıdakı cədvəldə verilir:

Cədvəl 4.2

Yağıntı sıralarının statistik parametrləri

| Parametr | Enniston | Los-Anceles | Riçmond |
|---------------------------------|----------|-------------|---------|
| Orta kəmiyyət, \bar{x} , düym | 57.2 | 14.9 | 41.5 |
| Standart meyletmə, S , düym | 15.5 | 5.9 | 6.8 |
| Variasiya əmsalı, C_v | 0.27 | 0.40 | 0.16 |
| Asimetriya əmsalı, C_s | 1.58 | -0.15 | 0.16 |

Şərhlər:

1. Enniston şəhərindəki müşahidələr yağıntı norması və variasiyanın yüksək olmasına dəlalət edir. Paylanma kifayət qədər qısa müşahidə sırasında böyük qiymətli həndlərin olması ilə səciyyələnir. Sıra aydın seçilən müsbət asimetriyaya malikdir.

2. Los-Anceles şəhəri üçün məlumatlar çox kiçik orta qiymətlə xarakterizə olunur, lakin onların dəyişkənlüyü böyükdür. Asimetriya isə zəif mənfidir.

3. Riçmond şəhəri üçün yağıntıların paylanması daha bircinsidir: dəyişkənlilik nisbətən kiçik, asimetriya isə zəif müsbətdir.

Misal 4.2. 1954-1985-ci illəri əhatə edən dövrün maksimal su sərflərinin müşahidə sırasına əsasən (cədvəl 3.1) paylanması parametrlərini momentlər üsulu ilə qiymətləndiririn.

Həlli: Parametrləri bu üsulla qiymətləndirmək üçün aşağıdakı düsturlardan istifadə olunur. Cədvəl 4.3-də bu hesablamalar verilmişdir.

Cədvəl 4.3

Maksimal su sərflərinin parametrlərinin hesablanması

| Nö | $Q_i, \text{m}^3/\text{s}$ | $k_i = Q_i/\bar{Q}$ | $(k_i - 1)$ | $(k_i - 1)^2$ | $(k_i - 1)^3$ |
|------|----------------------------|---------------------|-------------|---------------|---------------|
| 1 | 71.4 | 1.22 | 0.22 | 0.0484 | 0.01065 |
| 2 | 22.1 | 0.38 | -0.62 | 0.3844 | -0.23833 |
| 3 | 32.7 | 0.56 | -0.44 | 0.1936 | -0.08518 |
| ... | ... | ... | ... | ... | ... |
| 30 | 39.2 | 0.67 | -0.33 | 0.1089 | -0.03594 |
| 31 | 66.0 | 1.13 | 0.13 | 0.0169 | 0.00219 |
| 32 | 84.4 | 1.45 | 0.456 | 0.2025 | 0.09112 |
| Cəm | 1868 | 32 | 0.00 | 12.698 | 6.857 |
| Orta | 58.4 | 1 | 0 | | |

Cədvəl 4.3-ün məlumatlarına və aşağıdakı düsturlara əsasən paylanması parametrlərinin qiymətləri hesablanır:

$$\bar{Q} = \frac{\sum_{i=1}^n Q_i}{n} = \frac{1868}{32} = 58,4 \text{ m}^3/\text{s}$$

$$C_v^* = \sqrt{\frac{\sum_{i=1}^n (k_i - 1)^2}{n-1}} = \sqrt{\frac{12.698}{31}} = 0,64;$$

$$C_s^* = \frac{n \sum_{i=1}^n (k_i - 1)^3}{(n-1)(n-2)C_v^3} = \frac{32 \cdot 6,857}{31 \cdot 30 \cdot 0,64^3} = 0,90;$$

$$C_s/C_v = 1,41 .$$

4.2. Ən çox həqiqətəbənzər metod

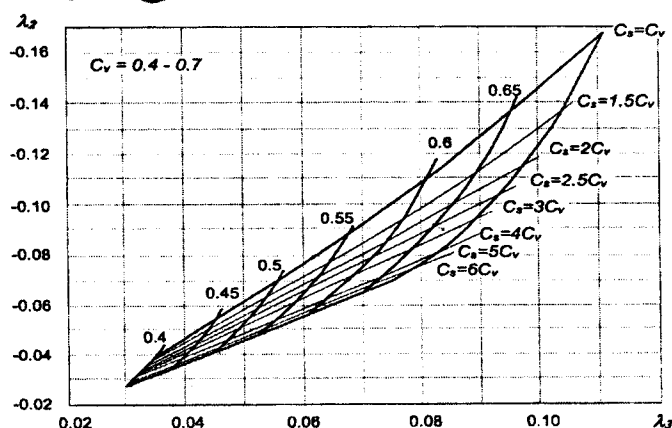
Praktikada bu metod əsasən üçparametrlı gamma paylanması parametrlərini hesablamaq üçün istifadə olunur. Əvvəlcə, müşahidə məlumatlarına görə köməkçi λ_2 və λ_3 statistikalar təyin edilir:

$$\lambda_2 = \frac{\sum_{i=1}^n \lg k_i}{n-1}, \quad (4.8)$$

$$\lambda_3 = \frac{\sum_{i=1}^n k_i \lg k_i}{n-1}, \quad (4.9)$$

burada $k_i = x_i / \bar{x}$ - modul əmsalları; \bar{x} - sıranın orta qiymətidir.

Sonra λ_2 və λ_3 statistikalarına görə xüsusi nomogrammadan (şəkil 4.1) C_v və C_s tapılır.



Şəkil 4.1. Üçparametrlı gamma paylanması parametrlərini ən çox həqiqətəbənzər üsul ilə qiymətləndirmək üçün nomogramma

Parametrlər bu metodla hesablandıqda, sıranın ehtimalı böyük olan orta hədləri daha böyük çeki ilə nəzərə alınır. Momentlər metodunda isə sıranın kənar hədlərinin çəkisi daha böyük olur.

Ən çox həqiqətəbənzər metodun əsas çatışmazlığı ondan ibarətdir ki, bu metodu tətbiq etmək üçün paylanma qanunu dəqiq bilmək tələb olunur. Hidroloji praktikada isə bu həmişə mümkün olmur.

Rusiyada bu metodun nomogrammları Kritski-Menkel paylanması üçün işlənmişdir. Lakin praktikada bəzən λ_2 və λ_3 statistikalarının qiymətləri nomogrammaldan kənara çıxır, yəni variasiya və asimmetriya əmsallarını təyin etmək mümkün olmur. Belə hallarda ən çox həqiqətəbənzər metodun qısalılmış variantından istifadə edilir. Bu variantda λ_3 statistikası hesablanır və onun əvəzində C_s / C_v nisbətinin orta rayon qiymətindən istifadə olunur. Məlum λ_2 və C_s / C_v nisbətinə görə nomogrammdan variasiya əmsalı tapılır.

Qısalılmış ən çox həqiqətəbənzər metodu Pirsonun III tip əyriləri üçün də istifadə olunur. Bu paylanma üçün variasiya əmsalının λ_2 və C_s / C_v nisbətindən asılılığı cədvəl şəkilində tərtib edilmişdir (Əlavə 9).

Misal 4.3. 1954-1985-ci illəri əhatə edən dövrün maksimal su sərfərinin müşahidə sırasına əsasən (cədvəl 3.1) paylanmanın parametrlərini ən çox həqiqətəbənzər üsul ilə qiymətləndirin.

Həlli: 1. Sıranın orta qiyməti və λ_2 , λ_3 statistikalarını hesablamaq üçün köməkçi cədvəl (cədvəl 4.4) tərtib olunur.

Cədvəl 4.4

Paylanma parametrlərinin qiymətlərini ən çox həqiqətəbənzər üsul ilə hesablamamaq üçün köməkçi cədvəl

| Nö | $Q_i, \text{m}^3/\text{s}$ | k | $\lg(k)$ | $k \cdot \lg(k)$ |
|------|----------------------------|------|----------|------------------|
| 1 | 71.4 | 1.22 | 0.086 | 0.1054 |
| 2 | 22.1 | 0.38 | -0.4202 | -0.1435 |
| 3 | 32.7 | 0.56 | -0.2518 | -0.1410 |
| ... | ... | ... | ... | ... |
| 30 | 39.2 | 0.67 | -0.1739 | -0.1165 |
| 31 | 66.0 | 1.13 | 0.0531 | 0.0600 |
| 32 | 84.4 | 1.45 | 0.1614 | 0.2340 |
| Cəm | 1868 | | -2.697 | 2.573 |
| Orta | 58.4 | | | |

2. Aşağıdakı düsturlara görə λ_2 və λ_3 statistikaları hesablanır:

$$\lambda_2 = \frac{\sum_{i=1}^n \lg k_i}{n-1} = \frac{-2,697}{31} = -0,087,$$

$$\lambda_3 = \frac{\sum_{i=1}^n k_i \lg k_i}{n-1} = \frac{2,573}{31} = 0,083.$$

3. λ_2 və λ_3 -ün qiymətlərinə görə nomoqrammadan istifadə etməklə (şəkil 4.1) paylanmasıın parametrləri təyin edilir:

$$C_v = 0,67; C_s/C_v = 2,8.$$

4.3. L – momentlər metodu

Qeyd olunduğu kimi, hidrometeoroloji müşahidə sıraları qısa olduğuna görə, adətən onların üçüncü və daha yüksək momentləri qiymətləndirilmir. Bu səbəbdən, təsadüfi kəmiyyətlərin paylanması funksiyalarının parametrlərini hesablamaq üçün L-momentlər adlanan alternativ qiymətləndirmə sistemi təklif olunmuşdur. Paylanmasıın r dərəcəli ehtimalli-çəki momenti, β_r , aşağıdakı düstura görə təyin olunur:

$$\beta_r = \int_{-\infty}^{\infty} x [F_X(x)]^r f_X(x) dx, \quad (4.10)$$

burada F_X və f_X -müvafiq olaraq, X təsadüfi kəmiyyətinin integrallı paylanması funksiyası və ehtimalının sıxlıq funksiyasıdır. L-momentlər, λ_r , r dərəcəli ehtimalli-çəki momentlərinin, β_r , xətti kombinasiyalarıdır və ilk dörd L-moment aşağıdakı kimi hesablanır:

$$\lambda_1 = \beta_0, \quad (4.11)$$

$$\lambda_2 = 2\beta_1 - \beta_0, \quad (4.12)$$

$$\lambda_3 = 6\beta_2 - 6\beta_1 + \beta_0, \quad (4.13)$$

$$\lambda_4 = 20\beta_3 - 30\beta_2 + 12\beta_1 - \beta_0. \quad (4.14)$$

Ehtimalli-çəki momentlər F_X funksiyasının artan qiymətlərini nəzərə alıǵına və $F_X \leq 1$ olduğuna görə, ehtimalli-çəki momentləri və L-momentlərin qiymətlərinin müşahidə sırasının ekstremal (ən böyük və ən kiçik) hədlərinə həssaslığı çox zəifdir. Hidrometeoroloji dəyişənlərin paylanması funksiyalarının parametrlərini qiymətləndirdikdə momentləri hesablamaq üçün L-momentlər

metodunun tətbiqi daha məqsədə uyğun hesab olunur.

Tutaq ki, X təsadüfi kəmiyyəti üzərində N sayda müşahidə yerinə yetirilmiş və sira tərtib olunmuşdur. Bu sıranın paylanma funksiyasının L-momentlərinini qiymətləndirmək üçün əvvəlcə dəyişənlər artan sıradə $x_1 \leq x_2 \leq x_3 \leq \dots \leq x_N$ düzülür və sonra ehtimalli-çeki momentləri hesablanır (Hosking and Wallis, 1997):

$$b_0 = \frac{1}{N} \sum_{i=1}^N x_i, \quad (4.15)$$

$$b_1 = \frac{1}{N(N-1)} \sum_{i=2}^N (i-1)x_i, \quad (4.16)$$

$$b_2 = \frac{1}{N(N-1)(N-2)} \sum_{i=3}^N (i-1)(i-2)x_i, \quad (4.17)$$

$$b_3 = \frac{1}{N(N-1)(N-2)(N-3)} \sum_{i=4}^N (i-1)(i-2)(i-3)x_i \quad (4.18)$$

Müşahidə sırası üçün ilk dörd L-moment qiymətləndirildikdə, əvvəlcə (4.15)-(4.18) düsturlarına görə b_0 , b_1 , b_2 , və b_3 (empirik ehtimalli-çeki momentləri) təyin olunur, sonra isə $\beta_0=b_0$, $\beta_1=b_1$, $\beta_2=b_2$ və $\beta_3=b_3$ əvəzləmələrini edərək (4.11)-(4.14) düsturlarına görə $\lambda_1-\lambda_4$ momentləri hesablanır.

Misal 4.4. 1946-1970-ci illər üçün çayın maksimal su sərfəri aşağıdakı cədvəldə verilir:

| İl | Maksimal su sərfi, m^3/s | İl | Maksimal su sərfi, m^3/s | İl | Maksimal su sərfi, m^3/s |
|------|----------------------------|------|----------------------------|------|----------------------------|
| 1946 | 126 | 1955 | 3 | 1964 | 11 |
| 1947 | 178 | 1956 | 2 | 1965 | 1122 |
| 1948 | 251 | 1957 | 141 | 1966 | 2 |
| 1949 | 35 | 1958 | 282 | 1967 | 1259 |
| 1950 | 71 | 1959 | 112 | 1968 | 158 |
| 1951 | 501 | 1960 | 40 | 1969 | 126 |
| 1952 | 891 | 1961 | 63 | 1970 | 25 |
| 1953 | 18 | 1962 | 398 | | |
| 1954 | 2239 | 1963 | 708 | | |

Bu maksimal su sərfləri loq-normal paylanması qanununa tabedir. L-momentlər metodundan istifadə edərək sıranın orta qiyməti və standart meyletməsini hesablayın və alınmış qiymətləri momentlər metodu ilə hesablanmış müvafiq qiymətlərlə müqayisə edin.

Həlli: Aralıq hesablamaların nəticələri cədvəldə verilir:

| i | Q_i (m^3/s) | $(i-1)Q_i$ | $\ln Q_i$ | $(\ln Q_i - \mu_Y)^2$ |
|-----|---------------------------------|------------|-----------|-----------------------|
| 1 | 2 | | 0.693 | 15.314 |
| 2 | 2 | 2 | 0.693 | 15.314 |
| 3 | 3 | 6 | 1.099 | 12.305 |
| 4 | 11 | 33 | 2.398 | 4.878 |
| 5 | 18 | 72 | 2.890 | 2.945 |
| 6 | 35 | 175 | 3.555 | 1.105 |
| 7 | 35 | 210 | 3.555 | 1.105 |
| 8 | 40 | 280 | 3.689 | 0.842 |
| 9 | 63 | 504 | 4.143 | 0.215 |
| 10 | 71 | 639 | 4.263 | 0.118 |
| 11 | 112 | 1120 | 4.718 | 0.013 |
| 12 | 126 | 1386 | 4.836 | 0.053 |
| 13 | 126 | 1512 | 4.836 | 0.053 |
| 14 | 141 | 1833 | 4.949 | 0.117 |
| 15 | 158 | 2212 | 5.063 | 0.208 |
| 16 | 178 | 2670 | 5.182 | 0.331 |
| 17 | 251 | 4016 | 5.525 | 0.844 |
| 18 | 282 | 4794 | 5.642 | 1.072 |
| 19 | 398 | 7164 | 5.986 | 1.904 |
| 20 | 501 | 9519 | 6.217 | 2.592 |
| 21 | 708 | 14.160 | 6.562 | 3.826 |
| 22 | 891 | 18.711 | 6.792 | 4.778 |
| 23 | 1122 | 24.684 | 7.023 | 5.839 |
| 24 | 1259 | 28.957 | 7.138 | 6.409 |
| 25 | 2239 | 53.736 | 7.714 | 9.655 |
| Cəm | 8772 | 178.395 | 115.163 | 91.836 |

Birinci dərəcəli ehtimalli-çəki momenti, b_0 düstur (4.15)-ə görə təyin olunur: $b_0 = \frac{1}{N} \sum_{i=1}^N Q_i = \frac{1}{25} \cdot (8772) = 350.9$.

Yuxarıdakı cədvəlin 3-cü sütununda göstərilmiş $(1-i)Q_i$ kəmiyyətinin yekun cəmi nəzərə alınmaqla düstur (4.16)-ya görə ikinci dərəcəli ehtimalli-çəki momenti, b_1 hesablanır:

$$b_1 = \frac{1}{N(N-1)} \sum_{i=2}^N (i-1) Q_i = \frac{1}{25(25-1)} \cdot (178,395) = 297.3$$

Birinci L-moment, λ_1 , düstur (4.11)-ə görə

$$\lambda_1 = b_0 = 350.9$$

və ikinci L-moment, λ_2 , isə düstur (4.12)-yə görə hesablanır:

$$\lambda_2 = 2b_1 - b_0 = 2(297.3) - 350.9 = 243.8.$$

Birinci və ikinci L-momentlər, λ_1 və λ_2 , ilə loq-normal paylanmasıın parametrləri, μ_Y , σ_Y (burada $y = \ln Q$), arasında asılılıq aşağıdakı kimidir:

$$\lambda_1 = \exp\left(\mu_Y + \frac{\sigma_Y^2}{2}\right),$$

$$\lambda_2 = \exp\left(\mu_Y + \frac{\sigma_Y^2}{2}\right) \operatorname{erf}\left(\frac{\sigma_Y}{2}\right),$$

burada $\operatorname{erf}(\sigma_Y/2)$ xəta funksiyasıdır (cədvəl 4.5).

λ_1 -in qiymətindən istifadə etməklə λ_2 -nin ifadəsindən əvvəlcə $\operatorname{erf}(\sigma_Y/2)$, sonra isə cədvəl 4.5-ə görə σ_Y tapılır.

Sonra isə μ_Y təyin olunur: $\mu_Y = 4.81$.

Yuxarıdakı cədvəlin müvafiq olaraq 4-cü və 5-ci sütunlarında verilmiş $\ln Q_i$ və $(\ln Q_i - \mu_Y)^2$ kəmiyyətlərinin cəmlərini nəzərə almaqla momentlər metodu ilə loq-normal paylanmasıın orta qiyməti (μ_Y) və standart meyletməsi (σ_Y) hesablanır:

$$\mu_Y = \frac{1}{N} \sum_{i=1}^N \ln Q_i = \frac{1}{25} \cdot (115.163) = 4.61,$$

$$\sigma_Y = \sqrt{\frac{1}{N-1} \sum_{i=1}^N (\ln Q_i - \mu_Y)^2} = \sqrt{\frac{1}{25-1} 91,836} = 1.96.$$

Beləliklə, verilmiş maksimal su sərfələri sırasının L-momentlər

metodu və momentlər metodu ilə hesablanmış parametrləri bir qədər fərqlənir. L-momentlər metodu ilə hesablanmış qiymətlər daha etibarlı olduğu üçün, üstünlük onlara verilməlidir.

Bələ hesab olunur ki, L-momentlər metodu və ən çox həqiqətəbənzər metodun effektivlikləri çox yaxındır.

Cədvəl 4.5

Xəta funksiyası

| z | $erf(z)$ | z | $erf(z)$ |
|-----|----------|----------|----------|
| 0.0 | 0.00000 | 1.6 | 0.97635 |
| 0.1 | 0.11246 | 1.7 | 0.98379 |
| 0.2 | 0.22270 | 1.8 | 0.98909 |
| 0.3 | 0.32863 | 1.9 | 0.99279 |
| 0.4 | 0.42839 | 2.0 | 0.99532 |
| 0.5 | 0.52050 | 2.1 | 0.99702 |
| 0.6 | 0.60386 | 2.2 | 0.99814 |
| 0.7 | 0.67780 | 2.3 | 0.99886 |
| 0.8 | 0.74210 | 2.4 | 0.99931 |
| 0.9 | 0.79691 | 2.5 | 0.99959 |
| 1.0 | 0.84270 | 2.6 | 0.99976 |
| 1.1 | 0.88021 | 2.7 | 0.99987 |
| 1.2 | 0.91031 | 2.8 | 0.99992 |
| 1.3 | 0.93401 | 2.9 | 0.99996 |
| 1.4 | 0.95229 | 3.0 | 0.99998 |
| 1.5 | 0.96611 | ∞ | 1.00000 |

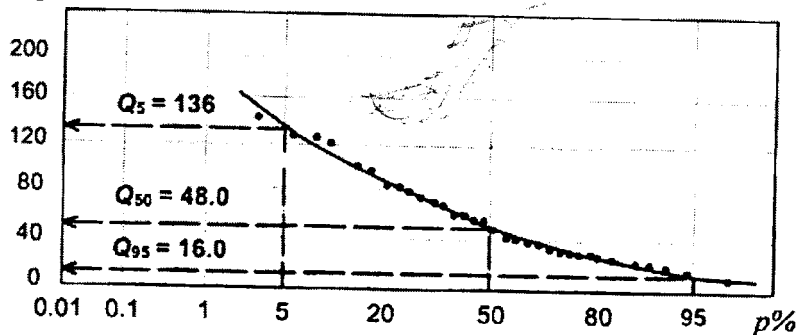
4.4. Kvantillər metodu

Paylanma parametrlərinin kvantillər metodu ilə hesablanmasında həm qrafik, həm də analitik analiz istifadə olunur. Bu metod həm də qraf-analitik metod adlanır. Kvantillər metodunu tətbiq etdikdə istifadə olunacaq analitik əyrinin tipi əvvəlcədən məlum olmalıdır.

Pirson III tip əyriləri üçün bu metodu G.A.Alekseyev (1960-cı il) işləmişdir.

Əvvəlcə, ehtimallar damasında empirik nöqtələr qeyd edilir (şəkil 4.2).

$Q, m^3/s$



Şəkil 4.2. Empirik təminat əyrisinə görə dayaq ordinatlarının təyini sxemi

Ordinat oxunda modul əmsalları deyil, hidroloji xarakteristikanın (məsələn, su sərfərinin) öz qiymətləri göstəriləlidir. Sonra empirik nöqtələr səlis əyri ilə ortalaşdırılır. Bu əyridən üç dayaq ordinat (5, 50 və 95%-li təminatlar üçün) təyin olunur: x_5 , x_{50} və x_{95} .

Növbəti hesablamalarda paylanması parametrlərinin elə qiymətləri (\bar{x}, C_v, C_s) tapılır ki, bu qiymətlərdə analitik əyri x_5 , x_{50} və x_{95} nöqtələrindən keçsin. Bunun üçün aşağıdakı düsturlardan istifadə olunur:

$$x_5 = \sigma_x \cdot t_5 + \bar{x}, \quad (4.19)$$

$$x_{50} = \sigma_x \cdot t_{50} + \bar{x}, \quad (4.20)$$

$$x_{95} = \sigma_x \cdot t_{95} + \bar{x}, \quad (4.21)$$

burada t_5, t_{50}, t_{95} - Pirsonun III tip əyrisinin normallaşdırılmış ordinatları; σ_x - sıranın orta kvadratik meyletməsi; \bar{x} - sıranın orta qiymətidir. Beləliklə, üç tənlik və qiymətləri məlum olmayan üç parametr var.

Asimetriya əmsalını qiymətləndirmək üçün əvvəlcə, S əmsalı hesablanır:

$$S = \frac{x_p + x_{100-p} - 2x_{50}}{x_5 - x_{95}} . \quad (4.22)$$

Birinci dayaq ordinatın təminatı $P=5\%$ olduğu üçün:

$$S = \frac{x_5 + x_{95} - 2x_{50}}{x_5 - x_{95}} . \quad (4.23)$$

(4.19)-(4.21) ifadələrini axırıncı düsturda yerinə yazırıq:

$$S = \frac{t_5 + t_{95} - 2t_{50}}{t_5 - t_{95}} . \quad (4.24)$$

Pirsonun III tip normallaşdırılmış paylanması üçün S əmsalının asimetriya əmsalından birmənalı asılılığı mövcuddur. Beləliklə, S əmsalını hesablayıb, sonra asimetriya əmsalını təyin etmək olar.

Sıranın orta kvadratik meyletməsi, orta qiyməti və variasiya əmsalı, müvafiq olaraq aşağıdakı düsturlara görə hesablanır:

$$\sigma_x = \frac{x_5 - x_{95}}{t_5 - t_{95}} , \quad (4.25)$$

$$\bar{x} = x_{50} - \sigma_x t_{50} , \quad (4.26)$$

$$C_v = \frac{\sigma_x}{\bar{x}} . \quad (4.27)$$

Loqarifmik-normal paylanması üçüncü parametri a təminat əyrisinin formasına təsir göstərmir. Bu paylanması üçün də Pirsonun III tip əyrilərinə tətbiq edilən yanaşmanı tətbiq etmək olar. Metodika yalnız onunla fərqlənir ki, əlavə olaraq a parametri hesablanmalıdır.

G.A.Alekseyev göstərmişdir ki, a parametri ilə təminat əyrisinin dayaq ordinatları arasındaki əlaqə aşağıdakı düsturla ifadə olunur:

$$a = \frac{x_5 x_{95} - x_{50}^2}{x_5 + x_{95} - 2x_{50}} . \quad (4.28)$$

Qalan hesablamalar standart sxem üzrə yerinə yetirilir:

- düstur (4.23)-ə görə S əmsalı qiymətləndirilir;

- S əmsalına görə loqarifmik-normal paylanma cədvəlindən (cədvəl 4.6) üç normallaşdırılmış dayaq ordinatları və asimmetriya əmsalı təyin olunur;

• (4.25)-(4.27) düsturlarına görə σ_x, \bar{x}, C_v hesablanır.

Kritski-Menkel əyriləri əsasında qraf-analitik metodun tətbiq metodikası 1996-cı ildə Rusiya Dövlət Hidrometeorologiya Universitetinin “Qurunun hidrologiyası” kafedrasında işlənmişdir.

Bu metodikaya görə, standart yanaşmadan fərqli olaraq adı S əmsalı ilə yanaşı, S_2 əmsalı da hesablanır:

$$S_2 = \frac{2x_{50}}{x_5 - x_{95}} = \frac{2K_{50}}{K_5 - K_{95}}. \quad (4.29)$$

C_s/C_v nisbətinin konkret qiymətləri üçün S_2 və S arasında birmənalı əlaqə mövcuddur. Bu əlaqə əsasında xüsusi nomogramma hazırlanmışdır.

Bələliklə, S və S_2 əmsallarını hesablayıb, nomogrammadan C_s/C_v nisbətini təyin etmək olar. C_s/C_v nisbətinin qiymətini 0,5-ə kimi yuvarlaqlaşdırmaq lazımdır.

S əmsalının böyük qiymətləri ($S > 0,6$) $C_v > 1$ olduğunu göstərir. Bu halda C_s/C_v nisbətinin seçmə qiyməti çox dayanıqsız olduğu üçün, onu qraf-analitik metodla təyin etmək məqsədəyğun deyil və bu nisbətin orta rayon qiymətindən istifadə etmək tövsiyə olunur.

C_s/C_v nisbətinin konkret qiyməti üçün variasiya əmsalı ilə S əmsalı arasında birmənalı əlaqə mövcud olduğuna görə, C_s/C_v məlum olduqda, xüsusi cədvəldən variasiya əmsalı təyin edilə bilər.

Sıranın orta qiymətini hesablamaq üçün Kritski-Menkel əyrisinin 50% təminatlı modul əmsalı, K_{50} , tapılır. Onda:

$$\bar{x} = \frac{x_{50}}{K_{50}}. \quad (4.30)$$

Ümumiyyətlə, qraf-analitik metod kifayət qədər sadə və əyanıdır. Lakin bu metodu ehtiyatla tətbiq etmək lazımdır, çünkü

empirik əyrinin səlisləşdirilməsi subyektiv xarakter daşıyır və müəyyən təcrübə tələb edir.

Misal 4.5. Maksimal su sərflərinin müşahidə sırasına əsasən (cədvəl 3.1) paylanmanın parametrlərini qraf-analitik üsul ilə qiymətləndirin. Analitik təminat əyrisi kimi Pirsonun III tip əyrisindən istifadə edin.

Həlli: 1. Sıra azalma qaydasında düzülür və düstur (3.4)-ə görə empirik təminat əyrisinin ordinatları hesablanır (cədvəl 3.2).

2. Müləyim asimmetriyalı ehtimal damasında empirik təminat əyrisi qurulur (şəkil 4.2).

3. Hamarlaşdırılmış empirik təminat əyrisinin dayaq ordinatları təyin edilir: $Q_5^* = 136$; $Q_{50}^* = 48$; $Q_{95}^* = 16$.

4. S^* əmsalı hesablanır:

$$S^* = \frac{Q_5 + Q_{95} - 2Q_{50}}{Q_5 - Q_{95}} =$$

$$= (136 + 16 - 2 \cdot 48) / (136 - 16) = 0,47$$

5. S^* əmsalına görə Pirsonun III tip əyrisinin üç normallaşdırılmış ordinatı və asimetriya əmsali təyin edilir (Əlavə 1):

$$t_5 = 1,98; t_{50} = -0,26; t_{95} = -1,07; C_s^* = 1,67.$$

6. Aşağıdakı düstura görə orta kvadratik meyletmə hesablanır:

$$\sigma_Q = \frac{Q_5 - Q_{95}}{t_5 - t_{95}} =$$

$$= (136 - 16) / (1,98 + 1,07) = 39,3.$$

7. Riyazi gözləmənin qiyməti təyin olunur:

$$\bar{Q} = Q_{50} - \sigma_Q^* \cdot t_{50} = 48 - 39,3(-0,26) = 58,2.$$

8. Variasiya əmsalının qiyməti hesablanır:

$$C_v^* = \sigma_Q^* / \bar{Q} = 39,3 / 58,2 = 0,68.$$

9. Beləliklə, verilmiş sıranın əsas parametrləri aşağıdakılardır:

$$\bar{Q} = 58,2; C_v^* = 0,68; C_s^* = 1,67; C_s^* / C_v^* = 2,46.$$

Misal 4.6. Maksimal su sərflərinin müşahidə sırasına əsasən (cədvəl 3.1) paylanmanın parametrlərini qraf-analitik üsulla qiymətləndirin. Analitik təminat əyrisi kimi üçparametrlı loqarifmik-normal əyridən istifadə edin.

Həlli: 1-4 bəndlər misal 4.5-in bəndləri ilə eynidir.

5. S əmsalına görə cədvəl 4.6-dan loqarifmik-normal paylanmanın üç normallaşdırılmış dayaq ordinatı və asimmetriya əmsalı təyin edilir: $t_5=1,88$; $t_{50}=-0,26$; $t_{95}=1,03$; $C_s^*=2,35$.

6. Orta kvadratik meyletmənin qiyməti hesablanır:

$$\sigma_Q^* = \frac{Q_5 - Q_{95}}{t_5 - t_{95}} =$$

$$= (136 - 16)/(1,88 + 1,03) = 41,2.$$

7. Riyazi gözləmənin qiyməti təyin olunur:

$$\bar{Q} = Q_{50} - \sigma_Q^* \cdot t_{50} = 48 - 41,2(-0,26) = 58,7.$$

8. Variasiya əmsalının qiyməti hesablanır:

$$C_v^* = \sigma_Q^*/\bar{Q} = 41,2/58,7 = 0,70.$$

Cədvəl 4.6

S və C_s əmsallarının qiymətləri (loqarifmik-normal paylanma üçün)

| C_s | S | Normallaşdırılmış ordinatlar, t_p | | | C_s | S | Normallaşdırılmış ordinatlar, t_p | | |
|-------|------|-------------------------------------|-------|-------|-------|------|-------------------------------------|-------|-------|
| | | 5% | 50% | 95% | | | 5% | 50% | 95% |
| 0 | 0 | 1.64 | 0 | -1.64 | 1.9 | 0.41 | 1.89 | -0.23 | -1.12 |
| 0.1 | 0.03 | 1.67 | -0.02 | -1.62 | 2.0 | 0.42 | 1.89 | -0.24 | -1.10 |
| 0.2 | 0.06 | 1.70 | -0.04 | -1.59 | 2.1 | 0.44 | 1.89 | -0.24 | -1.08 |
| 0.3 | 0.09 | 1.72 | -0.06 | -1.56 | 2.2 | 0.45 | 1.89 | -0.25 | -1.06 |
| 0.4 | 0.11 | 1.75 | -0.07 | -1.53 | 2.3 | 0.46 | 1.88 | -0.25 | -1.04 |
| 0.5 | 0.14 | 1.77 | -0.09 | -1.49 | 2.4 | 0.48 | 1.88 | -0.26 | -1.02 |
| 0.6 | 0.16 | 1.79 | -0.10 | -1.46 | 2.5 | 0.49 | 1.88 | -0.26 | -1.00 |
| 0.7 | 0.19 | 1.81 | -0.11 | -1.43 | 2.6 | 0.50 | 1.87 | -0.26 | -0.99 |
| 0.8 | 0.21 | 1.82 | -0.13 | -1.40 | 2.7 | 0.51 | 1.87 | -0.27 | -0.97 |
| 0.9 | 0.23 | 1.84 | -0.14 | -1.37 | 2.8 | 0.51 | 1.86 | -0.27 | -0.96 |
| 1.0 | 0.25 | 1.85 | -0.15 | -1.34 | 2.9 | 0.52 | 1.86 | -0.27 | -0.95 |
| 1.1 | 0.27 | 1.86 | -0.16 | -1.31 | 3.0 | 0.53 | 1.85 | -0.28 | -0.93 |
| 1.2 | 0.29 | 1.87 | -0.17 | -1.29 | 3.2 | 0.55 | 1.84 | -0.28 | -0.90 |
| 1.3 | 0.31 | 1.88 | -0.18 | -1.26 | 3.4 | 0.56 | 1.83 | -0.29 | -0.88 |
| 1.4 | 0.33 | 1.88 | -0.19 | -1.23 | 3.6 | 0.57 | 1.81 | -0.29 | -0.86 |
| 1.5 | 0.35 | 1.89 | -0.20 | -1.21 | 3.8 | 0.58 | 1.80 | -0.29 | -0.84 |
| 1.6 | 0.37 | 1.89 | -0.21 | -1.18 | 4.0 | 0.59 | 1.78 | -0.29 | -0.82 |
| 1.7 | 0.38 | 1.89 | -0.22 | -1.16 | 4.5 | 0.62 | 1.75 | -0.30 | -0.78 |
| 1.8 | 0.39 | 1.89 | -0.22 | -1.14 | 5.0 | 0.64 | 1.71 | -0.30 | -0.74 |

9. Beləliklə, verilmiş sıranın əsas parametrləri aşağıdakılardır:

$$\bar{Q} = 58,7; C_v^* = 0,70; C_s^* = 2,35; C_s^*/C_v^* = 3,36.$$

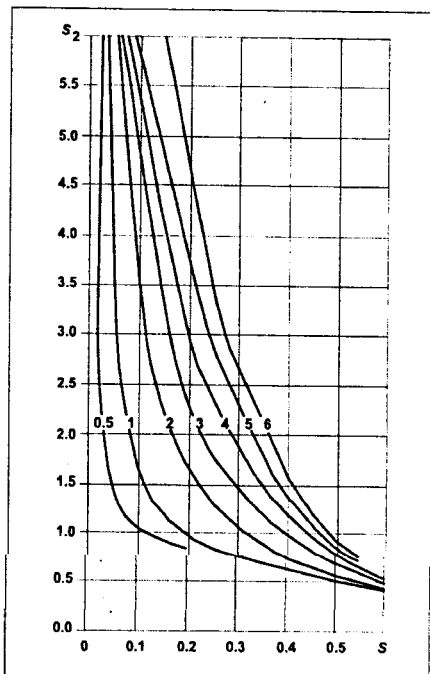
Misal 4.7. Maksimal su sərflərinin müşahidə sırasına əsasən (cədvəl 3.1) paylanma parametrlərini qraf-analitik üsulla qiymətləndirin. Analitik təminat əyrisi kimi Kritski-Menkelin təminatlar əyrisindən istifadə edin.

Həlli: 1-4-cü bəndlər misal 4.5-in bəndləri ilə eynidir.

5. S_2 əmsalı təyin edilir:

$$S_2 = 2Q_{50}/(Q_5 - Q_{95}) = 2k_{50} / (k_5 - k_{95}) = (2 \cdot 48)/(136 - 16) = 0,80.$$

6. $S=0,47$ və $S_2=0,80$ qiymətləri üçün nomogrammaya (şəkil 4.3) əsasən C_s/C_v nisbəti təyin edilir. Bu halda (tama qədər yuvarlaqlaşdırmaqla) $C_s/C_v=3$.



Şəkil 4.3. Kritski-Menkelin təminatlar əyrisi üçün C_s/C_v nisbətinin S əmsali və S_2 parametrinə görə təyinində istifadə olunan nomogramma

7. Cədvəl 4.7-dən $S=0,47$ və $C_s/C_v=3$ üçün variasiya əmsalı təyin edilir. Bu halda $C_v=0,72$.

Cədvəl 4.7

S əmsalının qiymətlərinin C_v və C_s/C_v nisbətindən asılılığı (Kritski-Menkelin təminatlar əyrisi üçün)

| C_v | C_s/C_v nisbəti | | | | | | |
|-------|-------------------|-------|-------|-------|-------|-------|-------|
| | 0.5 | 1 | 2 | 3 | 4 | 5 | 6 |
| 0.1 | 0.027 | 0.036 | 0.055 | 0.061 | 0.068 | 0.091 | 0.152 |
| 0.2 | 0.030 | 0.056 | 0.113 | 0.163 | 0.198 | 0.238 | 0.270 |
| 0.3 | 0.041 | 0.084 | 0.169 | 0.229 | 0.286 | 0.326 | 0.356 |
| 0.4 | 0.050 | 0.113 | 0.226 | 0.298 | 0.348 | 0.378 | 0.402 |
| 0.5 | 0.074 | 0.156 | 0.279 | 0.357 | 0.403 | 0.427 | 0.443 |
| 0.6 | 0.114 | 0.206 | 0.335 | 0.409 | 0.450 | 0.464 | 0.481 |
| 0.7 | 0.197 | 0.270 | 0.390 | 0.461 | 0.488 | 0.489 | 0.508 |
| 0.8 | | 0.358 | 0.445 | 0.504 | 0.527 | 0.538 | 0.539 |
| 0.9 | | 0.456 | 0.506 | 0.546 | 0.561 | 0.563 | 0.571 |
| 1.0 | | 0.562 | 0.565 | 0.586 | 0.595 | | |
| 1.1 | | 0.663 | 0.618 | 0.623 | 0.625 | | |
| 1.2 | | 0.754 | 0.667 | 0.658 | 0.652 | | |
| 1.3 | | 0.823 | 0.715 | 0.689 | 0.679 | | |
| 1.4 | | 0.871 | 0.760 | 0.719 | 0.704 | | |
| 1.5 | | 0.904 | 0.796 | 0.746 | 0.726 | | |
| 1.6 | | 0.930 | 0.823 | 0.772 | 0.748 | | |
| 1.7 | | 0.952 | 0.856 | 0.795 | 0.768 | | |
| 1.8 | | 0.969 | 0.882 | 0.817 | 0.786 | | |
| 1.9 | | 0.983 | 0.902 | 0.837 | 0.803 | | |
| 2.0 | | 0.996 | 0.920 | 0.855 | 0.819 | | |

8. Kritski-Menkelin təminatlar əyrisi cədvəllərinə əsasən $C_s/C_v=3$ və $C_v=0,72$ olduqda K_{50} təyin edilir: $K_{50}=0,815$ (Əlavə 2).

9. Orta qiymət \bar{Q} təyin edilir:

$$\bar{Q} = Q_{50}/K_{50} = 48,0 / 0,815 = 58,9 \text{ m}^3/\text{s}.$$

4.5. Qrafik metod

Paylanma parametrləri qrafik metodla qiymətləndirildikdə, istifadə olunacaq analitik əyrinin tipi əvvəlcədən məlum olmalıdır. Bu üsul həm iki, həm də üçparametrli paylanma əyrləri üçün istifadə oluna bilər.

Üçparametrli əyri üçün C_s və C_v əmsallarının müxtəlif nisbətlərində analitik əyrini düzləndirən ehtimallar damasından istifadə olunur. Ehtimallar damasında modul əmsallarına görə empirik təminat əyrisi qurulur. Yekun hesablamalar üçün düz xətt şəklini alan empirik təminat əyrisinə uyğun C_s / C_v nisbəti qəbul edilir. Alınmış düz xəttin üfüqi xəttlə əmələ gətirdiyi bucaq variasiya əmsalından asılıdır. Bunu nəzərə alaraq ehtimallar damasının yuxarı sol və aşağı sağ künclərində C_v şkalası qurulur (şəkil 4.4).

Beləliklə, qrafik metod paylanmanın variasiya əmsali və C_s / C_v nisbətini təyin etməyə imkan verir. Sıranın orta qiyməti momentlər üsulunun məlum düsturuna görə hesablanır.

Misal 4.8. Maksimal su sərflərinin müşahidə sırasına əsasən (cədvəl 3.1) paylanmanın parametrlərini qrafik üsulla qiymətləndirin. Analitik təminat əyrisi kimi Kritski-Menkel əyrisindən istifadə edin.

Həlli: 1. Riyazi gözləmənin qiyməti hesablanır: $\bar{Q} = \frac{\sum_{i=1}^n Q_i}{n} = \frac{1868}{32} = 58,4$.

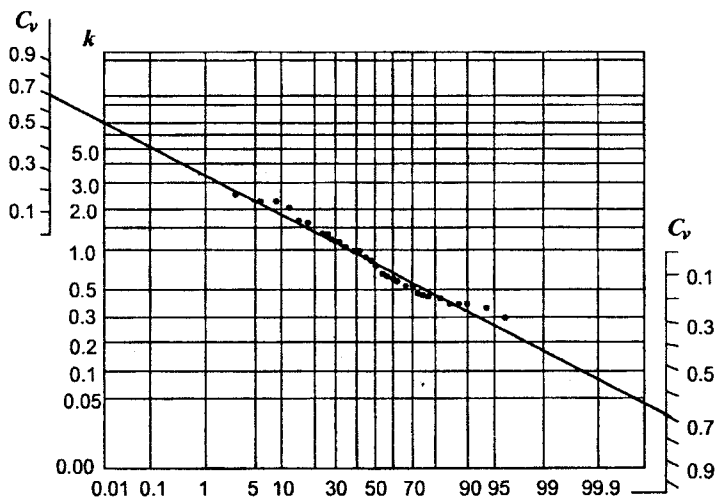
2. $k_i = Q_i / \bar{Q}$ düsturuna əsasən modul əmsalları təyin olunur.

3. Modul əmsalları sırası azalan qaydada düzülür və $P = \frac{m}{n+1} \cdot 100\%$ düsturuna əsasən empirik təminat əyrisinin ordinatları hesablanır (cədvəl 3.2).

4. Kritski-Menkel əyrisini düzləndirən xüsusi ehtimal dağlılarında beş dəfə empirik təminat əyrləri qurulur ($C_s / C_v = 1; 1.5; 2.0; 3.0; 4.0$ üçün).

5. Hesablamalar üçün $C_s / C_v = 3$ qiymətini qəbul edirik, belə ki,

bu nisbətdə ehtimallar damasında empirik nöqtələr düz xətt boyunca qruplaşır (şəkil 4.4).



Şəkil 4.4. Kritski-Menkelin təminat əyrisi ($C_s/C_v=3$)

6. Nöqtələri ortalaşdırın düz xətt keçirilir və ehtimallar damasının künclərindəki şkalalara əsasən variasiya əmsalı təyin edilir $C_v^* = 0,70$

Beləliklə, verilmiş sıranın əsas parametrləri aşağıdakılardır:

$$\bar{Q} = 58,4; C_v^* = 0,70; (C_s/C_v)^* = 3$$

və müvafiq olaraq $C_s^* = 2,1$.

4.6. Paylanmanın seçmə parametrlərinin xətalarının qiymətləndirilməsi

Paylanma funksiyasının parametrlərinin qiymətləri müəyyən səpələnmə ilə səciyyələnən təsadüfi kəmiyyətlərdir. Başqa sözlə, eyni bir baş çoxluğun müxtəlif seçmələri üçün hesablanmış parametrlərin qiymətləri fərqlənir. Buna görə də hidroloji sıraların parametrlərinin xətaları qiymətləndirilir. Bu qiymətləndirmədə isti-

fadə olunan düsturlar, parametrin heablanma metodundan asılıdır.

Momentlər metodu. Sıranın orta kəmiyyətinin mütləq xətası (və ya standart xətası) aşağıdakı düstura görə hesablanır:

$$\sigma_{\bar{Q}} = \frac{\sigma}{\sqrt{n}}, \quad (4.31)$$

burada σ -sıranın orta kvadratik meyletməsi; n -sıranın uzunluğuudur.

Orta kəmiyyətin nisbi xətası:

$$E_{\bar{x}} = \frac{\sigma_x}{x} \cdot 100 = \frac{\sigma}{x\sqrt{n}} \cdot 100\% = \frac{C_v}{\sqrt{n}} \cdot 100\%, \quad (4.32)$$

burada C_v -variasiya əmsalıdır.

Variasiya əmsalının mütləq və nisbi xətaları aşağıdakı düsturlara görə hesablanır:

$$\sigma_{C_v} = \frac{C_v \sqrt{1 + \alpha C_v^2}}{\sqrt{2n}}, \quad (4.33)$$

$$E_{C_v} = \frac{\sqrt{1 + \alpha C_v^2}}{\sqrt{2n}} \cdot 100\%, \quad (4.34)$$

burada $\alpha = 2$ (normal paylanması üçün) və $\alpha = 1$ (iki parametrlı qamma paylanması üçün).

Məlumdur ki, iki parametrlı qamma paylanması üçün $C_s/C_v = 2$, normal paylanması üçün isə $C_s = 0$. Hidroloji sıralar adətən mülayim müsbət asimetriya ilə səciyyələndiklərinə görə, yuxarıdakı düsturlarda $\alpha = 1$ qəbul olunması məqsədə uyğun hesab edilir.

Düstur (4.33)-dən başqa, Y.Q.Bloxinovun düsturundan da istifadə olunur:

$$\sigma_{C_v} = \frac{C_v}{n + 4C_v^2} \sqrt{\frac{n(1 + C_v^2)}{2}}. \quad (4.35)$$

Bu düstur da iki parametrlı qamma paylanması üçün alınmışdır.

Asimetriya əmsalının xətalarını qiymətləndirmək üçün aşağıdakı düsturlar təklif olunmuşdur:

S.N.Kritski və M.F.Menkelin düsturları:

$$\sigma_{C_s} = \sqrt{\frac{6}{n}(1 + 6C_v^2 + 5C_v^4)}, \quad (4.36)$$

$$E_{C_s} = \frac{1}{C_s} \sqrt{\frac{6}{n}(1 + 6C_v^2 + 5C_v^4)} \cdot 100\%. \quad (4.37)$$

A.Ş.Reznikovskinin düsturları:

$$\sigma_{C_s} = \sqrt{\frac{6}{n}(1 + C_v^2)}, \quad (4.38)$$

$$E_{C_s} = \frac{1}{C_s} \sqrt{\frac{6}{n}(1 + C_v^2)} \cdot 100\%. \quad (4.39)$$

Ən çox həqiqətəbənzər metod. Sıranın orta kəmiyyəti və asimmetriya əmsalının mütləq və nisbi xətaları elə momentlər metodunda istifadə olunan (4.31)-(4.32) və (4.36)-(4.37) düsturlarına görə qiymətləndirilir.

Variasiya əmsalinin xətalarını təqribi hesablamaq üçün aşağıdakı düsturlar tətbiq edilir:

$$\sigma_{C_r} = \frac{C_v}{\sqrt{2n}} \sqrt{\frac{3}{3 + C_v^2}}, \quad (4.40)$$

$$E_{C_r} = \sqrt{\frac{3}{2n(3 + C_v^2)}} \cdot 100\%. \quad (4.41)$$

Hidroloji hesablamalar praktikasında belə qəbul olunmuşdur ki, əgər, sıranın orta kəmiyyətinin nisbi xətası 10%-dən, variasiya əmsalınınki isə (15%-dən) azdırsa, onda sıranın parametrləri etibarlı hesablanmışdır.

Hidroloji sıralar, adətən qısa olduqları üçün asimmetriya əmsalının xətası böyük olur və buna görə də bu əmsalın qiyməti təyin olunduqda C_s/C_v nisbetinin orta rayon qiymətindən və ya fərdi yolla seçilmiş qiymətindən istifadə olunur.

Kvantillər metodu. Paylanması parametrləri bu metodla hesablandıqda mütləq və nisbi xətalar qiymətləndirilmir. Bu halda analitik əyri üçün aşağıdakı bərabərsizliyin ödənilməsi şərti istifadə oluna bilər:

$$|\bar{x} - \hat{x}_e| < \frac{121}{\sigma_x}$$

$$|\bar{x} - \bar{x}_q| < 0,02 \bar{x}, \quad (4.42)$$

burada \bar{x} – faktiki sıraya görə hesablanmış orta qiymət; \bar{x}_q – qraf-analitik metodla təyin olunmuş orta qiymətdir.

Misal 4.9. Roki (Rocky) çayı üzərində 1960-1980-ci illərdə yerinə yetirilmiş müşahidələrin məlumatlarına görə maksimal su sərflərinin orta çoxillik qiyməti $52 \text{ m}^3/\text{s}$, standart meyletməsi $21 \text{ m}^3/\text{s}$ və asimetriya əmsali 0,8-dir. Bu parametrlərin standart (mütləq) və nisbi xətalarını hesablayın.

Həlli: Şərtə görə $N = 21$ (1960-1980), $\hat{\mu} = 52 \text{ m}^3/\text{s}$, $\hat{\sigma} = 21 \text{ m}^3/\text{s}$ və $\hat{g} = 0.8$. Əvvəlcə, orta kəmiyyət, μ , və standart meyletmənin, σ , mütləq xətaları (S_μ və S_σ) hesablanır:

$$\begin{aligned} \hat{S}_\mu &= \frac{\hat{\sigma}}{\sqrt{N}} = \frac{21}{\sqrt{21}} = 4.6 \text{ m}^3/\text{s}, \\ S_{\hat{\sigma}} &= \hat{\sigma} \sqrt{\frac{1 + 0.75\hat{g}}{2N}} = 21 \sqrt{\frac{1 + 0.75(0.8)}{2(21)}} = 4.1 \text{ m}^3/\text{s} \end{aligned}$$

Asimetriya əmsalının, \hat{g} , mütləq xətası, $S_{\hat{g}}$ aşağıdakı düstura görə təyin olunur:

$$S_{\hat{g}} = [10^{A-B \log_{10}(1/10)}]^{0.5}$$

$$|g_x| \leq 0,9 \text{ olduğuna görə}$$

$$A = -0.33 + 0.08|g_x| = -0.33 + 0.08|0.8| = -0.27$$

$$\text{və } |g_x| \leq 1,50 \text{ olduğuna görə}$$

$$B = 0.94 - 0.26|g_x| = 0.94 - 0.26|0.8| = 0.73$$

və beləliklə

$$S_{\hat{g}} = [10^{-27-0.73 \log_{10}(21/10)}]^{-0.5} = 0.56$$

Orta kəmiyyət, standart meyletmə və asimetriyanın mütləq xətaları müvafiq olaraq $4.6 \text{ m}^3/\text{s}$, $4.1 \text{ m}^3/\text{s}$, və 0.56 təşkil edir.

Nisbi xətalar aşağıdakı ifadələrə görə hesablanır:
orta kəmiyyətin nisbi xətası

$$(S_{\hat{\sigma}}/\hat{\mu}) \cdot 100 = (4.6/52) \cdot 100 = 8.8\%,$$

standart meyletmənin nisbi xətası

$$(S_{\hat{\sigma}}/\hat{\sigma}) \cdot 100 = (4.1/21) \cdot 100 = 20\%,$$

asimmetriyanın nisbi xətası

$$(S_{\hat{g}}/\hat{g}) \cdot 100 = 0.56/0.8 \cdot 100 = 70\%.$$

Parametrlərin təyininin nisbi xətalarının təhlili göstərir ki, momentlərin dərəcələri artdıqca, xətalar da artır.

Yuxarıda baxılan paylanma parametrlərinin xətalarının qiymətləndirilmə metodları əsasən keçmiş SSRİ-də istifadə olunurdu və indi Rusiya Federasiyasının müvafiq normativ sənədlərində tövsiyə olunur.

Qərb ölkələrində də orta kəmiyyətin standart xətası düstur (4.31)-ə görə hesablanır. Lakin variasiya əmsalının xətası əvəzinə orta kvadratik meyletmənin xətası qiymətləndirilir (Chin, 2007):

$$S_{\sigma_x} = \sigma_x \sqrt{\frac{1 + 0,75g_x}{2N}}, \quad (4.43)$$

burada g_x -seçmənin (siranın) asimmetriya əmsali; N -siranın uzunluğuudur.

Asimmetriya əmsalının, g_x xətası, S_{g_x} , tamamilə fərqli strukturlu düstura görə təyin olunur:

$$S_{g_x} = [10^{A-B \log_{10}(N/10)}]^{0.5}, \quad (4.44)$$

burada

$$A = \begin{cases} -0,33 + 0,08 |g_x| & \text{əgər, } |g_x| \leq 0,90 \\ -0,52 + 0,30 |g_x| & \text{əgər, } |g_x| > 0,90 \end{cases} \quad (4.45)$$

və

$$B = \begin{cases} -0,94 - 0,26 |g_x| & \text{əgər, } |g_x| \leq 1,50 \\ 0,55 & \text{əgər, } |g_x| > 1,50. \end{cases} \quad (4.46)$$

Yuxarıdakı düsturlardan görünür ki, keçmiş SSRİ-də və həzirdə həm Rusiyada, həm də Azərbaycanda variasiya və asimetriya əmsallarının standart xətaları variasiya əmsalı və siranın uzunluğuna görə qiymətləndirilir. Qərb ölkələrində istifadə olunan müvafiq düsturların əsas parametri isə variasiya əmsalı yox, asimetriya əmsalıdır.

5. PARAMETRLƏRİN İNTERVALLAR ÜZRƏ QİYMƏTLƏNDİRİLMƏSİ VƏ STATİSTİK HİPOTEZLƏRİN YOXLANMASI

5.1. Paylanma parametrlərinin intervallar üzrə qiymətləndirilməsi

Hidrometeoroloji kəmiyyətlərin paylanma funksiyalarının (təminat əyrilərinin) parametrləri müşahidə sıralarına görə hesablanır. Mövcud metodlar (momentlər metodu, ən çox həqiqətə-bənzər metod və s.) bu parametrləri kifayət qədər dəqiqliklə qiymətləndirməyə imkan verir. Lakin aydındır ki, adətən qısa olan müşahidə sıralarına görə hesablanmış parametrlərin, məsələn, orta kəmiyyət, \bar{x} , və dispersiyanın, D^* , qiymətləri baş çoxluğun müvafiq (həqiqi) qiymətlərindən (m_x və D) fərqlənir. Parametrlərin seçmə qiymətlərinin, G^* , riyazi gözləməsi G -ya bərabərdir, lakin baş çoxluğun ayrı-ayrı seçimlərinə (fragməntlərinə) görə hesablanmış G^* , əhəmiyyətli dərəcədə G -dan fərqlənə bilər.

Paylanmanın məlum olmayan parametrlərinin daha informativ qiymətləndirilmə metodu, konkret sıra üçün hesablanmış parametrin verilən ehtimalla ala biləcəyi qiymətlər intervalının müəyyən olunmasıdır. Başqa sözlə, G parametri interval üzrə qiymətləndirilir.

G parametrinin interval qiyməti elə intervala deyilir ki, onun sərhədləri (ℓ_1^* və ℓ_2^*) x_1, x_2, \dots, x_n seçmə qiymətlərinin funksiyasıdır və o, verilən ehtimalla, P , qiymətləndirilən parametrin mümkün qiymətlər oblastını, G_x , əhatə edir:

$$P\{\ell_1^* < G \leq \ell_2^*\} = p. \quad (5.1)$$

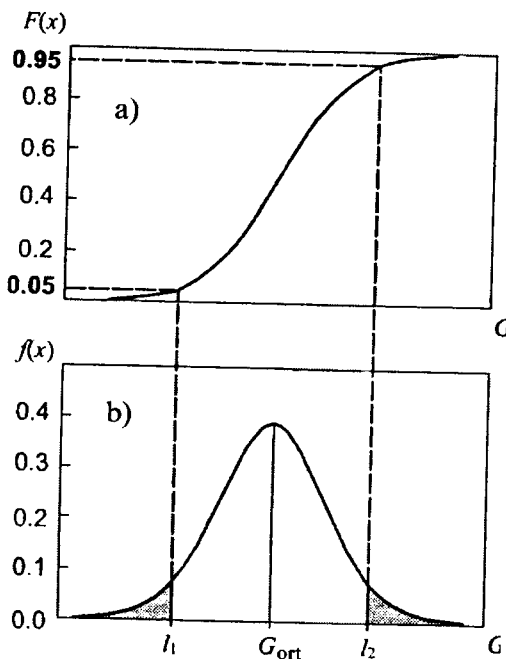
Bu intetrvall (ℓ_1^*, ℓ_2^*) etibarlılıq intervalı, P isə etibarlılıq ehtimalı adlanır. Adətən P 0,90; 0,95 və 0,99-a bərabər qəbul olunur.

G parametrinin seçmə qiymətlərinin paylanması funksiyasından istifadə edərək, ℓ_1 və ℓ_2 üçün ötməmə ehtimallarını yazmaq olar:

$$P\{G^* \leq \ell_1\} = F(\ell_1) = (1-p)/2; \quad (5.2)$$

$$P\{G^* \leq \ell_2\} = F(\ell_2) = p + (1-p)/2 = (1+p)/2. \quad (5.3)$$

Məsələn, əgər, 90%-li etibarlılıq intervalına ($P = 0,9$) baxılırsa, onda $F(\ell_1) = 0,05$, $F(\ell_2) = 0,95$ və ya müvafiq olaraq, 5% və 95% (şəkil 5.1 a).



Şəkil 5.1. İnteqral paylanması funksiyası (a) və ehtimalın sıxlığı funksiyasına (b) nəzərən G parametri üçün 90%-li etibarlılıq intervalı (l_1, l_2)

Bu etibarlılıq intervalı ehtimalın sıxlıq funksiyasının qrafıkində də göstərilə bilər (şəkil 5.1 b). Bu şəkildə ştrixlənməmiş hissə qrafikin altındakı ümumi sahənin 90%-ni təşkil edir.

5.1.1. Riyazi gözləmənin interval qiyməti

Riyazi gözləmənin interval qiymətini hesablamaq üçün Styudent (U.Qosset) paylanmasından istifadə olunur. Bu paylanması simmetrikdir və o, həmçinin, t -paylanması adlanır (Əlavə 5).

Müəyyən olunmuşdur ki, $(\bar{x} - m_x)/(S/\sqrt{n})$ kəmiyyəti sərbəstlik dərəcələri ədədi $v = n - 1$ olan Styudent paylanmasına müvafiq paylanır. Beləliklə, yazmaq olar ki, bu kəmiyyət p ehtimalla aşağıdakı intervala düşür:

$$t'_{(1-p)/2} \leq \left| (\bar{x} - m_x) / (S_x / \sqrt{n}) \right| < t'_{(1+p)/2}, \quad (5.4)$$

burada $t'_{(1-p)/2}$ və $t'_{(1+p)/2}$ -Styudent paylanmasıının ötməmə ehtimallarının müvafiq olaraq $(1-p)/2$ və $(1+p)/2$ olan kvantilləridir. Lakin nəzərə alsaq ki, Styudent paylanması sıfır nəzərən simmetrikdir yəni, $t_{(1-p)/2} = -t_{(1+p)/2}$, onda,

$$-t_{(1+p)/2} \leq \left| (\bar{x} - m_x) / (S_x / \sqrt{n}) \right| < t_{(1+p)/2}. \quad (5.5)$$

Çevirmədən sonra aşağıdakı ifadə alınır:

$$\bar{x} - \frac{t_{(1+p)/2} S_x}{\sqrt{n}} \leq m_x < \bar{x} + \frac{t_{(1+p)/2} S_x}{\sqrt{n}}. \quad (5.6)$$

Misal 5.1. Uzunluğu $n=37$ il olan sıranın orta kəmiyyəti və orta kvadratik meyletməsi hesablanmışdır: $\bar{x} = 12,0$; $S_x = 6,00$. Riyazi gözləmə (m_x) üçün 90%-li etibarlılıq intervalının sərhədlərini təyin edin.

Həlli: 1. 90%-li etibarlılıq intervalı üçün $p=0.9$. Beləliklə, $t'_{(1+p)/2} = t'_{95}$.

Styudent t paylanmasıının cədvəlinə əsasən $v=36$ olduqda, $t'_{95} = 1,69$ (Əlavə 5).

2. Bu qiymət aşağıdakı düsturda yerinə qoyulur:

$$\bar{x} - \frac{t_{(1+p)/2} S_x}{\sqrt{n}} \leq m_x < \bar{x} + \frac{t_{(1+p)/2} S_x}{\sqrt{n}}.$$

$$12 - (1,69 \cdot 6,00) / \sqrt{36} \leq m_x < 12 + (1,69 \cdot 6,00) / \sqrt{36}.$$

3. Nəticədə, m_x üçün 90%-li etibarlılıq intervalı $10,31 \leq m_x < 13,69$ olacaq. Bu o deməkdir ki, 90% ehtimalla m_x -in qiyməti $10,31 - 13,69$ intervalindədir.

5.1.2. Dispersianın interval qiyməti

Dispersianın interval qiymətini hesablamaq üçün χ^2 (xi-kvadrat) paylanmasından istifadə olunur. Bu paylanması yalnız bir parametri var və o, sərbəstlik dərəcələri ədədi, v , adlanır.

Müəyyən olunmuşdur ki, $[(n-1)S_x^2] \sigma_x^2$ kəmiyyəti sərbəstlik dərəcələri ədədi $v = n - 1$ olan χ^2 paylanmasıına müvafiq paylanır. Buna görə də:

$$\chi_{(1-p)/2}^2 \leq \frac{(n-1)S_x^2}{\sigma_x^2} < \chi_{(1+p)/2}^2, \quad (5.7)$$

burada $S_x^2 = D^*$ -seçmə dispersiya; $\sigma_x^2 = D$ -həqiqi dispersiya; n -seçmənin (siranın) uzunluğuudur.

Müəyyən çevirmələrdən sonra, düstur (5.7)-dən aşağıdakı ifadə alınır:

$$\frac{(n-1)S_x^2}{\chi_{(1+p)/2}^2} < D \leq \frac{(n-1)S_x^2}{\chi_{(1-p)/2}^2}. \quad (5.8)$$

Bu ifadədən həmçinin orta kvadratik meyletmənin interval qiymətini almaq olar:

$$S_x \sqrt{(n-1)/\chi^2_{(1+p)/2}} < \sigma \leq S_x \sqrt{(n-1)/\chi^2_{(1-p)/2}}. \quad (5.9)$$

Misal 5.2. Uzunluğu $n=26$ il olan sıraya əsasən müəyyən olunub ki, dispersiya $D^*=147$. Dispersiya, D, üçün 95%-li etibarlılıq intervalının sərhədlərini təyin edin.

Həlli: 1. 95%-li etibarlılıq intervalı üçün $p=0.95$. Beləliklə, $\chi^2_{(1+p)/2} = \chi^2_{97,5}$; $\chi^2_{(1-p)/2} = \chi^2_{2,5}$.

χ^2 paylanmasıın cədvəlinə əsasən $v=n-1=25$ olduqda, $\chi^2_{97,5} = 40,65$ və $\chi^2_{2,5} = 13,12$ alınır (Əlavə 4).

2. Bu qiymətlər aşağıdakı düsturda yerinə qoyulur:

$$\frac{(n-1)S_x^2}{\chi^2_{(1+p)/2}} < D \leq \frac{(n-1)S_x^2}{\chi^2_{(1-p)/2}}.$$

$$(25 \cdot 147)/40,65 < D \leq (25 \cdot 147)/13,2.$$

$$\text{Son nəticədə: } 90,4 < D \leq 280.$$

Bu o deməkdir ki, 95% ehtimalla dispersiyanın qiyməti 90,4-280 intervalındadır.

Misal 5.3. Dispersiya, D, üçün 90%-li etibarlılıq intervalının sərhədlərini təyin edin: $n=54$; $D^*=312$.

Həlli: 1. $p=0.90$ olduqda, $\chi^2_{(1+p)/2} = \chi^2_{95}$ və $\chi^2_{(1-p)/2} = \chi^2_5$.

Baxılan sıra üçün sərbəstlik dərəcələri ədədi $v=n-1=53$ alınır. Bu ədəd 30-dan böyük olduğu üçün aşağıdakı düsturdan istifadə olunur:

$$\begin{aligned} \chi_p^2(v) &\approx v \left[1 - 2/(9v) + t'_p \sqrt{2/(9v)} \right]^3. \\ \chi_p^2 &\approx 53 \left[1 - 2/(9 \cdot 53) + t_p \sqrt{2/(9 \cdot 53)} \right]^3. \end{aligned}$$

2. Normal paylanmasıın kvantillərinin qiymətləri cədvəl 3.3-ə əsasən təyin edilir: $t'_{95} = 1,64$; $t'_5 = -1,64$. Bunları yuxarıdakı düsturda yerinə qoymaqla $\chi^2_{95} = 70,9$ və $\chi^2_5 = 37,3$ alınır.

3. Bu qiymətlər aşağıdakı düsturda yerinə qoyulur:

$$\frac{(n-1)S_x^2}{\chi_{(1+p)/2}^2} < D \leq \frac{(n-1)S_x^2}{\chi_{(1-p)/2}^2}.$$

$$(53 \cdot 312)/70,9 < D \leq (53 \cdot 312)/37,3; 233 < D \leq 443.$$

Misal 5.4. Mauri çayının Leksinqton məntəqəsində 26 illik müşahidə dövrü üçün maksimal su sərfi aşağıdakı kimiidir:

| Hidroloji il | Sərf, kub fut/s | Hidroloji il | Sərf, kub fut/s | Hidroloji il | Sərf, kub fut/s |
|--------------|-----------------|--------------|-----------------|--------------|-----------------|
| 1926 | 6 730 | 1935 | 13 800 | 1944 | 6 680 |
| 1927 | 9 150 | 1936 | 40 000 | 1945 | 6 540 |
| 1928 | 6 310 | 1937 | 10 200 | 1946 | 5 560 |
| 1929 | 10 000 | 1938 | 13 400 | 1947 | 7 700 |
| 1930 | 15 000 | 1939 | 8 950 | 1948 | 8 630 |
| 1931 | 2 950 | 1940 | 11 900 | 1949 | 14 500 |
| 1932 | 8 650 | 1941 | 5 840 | 1950 | 23 700 |
| 1933 | 11 100 | 1942 | 20 700 | 1951 | 15 100 |
| 1934 | 6 360 | 1943 | 12 300 | | |

5, 10, 50 və 100 ildə bir dəfə təkrarlana bilən maksimal su sərfələrini təyin edin və cədvəl 5.1-dən istifadə edərək onların aşağı və yuxarı etibarlılıq sərhədlərini göstərin.

Cədvəl 5.1

Daşqınların təkrarlanması əyriləri üçün xətaların sərhədləri

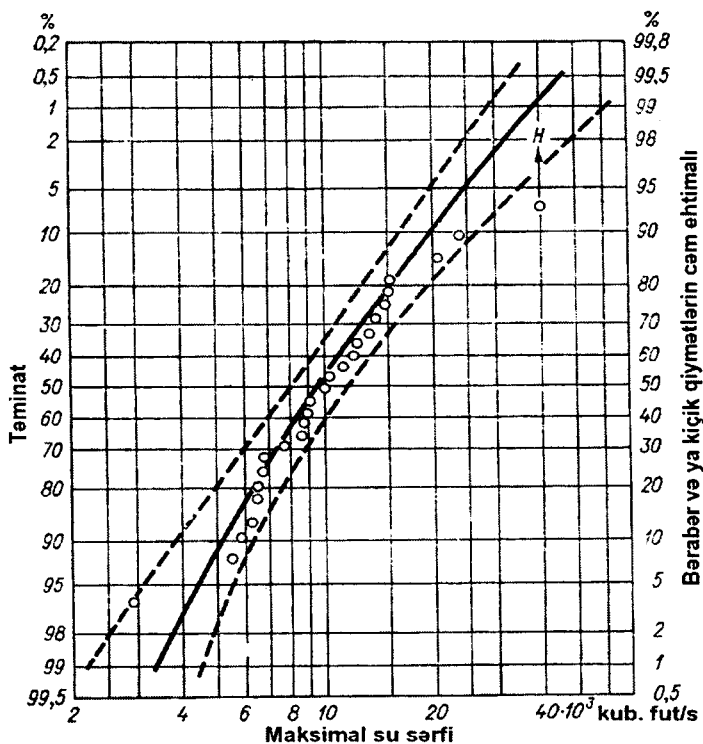
| Müşahidə dövrü, il | Etibarlılıq intervalı (%), 5%-li əhəmiyyətlilik səviyyəsi | | | | | | |
|--------------------|---|------|------|------|------|------|------|
| | 99,9 | 99 | 90 | 50 | 10 | 1 | 0,1 |
| 5 | 1.22 | 1.00 | 0.76 | 0.95 | 2.12 | 3.41 | 4.41 |
| 10 | 0.94 | 0.76 | 0.57 | 0.58 | 1.07 | 1.65 | 2.11 |
| 15 | 0.80 | 0.65 | 0.48 | 0.46 | 0.79 | 1.19 | 1.52 |
| 20 | 0.71 | 0.58 | 0.42 | 0.39 | 0.64 | 0.97 | 1.23 |
| 30 | 0.60 | 0.49 | 0.35 | 0.31 | 0.50 | 0.74 | 0.93 |
| 40 | 0.53 | 0.43 | 0.31 | 0.27 | 0.42 | 0.61 | 0.77 |
| 50 | 0.49 | 0.39 | 0.28 | 0.24 | 0.36 | 0.54 | 0.67 |
| 70 | 0.42 | 0.34 | 0.24 | 0.20 | 0.30 | 0.44 | 0.55 |
| 100 | 0.37 | 0.29 | 0.21 | 0.17 | 0.25 | 0.36 | 0.45 |
| | 0,1 | 1 | 10 | 50 | 90 | 99 | 99,9 |

Etibarlılıq intervalı (%), 95%-li əhəmiyyətlilik səviyyəsi

Həlli: 1.Əsas statistik parametrlərin hesablanmış qiymətləri aşağıdakı cədvəldə verilmişdir:

| Sıranın parametrləri | Mütləq | Loqarifmik |
|--------------------------|--------------------|------------|
| Sıranın uzunluğu | 26 | 26 |
| Orta kəmiyyət | 11 606 | 4, 001 |
| Dispersiya, s^2 | $53,87 \cdot 10^6$ | 0, 0516 |
| Asimetriya əmsalı, C_s | 2,4 | 0, 38 |

2. Məlumatları artan sıra ilə düzdükdən sonra onlar ehtimallar damasına köçürülmüşdür (şəkil 5.2).



Şəkil 5.2. Mauri çayının maksimal su sərfərinin təkrarlanması (təminat) ayrıisi və etibarlılıq sərhədləri (Leksington məntəqəsi, Virciniya ştatı)

3. Şəkil 5.2-də Pirsonun III tip loqarifmik paylanma əyrişi keçirilmişdir. Əyrinin koordinatları məlumat kitablarında verilən cədvəllər əsasında müəyyən edilmişdir. Hesablamaların nəticələri aşağıdakı cədvəldə verilmişdir:

| Təminat, % | $C_s=0.38 K$ | $\bar{y}=4.001$, $s=0.227$, $\bar{y}+K_s = \log Q$ | $Q, m^3/s$ |
|------------|--------------|--|------------|
| 99 | -2.050 | 3.535 | 3 424 |
| 95 | -1.532 | 3.653 | 4 496 |
| 90 | -1.241 | 3.719 | 5 235 |
| 80 | -0.855 | 3.760 | 5 752 |
| 50 | -0.062 | 3.987 | 9 700 |
| 20 | 0.818 | 4.187 | 15 370 |
| 10 | 1.315 | 4.300 | 19 930 |
| 4 | 1.872 | 4.426 | 26 670 |
| 2 | 2.248 | 4.511 | 32 470 |
| 1 | 2.597 | 4.590 | 38 950 |
| 0.5 | 2.924 | 4.665 | 46 290 |

Cədvəl 5.1-in məlumatlarına əsasən təyin olunmuş etibarlılıq sərhədləri şəkil 5.2-də göstərilmişdir. Bir nöqtənin etibarlılıq intervalı sərhədlərindən kənara çıxmazı diqqəti cəlb edir. Meyl edən H nöqtəsinin qrafikdə yeri Hazen metoduna görə dəqiqləşdirilmişdir.

5.2. Statistik hipotez və meyarlar

Statistik hipotez secmənin (siranın) aid olduğu baş coxluğun xüsusiyyətlərin haqqında fərziyyədir. Hidrometeoroloji tədqiqat-larda müxtəlit hipotezlər yoxlanılır:

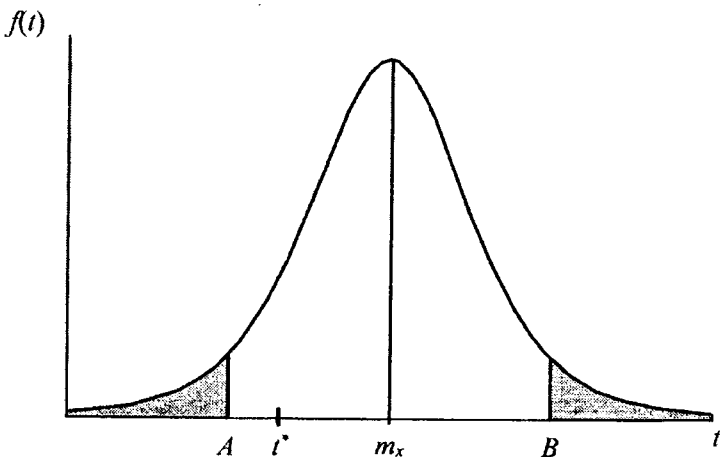
- Paylanma funksiyasının tip haqqında;
- Kəmiyyətin (yağıntılar, temperatur və s.) ərazi üzrə paylanmasının bircinsliyi haqqında;
- Kəmiyyətin zamana görə bircinsliyi haqqında ;
- Hadisənin təsadüfiliyi haqqında və s.

Məsələn, fərz edə bilərik ki, baş çoxluğun riyazi gözləməsi, m_x , 12-yə bərabərdir. Əgər, seçmənin hədlərinin sayı, n , kifayət qədər çoxdursa, onda seçmənin orta qiyməti 12-dən az fərqlənməlidir. Belə halda deyirlər ki, sıfırıncı hipotez, $H_0 : m_x = 12$, qəbul olundu. Baxılan misalda üç alternativ hipotez, H_1 , ola bilər: $H_1 : m_x \neq 12$ və ya $H_1 : m_x > 12$ və ya $H_1 : m_x < 12$.

Praktikada müəyyən bir hipotez (və ya fərziyyə) irəli sürürlər və sonra o yoxlanılır. Nəticədə o qəbul və ya takzib olunur. Hipotezləri yoxlamaq üçün meyar adlandırılan xüsuslu testlərdən istifadə olunur. Bu meyərlər müxtəlif statistikalarını paylanma qanunlarına əsaslanır. Cox zaman meyar və statistikani adı eyni olur. Fisher meyari və Fisher statistikası.

Bir daha yuxarıdakı misala qayıdaq. Fərz edək ki, $m_x = 12$. Eyni zamanda, bizim parametrləri \bar{x} və S_x olan müşahidə sıramız var. Əgər, bizim fərziyyə doğrudursa, onda $(\bar{x} - m_x)$ fərqi kifayət qədər kiçik olmalıdır. Bu fərqə təhlil olunan statistika kimi baxmaq olar. Lakin praktikada başqa statistikadan istifadə edilir: $t = (\bar{x} - m_x) / (S_x / \sqrt{n})$. Bu t statistikasından istifadə daha əlverişlidir, çünki, məlumdur ki, o, Student paylanmasına tabedir. Student meyari məhz t -statistikadan istifadəyə əsaslanır. Bu meyar bizim sıfırıncı hipotezi $H_0 : m_x = 12$, yoxlamaq üçün tətbiq edilə bilər. Bu məqsədlə verilən müşahidə sırası üçün Student statistikasının empirik qiyməti, t^* , hesablanır. Misal üçün əgər, $n = 36$, $\bar{x} = 11,0$ və $S_x = 5,00$ olarsa, onda $t^* = (\bar{x} - m_x) / (S_x / \sqrt{n}) = (11 - 12) / (5 / \sqrt{36}) = 1,2$.

Baxılan t kəmiyyəti təsadüfi kəmiyyətdir və eyni uzunluqlu müxtəlif seçmələr üçün onun qiyməti, t^* , fərqli olacaq. Baxılan t -statistikasının mümkün qiymətlər çoxluğu bütün ədəd oxudur. Hipotezi yoxlamaq üçün t -nin mümkün qiymətlər çoxluğu iki hissəyə bölündür: hipotezin qəbul olunduğu oblast və böhran oblastı (şəkil 5.3).



Şəkil 5.3. Stuident statistikası üçün hipotezin qəbul olunma oblastı $[A, B]$ və böhran oblastı $(-\infty, A) + (B, +\infty)$

Əgər, t^* -nin müşahidə sırasına görə hesablanmış qiyməti hipotezin qəbul olunduğu oblasta düşürse, onda H_0 təkzib olunmur, əksinə, böhran oblasta düşürse, H_0 təkzib olunur.

Hipotezin qəbul olunduğu qiymətlər oblastı etibarlılıq oblastı və ya etibarlılıq intervalı adlanır.

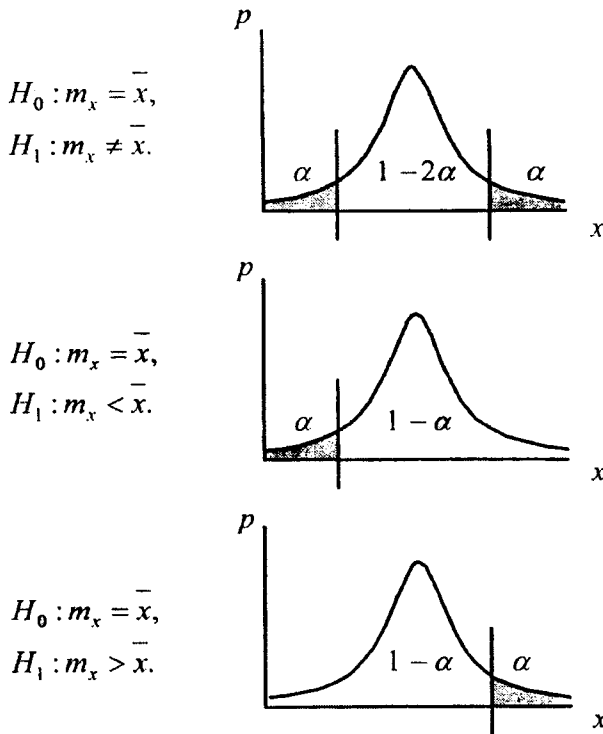
İxtiyari seçmə üçün hesablanmış t^* qiymətinin etibarlılıq oblastına düşmə ehtimalı həndəsi baxımdan şəkil 5.3-dəki ştrixlən-məmiş sahəyə bərabərdir. Bu ehtimal etibarlılıq ehtimalı, p_e , adlanır.

Müşahidə sırasına görə hesablanmış t^* qiymətinin böhran oblastına düşmə ehtimalı $\alpha = 1 - p_e$ təşkil edir. Bu ehtimal, α , əhəmiyyətlilik səviyyəsi adlanır. Beləliklə, əhəmiyyətlilik səviyyəsi, ehtimalın elə kiçik bir qiymətidir ki, o praktik olaraq qeyri-mümkün hadisəni səciyyələndirir. Başqa sözlə, o əhəmiyyətli olmayan fərqlərin ehtimalının sərhəddidir.

Tutaq ki, əhəmiyyətlilik səviyyəsi, α , 5% təşkil edir ($\alpha=5\%$) və t -statistikasından istifadə olunur. Onda, sıfırıncı hipotez qəbul

olunursa, müşahidə sırasına görə hesablanmış, t^* qiyməti, 100 sınaqdan maksimum 5-də bu statistikanın $\alpha=5\%-ə$ müvafiq böhran (nəzəri) qiymətindən, t_b , böyük ola bilər. Bir sınaqda bunun baş verməsi, artıq qeyd olunduğu kimi, praktik olaraq qeyri-mümkündür.

Əgər, böhran oblast iki hissədən ibarətdirsə, onda $2\alpha = 1 - p$ yazılır və burada 2α onu göstərir ki, əhəmiyyətlilik səviyyəsi ikitərəflidir. Qeyd olunduğu kimi, əhəmiyyətlilik səviyyəsi həndəsi baxımdan şəkil 5.3-də göstərilən ştrixlənmiş sahəyə bərabərdir. Birtərəfli və ikitərəfli əhəmiyyətlilik səviyyələri arasındaki fərq şəkil 5.4-də göstərilir.



Şəkil 5.4. Müxtəlif alternativ hipotezlər üçün əhəmiyyətlilik səviyyəsi və etibarlılıq ehtimalı

Statistik hipotezləri yoxlandıqda iki növ xətaya yol verilə bilər.
Birinci növ xəta ondan ibarətdir ki, əslində doğru olmasına baxmayaraq, sıfırıncı hipotez təkzib olunur. Əhəmiyyətlilik səviyyəsi na qədər kicik olarsa, birinci növ xətaya yol verilməsinin ehtimalı bir o qədər az olar.

İkinci növ xəta isə ondan ibarətdir ki, əslində doğru olmayan sıfırıncı hipotez qəbul olunur.

Bu xətalar qaçılmalıdır və bunlarla bağlı risk həmişə var. Hidrometeoroloji tədqiqatlarda daha çox 5% və 10%-i əhəmiyyətlilik səviyyəsi istifadə olunur.

Yuxarıda baxdığımız misal üçün $2\alpha = 10\%$ qəbul etsək, Styudent paylanmasıın cədvəlinə (Əlavə 5) görə $v = n - 1 = 36 - 1 = 35$ olduqda t -statistikanın nəzəri qiyməti $t = 1,69$ alınır. Onda, t -statistikanın etibarlılıq oblastı belədir: $[-1,69, +1,69]$.

Misalda baxılan seçmə üçün $t^* = -1,20$ və bu qiymət təyin olunmuş etibarlılıq oblastına düşür. Bu isə o deməkdir ki, sıfırıncı hipotez təkzib olunmur və böyük ehtimalla müşahidə sırasının riyazi gözləməsinin 12-yə bərabər olduğunu iddia etmək olar. Seçmənin orta qiyməti ($\bar{x} = 11,0$) ilə riyazi gözləmə ($m_x = 12$) arasındaki fərq seçmə ortanın təsadüfi tərəddüdləri ilə izah oluna bilər və bu fərq statistik baxımdan əhəmiyyətli deyildir.

Qeyd etmək lazımdır ki, statistik hipotezlər yoxlandıqda, "hipotez doğrudur" və ya "hipotez doğru deyil" kimi mütləq ifadələrdən istifadə təsviye olunmur. Əgər, təhlil olunan statistikanın qiyməti böhran oblasta düşmürsə, onda deyirlər ki, sıfırıncı hipotez baxılan əhəmiyyətlilik səviyyəsində təkzib olunmur. Əksinə, empirik qiymət böhran oblasta düşürsə, onda deyirlər ki, H_0 α əhəmiyyətlilik səviyyəsində təkzib olunur.

5.3. Hidrometeoroloji sıraların bircinsliyinin qiymətləndirilməsi

Hidrometeoroloji sıraların statistik strukturunu təsvir etmək üçün təsadüfi kəmiyyət modeli istifadə edildikdə hesab olunur ki, baxılan sıranın statistik xarakteristikaları (orta kəmiyyət, dispersiya və s.) zamana görə dəyişmir. Başqa sözlə, sıranın (seçmənin) bütün hədləri eyni baş çoxluğğa aiddir. Bu isə o deməkdir ki, baxılan xarakteristikanın əmələgəlmə şəraiti dəyişmir. Əgər, təbii kataklizmlər və antropogen təsirlər nəticəsində, məsələn, çay axımının formallaşma şəraiti dəyişərsə, onda sıranın statistik xarakteristikaları da dəyişər.

Əgər, sıranın ayrı-ayrı hissələrinin statistik xarakteristikaları fərqlənirlərsə, onda belə sira qeyri-bircins (qeyri-stasionar) hesab olunur. Nəzərə almaq lazımdır ki, axımın formallaşma şəraitinin dəyişməsi axımın bəzi xarakteristikalarına təsir göstərsə də, bəzilərinə təsir etməyə də bilər. Məsələn, çoxillik tənzimlənən su anbarının inşası maksimal axımın xarakteristikalarını dəyişdirir, lakin orta illik su sərfərinə isə praktik olaraq bu təsir çox zəif ola bilər.

Hidrometeoroloji məlumatların təhlilinin əvvəlki fəsillərdə baxılan statistik metodları yalnız bircins sıralara tətbiq oluna bilər. Buna görə istənilən statistik hesablamalar yerinə yetirilməzdən əvvəl ilkin müşahidə sıralarının bircinsliyi yoxlanmalıdır. Bu məqsədlə iki tip statistik meyarlardan istifadə olunur: parametrik və qeyri-parametrik meyarlar.

Parametrik meyarların statistikaları hesablandıqda paylanma parametrlərinin seçmə qiymətlərindən istifadə edilir və hesab olunur ki, müşahidə sırasının paylanma qanunu məlumdur (adətən, normal paylanma qanunu qəbul olunur).

Qeyri-parametrik meyarların statistikaları da qeyri-parametrikdir. Belə statistikaların paylanması müşahidə sırasının paylanma qanunundan asılı deyil. Bu səbəbdən, “qeyri-parametrik” termini ilə yanaşı “paylanmadan azad” termini də işlənir.

Parametrik meyarlar standart meyarlar da adlandırılır. Onlar

qeyri-parametrik meyarlarla müqayisədə daha effektiv hesab olunur. Lakin qeyri-parametrik meyarların tətbiqi daha sadədir.

Parametrik meyarlardan daha çox istifadə olunanları Student və Fişer, qeyri-parametriklərdən isə Uilkokson-Mann Whitney, Van Der Varden, Zigel-Tüki meyarlarıdır.

5.3.1. Styudent meyari

Tutaq ki, $x_1, x_2, x_3 \dots x_m$ və $y_1, y_2, y_3, \dots y_n$, hədlərinin sayı müvafiq olaraq m və n , həmçinin normal paylanma qanununa tabe olan seçmələrdir (sıralardır). Onların m_x, σ_x və m_y, σ_y parametrləri məlum deyil, lakin $\sigma_x = \sigma_y$, yəni hər iki sıranın orta kvadratik meyletməsi, σ , eynidir.

Əgər, hər iki seçmə eyni bir bəzək, coxluğa aiddirsə, onda onların orta qiymətlərinin fərqi, $\bar{x} - \bar{y}$, sıfıra yaxın, yəni statistik baxımdan əhəmiyyətsiz olmalıdır. Bu fərq əsasında t-statistikası hesablanıa bilər:

$$t = \frac{\bar{x} - \bar{y}}{\sigma_{\bar{x} - \bar{y}}}, \quad (5.10)$$

burada $\sigma_{\bar{x} - \bar{y}} = (\bar{x} - \bar{y})$ fərqiñin orta kvadratik meyletməsidir.

Baxılan t -statistika Styudent paylanmasına tabe olur ($v = m + n - 2$ olduqda).

Riyazi statistikada sübut olunmuşdur ki,

$$\sigma_{\bar{x} - \bar{y}} = S \sqrt{(m+n)/mn}, \quad (5.11)$$

burada $S = \sigma_{\bar{x} - \bar{y}}$ -in empirik qiymətidir.

S parametri S_x və S_y seçmə qiymətlərindən asılıdır:

$$S = \sqrt{\frac{(m-1)S_x^2 + (n-1)S_y^2}{m+n-2}}. \quad (5.12)$$

Baxılan t -statistikakanın yekun ifadəsi aşağıdakı kimidir:

$$t = \frac{\bar{x} - \bar{y}}{S} \sqrt{\frac{mn}{m+n}}. \quad (5.13)$$

Hidrometeoroloji tədqiqatlarda bu statistikadə, müşahidə sıralarının bircinsliyinin yoxlanmasında istifadə olunur. Sıra iki hissəyə bölünür və hər bir hissə üçün hesablanmış orta qiymətlər müqayisə edilir. Əgər, müşahidə sırasına görə hesablanmış t^* -nin qiyməti onun nəzəri qiymətindən ($\text{Əlavə } 5$) kicik alınsa, onda sıranın orta qiymətə görə bircinsliyi haqqında fərziyyə qəbul olunur. Adətən, əhəmiyyətlilik səviyyəsi $2\alpha = 5\%$ və ya $2\alpha = 10\%$ qəbul olunur.

Styudent meyari standart (parametrik) meyardır və onun tətbiqi zamanı aşağıdakılardan nəzərə alınmalıdır:

1. Bu meyar normal paylanan təsadüfi kəmiyyatlar üçün işlənmişdir, lakin hidrometeoroloji kəmiyyətlərin eksəriyyəti müsbat asimmetriyalıdır. Bu, bircinslik qiymətləndirildikdə xəta riskini artırır.

2. Hesab olunur ki, təhlil olunan sıraların dispersiyaları eynidir. Buna görə də Styudent meyari istifadə olunmazdan əvvəl sıranın dispersiyaya görə bircinsliyi yoxlanılmalıdır.

3. Ola bilər ki, sıranın bircinsliyi haqqında hipotezin (fərziyyənin) təkzib olunma səbəbi sıranın çoxalığıdır. Məsələn, sıranın bir hissəsi azsulu illəri, digəri isə çoxsulu illəri əhatə edə bilər.

Misal 5.5. Uzunluğu 43 il olan müşahidə sırasının orta qiymətə görə bircinsliyini əhəmiyyətlilik səviyyəsi $2\alpha = 10\%$ olduqda yoxlayın.

Həlli: 1. Sıra təxminini olaraq iki bərabər hissəyə bölünür: $m = 22, n = 21$.

2. Sıranın birinci yarısı üçün seçmə orta və orta kvadratik meyletmə təyin edilir:

$$\bar{x} = 20,4 ; S_x = 9,50.$$

3. Sıranın ikinci yarısı üçün seçmə orta və orta kvadratik meyletmə təyin edilir:

$$\bar{y} = 32,7 ; S_y = 11,4.$$

4. Aşağıdakı düstura əsasən ümumi dispersiya və orta kvadratik meyletmə hesablanır:

$$S = \sqrt{\frac{(m-1)S_x^2 + (n-1)S_y^2}{m+n-2}}.$$

$$S^2 = \frac{[(22-1)(9,50)^2 + (21-1)(11,4)^2]}{22+21-2} =$$

$$= 109,6; S = \sqrt{109,6} = 10,5.$$

5. Onda, t statistikanın seçmə qiyməti aşağıdakı kimi hesablanır:

$$t = \frac{\bar{x} - \bar{y}}{S} \sqrt{\frac{mn}{m+n}}.$$

$$t^* = [(20,4 - 32,7)/10,5] \sqrt{(22 \cdot 21)/(22 + 21)} = -3,84.$$

6. Əlavə 5-dən əhəmiyyətlilik səviyyəsi $2\alpha = 10\%$ və sərbəstlik dərəcəsi $v = 43 - 2 = 41$ olduqda t -nin nəzəri qiyməti tapılır: $t_{1-\alpha} = 1,68$

Beləliklə, t^* üçün etibarlılıq intervalı $[-1,68; +1,68]$ arasındadır. Deməli, t^* -nin qiyməti etibarlılıq intervalının hədudlarından kənara çıxır, yəni, böhran oblasta düşür. Bu səbəbdən $2\alpha = 10\%$ əhəmiyyətlilik səviyyəsində sıranın orta qiymətə görə bircinsliyi haqda fərziyyə təkzib olunur.

5.3.2. Fişer meyarı

Tutaq ki, $x_1, x_2, x_3, \dots, x_m$ və $y_1, y_2, y_3, \dots, y_n$, hədlərinin sayı müvafiq olaraq m və n , parametrləri m_x, σ_x və m_y, σ_y , həmçinin normal paylanması qanununa təbe olan sıralardır. Əgər, $\sigma_x = \sigma_y = \sigma$ olarsa, onda bu sıraların seçmə dispersiyalarının

nisbəti, S_x^2 / S_y^2 Fişer paylanması tabedir ($v_1=m-1$ və $v_2=n-1$ olduqda). Əgər, fərz etsək ki, sıraların seçmə dispersiyaları bərabərdir ($H_0 : S_x^2 = S_y^2$), onda 2α əhəmiyyətlilik səviyyəsində S_x^2 / S_y^2 nisbəti üçün etibarlılıq oblastı aşağıdakı kimi yazıla bilər:

$$F_\alpha(v_1, v_2) \leq (S_x^2 / S_y^2) < F_{1-\alpha}(v_1, v_2) \quad (5.14)$$

və ya

$$1 / F_{1-\alpha} \leq (S_x^2 / S_y^2) < F_{1-\alpha}. \quad (5.15)$$

Fişer paylanması qeyri-simmetrikdir. Bunu nəzərə alaraq, yəni, F -statistikinanın qiymətlər cədvəlləri çox böyük olmasın deyə, onlar yalnız $F > 1$ qiymətləri üçün tərtib olunur. S_x^2 və S_y^2 seçmə dispersiyaları müqayisə olunduqda, həmişə surətdə dispersiyanın böyük qiyməti götürülür. Əhəmiyyətlilik səviyyəsi 2α olduqda S_x^2 / S_y^2 nisbəti üçün etibarlılıq oblastı aşağıdakı ifadəyə görə təyin olunur:

$$1 \leq (S_x^2 / S_y^2) < F_{1-\alpha}. \quad (5.16)$$

Fişer meyari sıraların dispersiyaya görə bircinsliyi yoxlanıldıqda istifadə olunur. Styudent meyarında olduğu kimi, sira iki hissəyə bölünür, sonra hər bir hissə üçün dispersiya təyin olunur və nəhayət, F -statistikinanın empirik qiyməti hesablanır:

$F^* = S_1^2 / S_2^2$, burada $S_1^2 > S_2^2$. Bu F^* qiyməti F -statistikinanın cədvəl (nəzəri) qiyməti, $F_{1-\alpha}$, (Əlavə 6) ilə müqayisə olunur. Əgər, $F^* < F_{1-\alpha}$ olarsa, onda dispersiyaların fərqi statistik baxımdan əhəmiyyətsizdir və sıranın dispersiyaya görə bircinsliyi haqqında hipotez təkzib olunmur.

Misal 5.6. Uzunluğu 43 il olan müşahidə sırasının dispersiyaya görə bircinsliyini $2\alpha=10\%$ əhəmiyyətlilik səviyyəsində yoxlayın.

Həlli: 1. Sıra təxminini olaraq iki bərabər hissəyə bölünür: $m = 22, n = 21$.

2. Sıranın birinci hissəsi üçün seçmə dispersiya təpilir: $S_m^2 = 370$.

3. Sıranın ikinci hissəsi üçün seçmə dispersiya təpilir: $S_n^2 = 442$.

4. $F^* = S_n^2/S_m^2$ düsturuna əsasən F statistikanın empirik qiyməti hesablanır:

$S_n > S_m$ olduğundan, $F^* = 442/370 = 1,19$.

5. Əlavə 6-dan $2\alpha = 10\%$ üçün $v_1 = n - 1 = 20$ və $v_2 = m - 1 = 21$ olduqda Fişer meyarının nəzəri qiyməti təyin edilir: $F_{1-\alpha} = F_{95} = 2,09$.

$F^* < F_{1-\alpha}$ olduğundan, sıranın dispersiyaya görə bircinsliyi haqda fərziyyə təkzib olunmur.

5.3.3. Uilkokson-Mann-Uitni meyari

Uilkoksonun 1955-ci ildə təklif etdiyi bu meyari sonradan Mann və Uitni təkmilləşdirmişlər. Bu meyar iki məqsəd üçün istifadə oluna bilər:

1. İki asılı olmayan seçmənin eyni paylanması funksiyasına malik çoxluqlara aid olub-olmadığını yoxlamaq üçün;

2. Müşahidə sırasının bircinsliyini qiymətləndirmək üçün.

Uilkokson-Mann-Uitni meyari qeyri-parametrik meyarlar qrupuna aiddir və bu, o deməkdir ki, onu istifadə etdikdə paylanması funksiyasının parametrlərinin hesablanması tələb olunmur. Bu meyarın daha bir üstünlüyü ondan ibarətdir ki, təhlil olunan sıraların normal paylanması tabe olması şərti qoyulmur.

Tutaq ki, iki müşahidə sırası verilib və ya bir sıra iki hissəyə bölünüb. Bu sıraların uzunluqları müvafiq olaraq m və n ildir ($m \leq n$). Müəyyən olunmuşdur ki, əgər $m \geq 8$ və $n \geq 8$ olarsa, U -statistika standart normal paylanması ilə aproksimasiya oluna bilər. Onda 2α əhəmiyyətlilik səviyyəsində U -statistikianın etibarlılıq oblastı (intervalı) aşağıdakı kimi olar:

$$m_u - t_{1-\alpha} \sigma_u \leq U \leq m_u + t_{1-\alpha} \sigma_u, \quad (5.17)$$

burada $t_{1-\alpha}$ -standart normal payланmanın kvantili (cədvəl 3.3); m_u və σ_u -U-statistikənin müvafiq olaraq riyazi gözləməsi və orta kvadratik meyletməsidir:

$$m_u = (mn)/2, \quad (5.18)$$

$$\sigma_u = \sqrt{mn(m+n+1)/12}. \quad (5.19)$$

Qeyd etmək lazımdır ki, Uilkokson-Mann Uitni meyarının həssaslığı baxılan sıraların dispersiyaları arasındakı fərqə az, orta qiymətlərin fərqiñə isə kifayət qədər yüksəkdir. Buna görə də, bəzən bu meyar sıranın orta qiymətə görə bircinsliyini yoxlamaq üçün də istifadə olunur. Belə halda, səra iki hissəyə bölünür.

Misal 5.7. Uzunluğu N=17 il olan maksimal su sərfləri sırasının (cədvəl 5.2, sütun 3) Uilkokson-Mann-Uitni meyarından istifadə etməklə $2\alpha=10\%$ əhəmiyyətlilik səviyyəsində orta kəmiyyətə görə bircinsliyini yoxlayın.

Cədvəl 5.2

Maksimal su sərfləri sırası üçün ranq cəmlərinin hesablanması
(Uilkokson-Mann-Uitni meyarına görə)

| Artan qaydada düzülən sıra | Ranq | İlkin sıra | Ranq | Artan qaydada düzülən sıra | Ranq | İlkin sıra | Ranq |
|----------------------------|------|------------|------|----------------------------|------|------------|------|
| 1 | 2 | 3 | 4 | 1 | 2 | 3 | 4 |
| 11.5 | 1 | 53.4 | 6 | 67.4 | 9 | 38.4 | 4 |
| 27.0 | 2 | 99.2 | 14 | 69.0 | 10 | 67.4 | 9 |
| 30.5 | 3 | 27.0 | 2 | 78.0 | 11 | 162 | 17 |
| 38.4 | 4 | 11.5 | 1 | 91.6 | 12 | 64.0 | 8 |
| 49.6 | 5 | 95.6 | 13 | 95.6 | 13 | 30.5 | 3 |
| 53.4 | 6 | 49.6 | 5 | 99.2 | 14 | 122 | 15 |
| 60.0 | 7 | 69.0 | 10 | 122 | 15 | 137 | 16 |
| 64.0 | 8 | 78.0 | 11 | 137 | 16 | 91.6 | 12 |
| | | | | 162 | 17 | 60.0 | 7 |
| | | Cəm | 62 | | | Cəm | 91 |

Həlli: 1. Sıra artan qaydada düzülür və yeni sıranın hər bir həddinin qarşısında müvafiq sıra nömrəsi-ranq yazılır (cədvəl 5.2, sütunlar 1,2).

2. İlkin sıranın hər bir həddinin qarşısında, onun artan sıradakı ranqı yazılır (cədvəl 5.2, sütun 4).

3. İlkin sıra iki hissəyə bölünür $m=8$ və $n=9$ və hər bir hissə üçün ranq cəmi ω_1 və ω_2 tapılır: $\omega_1=62$; $\omega_2=91$. Bunların cəmi $\omega_1 + \omega_2 = 62 + 91 = 153$ edir.

4. Hesablamaların düzgünlüyü aşağıdakı düstura görə yoxlanılır:

$$\omega_1 + \omega_2 = N(N+1) / 2 = 17(17+1) / 2 = 153.$$

5. Müvafiq düsturlara görə U_m və U_n hesablanır:

$$U_m = m \cdot n + m(m+1)/2 - 1 = 8 \cdot 9 + 8 \cdot (8+1)/2 - 62 = 46;$$

$$U_n = m \cdot n + n(n+1)/2 - 2 = 8 \cdot 9 + 9 \cdot (9+1)/2 - 91 = 26.$$

6. Hesablamaların düzgünlüyü aşağıdakı düstura görə yoxlanılır: $: U_m + U_n = mn$; $U_m + U_n = 46 + 26 = 72$; $mn = 72$.

7. $U_n < U_m$ olduğundan, U^* kimi $U^* = U_n = 26$ qəbul edilir.

8. Müvafiq düsturlara görə riyazi gözləmə (m_U) və orta kvadratik meyletmə (σ_U) hesablanır: $m_u = mn/2 = 72/2 = 36$;

$$\sigma_u = \sqrt{mn(m+n+1)/12} = \sqrt{8 \cdot 9(8+9+1)/12} = 10,4.$$

9. $m \geq 8$ və $n \geq 8$ şərti ödəniliyindən, cədvəl 3.3-dən 2 $\alpha=10\%$ əhəmiyyətlilik səviyyəsində standart normal paylanmasıın ordinatı təyin edilir: $t_{1-\alpha} = t_{95} = 1,64$.

10. Aşağıdakı düsturu nəzərə almaqla U statistikası üçün etibarlılıq intervalı təyin edilir:

$$m_u - t_{1-\alpha} \cdot \sigma_u \leq U < m_u + t_{1-\alpha} \cdot \sigma_u$$

$(36 - 1,64 \cdot 10,4) \leq U < (36 + 1,64 \cdot 10,4)$; tama qədər yuvarlaqlaşdırmaqla $19 \leq U < 53$ alınır.

11. $U^*=26$ olduğundan, yəni, U statistikanın empirik qiyməti etibarlılıq intervalına düşdüyündən, sıranın orta kəmiyyətə görə bircinsliyi haqqında fərziyyə $2\alpha = 10\%$ əhəmiyyətlilik səviyyəsində təkzib olunmur.

5.3.4. Zigel-Tüki meyari

Əvvəlki paraqrafda qeyd olunduğu kimi, Uilkokson-Mann-Uitni meyarı sıraların dispersiyalarının (həmçinin, digər səpələnmə xarakteristikalarının-orta kvadratik meyletmə, variasiya əmsali) fərqiñə bir o qədər də həssas deyil. Bunu nəzərə alaraq Zigel və Tüki başqa ranq meyarı təklif etmişlər. Bu meyar da, iki asılı olmayan sıranın eyni bir baş çoxluğğa aid olub-olmadığını yoxlamağa imkan verir. Lakin o, məhz sıraların dispersiyalarının fərqiñə daha həssasdır.

Zigel-Tüki meyarı qeyri-parametrikdir, yəni onun statistikası, Z , ilkin müşahidə sırasının paylanması funksiyasının tipindən asılı deyil.

Tutaq ki, iki müşahidə sırası verilib və onların uzunluqları müvafiq olaraq m və n ildir. Verilmiş iki sıra bir sıradə, $N = m + n$, birləşdirilir və alınmış sıranın hədləri artan qaydada düzülür. Sonra sıranın hədlərinə ranq verilir. Ranqların verilməsi Uilkokson-Mann-Uitni meyarındaki prosedurdan fərqlidir: 1-ci ranq-sıranın ən kiçik həddinə, 2-ci və 3-cü ranqlar-sıranın ən böyük və ona ən yaxın həddə; 4-cü və 5-ci ranqlar-növbəti ən kiçik iki həddə; 6-cı və 7-ci ranqlar-növbəti ən böyük iki həddə verilir və s.

Əgər, birləşdirilmiş ümumi sıra hədlərinin sayı cütdürsə, onda orta mövqeli hədd ən yüksək ranq alır. Əgər, hədlərin sayı tekdirsə, onda orta mövqeli həddə heç bir ranq verilmir və müvafiq sıranın uzunluğundan bir çıxılır.

Əgər, təhlil edilən sıralar $m > 9$ və $n > 9$ və ya $m > 2$ və $n > 20$ şərtlərini ödəyirlərsə, onda test-statistika kimi aşağıdakı kəmiyyət istifadə oluna bilər:

$$Z^* = \frac{2R_1 - m(m+n+1)+1}{\sqrt{m(m+n+1)(n/3)}}, \quad (5.20)$$

burada R_1 -qısa sıra üçün ranqlar cəmi; m və n -müvafiq olaraq, qısa və uzun sıra hədlərinin sayıdır.

Əgər, $2R_1 > m(m+n+1)$ olarsa, onda düstur (5.20)-nın sürətində $+1$ əvəzinə -1 yazılır. Yuxarıda göstərilən şərtlər ödəndikdə, Z -statistika standart normal paylanması ilə aproksimasiya oluna bilər.

Zigel-Tüki meyari sıranın bircinsliyini səpələnmə xarakteristikalarına görə yoxlamaq üçün də tətbiq oluna bilər. Bu halda İlkin hidrometeoroloji müşahidə sırası m və n uzunluqlu iki hissəyə bölünür.

İlkin müşahidə sırasının paylanması normal paylanmadan əhəmiyyətli dərəcədə fərqlənərsə, onda Fişer meyarının əvəzinə bu meyarden istifadə tövsiyə olunur.

Misal 5.8. Uzunluğu $N=17$ il olan su sərfləri sırasının (cədvəl 5.3, sütun 3) Zigel-Tüki meyarının istifadəsi ilə ($2\alpha=10\%$ əhəmiyyətlilik səviyyəsində) dispersiyaya görə bircinsliyini yoxlayın.

Həlli: 1.Sıra artan qaydada düzülür və yeni sıranın hər bir həddinin qarşısında Zigel-Tüki meyarına uyğun ranq yazılır (cədvəl 5.3, sütun 1,2).

2. İlkin sıranın hər bir həddinin qarşısında onun artan sıradakı ranqi yazılır (cədvəl 5.3, sütun 4).

Cədvəl 5.3

Maksimal su sərfləri sırası üçün ranq cəmlərin hesablanması
(Zigel-Tüki meyarına görə)

| Artan qaydada düzülən sıra | Ranq | İlkin sıra | Ranq | Artan qaydada düzülən sıra | Ranq | İlkin sıra | Ranq |
|----------------------------|------|------------|------|----------------------------|------|------------|------|
| 1 | 2 | 3 | 4 | 1 | 2 | 3 | 4 |
| 11.5 | 1 | 53.4 | 12 | 67.4 | - | 38.4 | 8 |
| 27.0 | 4 | 99.2 | 7 | 69.0 | 15 | 67.4 | - |
| 30.5 | 5 | 27.0 | 4 | 78.0 | 14 | 162 | 2 |
| 38.4 | 8 | 11.5 | 1 | 91.6 | 11 | 64.0 | 16 |
| 49.6 | 9 | 95.6 | 10 | 95.6 | 10 | 30.5 | 5 |
| 53.4 | 12 | 49.6 | 9 | 99.2 | 7 | 122 | 6 |
| 60.0 | 13 | 69.0 | 15 | 122 | 6 | 137 | 3 |
| 64.0 | 16 | 78.0 | 14 | 137 | 3 | 91.6 | 11 |
| | | | | 162 | 2 | 60.0 | 13 |
| Cəm | | | 72 | Cəm | | | 64 |

3. İlk sıra iki hissəyə bölünür. Birinci hissənin uzunluğu $m=8$ -dir. İkinci hissənin uzunluğu da $n=9-1=8$ -dir, çünkü, ümumi sıranın hədərinin sayı təkdir ($N=17$). Bu səbəbdən 67,4 qiyməti (siranın orta, 9-cu həddi) ümumi sıradan çıxarılır və ranq almır.

Qeyd: biz burada $m > 9$ və $n > 9$ şərtindən bir az yayındıq.

4. Sıranın hər bir hissəsi üçün ranqların cəmi tapılır: $R_1=72$ və $R_2=64$.

5. Aşağıdakı düstura görə ranqların hesablanmasıın düzgünlüyü yoxlanılır:

$$R_1 + R_2 = (m+n)(m+n+1)/2$$

$$R_1 + R_2 = 72 + 64 = 136; (m+n)(m+n+1)/2 = (8+8)(8+8+1)/2 = 136.$$

6. Aşağıdakı düstura görə Z^* statistikası hesablanır:

$$Z^* = \frac{2R_1 - m(m+n+1) + 1}{\sqrt{m(m+n+1)(n/3)}} = \frac{2 \cdot 72 - 8(8+8+1) + 1}{\sqrt{8(8+8+1)(8/3)}} = \frac{9,0}{19,0} = 0,47.$$

7. Cədvəl 3.3-ə əsasən $2\alpha = 10\%$ əhəmiyyətlilik səviyyəsində standart normal paylanmasıın ordinatı tapılır: $t_{1-\alpha} = t_{95} = 1,64$ və sonra Z üçün etibarlılıq intervalı təyin edilir: $-1,64 \leq Z < +1,64$.

8. $Z^*=0,47$ olduğundan, yəni, Z statistikanın empirik qiyməti etibarlılıq intervalına düşdüyündən, sıranın dispersiyaya görə bircinsliyi haqqında fərziyyə $2\alpha = 10\%$ əhəmiyyətlilik səviyyəsində təkzib olunmur.

5.4. Sıraların təsadüfiliyinin qiymətləndirilməsi

Hidrometeoroloji məlumatların işlənməsində istifadə olunan statistik metodlar təsadüfi kəmiyyətlər üçün işlənmişdir. Hidrometeoroloji xarakteristikaların çoxillik tərəddüdlərini də təsvir etmək üçün başlıca olaraq təsadüfi kəmiyyət modeli tətbiq olunur. Buna görə müşahidə sıralarının təsadüfiliyinin yoxlanması məlumatların təhlilinin ən vacib mərhələlərindən biridir.

Sıraların təsadüfiliyini yoxlamaq üçün müxtəlif statistik meyarlar işlənmişdir. Bu meyarlar tətbiq edildikdə empirik müşahidə sırası üçün konkret statistika hesablanır və alınan qiymət bu statistikanın tesadüfi kəmiyyətlər üçün hesablanmış nəzəri qiymətlə müqayisə olunur. Bu müqayisə nəticəsində sıramın tesadüfiliyi haqqında sıfırıncı hipotez ya qəbul edilir, ya da ki, təkzib olunur.

5.4.1. Seriyalar meyarları

Praktikada daha tez-tez seriyalar meyarlarından istifadə edilir. Seriya dedikdə sıranın orta qiymətindən (və ya medianadən) böyük və ya kiçik qiymətlərin ardıcılılığı başa düşülür. Tutaq ki, illik yağıntı sırasında 4 il ardıcıl olaraq yağıntıların qiyməti sıranın orta qiymətindən böyük olmuşdur. Bu, 4 illik seriyadır. Ola bilər ki, 6 il ardıcıl olaraq yağıntılar orta qiymətdən kiçik olmuşdur. Bu isə 6-illik seriyadır. Beləliklə, baxılan sıra müxtəlif uzunluqlu rütubətli və quraq seriyaların ardıcılığıdır.

Seriylar meyarlarının sayı ikidir: seriyaların ümumi sayı meyari və seriyaların maksimal uzunluğu meyari.

Seriyların ümumi sayı meyari. Bu meyarda R statistikadan istifadə olunur:

$$R = r_a + r_b, \quad (5.21)$$

burada r_a və r_b -müvafiq olaraq, a və b elementlərindən ibarət seriyaların sayıdır. Başqa sözlə, r_a orta qiymətdən böyük hədlərin, r_b isə orta qiymətdən kiçik hədlərin əmələ gətirdikləri seriyaların sayıdır.

Əgər, sıranın hər hansı bir həddinin qiyməti orta qiymətə bərabər olarsa, onda o, şərti olaraq a və ya b elementi kimi qəbul edilir.

Təsadüfi kəmiyyətlər çoxluğu üçün R statistika normal paylanır və onun parametrləri aşağıdakı kimi hesablanır:

$$m_R = \frac{n+1}{2}; \sigma_R = \frac{\sqrt{n-1}}{2}, \quad (5.22)$$

burada n -müşahidə sırasının uzunluğuudur.

R statistikanın etibarlılıq intervalı aşağıdakı kimi yazılır:

$$m_R - t_{1-\alpha} \sigma_R < R \leq m_R + t_{1-\alpha} \sigma_R, \quad (5.23)$$

burada $t_{1-\alpha}$ -standart normal paylanmanın kvantilidir.

Əgər, müşahidə sırasına görə hesablanmış statistikanın qiyməti, R^* , bu intervala düşürsə, onda sıranın təsadüfiliyi haqqında hipotez təkzib olunmur.

Misal 5.9. 1946-1984-cü illəri əhatə edən dövr üçün ($n=39$ il) maksimal su sərfləri sırasının təsadüfiliyi haqda fərziyyəni seriyaların ümumi sayı meyarının köməyi ilə yoxlayın ($2\alpha = 5\%$ əhəmiyyətlilik səviyyəsində).

Həlli: 1. Sıranın orta qiyməti hesablanır: $\bar{Q}_{mak} = 57,3 \text{ m}^3/\text{s}$. Qiyməti $57,3 \text{ m}^3/\text{s}$ -dən böyük olan su sərflərinə a , kiçik olidlara isə b indeksi verilir (cədvəl 5.4).

Cədvəl 5.4

1946-1984-cü illəri əhatə edən dövrün maksimal su sərfləri sırası üçün seriyaların ümumi sayının hesablanması

| İl | $Q, \text{m}^3/\text{s}$ | İndeks | İllərin sayı, i | İl | $Q, \text{m}^3/\text{s}$ | İndeks | İllərin sayı, i |
|------|--------------------------|--------|-------------------|------|--------------------------|--------|-------------------|
| 1946 | 66.0 | a | 1 | 1966 | 79.0 | a | 1 |
| 1947 | 46.1 | b | 1 | 1967 | 36.4 | b | 1 |
| 1948 | 61.1 | a | 1 | 1968 | 64.0 | a | 2 |
| 1949 | 40.1 | b | 2 | 1969 | 54.1 | a | |
| 1950 | 26.5 | b | | 1970 | 33.0 | b | 1 |
| 1951 | 72.7 | a | 1 | 1971 | 50.4 | a | 1 |
| 1952 | 35.5 | b | 3 | 1972 | 29.4 | b | 4 |
| 1953 | 34.1 | b | | 1973 | 19.4 | b | |
| 1954 | 18.0 | b | | 1974 | 26.6 | b | |
| 1955 | 79.6 | a | 3 | 1975 | 23.6 | b | 5 |
| 1956 | 68.3 | a | | 1976 | 72.7 | a | |
| 1957 | 68.7 | a | | 1977 | 39.9 | b | |
| 1958 | 45.1 | b | 1 | 1978 | 32.5 | b | 3 |
| 1959 | 77.4 | a | 2 | 1979 | 29.4 | b | |
| 1960 | 81.5 | a | | 1980 | 32.5 | b | |
| 1961 | 29.6 | b | 1 | 1981 | 35.7 | b | |
| 1962 | 70.2 | a | 1 | 1982 | 58.2 | a | 3 |
| 1963 | 40.8 | b | 1 | 1983 | 67.5 | a | |
| 1964 | 84.6 | a | 1 | 1984 | 67.4 | a | |
| 1965 | 49.4 | b | 1 | | | | |

2. Cədvəl 5.4-ün məlumatlarına əsasən a və b elementlərindən ibarət seriyaların sayı hesablanır (onların uzunluqlarından (i) asılı olmayıaraq). Bu halda $r_a=12$, $r_b=11$. Beləliklə, verilmiş sırada seriyaların ümumi sayı 23-ə bərabərdir ($R=23$).

3. Müvafiq düsturlara görə: $m_R = \frac{n+1}{2} = \frac{39+1}{2} = 20$ və $\sigma_R = \frac{\sqrt{n-1}}{2} = \frac{\sqrt{39-1}}{2} = 3,08$. Cədvəl 3.3-dən $2\alpha=5\%$ əhəmiyyətlilik səviyyəsinə uyğun olan standart normal paylanması kuantili təyin edilir: $t'_{1-\alpha} = t'_{97,5} = 1,96$.

4. Kvantilin bu qiyməti $m_R - t_{1-\alpha} \cdot \sigma_R \leq R < m_R + t_{1-\alpha} \cdot \sigma_R$ bərabərsizliyində yerinə yazılır və R üçün etibarlılıq intervalı hesablanır: $14 \leq R < 26$.

5. Müşahidə sırası üçün alınmış seriyaların ümumi sayı ($R^*=23$) etibarlılıq intervalına düşdüyündən, bu nəticəyə gəlmək olar ki, sıranın təsadüfiliyi haqda fərziyyə təkzib olunmur.

Seriyanın maksimal uzunluğu meyari. Bu meyarda statistika kimi a və ya b (fərqi yoxdur) elementlərindən ibarət olan seriyaların maksimal uzunluğundan istifadə olunur. Nəzəri olaraq sübut edilmişdir ki, təsadüfi kəmiyyətlər çoxluğu üçün K statistikanın qiyməti aşağıdakı düsturla hesablanı bilər:

$$K_\alpha = \frac{\lg \left[-\frac{n}{\ln(1-\alpha)} \right]}{\lg 2} - 1 \quad (5.24)$$

Əgər, $K^* < K_\alpha$ şərti ödənilirsə, onda baxılan sıranın təsadüfiliyi haqqında hipotez təkzib olunmur.

Misal 5.10. Misal 5.9-un məlumatlarına əsasən *seriyaların maksimal uzunluğu meyarına* görə hidroloji sıranın ehtimal strukturunun təsadüfi kəmiyyət modelinə uyğunluğu haqda fərziyyəni yoxlayın ($2\alpha=5\%$ əhəmiyyətlilik səviyyəsində).

Həlli: 1. Cədvəl 5.4-dən göründüyü kimi, b elementlərindən ibarət və 1977-1981-ci illəri əhatə edən seriya maksimal uzunluğası

malikdir, yəni $K=5$.

2. K_α hesablanır:

$$K_\alpha = \frac{\lg \left[-\frac{n}{\ln(1-\alpha)} \right]}{\lg 2} - 1 = 8,6.$$

3. $K^* < K_\alpha$ olduğundan, verilmiş əhəmiyyətlilik səviyyəsində sıranın təsadüfiliyi haqda fərziyyə təkzib olunmur.

5.4.2. Artma və azalmaların sayı meyari

Tutaq ki, $x_1, x_2, x_3, \dots, x_n$ müşahidə sırası verilmişdir və bu sıranın hədləri təsadüfi kəmiyyətlərdir. Əgər, $x_{i-1} < x_i$ olarsa, onda x_{i-1} -dən x_i -yə keçidi artma adlandırıraq və onun qiymətini "+" işarəsi ilə qeyd edək. Əgər, $x_{i-1} > x_i$ olarsa, onda x_{i-1} -dən x_i -yə keçidi azalma adlandırıraq və onun qiymətini "-" işarəsi ilə qeyd edək.

Təsadüfi kəmiyyətlər çoxluğu üçün artma (və ya azalmaların) sayı asimptotik normal paylanır və parametrləri aşağıdakı düsturlara görə təyin olunur:

$$m_+ = m_- = n/2; \quad D_+ = D_- = (n+1)/12. \quad (5.25)$$

Bu düsturlardan görünür ki, artma, k_+ , və azalmaların sayının, k_- , riyazi gözləmə, m , və dispersiyaları, D , bərabərdir. Buna görə də, artma və azalmaların sayı, k , üçün etibarlılıq intervalı belə yazılır:

$$m - t_{1-\alpha} \sqrt{D} \leq k < m + t_{1-\alpha} \sqrt{D}, \quad (5.26)$$

burada $t_{1-\alpha}$ -standart normal paylanmanın kvantilidir.

Əgər, k_* və k_-^* -statistikaların müşahidə sırasına görə hesablanmış qiymətləri etibarlılıq intervalına düşürse, onda sıranın təsadüfiliyi haqqında hipotez təkzib olunmur.

Misal 5.11. 1946-1984-cü illəri əhatə edən dövr üçün ($n=39$ il) maksimal su sərfələri sırasının artma və azalma seriyalarının sayı

meyarına görə təsadüfiliyi haqda fərziyyəni yoxlayın ($2\alpha=5\%$ əhəmiyyətlilik səviyyəsində).

Həlli: 1. Cədvəl 5.5-də müşahidə sırası verilmişdir və sütun 3-də “+” və “-” indeksləri müvafiq olaraq artma və azalma ilə işarə olunmuşdur.

Cədvəl 5.5

Maksimal su sərfləri sırasında artma “+”, azalma “-” və ekstremumların “e” sayının hesablanması (1946-1984-cü illər)

| İl | $Q, \text{m}^3/\text{s}$ | +/- | e | İl | $Q, \text{m}^3/\text{s}$ | +/- | e |
|------|--------------------------|-----|-----|------|--------------------------|-----|-----|
| (1) | (2) | (3) | (4) | (1) | (2) | (3) | (4) |
| 1946 | 66.0 | | | 1966 | 79.0 | + | e |
| 1947 | 46.1 | - | e | 1967 | 36.4 | - | e |
| 1948 | 61.1 | + | e | 1968 | 64.0 | + | e |
| 1949 | 40.1 | - | | 1969 | 54.1 | - | |
| 1950 | 26.5 | - | e | 1970 | 33.0 | - | e |
| 1951 | 72.7 | + | e | 1971 | 50.4 | + | e |
| 1952 | 35.5 | - | | 1972 | 29.4 | - | |
| 1953 | 34.1 | - | | 1973 | 19.4 | - | e |
| 1954 | 18.0 | - | e | 1974 | 26.6 | + | e |
| 1955 | 79.6 | + | e | 1975 | 23.6 | - | e |
| 1956 | 68.3 | - | e | 1976 | 72.7 | + | e |
| 1957 | 68.7 | + | e | 1977 | 39.9 | - | |
| 1958 | 45.1 | - | e | 1978 | 32.5 | - | |
| 1959 | 77.4 | + | | 1979 | 29.4 | - | e |
| 1960 | 81.5 | + | e | 1980 | 32.5 | + | |
| 1961 | 29.6 | - | e | 1981 | 35.7 | + | |
| 1962 | 70.2 | + | e | 1982 | 58.2 | + | |
| 1963 | 40.8 | - | e | 1983 | 67.5 | + | e |
| 1964 | 84.6 | + | e | 1984 | 67.4 | - | |
| 1965 | 49.4 | - | e | | | | |

2. Cədvəl 5.5-dən görünür ki, verilmiş sıradə artma seriyalarının sayı $k_+^*=17$, azalmaların sayı isə $k_-^*=21$ -dir.

3. Artma və azalma seriyalarının sayının riyazi gözləməsi və dispersiyası hesablanır: $m_+=m_-=n/2=39/2=19,5$;

$D_+ = D_- = (n+1)/12 = (39+1)/12 = 3,33$ və $\sigma_+ = \sigma_- = \sqrt{D} = \sqrt{3,33} = 1,82$.

4. Cədvəl 3.3-dən 2 $\alpha=5\%$ əhəmiyyətlilik səviyyəsinə uyğun olan normal paylanması kuantili təyin edilir:

$$t'_{1-\alpha} = t'_{97,5} = 1,96.$$

5. Alınmış bu qiymət aşağıdakı düsturda yerinə qoyulur və k üçün etibarlılıq intervalı hesablanır:

$$m - t_{1-\alpha} \sqrt{D} \leq k < m + t_{1-\alpha} \sqrt{D} \text{ və } 16 \leq k < 23.$$

6. Sıraya əsasən hesablanmış k_+^* və k_-^* etibarlılıq intervalına düşdüyündən, yoxlanılan fərziyyə təkzib olunmur.

5.4.3. Ekstremumların sayı meyarı

Ekstremum, $x_1, x_2, x_3, \dots, x_n$ müşahidə sırasının elə elementidir ki, onun üçün aşağıdakı bərabərsizliklərdən biri ödənilir:

$$\begin{aligned} x_{i-1} &< x_i > x_{i+1} \text{-maksimum;} \\ x_{i-1} &> x_i < x_{i+1} \text{-minimum.} \end{aligned}$$

Təsadüfi kəmiyyətlər çoxluğu üçün ekstremumların sayı asimptotik normal paylanır. Bu paylanması parametrləri aşağıdakı düsturlara görə təyin olunur:

$$m_e = \frac{2n}{3}; \quad D_e = \frac{16n - 29}{90}. \quad (5.27)$$

Sıranın təsadüfiliyi haqqında hipotezin yoxlanması artma və azalmaların sayı meyarının tətbiqindəki kimidir.

Misal 5.12. Misal 5.11-in məlumatlarına əsasən *ekstremumların sayı meyarına* görə sıranın təsadüfiliyi haqda fərziyyəni yoxlayın ($2 \alpha=5\%$ əhəmiyyətlilik səviyyəsində).

Həlli: 1. Cədvəl 5.5-dən göründüyü kimi, verilmiş sıra üçün ekstremumların sayı 26-ya bərabərdir ($k_e^*=26$).

2. Riyazi gözləmə, m_e , və dispersiyanın, D_e , qiymətləri hesablanır: $m_e = \frac{2n}{3} = \frac{39 \cdot 2}{3} = 26$; $D_e = \frac{16n - 29}{90} = 6,6$ və

$$\sigma_e = \sqrt{D_e} = \sqrt{6,6} = 2,57.$$

3. Cədvəl 3.3-dən 2 $\alpha=5\%$ əhəmiyyətlilik səviyyəsinə uyğun olan normal paylanması kvantili təyin edilir: $t_{1-\alpha} = t_{97,5} = 1,96$.

4. Ekstremumların sayı üçün etibarlılıq intervalı hesablanır:

$$m_c - \sigma_c t_{1-\alpha} \leq k_c < m_c + \sigma_c t_{1-\alpha} \text{ və } 21 \leq k_c < 31.$$

5. $k_e^* = 26$ olduğundan və bu qiymət etibarlılıq intervalına düşdüydən, sıfırcı fərziyyə (siranın təsadüfiliyi) təkzib olunmur.

5.5. Empirik və analitik təminat əyrilərinin uyğunluğunuñ yoxlanması

Ovqaşdırılma

Hidrometeoroloji kəmiyyətlərin hesablanmasıñ mühüm mərhələlərindən biri empirik təminat əyrilərinin aproksimasiya etmək üçün analitik ifadənin (əyrinin) seçilməsidir. Seçim o zaman əsaslandırılmış hesab olunur ki, empirik və analitik əyrilər arasında yaxşı uyğunluq olsun. Praktikada belə müqayisə adətən gözəyari (vizual) yerinə yetirilir. Bu isə subyektiv xarakter daşıyır. Baxılan məsələ statistik uyğunluq meyarlarının istifadəsi ilə daha obyektiv həll oluna bilər. Yenə də sıfırcı fərziyyə (empirik və analitik əyrilər bir-birinə uyğundur) irəli sürürlür, əhəmiyyətlilik səviyyəsi təyin olunur, test-statistikamızın cəməriq qiyməti hesablanır və nəhayət, qərar qəbul olunur.

Hidrometeoroloji tədqiqatlarda daha çox χ^2 (Pirson) meyarı, Kolmoqorov meyarı və $n \omega^2$ (Kramer-Mizes-Smirnov) meyarı istifadə olunur.

Bu meyarların hər birinin öz test-statistikası var.

5.5.1. χ^2 (Pirson) meyarı

χ^2 meyarını XX əsrin əvvəllerində K.Pirson təklif etmişdir. Hazırda bu, ən geniş tətbiq olunan uyğunluq meyarıdır. Bu meyar istifadə edildikdə baxılan kəmiyyətin mümkün qiymətlər oblastı k sayda intervala bölündür. İntervalların sayı təxminini olaraq müşahidə sırasının uzunluğundan asılı olaraq təyin oluna bilər ($k \approx 5 \lg n$).

İntervalların sayı aşağıdaki sxemə görə də hesablanı bilər.

1. Empirik təminat əyrinini hamarlaşdırmaq və ekstrapolyasiya etmək üçün analitik əyrinin tipi seçilir.
2. Müşahidə sırasının parametrləri (orta qiymət, variasiya və asimmetriya əmsalları) qiymətləndirilir.
3. Ehtimallar damasında empirik və analitik təminat əyriləri qurulur.
4. Təminatlar oxu k sayda bərabər intervallara bölünür.
5. Analitik əyridən istifadə etməklə və təminatlar oxunda intervalların sərhədlərini nəzərə almaqla baxılan kəmiyyətin qiymətləri üçün intervalların sərhədləri təyin olunur. Məsələn, əgər, $k = 5$ (cəmi 5 interval) olarsa, onda təminatlar oxunda intervalların sərhədləri $0, 20, 40, 60, 80, 100\%-ə$ uyğun olacaq. Baxılan kəmiyyətin qiymətləri qeyd olunan ordinat oxunda isə intervalların sərhədləri belə olacaq: $x_{20} \leq x ; x_{40} \leq x < x_{20}$; $x_{60} \leq x < x_{40}$; $x_{80} \leq x < x_{60}$; $x < 80$.

Müşahidə məlumatlarının (empirik əyrinin) analitik əyi ilə uyğun olub-olmamasını qiymətləndirmək üçün aşağıdakı test-statistika istifadə olunur:

$$\chi^2 = n \sum_{i=1}^k \frac{(P_i^* - P_i)^2}{P_i}, \quad (5.28)$$

burada P_i^* və P_i -müvafiq olaraq, baxılan təsadüfi kəmiyyətin qiymətinin i intervalına düşməsinin empirik və nəzəri ehtimalı; n - sıranın uzunluğu; k - intervalların sayıdır.

K.Pirson göstərmışdır ki, bu test-statistikyanın paylanması qanunu müşahidə sırasının paylanması tipindən asılı deyil və n -nin kifayət qədər böyük qiymətlərində sərbəstlik dərəcəsi ədədi $v=k-r-1$ (burada r -ilkin sıranın müşahidə məlumatlarına görə təyin olunan parametrlərinin sayıdır) olan χ^2 paylanması ilə yaxşı aproksimasiya olunur.

χ^2 statistikyanın qiyməti aşağıdakı düstura görə də hesablanı bilər:

$$\chi^2 = \frac{1}{m} \sum_{i=1}^k (m_i^*)^2 - n \quad (5.29)$$

burada m^* və m - müvafiq olaraq, baxılan təsadüfi kəmiyyətin qiymətinin i intervalına düşməsinin empirik və nəzəri sayıdır.

Düstur 5.28-dən görünür ki, χ^2 statistikanın qiyməti nə qədər böyük olarsa, empirik və analitik əyrilər arasında uyğunsuzluq da bir o qədər böyük olar. Buna görə də χ^2 meyarı istifadə olunduqda birtərəfli əhəmiyyətlilik səviyyəsi təyin edilir (adətən $\alpha = 5\%$ və ya $\alpha = 10\%$).

Əgər, baxılan test-statistikanın düstur 5.28 və ya 5.29-a görə hesablanmış empirik qiyməti $(\chi^2)^*$ təyin olunmuş əhəmiyyətlilik səviyyəsində, α , nəzəri qiyməti, χ^2 , ötmürsə, yəni, $(\chi^2)^* \leq \chi^2_{1-\alpha}$, onda empirik və analitik əyrilərinin uyğunluğu haqqında hipotez təkzib olunmur.

χ^2 meyarının köməyi ilə empirik təminat əyrisini bir neçə analitik əyri tipi ilə müqayisə edib ən yaxşı variantı seçmək olar. Belə varianta χ^2 statistikanın daha kiçik qiyməti uyğundur.

Hesab olunur ki, χ^2 meyarı $n > 50$ olduqda istifadə edilə bilər və yaxşı olar ki, intervalların sayı 8-12, hər intervalda elementlərin sayı isə ən azı 5 olsun.

Misal 5.13. İllik yağış layının 47 illik müşahidə məlumatlarının təkrarlanması aşağıdakı cədvəldəki kimidir:

| Interval (mm) | Intervala düşmələrin empirik sayı | Interval (mm) | Intervala düşmələrin empirik sayı |
|---------------|-----------------------------------|---------------|-----------------------------------|
| <1000 | 2 | 1250-1300 | 7 |
| 1000-1050 | 3 | 1300-1350 | 5 |
| 1050-1100 | 4 | 1350-1400 | 3 |
| 1100-1150 | 5 | 1400-1450 | 2 |
| 1150-1200 | 6 | 1450-1500 | 2 |
| 1200-1250 | 7 | >1500 | 1 |

Müşahidə sırasının orta kəmiyyəti 1225 mm və orta kvadratik meyletməsi 151 mm təşkil edir. İllik yağış layı sırasının 5%-li əhəmiyyətlilik səviyyəsində normal paylanması uyğunluğunu qiymətləndiririn.

Həlli: 1. Əvvəlcə yağış layının verilmiş qiymətlərinə görə onların normallaşdırılmış qiymətləri, t , hesablanır:

$$t = \frac{x - \mu_x}{\sigma_x} = \frac{x - 1225}{151},$$

burada x illik yağış layıdır.

| Yağış layı, mm | t | P(T<t) |
|----------------|-------|--------|
| 1000 | -1.49 | 0.07 |
| 1050 | -1.16 | 0.12 |
| 1100 | -0.83 | 0.20 |
| 1150 | -0.50 | 0.31 |
| 1200 | -0.17 | 0.43 |
| 1250 | 0.17 | 0.57 |
| 1300 | 0.50 | 0.69 |
| 1350 | 0.83 | 0.80 |
| 1400 | 1.16 | 0.88 |
| 1450 | 1.49 | 0.93 |
| 1500 | 1.82 | 0.97 |

2. Cədvəl 3.3-dən normallaşdırılmış (standart) yağış layının qiymətlərinə görə, t , kumulyativ (integral) paylanması funksiyasının ordinatları (nəzəri cəm ehtimallar) təyin olunur və vahidin hissələri ilə (100-ə bölməklə) ifadə edilir. Bu qiymətlər yuxarıdakı cədvəlin 3-cü sütununda yazılır. Göründüyü kimi, nəzəri cəm ehtimallarının qiymətləri artma qaydasında düzülmüşlər.

3. Nəzəri cəm ehtimalların qonşu qiymətlərinin fərqləri, intervallara düşmələrin nəzəri ehtimalına bərabərdir. Bu nəzəri ehtimallar aşağıdakı cədvəlin 2-ci sütununa yazılır.

| İnterval (mm) | Nəzəri ehtimal, p_m | İntervala düşmələrin nəzəri qiymətləri, Np_m |
|---------------|-----------------------|--|
| <1000 | 0.07 | 3.29 |
| 1000-1050 | 0.05 | 2.35 |
| 1050-1100 | 0.08 | 3.76 |
| 1100-1150 | 0.11 | 5.17 |
| 1150-1200 | 0.12 | 5.64 |
| 1200-1250 | 0.14 | 6.58 |
| 1250-1300 | 0.12 | 5.64 |
| 1300-1350 | 0.11 | 5.17 |
| 1350-1400 | 0.08 | 3.76 |
| 1400-1450 | 0.05 | 2.35 |
| 1400-1500 | 0.04 | 1.88 |
| >1500 | 0.03 | 1.41 |

4. Nəzəri ehtimallar müşahidə sırasının uzunluğuna vurulur və intervala düşmələrin nəzəri sayı təpilir.

5. Müşahidə olunmuş (empirik) və nəzəri təkrarlanmaların paylanması nəzərə almaqla χ^2 statistikası hesablanır:

$$\chi^2 = \sum_{m=1}^v \frac{(X_m - Np_m)^2}{Np_m} = \frac{(2 - 3.29)^2}{3.29} + \frac{(3 - 2.35)^2}{2.35} + \frac{(4 - 3.76)^2}{3.76} + \frac{(5 - 5.17)^2}{5.17} + \frac{(6 - 5.64)^2}{5.64} + \\ + \frac{(7 - 6.58)^2}{6.58} + \frac{(7 - 5.64)^2}{5.64} + \frac{(5 - 5.17)^2}{5.17} + \frac{(3 - 3.76)^2}{3.76} + \frac{(2 - 2.35)^2}{2.35} + \frac{(2 - 1.88)^2}{1.88} + \frac{(1 - 1.41)^2}{1.41} = 1.42$$

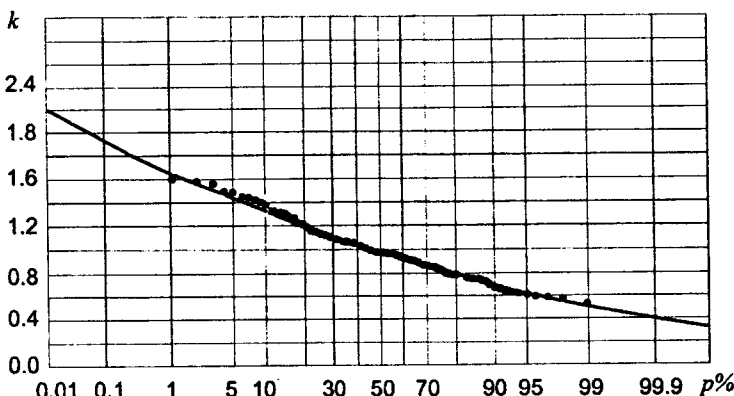
Sıranın həm orta kəmiyyəti, həm də orta kvadratik meyletməsi müşahidə sırasına görə təyin olunduğundan χ^2 statistikanın sərbəstlik dərəcəsi ədədi $M-1-n$ ifadəsi ilə təyin olunur: $M=12$ (intervalların sayı) və $n=2$ (müşahidə sırasına görə təyin olunmuş parametrlərin sayı). Beləliklə, sərbəstlik dərəcəsi ədədi $12-1-2=9$ alınır. 5%-li əhəmiyyətlilik səviyyəsində müşahidə sırasının normal paylanması uyğunluğu haqda hipotez aşağıdakı bərabərsizlik ödənilidikdə qəbul oluna bilər.

$$0 \leq 1.42 \leq \chi^2_{0.05}$$

Əlavə 4-ə görə, sərbəstlik dərəcəsi ədədi 9-a bərabər olduqda

$\chi^2_{0.05} = 16.919$. Beləliklə, $0 \leq 1.42 \leq 16.919$ və yağış layı sırasının 5%-li əhəmiyyətlilik səviyyəsində normal paylanması uyğunluğu qəbul oluna bilər.

Misal 5.14. Şəkil 5.5-də orta illik su sərfərinin empirik təminat əyrisi ($n=98$ il) və Kritski-Menkelin parametrləri $\bar{Q}=19,5$ m^3/s , $C_v=0,25$, $C_s/C_v=2$ olan üçparametrlı qamma paylanmasıın analitik əyrisi göstərilmişdir. χ^2 (Pirson) meyarına görə $2\alpha=5\%$ əhəmiyyətlilik səviyyəsində empirik və analitik əyrilərin uyğunluq dərəcəsini qiymətləndirin.



Şəkil 5.5. Orta illik su sərfəri üçün empirik və analitik təminat əyriləri

Həlli: 1. Bu tapşırığın həlli üçün qrafikin təminat oxu 10 bərabər intervala bölündür: $k \approx 5 \lg(n) \approx 10$.

2. İntervalların sərhədlərində analitik təminat əyrisinin ordinatlarının qiymətləri təqibilir. Paylanması funksiyası yuxarıdan məhdudlanmadığından, birinci interval üçün (0–10%) yuxarı sərhəd sonsuzluğa bərabər olacaq. İkinci interval üçün (10–20%) yuxarı sərhəd birinci intervalın aşağı sərhəddinə bərabərdir və s.; axırıncı interval üçün aşağı sərhəd sıfır bərabərdir, belə ki, paylanması funksiyasının aşağı sərhəddi sıfırdır (cədvəl 5.6).

Cədvəl 5.6

 χ^2 meyarının hesablanması üçün ilkin məlumatlar

| İnterval k | Təminat, % | İntervalların sərhədləri | Su sərflərinin intervala düşmə hallarının sayı m_i^* | $(m_i^*)^2$ |
|--------------|------------|--------------------------|--|-------------|
| 1 | 0 – 10 | $\infty - 1,33$ | 11 | 121 |
| 2 | 10 – 20 | 1,33 – 1,20 | 8 | 64 |
| 3 | 20 – 30 | 1,20 – 1,11 | 10 | 100 |
| 4 | 30 – 40 | 1,11 – 1,05 | 8 | 64 |
| 5 | 40 – 50 | 1,05 – 0,98 | 13 | 169 |
| 6 | 50 – 60 | 0,98 – 0,92 | 11 | 121 |
| 7 | 60 – 70 | 0,92 – 0,85 | 10 | 100 |
| 8 | 70 – 80 | 0,85 – 0,79 | 6 | 36 |
| 9 | 80 – 90 | 0,79 – 0,70 | 11 | 121 |
| 10 | 90 – 100 | 0,70 – 0,00 | 10 | 100 |
| Cəm | | | | 996 |

3. Hər bir interval üçün su sərflərinin müvafiq intervala düşmə hallarının sayı (m_i^*) hesablanır (cədvəl 5.6). Əgər su sərfinin qiyməti intervalın sərhəddinə düşürse, onu yuxarı intervala aid etmək lazımdır. m_i^* -nin qiymətləri cədvəl 5.6-nın 4-cü sütununa yazılır.

4. Su sərflərinin hər bir intervala düşmə hallarının nəzəri sayı $m=n/k$ ifadəsinə görə təyin edilir və $m=98/10=9,8$. Cədvəl 5.6-nın 4-cü sütununda verilmiş empirik məlumatlar nəzəri qiymətdən (9,8) fərqlənir. Bu fərqlər ya seçmə təkrarlanmaların təsadüfi tərəddüdü, ya da empirik və analitik təminat əyrilərinin uyğunsuzluğu ilə əlaqədardır.

5. Aşağıdakı düsturdan istifadə etməklə χ^2 -nin empirik qiyməti hesablanır:

$$(\chi^2)^* = \frac{1}{m} \sum_{i=1}^{10} (m_i^*)^2 - n = \frac{1}{9,8} 996 - 98 = 3,63.$$

6. Əlavə 4-dən sərbəstlik dərəcəsi ədədi $v=k-r-1=10-3-1=6$ və əhəmiyyətlilik səviyyəsi $2\alpha=5\%$ olduqda χ^2 -nin nəzəri

qiyməti tapılır: $\chi^2_{95} = 12,6$.

7. $(\chi^2)^* < \chi^2_{95}$ olduğuna görə belə nəticəyə gəlmək olar ki, empirik və analitik təminat əyrilərinin uyğunluğu haqda fərziyyə $2 \alpha = 5\%$ əhəmiyyətlilik səviyyəsində təkzib olunmur.

5.5.2. Kolmoqorov meyari

A.M.Kolmoqorov empirik məlumatların analitik paylanması uyğunluğunu qiymətləndirmək üçün kəmiyyət göstəricisi kimi empirik, $P^*(x)$, və analitik, $P(x)$, təminat funksiyalarının qiymətləri arasında ən böyük fərqi (mütləq qiymətcə) qəbul etmişdir:

$$\Delta = \max |P^*(x) - P(x)|. \quad (5.30)$$

Hesablamalar Kolmoqorov meyarına görə yerinə yetirildikdə, əvvəlcə müşahidə sırasının hər bir həddi üçün ayrılıqda $P^*(x), P(x)$ və onların fərqi hesablanır. Sonra mütləq qiyməti ən böyük olan fərq, Δ , seçilir, və statistika hesablanır:

$$\lambda^* = \Delta \sqrt{n}, \quad (5.31)$$

burada n -sıranın uzunluğuudur.

Kolmoqorov göstərmışdır ki, n kifayət qədər böyük olduqda ($n > 40$) λ statistikanın təminat funksiyası aşağıdakı ifadə ilə aproksimasiya oluna bilər:

$$P\{\lambda^* > \lambda\} \approx P(\lambda) = 2 \sum_{k=1}^n (-1)^{k-1} \exp(-2k^2 \lambda^2). \quad (5.32)$$

Bu funksiyanın koordinatları Əlavə 7-də verilir.

Əgər, $P(\lambda)$ funksiyasının qiyməti qəbul olunmuş əhəmiyyətlilik səviyyəsindən böyükdürsə, onda empirik və analitik təminat əyrilərinin uyğunluğu haqqında hipotez təkzib olunmur.

Kolmoqorov meyari ilə hesablamalar kifayət qədər sadədir. Bu meyarin əsas çatışmazlığı ondan ibarətdir ki, yalnız empirik və analitik təminatların ən böyük qiymətlər fərqini nəzərə alır. Başqa

sözlə, müşahidə sırasında olan informasiya qismən istifadə olunur. Təminatların ən böyük fərqi, Δ , adətən, təminat əyrisinin orta hissəsində qeydə alınır.

Hidrometeoroloji xarakteristikalar, xüsusilə ekstremal xarakteristikalar hesablaşdırıqda təminat əyrisinin yuxarı və aşağı hissələri daha böyük maraq doğurur.

Bu nöqsanlar Kolmoqorov meyarının praktikada tətbiqini istisna etmir. Bu meyar da, χ^2 meyari kimi, empirik əyrinin bir neçə analitik əyri tipi ilə uyğunluğunu qiymətləndirmək və daha uyğun əyriini seçmək üçün istifadə oluna bilər.

Misal 5.15. İlkin məlumatlar misal 5.14-də olduğu kimiidir. Kolmoqorov meyarına görə $\alpha=5\%$ əhəmiyyətlilik səviyyəsində empirik əyri və Kritski-Menkelin analitik əyrisinin (şəkil 5.5) uyğunluq dərəcəsini qiymətləndiririn.

Həlli: 1. Verilmiş sıranın 98 su sərfinin hər biri üçün empirik və nəzəri təminatlar arasındaki fərquin mütləq qiyməti hesablanır. Belə hesablamaların fragmenti cədvəl 5.7-də verilmişdir.

Cədvəl 5.7

Empirik və nəzəri təminatlar arasındaki fərquin hesablanması

| Nö | k_i | $P^* \%$ | $P \%$ | $ P^* - P $ |
|-----|-------|----------|--------|-------------|
| ... | ... | ... | ... | ... |
| 40 | 1.03 | 40.40 | 42.14 | 1.74 |
| 41 | 1.02 | 41.41 | 43.72 | 2.31 |
| 42 | 1.01 | 42.42 | 45.22 | 2.80 |
| 43 | 1.00 | 43.43 | 46.70 | 3.27 |
| 44 | 0.99 | 44.44 | 48.19 | 3.75 |
| 45 | 0.99 | 45.45 | 48.19 | 2.74 |
| 46 | 0.98 | 46.46 | 49.68 | 3.22 |
| 47 | 0.98 | 47.47 | 49.68 | 2.21 |
| 48 | 0.98 | 48.48 | 49.68 | 1.20 |
| 49 | 0.98 | 49.49 | 49.68 | 0.19 |
| ... | ... | ... | ... | ... |

2. Cədveldən göründüyü kimi, P^* və P arasında ən böyük fərq 3,75%-dir və ya vahidin hissəsi kimi ifadə edildikdə $\Delta=0,0375$ olur.

3. Kolmoqorov statistikasının empirik qiyməti hesablanır:

$$\lambda^* = \Delta\sqrt{n} = 0,0375\sqrt{98} = 0,367.$$

4. Əlavə 7-dən Kolmoqorovun təminat funksiyasının ordinatı təyin edilir:

$$P(\lambda^*)=0,999.$$

5. Beləliklə, $P(\lambda^*)$ qəbul olunmuş əhəmiyyətlilik səviyyəsindən ($\alpha=5\%$ və ya 0,05) olduqca böyükdür: $0,999 >> 0,05$. Buna görə də empirik nöqtələrin Kritski-Menkelin analitik əyrisinə uyğunluğu haqda fərziyyə təkzib olunmur.

Misal 5.16. Misal 5.13-də verilmiş müşahidə məlumatlarının 10% əhəmiyyətlilik səviyyəsində normal paylanması uyğunluğunu Kolmoqorov-Smirnov meyarına görə qiymətləndirin.

Həlli: Verilmiş məlumatlara əsasən yağış layının empirik və nəzəri ehtimallarının hesablanmış qiymətləri aşağıdakı cədvəldə göstərilir:

| Yağış layı, x (mm) | Normallaşdırılmış yağış hayatı, $(x - \mu_x)/\sigma_x$ | $S_N(x)$ | $P_x(x)$ | $[P_x(x) - S_N(x)]$ |
|----------------------------|--|-------------|----------|---------------------|
| 1000 | -1.490 | 2/47=0.043 | 0.068 | 0.025 |
| 1050 | -1.159 | 5/47=0.106 | 0.123 | 0.017 |
| 1100 | -0.828 | 9/47=0.191 | 0.204 | 0.013 |
| 1150 | -0.497 | 14/47=0.298 | 0.310 | 0.012 |
| 1200 | -0.166 | 20/47=0.426 | 0.434 | 0.008 |
| 1250 | 0.166 | 27/47=0.574 | 0.566 | 0.008 |
| 1300 | 0.497 | 34/47=0.723 | 0.690 | 0.033 |
| 1350 | 0.828 | 39/47=0.830 | 0.796 | 0.034 |
| 1400 | 1.159 | 42/47=0.894 | 0.877 | 0.017 |
| 1450 | 1.490 | 44/47=0.936 | 0.932 | 0.004 |
| 1500 | 1.821 | 46/47=0.979 | 0.966 | 0.013 |

Yağış layının normallaşdırılmış qiymətləri cədvəlin 2-ci sütununda verilir. Bu qiymətlər yağış layının 1-ci sütununda verilmiş

qiymətlərinə görə hesablanmışdır. Müşahidə sırasının orta qiyməti $\mu_x=1225$ mm və orta kvadratik meyletməsi $\sigma_x=151$ mm təşkil edir. Empirik cəm paylanması funksiyasının 3-cü sütunda verilmiş qiymətləri aşağıdakı düstura görə hesablanmışdır:

$$S_N(x) = \frac{k}{N},$$

burada k verilmiş yağış layının qiymətinə bərabər və ya ondan kiçik qiymətlərin sayı, $N=47$ isə müşahidə sırasının uzunluğuudur. Nəzəri cəm paylanması funksiyasının qiymətləri $P_x(x)$ cədvəlin 4-cü sütununda verilmişdir və normallaşdırılmış yağış layı qiymətlərinə (2-ci sütun), həmçinin cədvəl 3.3-dəki standart normal paylanması funksiyasına görə (100-ə bölməklə) hesablanmışdır. Nəzəri və empirik paylanması funksiyalarının mütləq qiymətlərinin fərqi 5-ci sütunda verilir. Maksimal fərq, $D=0.034$ və bu 1350 mm-ə bərabər yağış layına uyğundur. Cədvəldə verilmiş yağış laylarının sayı 11 olduğu üçün 10%-li əhəmiyyətlilik səviyyəsində Kolmoqorov-Smirnov statistikasının böhran qiyməti 0.352 təşkil edir (Əlavə 13).

$0.034 < 0.352$ olduğu üçün 10%-li əhəmiyyətlilik səviyyəsində müşahidə məlumatlarının normal paylanması uyğunluğu haqqında hipotez qəbul oluna bilər.

5.5.3. $n\omega^2$ (Kramer-Mizes-Smirnov) meyarı

Bu meyarın test-statistikası müşahidə sırasının bütün hədlərinin analitik, $P(x)$, və empirik $P^*(x)$ təminat funksiyaları arasında fərqin orta kvadratıdır:

$$n\omega^2 = \sum_{i=1}^n [P(x) - P^*(x)]^2 + \frac{1}{12n}, \quad (5.33)$$

burada $P(x)$ düstur 3.3-ə görə hesablanır.

$P(x)$ düstur 3.4-ə görə də qiymətləndirilə bilər. Onda test-statistikasının ifadəsi aşağıdakı kimi yazılırlar:

$$(n+1)\omega^2 = \sum_{i=1}^n \left[P(x) - \frac{m}{n+1} \right]^2 + \frac{n}{12(n+1)^2}. \quad (5.34)$$

Müəyyən olunmuşdur ki, $n > 40$ olduqda, $n\omega^2$ [və ya $(n+1)\omega^2$] statistikanın paylanması müşahidə sırasının paylanma qanunundan asılı deyil və müəyyən bir limit paylanmaya yaxındır (cədvəl 5.8).

Cədvəl 5.8

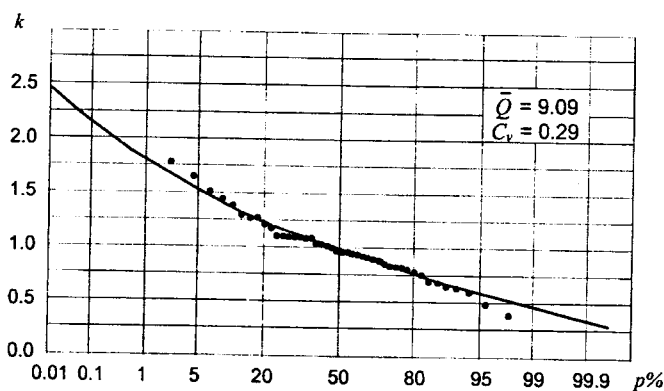
Müxtəlif əhəmiyyətlilik səviyyələrində ($\alpha, \%$) $n\omega^2$ statistikanın yuxarı etibarlılıq sərhədlərinin qiymətləri

| Əhəmiyyətlilik səviyyəsi $\alpha, \%$ | 50 | 40 | 30 | 20 | 10 |
|---|--------|--------|--------|--------|--------|
| $n\omega^2$ | 0.1184 | 0.1467 | 0.1843 | 0.2412 | 0.3473 |
| Əhəmiyyətlilik səviyyəsi $\alpha, \%$ | 5 | 3 | 2 | 1 | 0.1 |
| $n\omega^2$ | 0.4614 | 0.5489 | 0.6189 | 0.7435 | 1.1679 |

Əgər, qəbul olunmuş əhəmiyyətlilik səviyyəsində test-statistikanın düstur 5.34 ilə hesablanmış qiyməti onun nəzəri (cədvəldə verilmiş) qiymətindən böyük olarsa, onda empirik və analitik təminat əyrilərinin uyğunluğu haqqında hipotez təkzib olunur.

Kolmoqorov meyari ilə müqayisədə, $n\omega^2$ meyari daha çox hesablama tələb edir. Lakin bu meyar müşahidə sırasındaki informasiyanı daha dolğun istifadə etməyə imkan verir.

Misal 5.17. 1945-1988-ci illər (n=44) üçün orta illik su sərf-lərinin müşahidə sırasının parametrləri momentlər üsulu ilə qiymətləndirilmişdir: $\bar{Q}=9,09$; $C_v^*=0,29$; $C_s/C_v=2$. $n\omega^2$ meyarinin istifadəsi ilə ($2\alpha=5\%$ əhəmiyyətlilik səviyyəsində) empirik məlumatların Kritski-Menkel üçparametrlı qamma-paylanmasına (şəkil 5.6) uyğunluq dərəcəsini qiymətləndirin.



Şəkil 5.6. Orta illik su sərfələri üçün empirik və analitik təminat ayrınları

Həlli: 1. Cədvəl 5.9-da sıranın bütün hədləri üçün empirik p^* və nəzəri p təminatlar arasındaki fərqlərin Δp kvadratlarının hesablanması nəticələri verilmişdir.

Cədvəl 5.9

Empirik p^* və nəzəri p təminatlar arasındaki fərqlərin Δp kvadratlarının hesablanması; $(\Delta p)^2$ -nin qiymətləri vahidin hissələri kimi verilmişdir, $(\Delta p)^2 = [(p^* - p)/100]^2$

| Nö | k_i | $p^* \%$ | $p \%$ | $(\Delta p)^2$ |
|-----|-------|----------|--------|----------------|
| 1 | 1.78 | 2.22 | 1.73 | 0.00002 |
| 2 | 1.65 | 4.44 | 2.91 | 0.00023 |
| 3 | 1.51 | 6.67 | 6.07 | 0.00004 |
| ... | ... | ... | ... | ... |
| 20 | 1.02 | 44.44 | 43.75 | 0.00005 |
| 21 | 1.00 | 46.67 | 46.25 | 0.00002 |
| 22 | 0.97 | 48.89 | 50.00 | 0.00012 |
| ... | ... | ... | ... | ... |
| 42 | 0.60 | 93.33 | 92.48 | 0.00007 |
| 43 | 0.49 | 95.56 | 97.75 | 0.00048 |
| 44 | 0.38 | 97.78 | 99.60 | 0.00033 |
| | | | Cəm | 0.04287 |

2. $[(n+1)\omega^2]^*$ statistikanın empirik qiyməti düstur 5.34-ə görə hesablanır və onun qiyməti 0,04468-ə bərabərdir. Alınan bu qiymət $\alpha=5\%$ üçün nəzəri qiymət $(n\omega^2)_{5\%}=0,461$ (cədvəl 5.8) ilə müqayisə olunur.

3. $[(n+1)\omega^2]^*<<(n\omega^2)_{5\%}$ olduğundan, empirik məlumatların Kritski-Menkelin analitik təminat əyrisi ilə uyğunluğu haqda fərziyyə təkzib olunmur.

6. HİDROMETEOROLOGİYADA STATİSTİK ASILILIQLAR VƏ XƏTTİ KORRELYASIYA

6.1. Funksional və stoxastik əlaqələr

Hidrometeoroloji hadisə və proseslər çoxsaylı amillərin təsiri altında formalaşır. Bu hadisə və prosesləri öyrəndikdə, onlarla müxtəlif amillər arasında əlaqələr təhlil olunur. Məsələn, çay axımının hər hansı bir xarakteristikasını hesablaşdırıqda və ya onun proqnozunu verdikdə baxılan axım xarakteristikaları ilə yağış layıq qar örtüyünün su ehtiyatı, havanın temperaturu, sutoplayıcı səhədən buxarlanması və s. arasında əlaqələri analiz etmək tələb olunur. Belə tədqiqatlar iki tip məsələni həll etməyə imkan verir:

1. Birinci tip məsələ, hidrometeoroloji hadisə və ona təsir edən amillərin ərazi üzrə və zamana görə dəyişmə səbəblərinin müəyyən edilməsi ilə əlaqədardır;

2. İkinci tip məsələ isə, baxılan hadisə və ya prosesin tendensiyası və ya onların konkret kəmiyyət göstəricisinin təyini ilə bağlıdır.

Bu məsələlərin heç biri surf riyazi məsələ deyil, onların həlli hadisə və proseslərin fiziki analizi ilə müşayət olunmalıdır.

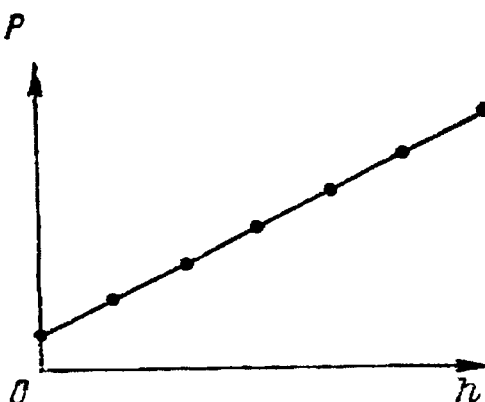
Praktikada çox tez-tez müəyyən bir Y təsadüfi kəmiyyətinə (məsələn, buxarlanmaya) digər $x_1, x_2, x_3, \dots, x_n$ təsadüfi kəmiyyətlərin (havanın temperaturu, küləyin sürəti və s.) təsirini qiymətləndirmək tələb olunur. Başqa sözlə, müşahidə məlumatlarına görə $y = f(x_1, x_2, x_3, \dots, x_n)$ asılılığının analitik ifadəsini tapmaq lazımlıdır.

Y kəmiyyəti asılı dəyişən və ya prediktant $X_1, X_2, X_3, \dots, X_n$ isə asılı olmayan dəyişənlər, prediktorlar və ya faktorlar adlandırılır.

Tutaq ki, Y yalnız bir prediktordan asılıdır, yəni $y = f(x)$. Bu halda müşahidə məlumatları arasındaki əlaqə düzxətli və ya əyrixətli, zəif və ya six ola bilər. Düzxətli əlaqələrin təhlili daha yaxşı öyrənilmişdir.

Y və X təsadüfi kəmiyyətləri arasındaki əlaqələr onların sıxlığından asılı olaraq iki qrupa bölünür: funksional və stoxastik əlaqələr.

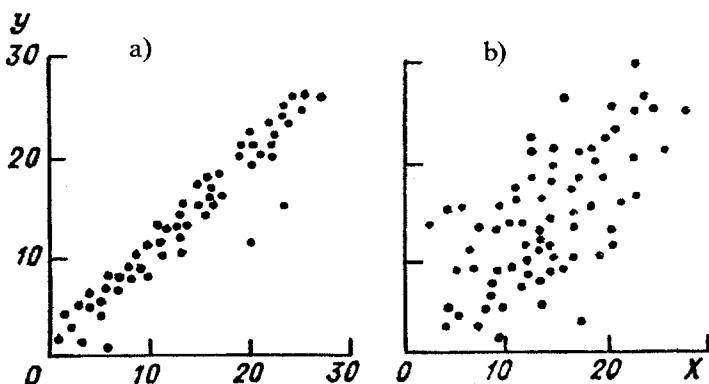
Funksional asılılıqlarda (şəkil 6.1) prediktorun, X , hər bir qiymətinə, prediktantın, y , yalnız bir qiyməti uyğun olur, yəni bütün müşahidə nöqtələri əlaqə xətti üzərində yerləşir. Məsələn, hidrostatik təzyiqlə maye sütununun hündürlüyü arasında funksional əlaqə var. Əgər, ayrı-ayrı nöqtələr funksional əlaqə qrafikində meyl edirsə, bu yalnız ölçmələrin xətləri ilə bağlıdır.



Şəkil 6.1. Funksional əlaqə qrafiki

Lakin hidrometeoroloji praktikada $y = f(x)$ əlaqəsinin xarakteri adətən fərqli olur. Bu hadisələrə təsir göstərən çoxsaylı amillərin hamısını nəzərə almaq qeyri-mümkündür və buna heç ehtiyac da yoxdur. Belə ki, çox zaman yalnız bir-iki amilin təsiri həllədici olur və onlar da prediktor kimi istifadə edilir. Belə hallarda ölçmələrin dəqiqliyindən asılı olmayaraq müşahidə nöqtələri əlaqə xətti ətrafında sapalınır və bunlara stoxastik (ehtimalli) asılılıqlar deyilir (şəkil 6.2).

$\tilde{y}(x)$



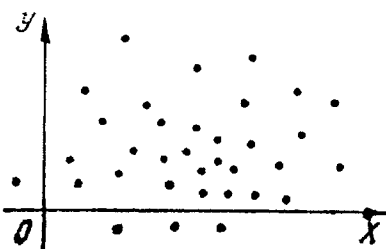
Şəkil 6.2. Stoxastik asılı kəmiyyətlərin əlaqə qrafikləri
a - sıx əlaqə, b - zəif əlaqə

Şəkil 6.2-dən göründüyü kimi X -in hər bir qiymətinə Y -in coxssaylı qiymətləri uyğundur. Bu halda $y=f(x)$ funksional asılılığı əvəzinə, ortalaşdırılmış $\tilde{y}(x)$ əlaqə xətti keçirilir. Bu zaman çalışmaq lazımdır ki, əlaqə xətti ətrafında müşahidə nöqtələrin səpələnməsi minimal olsun. Əgər, bu tələb ödənilirsə, onda əlaqə xətti regressiya xətti və ona müvafiq analitik ifadə isə regressiya tənliyi adlandırılır.

Ola bilər ki, $\tilde{y}(x)$ asılılığının tipi müəyyən bir fiziki və ya hər hansı bir başqa səbəblə əlaqədar əvvəlcədən məlumdur. Onda tədqiqatçının vəzifəsi empirik məlumatlara görə analitik ifadə parametrlərinin qiymətləndirilməsidir.

Məsələn, əgər, baxılan əlaqə düz xətlidirsə, yəni, $\tilde{y}(x) = ax + b$, a və b parametrlərinin elə qiymətləri tapılmalıdır ki, əlaqə xətti ətrafında nöqtələrin səpələnməsi minimal olsun. Əgər, $\tilde{y}(x)$ asılılığının tipi məlum deyilsə, onda onun tipi haqqında fərziyyə irəli sürülməlidir.

Bəzən ola bilər ki, Y və X kəmiyyətləri arasında əlaqə olmasın (şəkil 6.3).



Şəkil 6.3. Asılı olmayan kəmiyyətlərin əlaqə qrafiki

6.2. Ən kiçik kvadratlar metodu

Tutaq ki, $\tilde{y}(x)$ asılılığı düzgünlidir. Hidrometeorologiyada düzgün asılılıqlardan geniş istifadə olunur, çünkü onlar üçün riyazi aparat çox yaxşı işlənmişdir. Belə asılılıqların başqa üstünlükleri də var:

1. Əgər, $\tilde{y}(x)$ asılılığının tipi məlum deyilsə, onda ilkin variantda o düzgün qəbul oluna bilər;
 2. Əgər, baxılan asılılıq zəif əyrixətlidirsə, onda X dəyişəninin mümkün qiymətlər oblastını bir neçə intervala bölmək olar ki, onlarında daxilində əlaqə düzgün qəbul edilə bilər;
 3. Demək olar ki, həmişə X və Y dəyişənlərini elə çevirmək mümkündür ki, yeni dəyişənlər arasında əlaqə düzgün olsun.
- Düzgün asılılığın regressiya tənliyi aşağıdakı kimidir;

$$\tilde{y}_i = ax_i + b. \quad (6.1)$$

Bu tənliyin a və b parametrlərinin qiymətləri elə təyin olunmalıdır ki, bu qiymətlərdə y_i -nin müşahidə olunmuş qiymətlərinin düstur (6.1)-ə görə hesablanmış qiymətlərindən fərqiinin (meylətməsinin) kvadratları cəmi minimal olsun. Bu tələb ən kiçik kvadratlar metodunun məğzini təşkil edir.

Qeyd olunan fərqiin kvadratları cəmi aşağıdakı ifadələrə görə təyin olunur:

$$\sum_{i=1}^n (y - \bar{y}_i)^2 = \sum_{i=1}^n [y_i - (ax_i + b)]^2. \quad (6.2)$$

Baxılan cəmin minimal olması üçün, bu ifadənin a və b parametrləri üzrə xüsusi törəmələri sıfıra bərabər olmalıdır:

$$\frac{\partial}{\partial a} \left[\sum_{i=1}^n (y_i - ax_i - b)^2 \right] = 0; \quad (6.3)$$

$$\frac{\partial}{\partial b} \left[\sum_{i=1}^n (y_i - ax_i - b)^2 \right] = 0. \quad (6.4)$$

Axırıncı iki ifadəni, (6.3) və (6.4), diferensiallaşdırıqda aşağıdakı tənlikləri almaq olar:

$$b \sum_{i=1}^n x_i + a \sum_{i=1}^n x_i^2 = \sum_{i=1}^n x_i y_i; \quad (6.5)$$

$$bn + a \sum_{i=1}^n x_i = \sum_{i=1}^n y_i. \quad (6.6)$$

Bu iki tənliyi a və b parametrlərinə nəzərən həll etsək, onda onları təyin etmək üçün aşağıdakı ifadələr alınar:

$$a = \frac{\sum_{i=1}^n [(x_i - \bar{x})(y_i - \bar{y})]}{\sum_{i=1}^n (x_i - \bar{x})^2}; \quad (6.7)$$

$$b = \bar{y} - a\bar{x}, \quad (6.8)$$

burada \bar{x} və \bar{y} - X və Y sıralarının orta qiymətidir.

6.3. İki dəyişən kəmiyyət üçün xətti regressiya tənliyi

Xətti regressiya tənliyinin a parametri X və Y dəyişənləri arasında əlaqə xəttinin meyl bucağının tangensini səciyyələndirir və $\tilde{y}(x)$ asılılığının regressiya əmsalı adlanır. Düstur (6.7)-dən alınır ki, regressiya əmsalı aşağıdakı kimi də yazıla bilər:

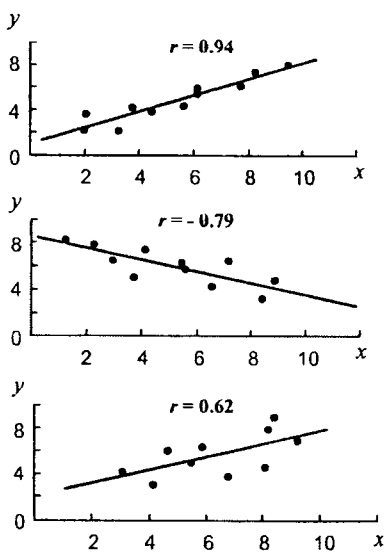
$$\alpha_{y/x} = r \frac{\sigma_y}{\sigma_x}, \quad (6.9)$$

burada σ_y və σ_x , müvafiq olaraq Y və X sıralarının orta kvadratik meyletmələri; r -cüt korrelyasiya əmsalıdır:

$$r = \frac{\sum_{i=1}^n [(x_i - \bar{x})(y_i - \bar{y})]}{\sqrt{\sum_{i=1}^n (x_i - \bar{x})^2 \sum_{i=1}^n (y_i - \bar{y})^2}}. \quad (6.10)$$

Korrelyasiya əmsali r , Y və X arasında xətti asılılığın sixlığının empirik göstəricisidir. O, -1 -dən $+1$ -ə kimi qiymətlər ala bilir. Əgər, $r = +1$ onda baxılan asılılıq funksionaldır.

Əgər, $r > 0$ olarsa, əlaqə düz, $r < 0$ olarsa, tərsindərdir. Korrelyasiya əmsalının mütləq qiyməti sıfır yaxınlaşdıqca, Y və X arasında xətti əlaqə də zəifləyir (şəkil 6.4).



Şəkil 6.4. Korrelyasiya əmsalının müxtəlif qiymətlərində $\tilde{y}_i = ax_i + b$ asılılığı qrafiklərində nöqtələrin meyletməsi

Korrelasiya əmsalını hesablamaq üçün düstur başqa cür də yazıla bilər:

$$r = \frac{\text{cov}(x, y)}{\sigma_x \sigma_y}, \quad (6.11)$$

burada $\text{cov}(x, y)$ -kovariasiya adlanır və aşağıdakı ifadəyə görə hesablanır:

$$\text{cov}(x, y) = \frac{1}{n} \sum_{i=1}^n (x_i - \bar{x})(y_i - \bar{y}). \quad (6.12)$$

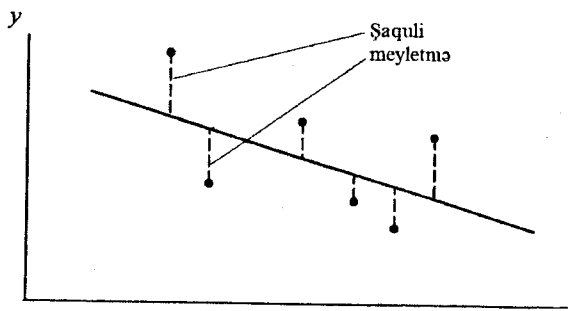
Düstur (6.8) və (6.9)-u nəzərə almaqla xətti regressiya tənliyinin aşağıdakı ifadəsi alınır:

$$(y_i - \bar{y}) = r \frac{\sigma_y}{\sigma_x} (x_i - \bar{x}). \quad (6.13)$$

Bu bərabərlik y -in x üzrə xətti regressiya tənliyi adlanır. Oxşar yolla x -in y üzrə xətti regressiya tənliyini tərtib etmək olar:

$$(x_i - \bar{x}) = r \frac{\sigma_x}{\sigma_y} (y_i - \bar{y}). \quad (6.14)$$

Axırıncı iki ifadə, (6.13) və (6.14) ekvivalent deyillər və biri o birindən alınmır. Əgər, absis oxunda X -in, ordinat oxunda isə Y -in qiymətlərini qeyd etsək, onda düstur (6.13)-ə regressiya xəttindən nöqtələrin şaquli istiqamətdə (şəkil 6.5) düstur (6.14)-ə isə üfüqi istiqamətdə meyletmələri uyğun olar.

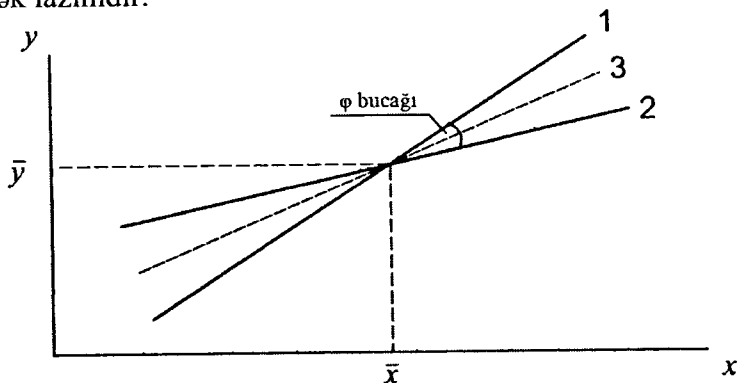


Şəkil 6.5. y -in x -ə görə xətti regressiyası və şaquli meyletmələr

Düstur (6.13) və (6.14)-ə müvafiq düz xətlər koordinatları (\bar{x}, \bar{y}) olan nöqtədə kəsişir (şəkil 6.6). Bu xətlər arasındaki bucaq, φ , korrelyasiya əmsalının qiymətindən asılıdır. Asılılıq zəif olduqda φ böyük, güclü olduqda isə kiçik olur.

Əgər, $r = 0$ olarsa, onda $\varphi = 90^\circ$ və $|r| = 1$ olarsa, $\varphi = 0^\circ$ olur. Axırıncı halda hər iki xətt üst-üstə düşür.

Hidrometeoroloji praktikada çox zaman düstur (6.13) və (6.14)-ün əvəzinə orta xəttin tənliyindən istifadə olunur. Bu xətt ϕ bucağının tənböləninə uyğundur (şəkil 6.6). Orta xəttin tənliyini almaq üçün düstur (6.13) və ya (6.14)-də $r = 1$ qəbul etmək lazımdır.

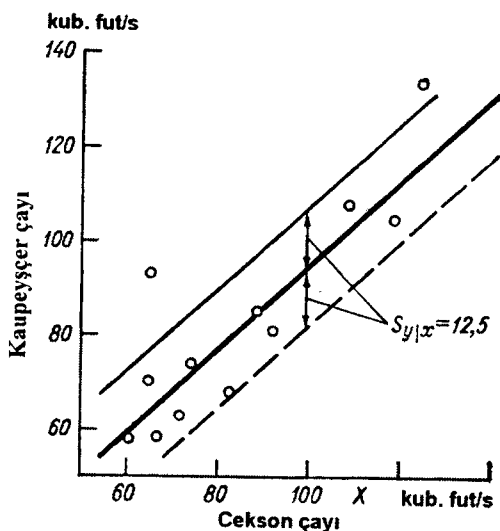


Şəkil 6.6. Xətti regressiya əlaqələri: 1- $y=f(x)$; 2- $x=f(y)$;
3 - orta xətt

Misal 6.1. Cekson x və Kaupeyşçer y çaylarının orta sutkaliq minimal su sərfləri arasında korrelyasiya əmsalını hesablayın və regressiya tənliyini tərtib edin. Sıraların uzunluğu 12 ilə bərabərdir. Müşahidə məlumatları aşağıdakı cədvəldə verilir:

| İl | Cekson çayı | Kaupeyşçer çayı |
|------|-------------|-----------------|
| 1941 | 61 | 58 |
| 1942 | 92 | 81 |
| 1943 | 65 | 70 |
| 1944 | 72 | 63 |
| 1945 | 82 | 68 |

| | | |
|-------------------------|------|------|
| 1946 | 67 | 58 |
| 1947 | 74 | 74 |
| 1948 | 118 | 105 |
| 1949 | 124 | 134 |
| 1950 | 108 | 108 |
| 1951 | 65 | 93 |
| 1952 | 88 | 85 |
| Orta | 84,7 | 83,1 |
| Orta kvadratik meyletmə | 20,8 | 22,3 |



Şəkil 6.7. Kaupeyşer və Cekson çaylarının orta sutkalıq minimal su sərfləri arasında əlaqə qrafiki

Həlli: 1. Əvvəlcə cəm ifadələr hesablanır: $\sum x = 1016$, $\sum y = 997$, $\sum x^2 = 91\,216$, $\sum xy = 89\,299$.

2. Rəgressiya tənliyinin α və β parametrləri tapılır:

$$\beta = \frac{\sum x_i y_i - \frac{\sum x_i \sum y_i}{n}}{\sum x_i^2 - \frac{(\sum x_i)^2}{n}} = \frac{89\,299 - \frac{1016 \cdot 997}{12}}{91\,216 - \frac{(1016)^2}{12}} = 0.941,$$

$$\alpha = \frac{\sum y_i}{n} - \frac{\beta \sum x_i}{n} = \frac{997}{12} - 0.941 \frac{1016}{12} = 3.44.$$

Regressiya tənliyi belə alınır: $y = 3.44 + 0.941 x$.

3. Korrelyasiya əmsalı hesablanır: $r = \beta \frac{\sigma_y}{\sigma_x} = \frac{0.941 \cdot 20.8}{22.3} = 0.86$.

4. Əlaqənin orta kvadratik xətası hesablanır:

$S_{y/x} = \frac{n}{n-2} S_y^2 (1 - r^2)$. Xəta ± 12.5 təşkil edir. Bu xətanın qiymətini nəzərə almaqla şəkil 6.7-də əlaqələrin dayanıqlılıq dərəcəsini göstərən iki düz xətt keçirilmişdir. Onlar regressiya xəttinə paraleldir.

Misal 6.2. Minimal 30-sutkaliq (y) və sutkaliq (x) su sərfləri haqda məlumatlara (cədvəl 6.1) əsasən xətti regressiya tənliyinin parametrlərini hesablayın.

Həlli: 1. Hesablamalar köməkçi cədvəl 6.1-dən istifadə etməklə yerinə yetirilir.

Cədvəl 6.1

İkidəyişənli xətti regressiya tənliyinin parametrlərini hesablamaq üçün köməkçi cədvəl

| Nö | x_i | y_i | $\Delta x = (x_i - \bar{x})$ | $\Delta y = (y_i - \bar{y})$ | $(\Delta x)^2$ | $(\Delta y)^2$ | $\Delta x \Delta y$ | $\Delta x + \Delta y$ | $(\Delta x + \Delta y)^2$ |
|----|-------|-------|------------------------------|------------------------------|----------------|----------------|---------------------|-----------------------|---------------------------|
| 1 | 8.53 | 9.53 | -7.43 | -7.36 | 55.20 | 54.17 | 54.68 | -14.79 | 218.74 |
| 2 | 10.5 | 11.0 | -5.46 | -5.85 | 29.81 | 34.22 | 31.94 | -11.31 | 127.92 |
| 3 | 17.0 | 17.6 | 1.04 | 0.71 | 1.08 | 0.50 | 0.74 | 1.75 | 3.06 |
| 4 | 16.1 | 17.9 | 0.14 | 1.01 | 0.02 | 1.02 | 0.14 | 1.15 | 1.32 |
| 5 | 26.0 | 27.9 | 10.04 | 11.01 | 100.8 | 121.2 | 110.5 | 21.05 | 443.10 |
| 6 | 13.4 | 14.4 | -2.56 | -2.45 | 6.55 | 6.00 | 6.27 | -5.01 | 25.10 |
| 7 | 15.3 | 16.0 | -0.66 | -0.89 | 0.44 | 0.79 | 0.59 | -1.55 | 2.44 |
| 8 | 13.0 | 14.0 | -2.96 | -2.89 | 8.76 | 8.35 | 8.55 | -5.85 | 34.22 |
| 9 | 14.6 | 15.4 | -1.36 | -1.49 | 1.85 | 2.22 | 2.03 | -2.85 | 8.12 |
| 10 | 12.9 | 13.3 | -3.06 | -3.59 | 9.36 | 12.89 | 10.99 | -6.65 | 44.22 |
| 11 | 11.4 | 12.3 | -4.56 | -4.59 | 20.79 | 21.07 | 20.93 | -9.15 | 83.72 |

| | | | | | | | | | |
|------|-------|-------|-------|-------|-------|-------|-------|-------|--------|
| 12 | 29.7 | 30.3 | 13.74 | 13.41 | 188.8 | 179.8 | 184.2 | 27.15 | 737.12 |
| 13 | 19.0 | 19.0 | 3.04 | 3.01 | 9.24 | 9.06 | 9.15 | 6.05 | 36.60 |
| Cəm | 207.5 | 219.5 | 0.0 | 0.0 | 423.7 | 451.3 | 440.8 | 0.0 | 1765.6 |
| Orta | 15.96 | 16.89 | | | | | | | |

Nəzarət məqsədli hesablamalar: $\sum(\Delta x)^2 + \sum(\Delta y)^2 + 2\sum \Delta x \Delta y = \sum(\Delta x + \Delta y)^2 \rightarrow 432,7 + 451,3 + 2 \cdot 440,8 = 1765,6 \rightarrow 1765,6 = 1765,6$.

2. Cədvəl 6.1-dən istifadə etməklə xətti regressiya tənliyinin parametrləri hesablanır:

$$\bar{x} = \sum_{i=1}^n x_i / n = 15,96, \bar{y} = \sum_{i=1}^n y_i / n = 16,89;$$

$$\sigma_x^* = \sqrt{\frac{\sum(\Delta x)^2}{n-1}} = \sqrt{\frac{427,7}{12}} = 6,00;$$

$$\sigma_y^* = \sqrt{\frac{\sum(\Delta y)^2}{n-1}} = \sqrt{\frac{451,3}{12}} = 6,13;$$

$$r = \frac{\sum \Delta x \Delta y}{\sqrt{\sum(\Delta x)^2 \sum(\Delta y)^2}} = \frac{440,8}{\sqrt{432,7 \cdot 451,3}} = 0,997;$$

$$a_{y/x} = r \frac{\sigma_y^*}{\sigma_x^*} = 0,997 \frac{6,13}{6,00} = 1,02;$$

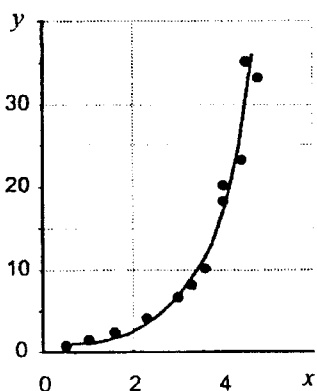
$$b_{y/x} = \bar{y} - a\bar{x} = 16,89 - 1,02 \cdot 15,96 = 0,61;$$

$$y(x) = 1,02x + 0,61.$$

6.4. Qeyri-xətti asılılıqların düzləndirilməsi

Əgər, iki dəyişən kəmiyyət arasında əlaqənin cüt korrelyasiya əmsali sıfıra yaxındırsa, bu onu göstərir ki, onların arasında xətti əlaqə yoxdur. Lakin istisna olunmur ki, Y və X dəyişənləri arasında asılılıq var və o qeyri-xəttidir. Bunu yoxlamaq üçün müşahidə məlumatlarına görə $y = f(x)$ qrafiki qurulur. Əgər, qrafikdə nöqtələr müəyyən bir əyri xətt ətrafında yerləşirsə, onda qeyri-

xətti model (asılılıq) qəbul olunur. Məsələn, əgər, nöqtələr şəkil 6.8-də göstərildiyi kimi yerləşirsə, onda $y = f(x)$ asılılığını aproksimasiya etmək üçün eksponensial tənlikdən istifadə etmək olar:



Şəkil 6.8. $y = ce^{ax}$ asılılığının düzləndirilməmiş qrafiki

$$y = ce^{ax}, \quad (6.15)$$

burada a və c -müşahidə məlumatlarına görə təyin olunan parametrlərdir.

Qeyri-xətti asılılıqların riyazi ifadələrinin parametrləri ən kiçik kvadratlar metoduna görə təyin oluna bilər. Lakin bu hesablamaları sadələşdirmək üçün ilkin riyazi ifadənin xətti tənlik şəklində yazılıması məqsədə uyğundur. Məsələn, yuxarıda göstərilən eksponensial tənliyin (6.15) hər iki tərəfini loqarifmləsək, onda aşağıdakı xətti tənlik alınar:

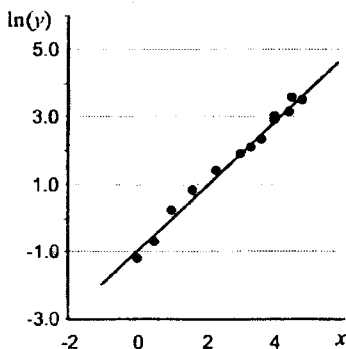
$$\ln(y) = \ln(c) + ax. \quad (6.16)$$

İlkin y və x dəyişənlərini yeniləri ilə əvəz edək: $y^1 = \ln(y)$ və $x^1 = x$. Axırıncı ifadəni aşağıdakı kimi yazaq:

$$y^1 = ax^1 + b \quad (6.17)$$

burada $b = \ln(c)$.

Düstur (6.17)-dən göründüyü kimi, yeni dəyişənlər arasında xətti asılılıq var (şəkil 6.9). Bu asılılığın a və b parametrləri ən kiçik kvadratlar metodu ilə hesablanı bilər (bax paraqraf 6.2-yə). Xətti tənliyin hər iki parametri təyin edildikdən sonra tərsinə çevirmə yerinə yetirilir və ilkin ifadənin (6.15) parametrləri tapılır: $c = e^b$, üst göstəricisi a isə elə düstur (6.17)-dəki rəgressiya əmsalına bərabərdir.



Şəkil 6.9. $y = ce^{ax}$ asılılığının düzləndirilmiş qrafiki

Cədvəl 6.2-də qeyri-xətti asılılıqları düzləndirmək üçün istifadə olunan çevirmələrə misallar verilir.

Cədvəl 6.2

Qeyri-xətti asılılıqları düzləndirmək üçün istifadə olunan çevirmələr

| İlkin asılılıq | Çevirmə | | Xətti tənlik |
|-------------------|----------|----------|-------------------------|
| | Absis | Ordinat | |
| $y=ce$ | x | $\ln(y)$ | $\ln(y)=ax+\ln(c)$ |
| $y=cx^a$ | $\ln(x)$ | $\ln(y)$ | $\ln(y)=a\ln(x)+\ln(c)$ |
| $y=(a/x)+b$ | $1/x$ | y | $y=a(1/x)+b$ |
| $y=x/(ax+b)$ | x | x/y | $(x/y)=ax+b$ |
| $y=c/(kx+m)$ | x | $1/y$ | $(1/y)=(k/c)x+(m/c)$ |

6.5. İki dəyişən kəmiyyət üçün xətti regressiya tənliyinin dəqiqliyinin qiymətləndirilməsi

Müşahidə məlumatlarına görə tərtib edilmiş xətti regressiya tənliyi yalnız etibarlı olduqda, yəni hesablamaları tələb olunan dəqiqliklə yerinə yetirmək üçün yararlı olduqda istifadə edilə bilər.

Artıq qeyd olunduğu kimi, iki dəyişən kəmiyyət arasındaki asılılığın sıxlıq dərəcəsini kəmiyyətcə səciyyələndirmək üçün cüt korrelyasiya əmsalından istifadə olunur. Hidrometeoroloji praktikada cüt korrelyasiya əmsali mütləq qiymətə $0,7$ yə bərabər və ondan böyük olan ($|r| \geq 0,7$) asılılıqlar tətbiq edilir.

Cüt korrelyasiya əmsalının kvadratı, r^2 , determinasiya əmsali adlanır. Bu əmsal müşahidə məlumatlarının (nöqtələrin) orta kəmiyyət, \bar{y} , ətrafında ümumi səpələnməsinin regressiya ilə izah oluna bilən payını səciyyələndirir. Əgər, asılılıq funksionaldırsa, onda nöqtələr regressiya xəttinə nəzərən səpələnmir və onların hamısı bu xətt üzərində yerləşir. Bu o deməkdir ki, orta kəmiyyətə, \bar{y} , nəzərən bütün səpələnmə regressiya ilə izah olunur, yəni $r^2 = 1$. Əgər, $r = 0,7$ olarsa, onda determinasiya əmsali $r^2 = 0,49 \approx 0,50$. Beləliklə, hidrometeorologiyada o asılılıqlardan istifadə olunur ki, regressiya \bar{y} -ə nəzərən səpələnmənin 50% və daha çox hissəsini izah edir.

Regressiya tənliyinin etibarlığını qiymətləndirmək üçün ən geniş istifadə olunan mühüm göstərici cüt korrelyasiya əmsalıdır. Lakin bu yeganə göstərici deyil və bir sıra əlavə göstəricilər də var.

Xətti regressiya tənliyinin standart xətası, $\sigma_{y(x)}$. Faktiki olaraq, bu kəmiyyət nöqtələrin regressiya xəttindən orta kvadratik meyletməsini səciyyələndirir:

$$\sigma_{y(x)} = \sqrt{\sum_{i=1}^n (y_i - \tilde{y}_i)^2 / (n-2)}, \quad (6.18)$$

burada y_i -müşahidə olunmuş qiymət; \tilde{y}_i -reqressiya tənliyinə görə hesablanmış qiymətdir.

Bü düsturdəki $(n - 2)$ parametri sərbəstlik dərəcələri ədədi adlanır.

Sərbəstlik dərəcələri ədədi müşahidələrin sayı, n , ilə müşahidə məlumatlarına görə təyin olunmuş parametrlərin sayının fərqi nə bərabərdir. Xətti reqressiya tənliyində iki bələ parametr var: reqressiya əmsali a və sərbəst hədd, b .

Korrelasiya əmsalından istifadə etməklə düstur (6.18) aşağıdakı kimi yazılı bilər:

$$\sigma_{y(x)} = \sigma_y^* \sqrt{\frac{(1 - r^2)(n - 1)}{(n - 2)}}, \quad (6.19)$$

burada σ_y^* -Y müşahidə sırasının orta kvadratik meyletməsidir.

Bəzən, hesablamalarda $\sqrt{(n - 1)/(n - 2)}$ ifadəsi nəzərə alınmir və daha sadə düstur istifadə olunur:

$$\sigma_{y(x)} = \sigma_y^* \sqrt{1 - r^2}. \quad (6.20)$$

Cüt korrelasiya əmsalının standart xətası, σ_r :

$$\sigma_r = (1 - r^2) / \sqrt{n - 1}. \quad (6.21)$$

Sıra qısa olduqda ($n < 25$) V.N.Romanovski bu düstura düzəlis olunmasını tövsiyə edir:

$$\sigma_r = \frac{1 - r^2}{\sqrt{n - 1}} \sqrt{1 + \frac{11r^2}{2n} + \frac{75r^2 - 13}{2n^2}}. \quad (6.22)$$

Regressiya əmsalının standart xətası, σ_a :

$$\sigma_a = \frac{\sigma_{y(x)}}{\sqrt{\sum_{i=1}^n (x_i - \bar{x})^2}}. \quad (6.23)$$

Bu ifadə düstur (6.19)-u nəzərə almaqla aşağıdakı kimi yazıla bilər:

$$\sigma_a = \frac{\sigma_y^*}{\sigma_x^*} \sqrt{\frac{1-r^2}{n-2}}, \quad (6.24)$$

burada σ_x^* və σ_y^* -müvafiq olaraq X və Y müşahidə sıralarının orta kvadratik meyletmələridir.

Sərbəst həddin standart xətası, σ_b :

$$\sigma_b = \sigma_{y(x)} \sqrt{\sum_{i=1}^n (x_i)^2 / n \sum_{i=1}^n (x_i - \bar{x})^2}, \quad (6.25)$$

və ya düstur (6.19)-u nəzərə almaqla

$$\sigma_b = \sigma_y^* \sqrt{\frac{1-r^2}{n-2}} \sqrt{1 + \left(\frac{\bar{x}}{\sigma_x^*} \right)^2}. \quad (6.26)$$

Hidrometeoroloji tədqiqatlarda istifadə olunan xətti regressiya tənlikləri aşağıdakı şərtləri ödəməlidir:

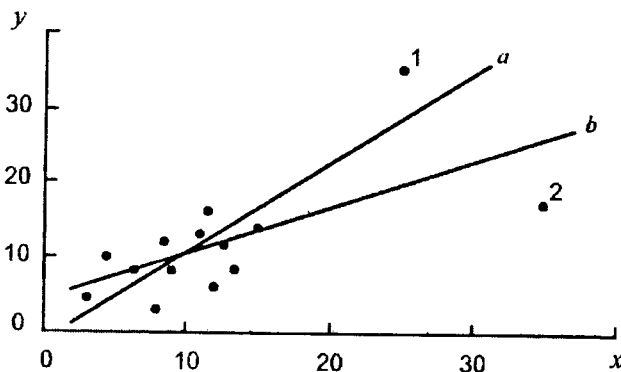
$$n \geq 10; |r| \geq 0,7; |r|/\sigma_r \geq 2; |a|/\sigma_a \geq 2; |b|/\sigma_b \geq 2. \quad (6.27)$$

Axırıncı şərtin ödənilməsi arzuolunan, lakin məcburi deyildir. Bu şərt b parametrinin kiçik qiymətlərində demək olar ki, heç vaxt ödənilmir.

Xətti regressiya tənliyini analiz etdikdə nəzərə almaq lazımdır ki, y_i -nin x_i -yə müvafiq həqiqi qiyməti regressiya tənliyinə görə hesablanmış \tilde{y}_i qiymətindən müəyyən bir ε_i kəmiyyəti qədər fərqlənəcək. Hesab olunur ki, ε_i orta qiyməti sıfır və orta kvadratik meyletməsi $\sigma_{y(x)}$ olan təsadüfi kəmiyyətdir və o normal paylanma qanununa tabedir.

Xətti regressiya tənliklərinin etibarlılığının bu paraqrafda baxılan qiymətləndirilmə sistemi kifayət qədər yaxşı işlənmişdir və əksər hallarda alınmış regressiya tənliklərinin praktik hesab-

lamalar üçün yararlı olub-olmaması haqqında qərar qəbul etməyə imkan verir. Lakin bəzən əlavə təhlilə ehtiyac yaranır. Məsələn, şəkil 6.10-dan görünür ki, empirik nöqtələr qeyri-bərabər paylanır. X dəyişəni əsasən 3-dən 15-ə kimi qiymətlər alır və bu qiymətlər əsas qrup əmələ gətirir. İki nöqtə isə X -in böyük qiymətlərinə uyğundur. Birinci nöqtənin koordinatları $x = 25$, $y = 35$, ikincini isə $x = 35$, $y = 17$ -dir.



Şəkil 6.10. $\tilde{y}(x)$ xətti regressiya əlaqələri
a-2-ci nöqtə nəzərə alınmadan ($r=0.83$);
b-bütün nöqtələr nəzərə alınmaqla ($r=0.66$)

Əsas qrup nöqtələr üçün hesablanmış korrelyasiya əmsali 0,7-dən xeyli kiçikdir ($r = 0,45$). Lakin əsas qrup nöqtələrinə nöqtə 1-i əlavə etdikdə korrelyasiya əmsali kəskin artırır ($r=0.83$). Nöqtə 2 də daxil olmaqla bütün nöqtələrə görə hesablanmış korrelyasiya əmsali yenə də kəskin dəyişir ($r = 0,66$). Bu zaman regressiya xəttinin yeri də əhəmiyyətli dərəcədə dəyişir.

Beləliklə, bir və ya iki nöqtənin əlavə olunması xətti regressiya tənliyinin parametrlərinə kəskin təsir göstərə bilər. Buna görə də yalnız (6.27) şərtlərinin ödənilməsi tələbi səhv qərar qəbul olunması ilə nəticələnə bilər.

Doğrudan da cədvəl 6.3-dən göründüyü kimi, ikinci variantda (nöqtə 2 nəzərə alınmır) (6.27) şərti ödənilir.

Cədvəl 6.3

Şəkil 6.10-da göstərilən asılılıq üçün xətti regressiya tənliyinin parametrləri

| Parametr | I variant (əsas qrup, nöqtə 1 və 2 nəzərə alınmışdır) | II variant (əsas qrup üstəgəl nöqtə 1) | III variant (bütün nöqtələr) |
|--------------------------|--|---|---------------------------------|
| n | 12 | 13 | 14 |
| r | 0,45 | 0,83 | 0,66 |
| a | 0,48 | 1,18 | 0,61 |
| b | 4,86 | -1,34 | 4,10 |
| $\sigma_{y(x)}$ | 3,63 | 4,82 | 6,13 |
| σ_r | 0,24 | 0,096 | 0,17 |
| σ_a | 0,3 | 0,25 | 0,20 |
| σ_b | 3,06 | 3,19 | 3,05 |
| r/σ_2 | 1,88 | 8,54 | 3,88 |
| a/σ_a | 1,60 | 4,72 | 3,05 |
| b/σ_b | 1,59 | 0,42 | 1,34 |
| 6.27 şərtinin ödənilməsi | Ödənilmir | Ödənilir | Ödənilmir |

Bu cür çətinliklərin yaranmasının əsas səbəbi nöqtələrin qeyribərabər paylanmasıdır. Bu isə öz növbəsində bir çox hidrometeoroloji kəmiyyətlərin asimetriyasının böyük olması (xüsusilə qısa sıralar üçün) və müşahidə sırasının reprezentativ olmaması ilə əlaqədardır.

Bu hallarda xətti regressiya tənliyinin iki variantda hesablanması tövsiyə olunur:

- yalnız əsas qrup müşahidə məlumatlarına görə;
- bütün müşahidə məlumatlarına görə .

Əgər, alınmış tənliklərin parametrləri kəskin fərqlənərsə, praktik hesablamalarda onların heç birindən istifadə etmək olmaz. Yalnız əlavə müşahidə məlumatları toplandıqdan sonra baxılan əlaqənin praktik yararlığı haqqında qərar qəbul etmək mümkündür.

6.6. Xətti regressiya tənliyi parametrlərinin etibarlılıq intervalı və əhəmiyyətlilik səviyyəsinin qiymətləndirilməsi

6.6.1. Cüt korrelyasiya əmsalının etibarlılıq intervalı

Korrelyasiya əmsalının müşahidə sırasına görə təyin olunmuş qiyməti təsadüfi kəmiyyətdir. Əgər, korrelyasiya əmsalının qiyməti çox da böyük deyilsə, ($r \leq 0,4$) və sıranın uzunluğu 40 ildən azdırsa ($n < 40$), onda korrelyasiya əmsalının seçmə qiymətləri normal qanunla yaxşı aproksimasiya olunur. Bu əmsalın orta kvadratik xətası, σ_r , düstur (6.21)-ə görə hesablanır. Korrelyasiya əmsalının həqiqi qiyməti, r , üçün etibarlılıq intervalı aşağıdakı kimi yazılır:

$$r^* - t'_{1-\alpha} \sigma_r^* \leq r < r^* + t'_{1-\alpha} \sigma_r^*, \quad (6.28)$$

burada r^* -korrelyasiya əmsalının seçmə qiyməti;
 $t'_{1-\alpha}$ - standart normal payланmanın ikitərəfli əhəmiyyətlilik səviyyəsinə, 2α , uyğun kvantilidir (cədvəl 3.3).

Misal 6.3. İki dəyişən kəmiyyət arasında xətti regressiyanın korrelyasiya əmsalı ($r^* = 0,82$), korrelyasiya əmsalının orta kvadratik meyletməsi ($\sigma_r^* = 0,096$), sıraların uzunluğu ($n=13$ il) olarsa, korrelyasiya əmsalının 90%-li etibarlılıq intervalını tapın.

Həlli: 1. İkitərəfli əhəmiyyətlilik səviyyəsindən hansının qəbul edilmiş etibarlılıq intervalına uyğun olduğu təyin edilir:
 $2\alpha = 1 - 0,90 = 0,10$ (və ya 10%).

2. Əhəmiyyətlilik səviyyəsi (α) tapılır: $\alpha = 0,10/2 = 0,05$ (və ya 5%)

3. Cədvəl 3.3-ə əsasən $t'_{1-\alpha}$ kvantili tapılır: $t'_{1-\alpha} = t'_{95} = 1,64$.

4. r üçün etibarlılıq intervalı hesablanır:

$$r^* - t'_{1-\alpha} \sigma_r^* \leq r < r^* + t'_{1-\alpha} \sigma_r^*$$

$$0,82 - 1,64 \cdot 0,096 \leq r < 0,82 + 1,64 \cdot 0,096 \quad \text{və} \quad 0,66 \leq r < 0,98.$$

Korrelyasiya əmsalı böyük və sıranın uzunluğu qısa olduqda ($r > 0,4$; $n < 40$), bu əmsalın seçmə qiymətləri normal paylanmadan uzaqlaşır və mənfi asimetriya ilə səciyyələnir.

Belə hallarda korrelyasiya əmsalının etibarlılıq intervalını təyin etmək üçün Fişerin Z -çevirməsi tətbiq olunur. Z -statistika ilə korrelyasiya əmsalı arasında funksional asılılıq var:

$$Z = \frac{1}{2} \ln \left(\frac{1+r}{1-r} \right). \quad (6.29)$$

Korrelyasiya əmsalından fərqli olaraq, Z -statistika hətta sıralar qısa olduqda belə normal paylanır. Z -statistikianın orta kvadratik meyletməsi aşağıdakı düstura görə hesablanır:

$$\sigma_z = 1 / \sqrt{n - 3}. \quad (6.30)$$

Fişer çevirməsindən istifadə etməklə korrelyasiya əmsalının etibarlılıq intervalı aşağıdakı ardıcılıqla təyin olunur:

1. Əvvəlcə korrelyasiya əmsalının seçmə qiyməti, r^* , hesablanır.
2. Düstur (6.29)-a görə Z -statistikianın empirik qiyməti, Z^* , hesablanır.
3. Düstur (6.30)-a görə σ_z tapılır.
4. Z -statistika üçün etibarlılıq intervalı tərtib edilir:

$$Z^* - t_{1-\alpha} \sigma_z^* \leq Z \leq Z^* + t_{1-\alpha} \sigma_z^*. \quad (6.31)$$

5. Korrelyasiya əmsalı üçün etibarlılıq intervalı tərtib edilir. Bunuñ üçün düstur (6.29)-dan istifadə etməklə Z -dən r -ə keçilir:

$$r = (e^{2z} - 1) / (e^{2z} + 1). \quad (6.32)$$

Misal 6.4. İki dəyişən kəmiyyət arasında xətti rəgressiyanın korrelyasiya əmsali ($r^* = 0,82$), korrelyasiya əmsalının orta kvadratik meyletməsi ($\sigma_r^* = 0,096$), sıraların uzunluğu ($n = 13$ il) olarsa, korrelyasiya əmsalının 90%-li etibarlılıq intervalını tapın (Fişerin Z -çevirməsini tətbiq edin).

Həlli: 1. Z və r arasında funksional əlaqə olduğunu nəzərə alaraq, Z^* -in empirik qiyməti hesablanır:

$$Z^* = \frac{1}{2} \ln \left(\frac{1+r}{1-r} \right) = \frac{1}{2} \ln \left(\frac{1+0,82}{1-0,82} \right) = 1,157.$$

$$2. \sigma_z^* = 1 / \sqrt{n - 3} = 1 / \sqrt{13 - 3} = 0,316.$$

3. Z üçün etibarlılıq intervalı hesablanır:

$$Z^* - t_{1-\alpha}\sigma^* \leq Z < Z^* + t_{1-\alpha}\sigma^*$$

$$(1,57 - 1,64 \cdot 0,316) \leq Z < (1,57 + 1,64 \cdot 0,316) \text{ və } 0,639 \leq Z < 1,675.$$

4. Korrelyasiya əmsalı üçün etibarlılıq intervalı hesablanır.

Bunun üçün Z-dən r-ə keçmək lazımdır:

$$r = (e^{2z} - 1)/(e^{2z} + 1)$$

$$\frac{\exp(2 \cdot 0,639) - 1}{\exp(2 \cdot 0,639) + 1} \leq r < \frac{\exp(2 \cdot 1,675) - 1}{\exp(2 \cdot 1,675) + 1} \text{ və } 0,56 \leq r < 0,93.$$

Korrelyasiya əmsalının seçmə qiymətinə görə X və Y dəyişən kəmiyyətləri arasında xətti asılılığın statistik əhəmiyyətliliyi də qiymətləndirilə bilər. Əgər,

$$\frac{|r^*|}{\sigma_r^*} > t_{1-\alpha} \quad (6.33)$$

şərti ödənilirsə, onda baxılan asılılıq statistik baxımdan əhəmiyyətli hesab olunur. Bu şərtin ödənilməməsi isə o deməkdir ki, X və Y arasında xətti asılılıq yoxdur.

6.6.2. Spirmenin ranq korrelyasiya əmsalı

Əgər, normal paylanmadan kəskin fərqlənən y_1, y_2, \dots, y_n və x_1, x_2, \dots, x_n sıraları arasında asılılığın sıxlıq dərəcəsini qiymətləndirmək tələb olunursa, onda Spirmenin ranq korrelyasiya əmsalından, r_s , istifadə edilə bilər:

$$r_s = 1 - \frac{6 \sum_{i=1}^{i=n} \Delta_i^2}{n(n^2 - 1)}, \quad (6.34)$$

burada n - sıraların uzunluğu; Δ_i -artma qaydasında düzülmüş sıralar üçün y_i və x_i cütünün ranqlar fərqidir.

Cüt korrelyasiya əmsalı kimi, ranq korrelyasiya əmsalı üçün də aşağıdakı şərt ödənilir:

$$-1 \leq r_s \leq +1. \quad (6.35)$$

Əgər,

$$|r_s^*| > (r_s)_\alpha \quad (6.36)$$

şərti ödənilirsə, onda belə hesab olunur ki, X və Y dəyişənləri arasında əlaqə var. Burada $(r_s)_\alpha$ birtərəfli əhəmiyyətlilik səviyyəsində, α , ranq korrelyasiya əmsalının böhran qiymətidir. Bu qiymətlər ($n \leq 30$ olduqda) cədvəl 6.4-də verilir.

Cədvəl 6.4

Spirmenin ranq korrelyasiya əmsalının böhran qiymətləri, r_s ($n \leq 30$ olduqda)

| n | Əhəmiyyətlilik səviyyəsi, α % | | | | |
|-----|--------------------------------------|--------|--------|--------|--------|
| | 0.5 | 1 | 2.5 | 5 | 10 |
| 5 | | 0.9000 | 0.9000 | 0.8000 | 0.7000 |
| 6 | 0.9429 | 0.8857 | 0.8286 | 0.7714 | 0.6000 |
| 7 | 0.8929 | 0.8571 | 0.7450 | 0.6786 | 0.5357 |
| 8 | 0.8571 | 0.8095 | 0.6905 | 0.5952 | 0.4762 |
| 9 | 0.8167 | 0.7667 | 0.6833 | 0.5833 | 0.4667 |
| 10 | 0.7818 | 0.7333 | 0.6364 | 0.5515 | 0.4424 |
| 11 | 0.7545 | 0.7000 | 0.6091 | 0.5273 | 0.4182 |
| 12 | 0.7273 | 0.6713 | 0.5804 | 0.4965 | 0.3986 |
| 13 | 0.6978 | 0.6429 | 0.5549 | 0.4780 | 0.3791 |
| 14 | 0.6747 | 0.6220 | 0.5341 | 0.4593 | 0.3626 |
| 15 | 0.6536 | 0.6000 | 0.5179 | 0.4429 | 0.3500 |
| 16 | 0.6324 | 0.5824 | 0.5000 | 0.4265 | 0.3382 |
| 17 | 0.6152 | 0.5637 | 0.4853 | 0.4118 | 0.3260 |
| 18 | 0.5975 | 0.5480 | 0.4716 | 0.3994 | 0.3148 |
| 19 | 0.5825 | 0.5333 | 0.4579 | 0.3895 | 0.3070 |
| 20 | 0.5684 | 0.5203 | 0.4451 | 0.3789 | 0.2977 |
| 21 | 0.5545 | 0.5078 | 0.4351 | 0.3688 | 0.2909 |
| 22 | 0.5426 | 0.4963 | 0.4241 | 0.3597 | 0.2829 |
| 23 | 0.5306 | 0.4852 | 0.4150 | 0.3518 | 0.2767 |
| 24 | 0.5200 | 0.4748 | 0.4061 | 0.3435 | 0.2704 |
| 25 | 0.5100 | 0.4654 | 0.3977 | 0.3362 | 0.2646 |
| 26 | 0.5002 | 0.4564 | 0.3894 | 0.3299 | 0.2588 |
| 27 | 0.4915 | 0.4481 | 0.3822 | 0.3236 | 0.2540 |
| 28 | 0.4828 | 0.4401 | 0.3749 | 0.3175 | 0.2490 |
| 29 | 0.4744 | 0.4320 | 0.3685 | 0.3113 | 0.2443 |
| 30 | 0.4665 | 0.4251 | 0.3620 | 0.3059 | 0.2400 |

Əgər, $n \geq 30$ olarsa, onda $(r_s \sqrt{n-1})$ kəmiyyəti standart normal paylanması ilə yaxşı aproksimasiya olunur. Əgər,

$$|r_s^*| > \frac{t'_{1-\alpha}}{\sqrt{n-1}}, \quad (6.37)$$

şərti ödənilirsə, bu o deməkdir ki, X və Y dəyişənləri arasında statistik əhəmiyyətli xətti əlaqə var. Burada $t'_{1-\alpha}$ -birtərəfli əhəmiyyətlilik səviyyəsində, α , standart normal paylanmasıın kvantilidir.

Misal 6.5. İki müxtəlif çayın orta illik su sərfələri (y_i və x_i) cədvəl 6.5-də verilmişdir. Paralel müşahidələr dövrü 1959-1988-ci illəri əhatə edir və sıraların uzunluğu 30 ildir. Spirmenin ranq korrelyasiya əmsalını hesablayın və $\alpha=5\%$ olduqda onun əhəmiyyətliliyini qiymətləndirin.

Həlli: 1. y_i və x_i sıraları artan qaydada düzülür. Nəticələr cədvəl 6.5-in 4 və 5-ci sütunlarına yazılır.

2. Artan sıradə hər bir y_i və x_i qiymətinə sıra nömrəsi (ranq) verilir: ən kiçik sərfə birinci ranq, kəmiyyətinə görə növbəti sərfə ikinci ranq və s.

3. İlk sıraların hər bir su sərfinin qarşısında uyğun ranqlar 6-ci və 7-ci sütunlara yazılır.

4. y_i və x_i ranqlarının fərqi hesablanır- Δ (8-ci sütun).

5. Ranqlar fərquinin kvadratları hesablanır- Δ^2 (9-cu sütun).

6. Ranqlar fərquinin kvadratları cəmi təyin edilir: $\sum_{i=1}^{i=n} \Delta_i^2 = 470$.

7. Ranq korrelyasiya əmsalı hesablanır:

$$r_s = 1 - \frac{6 \sum_{i=1}^{i=n} \Delta_i^2}{n(n^2 - 1)} = 1 - \frac{6 \cdot 470}{30(30^2 - 1)} = 0,895.$$

8. Cədvəl 6.4-dən ranq korrelyasiya əmsalının böhran qiyməti təyin edilir: $n=30$ və $\alpha=5\%$ olduqda $(r_s)_{5\%}=0,306$ alınır.

9. Beləliklə: $(|r_s^*| = 0,895) > ((r_s)_{5\%} = 0,306)$ bərabərsizliyi alınır və deməli y_i və x_i arasındaki asılılıq statistik baxımdan əhəmiyyətlidir. Bu əlaqə kifayət qədər sıxdır, belə ki, $r_s^* > 0,7$.

Adətən, $n \leq 30$ olduqda hesablamlar yuxarıdakı kimi yerinə yetirilir. Lakin, baxılan misalda $n=30$ olduğunudan, korrelyasiya əmsalının əhəmiyyətliliyi başqa yolla da qiymətləndirilə bilər. Bunun üçün cədvəl 3.3-dən $\alpha = 5\%$ olduqda normal paylanmasıın

kvantili təyin edilir: $t'_{1-\alpha} = t'_{95\%} = 1,64$. Sonra, $|r_S^*| > \frac{t'_{1-\alpha}}{\sqrt{n-1}}$ bərabərsizliyindən $\frac{t'_{95\%}}{\sqrt{n-1}} = \frac{1,64}{\sqrt{30-1}} = 0,305$ alınır.

Yekunda, praktik olaraq eyni nəticəyə gəlinir:

$$(|r_S^*| = 0,895) > ((r_S)_{5\%} = 0,305).$$

Cədvəl 6.5

Ranq korrelyasiya əmsalının hesablanması

| № | İlkin sıralar | | Artan sıralar | | Ranq | | Δ | Δ^2 |
|-----|---------------|-------|---------------|-------|-------|-------|----------|------------|
| | y_i | x_i | y_i | x_i | y_i | x_i | | |
| (1) | (2) | (3) | (4) | (5) | (6) | (7) | (8) | (9) |
| 1 | 15.2 | 79.0 | 8.32 | 40.4 | 16 | 18 | -2 | 4 |
| 2 | 11.6 | 59.5 | 9.29 | 46.6 | 9 | 8 | 1 | 1 |
| 3 | 17.3 | 84.3 | 10.4 | 47.6 | 22 | 22 | 0 | 0 |
| 4 | 20.7 | 95.5 | 10.5 | 48.2 | 29 | 26 | 3 | 9 |
| 5 | 10.4 | 46.6 | 10.9 | 53.2 | 3 | 2 | 1 | 1 |
| 6 | 11.3 | 48.2 | 11.3 | 54.0 | 6 | 4 | 2 | 4 |
| 7 | 16.3 | 69.0 | 11.4 | 54.6 | 19 | 11 | 8 | 64 |
| 8 | 22.3 | 105 | 11.5 | 59.5 | 30 | 30 | 0 | 0 |
| 9 | 16.1 | 75.0 | 11.6 | 61.6 | 18 | 15 | 3 | 9 |
| 10 | 14.9 | 78.8 | 12.8 | 66.1 | 15 | 17 | -2 | 4 |
| 11 | 15.6 | 72.3 | 13.0 | 69.0 | 17 | 13 | 4 | 16 |
| 12 | 10.5 | 53.2 | 13.8 | 69.9 | 4 | 5 | -1 | 1 |
| 13 | 13.0 | 54.0 | 14.3 | 72.3 | 11 | 6 | 5 | 25 |
| 14 | 8.32 | 40.4 | 14.3 | 72.5 | 1 | 1 | 0 | 0 |
| 15 | 9.29 | 47.6 | 14.9 | 75.0 | 2 | 3 | -1 | 1 |
| 16 | 12.8 | 66.1 | 15.2 | 77.6 | 10 | 10 | 0 | 0 |
| 17 | 11.4 | 54.6 | 15.6 | 78.8 | 7 | 7 | 0 | 0 |
| 18 | 14.3 | 69.9 | 16.1 | 79.0 | 13 | 12 | 1 | 1 |
| 19 | 18.7 | 99.8 | 16.3 | 79.1 | 24 | 28 | -4 | 16 |
| 20 | 19.8 | 94.9 | 16.6 | 79.2 | 27 | 25 | 2 | 4 |
| 21 | 10.9 | 61.6 | 17.0 | 80.1 | 5 | 9 | -4 | 16 |
| 22 | 11.5 | 72.5 | 17.3 | 84.3 | 8 | 14 | -6 | 36 |
| 23 | 18.7 | 87.6 | 17.9 | 87.6 | 25 | 23 | 2 | 4 |
| 24 | 16.6 | 77.6 | 18.7 | 93.7 | 20 | 16 | 4 | 16 |
| 25 | 18.7 | 79.2 | 18.7 | 94.9 | 26 | 20 | 6 | 36 |
| 26 | 20.2 | 93.7 | 18.7 | 95.5 | 28 | 24 | 4 | 16 |
| 27 | 14.3 | 79.1 | 19.8 | 98.4 | 14 | 19 | -5 | 25 |
| 28 | 17.9 | 98.4 | 20.2 | 99.8 | 23 | 27 | -4 | 16 |
| 29 | 17.0 | 101 | 20.7 | 101 | 21 | 29 | -8 | 64 |
| 30 | 13.8 | 80.1 | 22.3 | 105 | 12 | 21 | -9 | 81 |
| Cəm | | | | | | | 0 | 470 |

6.6.3. Regressiya əmsalının etibarlılıq intervalı

Əgər, fərz etsək ki, müşahidə məlumatlarının regressiya xətti-nə nəzərən səpələnməsi normal paylanma qanununa uyğundur, onda regressiya əmsalı üçün etibarlılıq intervalı aşağıdakı kimi yazıla bilər:

$$a^* - t_{1-\alpha} \sigma_a \leq a < a^* + t_{1-\alpha} \sigma_a, \quad (6.38)$$

burada a^* -regressiya əmsalının düstur (6.7) və ya (6.9)-a görə hesablanmış empirik qiyməti; σ_a - regressiya əmsalının düstur (6.23) və ya (6.24)-ə görə təyin olunmuş standart xətası; $t'_{1-\alpha}$ - Student paylanmasıın (Əlavə 5) kvantilidir ($v = n - 2$ və əhəmiyyətlilik səviyyəsi 2α olduqda).

Misal 6.6. İki dəyişən kəmiyyət arasında xətti regressiya tənliyinin regressiya əmsali $a=1.18$, regressiya əmsalının standart xətası $\sigma_a=0.25$ və sıranın uzunluğu $n=13$ il olarsa, regressiya əmsalının 90%-li etibarlılıq intervalını təyin edin.

Həlli: 1. İkitərəfli əhəmiyyətlilik səviyyəsindən hansının qəbul edilmiş etibarlılıq intervalına uyğun olduğu təyin edilir: $2\alpha=1 - 0.90=0.10$ (və ya 10%).

2. **a** təyin edilir: $\alpha=0.10/2=0.05$ (və ya 5%).
3. Əlavə 5-dən $v = 13 - 2 = 11$ olduqda $t'_{1-\alpha}$ kvantili tapılır: $t'_{1-\alpha} = t'_{95} = 1.80$.

4. **a** üçün etibarlılıq intervalı hesablanır:

$$a^* - t_{1-\alpha} \sigma_a \leq a < a^* + t_{1-\alpha} \sigma_a \\ 1.18 - 1.80 \cdot 0.25 \leq a < 1.18 + 1.80 \cdot 0.25 \text{ və } 0.75 \leq a < 1.63.$$

Regressiya əmsalının statistik əhəmiyyətliliyi də qiymətləndirilə bilər. Əgər, aşağıdakı şərt ödənilirsə, onda hesab olunur ki, regressiya əmsalı statistik əhəmiyyətlidir:

$$\left| t_\alpha^* \right| > t_{1-\alpha}, \quad (6.39)$$

burada t_α^* -Student statistikasının empirik qiymətidir və

aşağıdakı düstura görə təyin olunur:

$$t_a^* = b^* / \sigma_b \quad (6.40)$$

6.6.4. Sərbəst həddin interval üzrə qiymətləndirilməsi

Fərz etsək ki, müşahidə məlumatları regressiya xəttinə nəzərən normal qanuna müvafiq səpələnir, onda regressiya tənliyinin sərbəst həddi üçün etibarlılıq intervalı aşağıdakı kimi yazılı bilər:

$$b^* - t_{1-\alpha} \sigma_b \leq b < b^* + t_{1-\alpha} \sigma_b, \quad (6.41)$$

burada b^* -sərbəst həddin düstur (6.8)-ə görə təyin olunmuş empirik qiyməti; σ_b - sərbəst həddin düstur (6.25) və ya (6.26)-ya görə hesablanmış standart xətası; $t_{1-\alpha}$ -Styudent paylanmasıın (Əlavə 5) kvantilidir ($v = n - 2$ və əhəmiyyətlilik səviyyəsi 2α olduqda).

Sərbəst həddin statistik əhəmiyyətliliyi aşağıdakı bərabərsizliyə görə qiymətləndirilir:

$$|t_b^*| > t'_{1-\alpha}, \quad (6.42)$$

burada t_b^* - Styudent statistikasının empirik qiymətidir və aşağıdakı düstura görə təyin olunur:

$$t_b^* = b^* / \sigma_b. \quad (6.43)$$

Əgər, (6.42) bərabərsizliyi ödənilmirsə, onda regressiya tənliyinin sərbəst həddi statistik əhəmiyyətli deyil. Bu halda X və Y kəmiyyətləri arasında asılılıq $\tilde{y}_i = ax_i + b$ ifadəsi ilə yox, $\tilde{y}_i = ax_i$ ifadəsi ilə aproksimasiya olunmalıdır.

Misal 6.7. İki dəyişən kəmiyyət arasında xətti regressiya tənliyinin sərbəst həddi $b = -1.34$, sərbəst həddin standart xətası $\sigma_b=3,19$ və sıranın uzunluğu $n=13$ il olarsa, sərbəst həddin statistik əhəmiyyətliliyini qiymətləndirin (əhəmiyyətlilik səviyyəsi $2\alpha = 10\%$ qəbul olunub).

Həlli: 1. Styudent statistikasının empirik qiyməti hesablanır:

$$t_b^* = b^*/\sigma_b = |-1,34/3,19| = 0,42.$$

2. Əlavə 5-dən $v = 13 - 2 = 11$ olduqda $t_{1-\alpha}$ kvantili tapılır:
 $t_{1-\alpha} = t_{95} = 1,80$.

3. $0,42 < 1,80$, yəni $t_b^* < t_{1-\alpha}$. Başqa sözlə, b əmsalı statistik baxımdan əhəmiyyətsizdir, yəni X və Y arasında asılılığın aproksimasiyası üçün $\tilde{y}_i = ax_i + b$ bərabərliyi tövsiyə oluna bilər ($b=0$).

6.7. Xətti regressiya tənliyinin etibarlılıq intervalı və əhəmiyyətliliyinin qiymətləndirilməsi

Xətti regressiya tənliyi istifadə edildikdə ixtiyari x_k qiymətinə $\tilde{y}_k = ax_k + b$ qiyməti uyğun gəlir. İlkin müşahidə məlumatları seçmə olduğuna görə regressiya xəttinin vəziyyəti müəyyən xəta ilə təyin olunur. Y dəyişəninin həqiqi qiyməti, $y_{k,0}$, təsadüfi kəmiyyətdir. Onun riyazi gözləməsi \tilde{y}_i -yə bərabərdir və standart meyletməsi isə aşağıdakı düstura görə hesablanır:

$$\sigma_{reqr} = \sigma_{y(x)} \sqrt{\frac{1}{n} + \frac{(x_k - \bar{x})^2}{\sum (x_i - \bar{x})^2}} = \sigma_{y(x)} \sqrt{\frac{1}{n} + \frac{(x_k - \bar{x})^2}{S_x^2(n-1)}}, \quad (6.44)$$

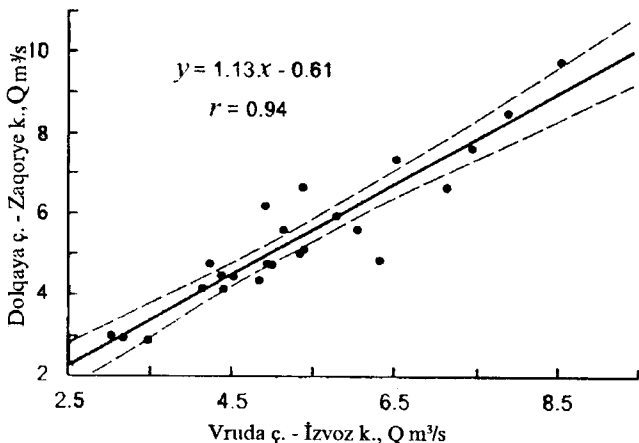
burada $\sigma_{y(x)}$ -xətti regressiya tənliyinin düstur (6.19) və ya (6.20)-yə görə təyin edilmiş standart xətası; S_x - X sırasının orta kvadratik meyletməsi; \bar{x} - X sırasının orta qiyməti; n -sıraların uzunluğuudur.

Düstur 6.44-dən göründüyü kimi, $x_k = \bar{x}$ olduqda σ_{reqr} kəmiyyəti minimal qiymət alır, və x_k hər iki istiqamətdə (çoxalma və azalma) \bar{x} -dan uzaqlaşdıqca, əksinə, σ_{reqr} artır. Başqa sözlə, $(x_k - \bar{x})$ fərqi artdıqca, verilən x_k qiymətinə görə $\tilde{y}_{k,0}$ qiymətinin hesablanması xətası da artır.

Düstur 6.44-dən istifadə etməklə regressiya tənliyi üçün etibarlılıq intervalı təyin oluna bilər (Şəkil 6.11):

$$\tilde{y}_{k,0} = \tilde{y}_k \pm t'_{1-\alpha} \sigma_{reqr} \quad (6.45)$$

burada $\tilde{y}_k = ax_k + b$; $t'_{1-\alpha}$ -Styudent paylanmasıının kvantilidir ($v = n - 2$ və əhəmiyyətlilik səviyyəsi 2α olduqda).



Şəkil 6.11. Çayların orta illik su sərfələri arasında əlaqə qrafiki (qırıq xətlər regressiya tənliyi üçün 95%-li etibarlılıq intervallarına uyğundur).

Xətti regressiyanın statistik əhəmiyyətliliyini yoxlamaq üçün F-statistikadan da istifadə olunur:

$$F_{y(x)}^* = \frac{\sum_{i=1}^n (\tilde{y}_i - \bar{y})^2}{\sum_{i=1}^n (y_i - \bar{y}_i)^2 / (n-2)} = \frac{(n-1) S_y^2 r^2}{\sigma_{y(x)}^2}, \quad (6.46)$$

burada $\sigma_{y(x)}$ -xətti regressiya tənliyinin düstur (6.23) və ya (6.24)-ə görə təyin olunmuş standart xətası; S_y - Y sırasının orta kvadratik meyletməsi; r - korrelyasiya əmsalı; n - sıraların uzunluğuudur.

Aşağıdakı bərabərsizlik ödənilidikdə baxılan əlaqə statistik

əhəmiyyətli sayılır:

$$F_{y(x)}^* > F_{1-\alpha}, \quad (6.47)$$

burada $F_{1-\alpha}$ - α əhəmiyyətlilik səviyyəsində Fişer statistikasının nəzəri qiymətidir (Əlavə 6).

F -statistikasının empirik qiyməti, $F_{y(x)}^*$, nəzəri qiymətdən, $F_{1-\alpha}$, 4-5 dəfə böyük olduqda xətti regressiya tənliyindən praktik hesablamalarda istifadə etmək olar ($\alpha = 5 - 10\%$).

6.8. Coxhədli xətti korrelyasiya

Hidrometeoroloji hadisə və proseslər çoxsaylı amillərin təsiri nəticəsində formalaşır. Bu amillərin bəziləri baxılan hadisə və prosesə daha güclü, bəziləri isə nisbətən zəif təsir göstərir. Hidrometeoroloji kəmiyyətlərin hesablanması və proqnozunda çox zaman yalnız bir effektiv amil nəzərə alınır. Belə yanaşma bir tərəfdən bir çox kəmiyyət göstəriciləri haqqında məlumatların olmaması ilə, digər tərəfdən isə texniki problemlərlə əlaqədardır.

Aydındır ki, yalnız bir göstərici (prediktor) çoxamilli hadisəni tam şəkildə səciyyələndirə bilməz. Məsələn, dağlıq rayonlar üçün atmosfer yağıntıları, buxarlanması, havanın temperaturu, illik axım və s. ilə ərazinin və ya sutoplayıcının orta hündürlüyü arasında asılılıqdan geniş istifadə olunur. Bu kəmiyyətlərin təyini dəqiqliyini artırmaq üçün hesablama düsturlarına əlavə göstəricilər daxil edilməlidir. Bu məqsədlə çoxhədli xətti korrelyasiya aparatından istifadə olunur. Bu aparat iki dəyişən kəmiyyət arasında xətti korrelyasiya metodunun əsas müddəalarını üç və daha çox dəyişənə tətbiq etməyə imkan verir.

Tutaq ki, Y dəyişən kəmiyyəti ilə onun qiymətlərinə təsir göstərən X_1, X_2, \dots, X_m kəmiyyətləri arasında çoxhədli xətti regressiya tənliyini tərtib etmək tələb olunur. Bu tənliyin parametrləri ən kiçik kvadratlar metoduna görə təyin olunur və tənlik aşağıdakı kimi yazılırlar:

$$(y - \bar{y}) = a_1(x_1 - \bar{x}_1) + a_2(x_2 - \bar{x}_2) + \dots + a_m(x_m - \bar{x}_m), \quad (6.48)$$

burada a_1, a_2, \dots, a_m -reqressiya əmsalları; $\bar{y}, \bar{x}_1, \bar{x}_2, \dots, \bar{x}_m$ -müvafiq olaraq asılı olmayan dəyişən və prediktorların (asılı dəyişənlərin) orta kəmiyyəti; m - prediktorların sayıdır.

Qarşıya qoyulan məsələni həll etmək üçün normal tənliklər sistemi a_1, a_2, \dots, a_m əmsallarına nəzərən həll olunmalıdır. Adətən bu məsələ kompyuterdə xətti cəbrin ədədi metodlarının istifadəsi ilə həll edilir. Prediktorların sayı iki olduqda baxılan məsələnin analitik həlli Kramer metodu ilə də alına bilər. Bu metoda görə a_j əmsallarını təyin etmək üçün sistemin baş determinanti, D, hesablanmalıdır:

$$D = \begin{vmatrix} 1 & r_{0,1} & r_{0,2} & r_{0,3} \dots r_{0,j} \dots r_{0,m} \\ r_{1,0} & 1 & r_{1,2} & r_{1,3} \dots r_{1,j} \dots r_{1,m} \\ r_{2,0} & r_{2,1} & 1 & r_{2,3} \dots r_{2,j} \dots r_{2,m} \\ r_{3,0} & r_{3,1} & r_{3,2} & 1 \dots r_{3,j} \dots r_{3,m} \\ \cdot & \cdot & \cdot & \cdot \\ \cdot & \cdot & \cdot & \cdot \\ \cdot & \cdot & \cdot & \cdot \\ r_{i,0} & r_{i,1} & r_{i,2} & r_{i,3} \dots r_{i,j} \dots r_{i,m} \\ \cdot & \cdot & \cdot & \cdot \\ \cdot & \cdot & \cdot & \cdot \\ \cdot & \cdot & \cdot & \cdot \\ r_{m,0} & r_{m,1} & r_{m,2} & r_{m,3} \dots r_{m,j} \dots 1 \end{vmatrix} \quad (6.49)$$

burada r_{ij} -dəyişənlər arasında cüt korrelyasiya əmsallarıdır. Məsələn, $r_{0,3}$ -asılı dəyişən və üçüncü prediktor arasında, $r_{2,1}$, isə

ikinci və birinci prediktorlar arasında, korrelyasiya əmsalıdır. Qeyd etmək lazımdır ki, $r_{0,3} = r_{3,0}$ və $r_{2,1} = r_{1,2}$. Bu determinantın əsas diaqonalında korrelyasiya əmsalları vahidə bərabərdir, çünkü $r_{0,0} = r_{1,1} = r_{2,2} = \dots = r_{m,m} = 1$.

Regressiya əmsalları aşağıdakı ifadəyə görə təyin olunur:

$$a_j = -(-1)^j \frac{\sigma_y}{\sigma_{x,j}} \frac{D_{0,j}}{D_{0,0}}, \quad (6.50)$$

burada σ_y -asılı olmayan dəyişənin orta kvadratik meyletməsi; $\sigma_{x,j}$ - j sayılı prediktorun orta kvadratik meyletməsi; $D_{0,0}$ - sistemin baş determinantı, D, sıfırıncı sətir və sıfırıncı sütunu silməklə alınan minor, $D_{0,j}$ - baş determinantdan sıfırıncı sətir və j sayılı sütunu silməklə alınan minordur.

Dəyişən kəmiyyətlərin sayı üç olduqda (asılı olmayan kəmiyyət və iki prediktor) hesablamalar aşağıdakı ardıcılıqla yerinə yetirilir:

$$D = \begin{vmatrix} 1 & r_{0,1} & r_{0,2} \\ r_{1,0} & 1 & r_{1,2} \\ r_{2,0} & r_{2,1} & 1 \end{vmatrix}; \quad (6.51)$$

$$D_{0,0} = \begin{vmatrix} 1 & r_{1,2} \\ r_{2,1} & 1 \end{vmatrix} = 1 - r_{2,1}r_{1,2} = 1 - r_{1,2}^2; \quad (6.52)$$

$$D_{0,1} = \begin{vmatrix} r_{1,0} & r_{1,2} \\ r_{2,0} & 1 \end{vmatrix} = r_{1,0} - r_{2,0}r_{1,2}; \quad (6.53)$$

$$D_{0,2} = \begin{vmatrix} r_{1,0} & 1 \\ r_{2,0} & r_{2,1} \end{vmatrix} = r_{1,0}r_{2,1} - r_{2,0}. \quad (6.54)$$

Regressiya əmsallarını hesablamaq üçün düstur (6.50)-də (6.52) və (6.54) ifadələri nəzərə alınır:

$$a_1 = + \frac{\sigma_y}{\sigma_{x,1}} \frac{(r_{1,0} - r_{2,0}r_{1,2})}{1 - r_{1,2}^2}; \quad a_2 = - \frac{\sigma_y}{\sigma_{x,2}} \frac{(r_{1,0}r_{2,1} - r_{2,0})}{1 - r_{1,2}^2}.$$

Hazırda çoxhədli regressiya tənliklərinin parametrlərini çox tez və dəqiq hesablamağa imkan verən kompyuter proqramları işlənmişdir. Microsoft Excel elektron cədvəllərinin analiz paketi nə belə proqram daxil edilmişdir.

Çoxhədli xətti korrelyasiyada əlaqənin sıxlığı cüt xətti korrelyasiyada olduğu kimi korrelyasiya əmsalına görə qiymətləndirilir. Bu əmsal ümumi korrelyasiya əmsalı adlanır:

$$R = \sqrt{1 - \frac{D}{D_{0,0}}}. \quad (6.55)$$

Ümumi korrelyasiya əmsalı cüt korrelyasiya əmsalından fərqli olaraq yanız “0” və “+1” arasında qiymətlər alır. Bu əmsalın standart xətası aşağıdakı düstura görə hesablanır:

$$\sigma_R = \frac{1 - R^2}{\sqrt{n - m - 1}}, \quad (6.56)$$

burada n -təhlil olunan sıraların uzunluğu; m -prediktorların sayıdır.

Çoxhədli xətti regressiya tənliyinin standart xətası aşağıdakı düstura görə qiymətləndirilə bilər:

$$\sigma_{y(x)} \approx \sigma_y^* \sqrt{1 - R^2}. \quad (6.57)$$

Regressiya əmsalının (j sayılı) standart xətası isə aşağıdakı ifadəyə görə təyin olunur:

$$\sigma_{aj} = \frac{\sigma_y^*}{\sigma_{xj}^*} \sqrt{\frac{(1 - R^2)\Delta_{j,j}}{(n - m - 1)D_{0,0}}}, \quad (6.58)$$

burada $\Delta_{j,j}$ - $D_{0,0}$ determinantının minorudur.

Praktikada istifadəyə yararlı çoxhədli xətti regressiya tənliyi

aşağıdakı şərtləri ödəməlidir:

$$R \geq 0,7; (R/\sigma_R) \geq 2; (a_j/\sigma_{a,j}) \geq 2; n \geq 10. \quad (6.59)$$

Üçüncü şərt regressiya əmsallarının hər biri üçün ayrılıqda ödənməlidir. Dördüncü şərt əslində daha sərt olmalıdır. Təcrübə göstərir ki, bir prediktor istifadə edildikdə sıraların uzunluğu ən azı 10, iki prediktor üçün 25-30, dörd prediktor üçün 50-60, beş prediktor üçün 100-120 və s. olmalıdır. Yalnız bu halda regressiya tənliyinin parametrlərini etibarlı qiymətləndirmək mümkündür. Hidrometeoroloji sıraların uzunluğu adətən qısa olduğuna görə çox nadir hallarda regressiya tənliyində (modelində) prediktorların sayı dörddən artıq olur.

Çoxhədli xətti regressiya tənliyi tərtib edildikdə yalnız effektiv prediktorlardan istifadə olunmalıdır. Əgər, prediktorun tənliyə daxil edilməsi nəticəsində ümumi səpələnmə, R^2 , heç olmasa 5% artırısa, belə prediktor effektiv hesab edilə bilər. Qeyri-effektiv prediktorlar isə tənliyə daxil edilmir, çünki onlar hesablamaların xətasını azaltmaq əvəzinə, əksinə, onları artırıbilər.

Adətən çoxhədli xətti regressiya tənliyinə asılı kəmiyyətlə xüsusi (fərdi) korrelyasiya əmsalı yüksək olan prediktorlar daxil edilir. Xüsusi korrelyasiya əmsalı cüt korrelyasiya əmsalından fərqlidir. Belə ki, iki dəyişən kəmiyyət arasında asılılıq təhlil olunduqda, bu əlaqənin sıxlığı cüt korrelyasiya əmsalı ilə qiymətləndirilə bilər. Lakin üç və daha çox sayıda kəmiyyətin qarşılıqlı əlaqələri öyrəniləndikdə cüt korrelyasiya əmsalı o qədər uğurlu göstərici hesab olunmur. Bu, çoxhədli xətti regressiya aparatının xüsusiyyətləri ilə əlaqədardır. Tutaq ki, $y = f(x_1, x_2, x_3)$ asılılığı təhlil olunur. Bu halda, ola bilər ki, məsələn, Y və X_1 dəyişənləri arasında əlaqənin korrelyasiya əmsalına X_2 və ya X_3 dəyişəni, və ya onların hər ikisi eyni zamanda təsir göstərir. Buna görə də Y və X_1 arasındaki əlaqənin sıxlığını qiymətləndirmək üçün X_2 və X_3 dəyişənlərinin təsirindən azad olmaq lazımdır. Başqa sözlə, $y = f(X_1)$ əlaqəsinə X_2 və X_3 kəmiyyətlərinin hər birinin

dəyişməz (sabit) qiymətlərində baxılmalıdır. Məhz bu halda Y və X dəyişənləri arasında əlaqənin həqiqi korrelyasiya əmsalı qiymətləndirilə bilər. Bu korrelyasiya əmsalı xüsusi korrelyasiya əmsalı adlanır.

Tutaq ki, çay hövzəsində formalaşan illik axım, R , ilə sutoplayıcıya düşən atmosfer yağışları, P , və sutoplayıcı səthdən buxarlanması, E arasında əlaqəyə baxılır $R=f(P,E) \cdot R$ və P dəyişənləri arasında asılılığın xüsusi korrelyasiya əmsalını qiymətləndirmək üçün $R=f(P)$ əlaqəsi E dəyişəninin eyni qiymətində təhlil olunmalıdır. Aydındır ki, bu məhdudiyyətə uyğun kifayət qədər müşahidə məlumatı toplamaq çox çətindir. Prediktörlerin sayı artıqca, bu çətinliklər də çoxalır. Xüsusi korrelyasiya əmsalını hesablamak üçün düsturlar alınmışdır. Yalnız iki prediktordan istifadə olunduqda bu düsturlar aşağıdakı kimidir:

$$r_{01.2} = \frac{r_{01} - r_{02} \cdot r_{12}}{\sqrt{(1 - r_{02}^2)(1 - r_{12}^2)}}, \quad (6.60)$$

$$r_{02.1} = \frac{r_{02} - r_{01} \cdot r_{12}}{\sqrt{(1 - r_{01}^2)(1 - r_{12}^2)}}, \quad (6.61)$$

burada $r_{01.2}$ və $r_{02.1}$ - asılı dəyişənin müvafiq olaraq birinci və ikinci prediktörlər əlaqəsinin xüsusi korrelyasiya əmsalları; r_{01} , r_{02} , r_{12} - cüt korrelyasiya əmsallarıdır.

Göründüyü kimi, xüsusi korrelyasiya əmsalının indeksi iki hissədən ibarətdir. Birinci iki rəqəm aralarındaki əlaqə təhlil olunan kəmiyyətlərin nömrələrini, nöqtədən sonrakı rəqəm (və ya rəqəmlər) isə təsiri nəzərə alınmayan prediktor (və ya prediktörlerin) nömrələridir.

Beləliklə, xüsusi korrelyasiya əmsali ümumi regressiyada prediktörun fərdi payını səciyyələndirir.

Regressiya tənliyinə daxil edilmiş hər hansı bir prediktörlə başqa bir prediktör arasında sıx əlaqə olduqda və bu yeni prediktöru tənliyə əlavə etdikdə, onun asılı dəyişənlə xüsusi korrel-

yasiya əmsalı kiçik alınır.

Əgər, X_1 və X_2 dəyişənləri arasında əlaqənin cüt korrelyasiya əmsalı r_{12} , X_1 və X_3 arasında isə r_{13} təşkil edirsə, onda X_2 və X_3 arasında korrelyasiya əmsalı $r_{12}r_{13}$ -ə bərabər olur və avtomatik korrelyasiya alınır. $X_3 = f(X_1, X_2)$ tənliyinə X_2 prediktoru yalnız o halda əlavə edilə bilər ki, X_2 və X_3 dəyişənlərinin müşahidə məlumatlarına görə hesablanmış cüt korrelyasiya əmsalı, r_{23} , avtomatik korrelyasiya əmsalından əhəmiyyətli dərəcədə böyük olsun.

Çoxhədli xətti regressiya tənliyi tərtib edildikdə prediktor kimi yalnız, X_1, X_2, \dots, X_m dəyişənlərindən deyil, həmçinin onların müxtəlif kombinasiyalarından da, məsələn, (X_1X_2) ; (X_1/X_2) ; $(1/X_1)$ və s. istifadə olunur. Əksər halda belə yanaşma özünü doğrudur və tənliyin ümumi korrelyasiya əmsalı böyükür. Lakin prediktor kimi asılı dəyişənin, Y , asılı olmayan dəyişənlərdən (prediktorlardan), X_j , biri ilə kombinasiyası istifadə olunduqda yanlış korrelyasiya effekti yarana bilər. Başqa sözlə, əslində Y və X_j dəyişənləri arasında əlaqə olmamasına baxmayaraq, regressiya tənliyinin ümumi korrelyasiya əmsalı kifayət qədər böyük alınır.

Əgər, Y dəyişənin dispersiyası X dəyişənin dispersiyası ilə müqayisədə bir neçə dəfə böyükdürsə, onda $Y = f(YX)$, $Y = (Y/X)$, $Y = f(Y + X)$ asılılıqlarını qurduqda, faktik olaraq asılı kəmiyyətin onun özü ilə korrelyasiyasına baxılır. Bu halda x kəmiyyəti zəif səs rolunu oynayır.

Əgər, Y dəyişənin variasiya əmsalı X dəyişənin variasiya əmsalından böyükdürsə, onda bu iki dəyişən arasında hətta heç bir əlaqə olmadıqda belə $Y = f(YX)$ asılılığının korrelyasiya əmsalı 0,7-dən kiçik olmur.

Regressiya tənlikləri tərtib edildikdə yanlış korrelyasiya effektinin nəzərə alınmaması ciddi səhvlərlə nəticələnə bilər.

Misal 6.8. Svir çayının (Myatusova məntəqəsi) illik axım kəmiyyətini, Y , analoq çayların məlumatlarından istifadə etməklə çoxillik dövrə (1859-1958-ci illər) gətirin. Analoq kimi Vuoksa (Su elektrik stansiyası), X_1 , və Neva (Petrokrepot məntəqəsi), X_2 , çaylarını seçin. Svir çayı üzərində müşahidələr 20 il (1928-1940 və 1945-1951-ci illər) yerinə yetirilmişdir. Çoxhədli xətti reqressiya tənliyinin parametrlərini Kramer metoduna görə təyin edin.

Həlli: 1. 20 illik paralel müşahidə məlumatlarına görə cüt korrelyasiya əmsalları hesablanır: $r_{yx_1} = 0,74$; $r_{yx_2} = 0,88$; $r_{x_1x_2} = 0,55$

2. Determinant və onun minorları təyin olunur:

$$D = \begin{vmatrix} 1 & 0,74 & 0,88 \\ 0,74 & 1 & 0,55 \\ 0,88 & 0,55 & 1 \end{vmatrix} = 1 - 0,55 - 0,77 - 0,30 + 2 \cdot 0,74 \cdot 0,88 \cdot 0,55 = 0,1,$$

$$D_{yx_1} = - \begin{vmatrix} 0,74 & 0,55 \\ 0,88 & 1 \end{vmatrix} = -(0,74 - 0,88 \cdot 0,55) = -0,26,$$

$$D_{yx_2} = \begin{vmatrix} 0,74 & 1 \\ 0,88 & 0,55 \end{vmatrix} = 0,74 \cdot 0,55 - 0,88 = -0,47,$$

$$D_{yy} = \begin{vmatrix} 1 & 0,55 \\ 0,55 & 1 \end{vmatrix} = 1 - 0,5^2 = 0,70$$

3. Ümumi (cəm) korrelyasiya əmsalı qiymətləndirilir:

$$R = \sqrt{1 - \frac{D}{D_{yy}}} = \sqrt{1 - \frac{0,10}{0,70}} = 0,93.$$

4. Müşahidə sıralarının orta qiymətləri və orta kvadratik meyletmələri hesablanır:

$$\bar{y} = 8,76, \quad \bar{x}_1 = 9,79, \quad \bar{x}_2 = 8,57,$$

$$\sigma_y = 1,71, \quad \sigma_{x_1} = 1,96, \quad \sigma_{x_2} = 1,58.$$

5. Reqressiya əmsalları təyin olunur:

$$a_1 = \frac{1,71 \cdot 0,26}{1,96 \cdot 0,70} = 0,32,$$

$$a_2 = \frac{1,71 \cdot 0,47}{1,58 \cdot 0,70} = 0,73.$$

6. Çoxhədli xətti regressiya tənliyi tərtib olunur:

$$y - \bar{y} = a_1(x_1 - \bar{x}_2) + a_2(x_2 - \bar{x}_2)$$

və ya

$$y - 8,76 = 0,32(x_1 - 9,79) + 0,73(x_2 - 8,57),$$

və ya

$$y = 0,32x_1 + 0,73x_2 - 0,63.$$

7. Regressiya tənliyinin dəqiqliyi qiymətləndirilir:

$$\sigma_{\bar{y}} = \sigma_y \sqrt{1 - R^2} = 1,71 \sqrt{1 - 0,93^2} = 0,63.$$

8. Regressiya əmsallarının standart xətaları hesablanır:

$$\sigma_{a_1} = \frac{0,63}{1,96 \sqrt{(20-2)(1-0,55^2)}} = 0,99,$$

$$\sigma_{a_2} = \frac{0,63}{1,58 \sqrt{(20-2)(1-0,55)^2}} = 0,11.$$

Regressiya əmsallarının standart xətaları, onların öz qiymətləri ilə müqayisədə bir neçə dəfə kiçikdir və bu əmsalların etibarlılığını göstərir.

Svir çayının orta illik su sərfləri sırası çoxhədli xətti regressiya tənliyinə görə bərpa edildikdən sonra çoxillik sıranın orta qiyməti $9,16 \text{ } \ell / s \cdot km^2$, variasiya əmsalı isə 0,18 alınır.

7. HİDROMETEOROLOJİ SİRALARIN RİYAZİ MODELLƏŞDIRİLMƏSİ

Son üç yüzillikdə hidrometeorologiyada, digər təbiət elmlərində olduğu kimi, eksperimental tədqiqatların yalnız iki metodu tətbiq olunurdu ~~passiv və aktiv eksperiment metodları~~.

Passiv eksperiment metodу təbii şəraitdə hidrometeoroloji hadisələr üzərində müşahidələr aparılmasını nəzərdə tutur. Bu müşahidə məlumatları hidrometeoroloji tədqiqatların başlıca informasiya bazasıdır. Lakin bu məlumatlar adətən qısa müşahidə dövrlərini əhatə edir və əksər halda müşahidə sıralarının uzunluğu 50-60 ildən az olur.

Stasionar müşahidə məntəqələrinin çoxu keçən əsrin ortalarından fəaliyyət göstərdiyinə görə, mövcud məlumatlar baxılan hadisənin yalnız son dövrəkəi tərəddüdlərini səciyyələndirir. Çox zaman mövcud müşahidə sıraları təkrarlanma dövrü böyük olan (məsələn, 100 ildə 1 dəfə) kəmiyyətləri əhatə etmir. Digər tərəfdən, müşahidə məntəqələri və müvafiq müşahidə məlumatları ərazi üzrə qeyri-bərabər paylanır. Məntəqələrin çoxu əhali six məskunlaşan ərazilərdə fəaliyyət göstərir. Çay axımının əsas hissəsinin formalasdığı yüksək və orta dağlıq ərazilərdə həm meteoroloji, həm də hidroloji müşahidə məntəqələrinin sayı az olduğuna görə bu ərazilər inkişaf etdirildikdə hidrometeoroloji informasiya çatışmazlığı problemi aktuallaşır.

Aktiv eksperiment metodunda tədqiqatlar çöl və ya laboratoriya şəraitində yerinə yetirilir. Hidrometeoroloji proseslər mürəkkəb və çoxamilli olduqlarına görə, belə eksperimentlərin nəticələrinin praktikada tətbiqi bir çox çatınlıklarla müşayət olunur.

Müasir dövrdə kompyuterlərin imkanlarından istifadə və tədqiqatların ümumi səviyyəsinin artması ilə əlaqədar, hidrometeoroloji xarakteristikaların hesablanması və proqnozunda yeni üçüncü metod - ədədi eksperimentlər metodu geniş tətbiq olunur. Bu metod baxılan prosesin riyazi modelləşdirilməsi əsasında realizə edilir.

Ədədi eksperiment müəyyən proses üçün işlənmiş riyazi model tənliklərinin ədədi həllinə deyilir.

Belə eksperimentlərin tətbiq sahələri kifayət qədər genişdir.

1. Su təsərrüfatı kompleksləri layihələndirildikdə mühüm və zifələrdən biri azsulu dövrlərin mümkün davamıyyətinin təyinidir. Mövcud su sərfləri sıraları qısa olduqlarına görə, onlar bu məsələnin həllində birbaşa istifadə edilmirlər. Lakin ədədi eksperiment metodu (məsələn, Monte-Karlo metodu) mövcud müşahidə sırasına görə kifayət qədər uzun süni hidroloji sira modelləşdirməyə imkan verir və belə sıraya görə artıq azsulu dövrlərin demək olar ki, bütün mümkün davamıyyətlərini hesablamaya mümkündür.

Bu yolla istənilən hidrometeoroloji xarakteristikaların periodik tərəddüdlərini öyrənmək olar.

2. Hidrometeoroloji hadisələrin sadə, lakin fiziki-nöqtəyi nəzərdən əsaslandırılmış və kifayət qədər dəqiq modelini tərtib etmək olar.

Doğrudan da, ədədi eksperimentlər imkan verir ki, model tərtib olunduqda hesablamalar prosesə təsir göstərən amillərin müxtəlif qiymətlərində yerinə yetirilsin.

Ədədi eksperimentlərin müxtəlif istiqamətləri məlumdur. Hidrometeorologiyada Monte-Karlo metodu həm praktik hesablamalarda, həm də elmi tədqiqatlarda istifadə olunur.

Bu bölmədə Monte-Karlo metodunun yalnız hidrometeoroloji sıraların modelləşdirilməsində tətbiqinə baxılır.

Monte-Karlo metodunu amerikalı riyaziyyatçılar C.Neymar və S.Ulam təklif etmişlər. Metodun adı Monako knyazlığında yerləşən və kazinoları ilə məşhur olan şəhərin adı ilə bağlıdır. Belə ki, Monte-Karlo metodunun əsas elementlərindən biri təsadüfi kəmiyyətlər sırasıdır və belə sıranı tərtib etmək üçün istifadəyə yararlı ən sadə mexaniki alətlərdən biri ruletkadır.

Hidrologiya və su təsərrüfatı hesablamalarında mahiyyətçə Monte-Karlo metoduna oxşar yanaşmanı 1927-ci ildə S.Sadler tətbiq etmişdir. 1946-cı ildə isə S.N.Kritski və M.F.Menkel ana-

loji yolla Xəzər dənizi səviyyəsinin illik gedişini modelləşdirmişlər. Lakin Monte-Karlo metodu 1949-cu ildə təklif olunmuşdur.

Hidroloji sıraların modelləşdirilməsi ilə L.S.Kuçment, D.Y.Ratkoviç, A.Ş.Reznikovski, N.A.Kartvelişvili, E.Q.Bloxinov, İ.O.Sarmanov, A.V.Rojdestvenski və b. məşğul olmuşlar. Lakin hidrologiyada Monte-Karlo metodunun tətbiqinin metodik əsaslarını kifayət qədər tam həcmidə ilk dəfə olaraq Q.Q.Svanidze işləmişdir (Сванидзе, 1977).

Hidrometeoroloji sıranın Monte-Karlo metodu ilə modelləşdirilməsi müşahidə sırasının məlum ədədi xarakteristikalarına görə onun mümkün qiymətlər ardıcılığının təyini prosesinə deyilir. Statistik sinaqların sayı artdıqca, modelləşdirmə nəticəsində alınan sıranın xarakteristikaları (parametrləri) müşahidə sırasının xarakteristikalarına yaxınlaşır. Müşahidə sırasının paylanması qanunu birölcülü (təsadüfi kəmiyyət modeli), ikiölcülü (sadə Markov zənciri), n-ölçülü (mürəkkəb Markov zənciri) ola bilər. Hər üç halda modelləşdirmənin prinsipial sxemi eyni olsa da, onun praktik yerinə yetirilmə yolları fərqlidir.

Sıraların modelləşdirilməsi məlum müddəaya əsaslanır: əgər, X təsadüfi kəmiyyətinin paylanması sıxlığı $f(x)$ -dirsə, onda bu kəmiyyət paylanması qanunundan asılı olmayaraq $[0-1]$ intervallında bərabər paylanır.

7.1. Sıraların təsadüfi kəmiyyət sxemi üzrə modelləşdirilməsi

Sıranın təsadüfi kəmiyyət sxemi üzrə modelləşdirilməsi çox sadədir. Bunun üçün aşağıdakılardan tələb olunur:

1. $[0-1]$ intervalında bərabər paylanan təsadüfi ədədlər,
2. Analitik təminat əyrisi.

Təsadüfi ədədlər üç yolla əldə edilə bilər: təsadüfi ədədlər cədvəlindən, təsadüfi ədədlər generatorundan və psevdotsadüfi ədədlər metodu ilə.

Təsadüfi ədədlərin ən sadə generatoru ruletkadır. Onun kö-

məyi ilə istənilən uzunluqlu təsadüfi sıra tərtib etmək mümkündür. Bu yolla alınmış sıra cədvəl formasında da təqdim oluna bilər. Çap olunmuş təsadüfi ədədlər cədvəlinin ən böyükündə bir milyon ədəd var. Lakin kompyuterdə islədikdə psevdotəsadüfi ədədlərdən istifadə daha əlyerişlidir. Belə ədədləri əldə etmək üçün ilk alqoritmi C.Neyman təklif etmişdi. Hazırda daha mükəmməl alqoritmalar məlumdur.

Fərdi kompyuterdə $[0-k]$ intervalında (k -müsbat tam ədəddir) bərabər paylanan təsadüfi ədədləri generasiya etmək mümkündür.

Məsələn, A.V.Sikan (Сикан, 2007) $[1-50]$ intervalında bərabər paylanan 20 təsadüfi ədəd almaq üçün Pascal dilində program tərtib etmişdir:

```
var i: integer;  
begin  
Randomize;  
For i=1 to 20 do  
Begin  
Writeln (Random(50))  
end  
end.
```

Modelləşdirmənin növbəti mərhələsində $[0-1]$ intervalında bərabər paylanan təsadüfi ədədlərin hər biri (α_i) təminatla P_i əvəz olunur. Məsələn, $\alpha = 65877$ və $P = 65,877\%$. Artıq analitik təminat ayrılarından empirik təminatlara müvafiq ordinatları təyin etmək olar (Şəkil 7.1)

Qeyd etmək lazımdır ki, hesablamalar kompyuterdə də yerinə yetirilə bilər. “Microsoft Excel”-in “Analiz paket”-i yeddi paylanma qanununa görə sıraları modelləşdirməyi imkan verir. Xüsusi statistika paketlərinin imkanları daha genişdir.

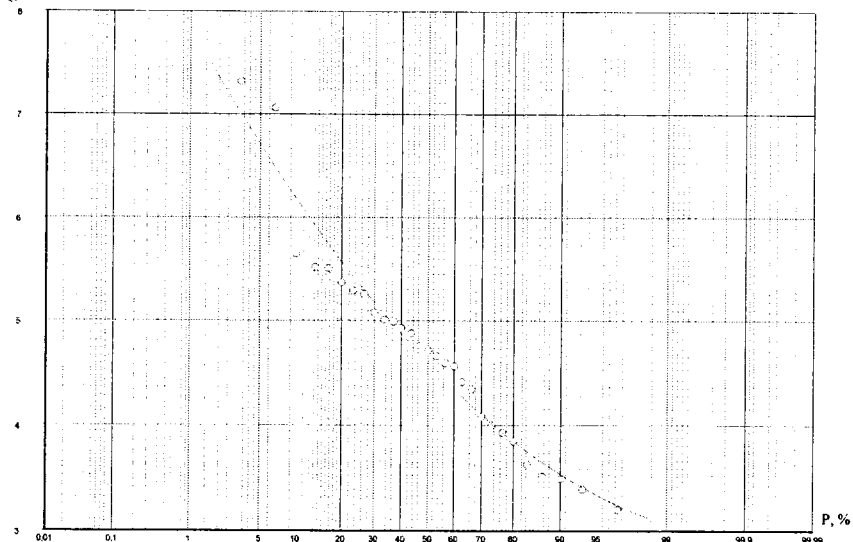
Misal 7.1. Qusarçayın (Kuzun məntəqəsi) uzunluğu 29 il olan orta illik su sərfəri sırasını (1947-1975 illər) təsadüfi kəmiyyət modeli üzrə uzadaraq 100 illik sıra tərtib edin və onun parametrlərini müşahidə sırasının müvafiq parametrləri ilə müqayisə edin.

Qusarçayın (Kuzun məntəqəsi) orta illik su sərfəri

| İl | Su sərfi | İl | Su sərfi |
|------|----------|------|----------|
| 1947 | 3,49 | 1962 | 5,29 |
| 1948 | 4,93 | 1963 | 7,06 |
| 1949 | 4 | 1964 | 4,76 |
| 1950 | 3,39 | 1965 | 5,01 |
| 1951 | 4,08 | 1966 | 5,08 |
| 1952 | 4,71 | 1967 | 7,32 |
| 1953 | 3,2 | 1968 | 5,52 |
| 1954 | 4,59 | 1969 | 4,88 |
| 1955 | 5,37 | 1970 | 4,34 |
| 1956 | 5,65 | 1971 | 3,63 |
| 1957 | 5,51 | 1972 | 5,26 |
| 1958 | 4,41 | 1973 | 4,99 |
| 1959 | 4,56 | 1974 | 4,66 |
| 1960 | 3,85 | 1975 | 3,93 |
| 1961 | 3,51 | | |

Həlli: 1. Qusarçayın (Kuzun məntəqəsi) orta illik su sərfəri sırasının parametrləri momentlər metoduna görə hesablanır:
 $r(1)=0,305$, $\bar{Q}=4,723$, $C_v=0,206$, $C_s=0,827$.

2. Müşahidə məlumatlarına görə empirik və nəzəri təminat əyriləri qurulur (şəkil 7.1).



Şəkil 7.1. Müşahidə olunmuş orta illik su sərflərinin empirik və analitik təminat əyriləri

3. Təsadüfi ədədlər cədvəlindən ixtiyari 100 ardıcıl ədəd seçilir. Bu beşrəqəmli ədədlərin hər biri 1000-ə bölünür və təminat kimi qəbul olunur. Sonra müşahidə məlumatlarına görə qurulmuş nəzəri təminat əyrisindən bu təminatların (cəmi 100 təminat) hər birinə müvafiq su sərfləri təyin olunur və aşağıdakı cədvələ yazılır.

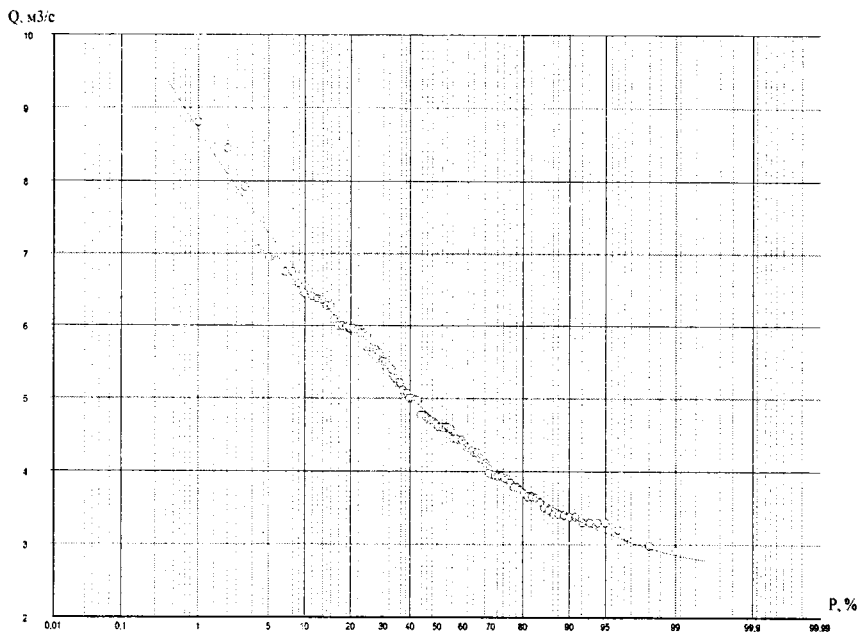
4. Modelləşdirilmiş sıranın ($n=100$ il) momentlər metodu ilə statistik parametrləri hesablanır: $r(1)=0,038$, $\bar{Q}=4,864$, $C_v=0,25$, $C_s=0,75$.

5. Modelləşdirilmiş sıra üçün empirik və nəzəri təminat əyriləri qurulur (şəkil 7.2).

Təsadüfi kəmiyyət modeli üzrə modeləşdirilmiş sura

| Nö | Təsadüfi kəmiyyat | Su sərfi | Nö | Təsadüfi kəmiyyət | Su sərfi | Nö | Təsadüfi kəmiyyət | Su sərfi |
|----|-------------------|----------|----|-------------------|----------|----|-------------------|----------|
| 1 | 96,268 | 3,3 | 36 | 76,73 | 3,95 | 71 | 18,093 | 5,67 |
| 2 | 3,55 | 6,95 | 37 | 26,439 | 5,28 | 72 | 8,454 | 6,38 |
| 3 | 22,188 | 5,45 | 38 | 32,927 | 5,07 | 73 | 60,448 | 4,33 |
| 4 | 63,759 | 4,28 | 39 | 51,484 | 4,58 | 74 | 37,21 | 5,96 |
| 5 | 55,006 | 4,45 | 40 | 45,142 | 4,77 | 75 | 79,27 | 3,94 |
| 6 | 81,972 | 3,75 | 41 | 11,86 | 6 | 76 | 86,591 | 3,66 |
| 7 | 6,344 | 6,59 | 42 | 59,144 | 4,43 | 77 | 2,903 | 7,06 |
| 8 | 92,363 | 3,47 | 43 | 81,205 | 3,85 | 78 | 83,426 | 3,79 |
| 9 | 96,083 | 3,3 | 44 | 61,429 | 4,38 | 79 | 5,286 | 6,75 |
| 10 | 92,993 | 3,41 | 45 | 17,765 | 5,68 | 80 | 96,804 | 3,2 |
| 11 | 95,083 | 3,3 | 46 | 45,644 | 4,65 | 81 | 83,699 | 3,71 |
| 12 | 77,308 | 3,96 | 47 | 50,136 | 4,61 | 82 | 59,468 | 4,43 |
| 13 | 11,913 | 6 | 48 | 99,784 | 2,92 | 83 | 99,699 | 2,98 |
| 14 | 70,648 | 4,11 | 49 | 16,943 | 5,7 | 84 | 14,043 | 5,9 |
| 15 | 92,771 | 3,41 | 50 | 10,747 | 6,09 | 85 | 15,013 | 5,86 |
| 16 | 78,816 | 3,94 | 51 | 70,292 | 4,16 | 86 | 12,6 | 5,98 |
| 17 | 79,934 | 3,9 | 52 | 60,721 | 4,32 | 87 | 33,122 | 5,07 |
| 18 | 64,698 | 4,25 | 53 | 49,624 | 4,6 | 88 | 94,169 | 3,38 |

| Nº | Təsadüfi kəmiyyət | Su səfi | Nº | Təsadüfi kəmiyyət | Su səfi | Nº | Təsadüfi kəmiyyət | Su səfi |
|----|----------------------|---------|----|----------------------|---------|-----|----------------------|---------|
| 19 | 44,212 | 4,75 | 54 | 47,484 | 4,72 | 89 | 89,916 | 3,5 |
| 20 | 89,292 | 3,64 | 55 | 99,203 | 3,04 | 90 | 8,985 | 6,28 |
| 21 | 8,692 | 6,28 | 56 | 20,975 | 5,5 | 91 | 50,394 | 4,61 |
| 22 | 67,927 | 4,18 | 57 | 35,392 | 5 | 92 | 96,057 | 3,3 |
| 23 | 62,167 | 4,26 | 58 | 83,376 | 3,79 | 93 | 28,519 | 5,21 |
| 24 | 45,828 | 4,68 | 59 | 12,995 | 5,95 | 94 | 5,095 | 6,75 |
| 25 | 1,164 | 7,92 | 60 | 0,204 | 8,81 | 95 | 37,786 | 4,98 |
| 26 | 29,283 | 5,21 | 61 | 87,237 | 3,66 | 96 | 13,043 | 5,96 |
| 27 | 19,868 | 5,63 | 62 | 76,855 | 3,98 | 97 | 56,097 | 4,45 |
| 28 | 14,292 | 5,9 | 63 | 94,213 | 3,38 | 98 | 87,527 | 3,58 |
| 29 | 77,41 | 3,91 | 64 | 45,441 | 4,77 | 99 | 3,581 | 6,91 |
| 30 | 36,58 | 4,97 | 65 | 35,307 | 5 | 100 | 0,579 | 8,45 |
| 31 | 7,78 | 6,36 | 66 | 31,581 | 5,11 | | | |
| 32 | 7,528 | 6,41 | 67 | 49,978 | 4,6 | | | |
| 33 | 22,023 | 5,4 | 68 | 93,587 | 3,4 | | | |
| 34 | 20,827 | 5,51 | 69 | 52,135 | 4,6 | | | |
| 35 | 47,802 | 4,7 | 70 | 6,921 | 6,45 | | | |



Şəkil 7.2. Modelləşdirilmiş sıranın empirik və analitik təminat əyriləri

Göründüyü kimi, müşahidə sırası və modelləşdirilmiş sıranın əsas statistik parametrlərinin (\bar{Q} , C_v , C_s) qiymətləri kifayət qədər yaxındır, yalnız sıradaxılı korrelyasiya əmsalının, $r(1)$, qiymətləri fərqlidir. Bu sıradaxılı korrelyasiya əmsalının qiymətləndirilməsi üçün hətta 100 illik sıranın da kifayət etməməsi ilə izah olunur.

7.2. Sıraların sadə Markov zənciri sxemi üzrə modelləşdirilməsi

Sıraların sadə Markov zənciri sxemi üzrə modelləşdirilməsi təsadüfi kəmiyyət sxemi üzrə modelləşdirmə ilə müqayisədə bir qədər çətindir. Belə ki, artıq müşahidə sırasının qonşu hədləri arasında korrelyasiya (avtokorrelyasiya) nəzərə alınmalıdır. Bu sxem üzrə modelləşdirmənin ən azı 30 üsulu məlumdur. Onların icmalını Q.Q.Svanidze (Сванидзе, 1977) vermişdir.

Demək olar ki, bütün üsullarda x sırası iki toplanana (deterministik və təsadüfi) ayrılır:

$$x_{i+1} = \bar{x}_{i+1}(x_i) + \beta_{i+1}, \quad (7.1)$$

burada $\bar{x}_{i+1}(x_i)$ - x_i -nin verilmiş qiymətində x_{i+1} -in mümkün qiymətlərinin ədədi ortasıdır və o, $x_{i+1} = f(x_i)$ əlaqəsinin xətti regressiya tənliyinə görə hesablanır: β_{i+1} -təsadüfi toplanandır və müşahidə sırasının əvvəlki qiymətlərindən asılı deyil.

X sırası modul əmsallarından ibarət olduqda düstur (7.1) aşağıdakı kimi yazılır:

$$k_{i+1} = \bar{k}_{i+1}(k_i) + k_{\beta_{i+1}} \quad (7.2)$$

Sıralar sadə Markov zənciri sxemi ilə modelləşdirildikdə sıradaxili korrelyasiya nəzərə alındığına görə hesablamalarda artıq ehtimalın ötməsinin iki qiymətindən istifadə olunur. Bunlardan biri baxılan ildə, o biri isə əvvəlki ildə müşahidə olunmuş hidrometeoroloji kəmiyyəti səciyyələndirir.

Modelləşdirmə aşağıdakı düsturlara görə yerinə yetirilir:

$$X_{i+1} = \bar{X} + r(X_i - \bar{X}) + t_{i+1}\sigma\sqrt{1-r^2} \quad (7.3)$$

burada \bar{X} -müşahidə sırasının orta qiyməti; X -hidrometeoroloji kəmiyyətin əvvəlki ilə uyğun qiyməti; σ -siranın orta kvadratik meyletməsi; r -siranın qonşu hədləri arasında korrelyasiya əmsali; t_{i+1} -verilmiş analitik təminat əyrisinin normallaşdırılmış ordinatlarıdır (təsadüfi ədədlərdən çevirmə yolu ilə alınmış empirik təminatlara görə təyin olunur).

Modelləşdirmə zamanı paylanması (analitik təminat əyrisinin) tipi (Kritski-Menkel, Pirson III tip və s.) göstərilməlidir.

Modelləşdirmə modul əmsallarına görə yerinə yetirildikdə düstur (7.3) aşağıdakı kimi yazılır:

$$k_{i+1} = 1 + r(k_i - 1) + t_{i+1}C_v\sqrt{1-r^2}. \quad (7.4)$$

Sıra modelləşdirildikdə başlangıç qiymət kimi adətən sıranın

ədədi ortası qəbul olunur.

Əgər, sıradaxılı korrelyasiya əmsalı $r < 0,2$ olarsa, onda avto-korrelyasiya nəzərə alınmaya bilər.

Korrelyasiya əmsalının böhran qiymətləri Əlavə 15-də verilir.

Misal 7.2. Cədvəldə verilmiş məlumatlara əsasən təsadüfi ədədlər cədvəlinin köməyi ilə iki il üçün çayın kvartallıq su sərfləri (mil.qallon/sutka) sırasını tərtib edin.

Orta kvartallıq su sərfləri sırasını modelləşdirmək üçün istifadə olunan tənliyin parametrləri

| j | b_j | σ_j | r_j | $(1 - r_j^2)^{1/2}$ | \bar{Q}_j |
|---|-------|------------|-------|---------------------|-------------|
| 1 | 0.66 | 73 | 0.57 | 0.82 | 68 |
| 2 | 0.43 | 85 | 0.41 | 0.91 | 137 |
| 3 | 0.14 | 90 | 0.43 | 0.90 | 183 |
| 4 | 0.91 | 29 | 0.36 | 0.93 | 107 |

Həlli: Hesablamalar aşağıdakı tənliyə görə yerinə yetirilir:

$$Q_{i+1,j+1} = \bar{Q}_{j+1} + b_j(Q_{ij} - \bar{Q}_j) + t_i \sigma_{j+1} (1 - r_j^2)^{1/2}.$$

Modelləşdirmənin ardıcılılığı və alınmış nəticələr aşağıdakı cədvəldə verilmişdir.

Kvartallıq su sərflərinin ardıcıl qiymətlərinin modelləşdirilməsi

| i | j | \bar{Q}_j | Q_{i-1} | $Q_{i-1,j-1}$ | k | t_j | $b_j(Q_{i-1,j-1} - \bar{Q}_{j-1})$ | $t_i \sigma_i (1 - r^2)^{1/2}$ | $Q_{i,j}$ |
|-----|-----|-------------|-----------|---------------|--------|--------|------------------------------------|--------------------------------|-----------|
| (1) | (2) | (3) | (4) | (5) | (6) | (7) | (8) | (9) | (10) |
| 1 | 1 | 68 | 107 | 107 | 0.5374 | 0.094 | 0.0 | 5.6 | 73.6 |
| 2 | 2 | 137 | 68 | 73.6 | 0.6338 | 0.342 | 2.4 | 26.5 | 165.9 |
| 3 | 3 | 183 | 137 | 165.9 | 0.3530 | -0.377 | 4.0 | -30.6 | 156.4 |
| 4 | 4 | 107 | 183 | 153.4 | 0.5343 | 0.343 | -24.2 | 9.3 | 92.1 |
| 5 | 1 | 68 | 107 | 92.1 | 0.0263 | -1.94 | -9.8 | -116.4 | 0.0 |
| 6 | 2 | 137 | 68 | 0.0 | 0.6455 | 0.373 | -29.2 | 28.9 | 136.7 |
| 7 | 3 | 183 | 137 | 136.7 | 0.8507 | 1.04 | -0.04 | 84.5 | 267.5 |
| 8 | 4 | 107 | 183 | 267.5 | 0.3485 | 0.39 | 76.8 | 10.6 | 194.5 |

Qeyd:

Qrafa 1. i indeksi iki illik dövr üçün ümumi sıradı kvartalın mövqeyini göstərir.

Qrafa 2. Bir ildəki kvartalların indeksləri ($j=1, \dots, 4$).

Qrafa 3. İlin j-ci kvartalı üçün su sərfinin orta çoxillik kəmiyyəti.

Qrafa 4. İlin j-1-ci kvartalı üçün su sərfinin orta çoxillik kəmiyyəti.

Qrafa 5. Su sərfi modelləşdirilən kvartaldan əvvəlki kvartalın su sərfi. Kvartallıq su sərfərinin modelləşdirilmə prosesinin lap əvvəlində başlangıç su sərfi kimi qrafa 4-də verilən birinci su sərfi götürülür.

Qrafa 6. Bu qrafanın elementlərinin qiyməti, 0–1 arasında bərabər paylanan, təsadüfi ədədlər cədvəlindən götürülmüşdür.

Qrafa 7. Təsadüfi meyletmə $f(z)$, xüsusil cədvəldən (Buccmen u öp., 1979, Əlavə B 1) götürülmüşdür. Əgər, qrafa 6-daki təsadüfi k kəmiyyəti $0,5$ -dən kiçikdirlər, onda cədvəldən $f(z)=(0,5-k)$ parametri üçün z -in qiyməti tapılır, zaman t isə z -ə bərabər qəbul edilir. Əgər, $k>0,5$ olarsa, onda z -in qiyməti $f(z)= (k-0,5)$ kəmiyyətinə əsasən axtarılır, zaman t isə z -ə bərabər götürülür.

Qrafa 8. Yuxarıdakı tənliyin komponenti (reqressiya əmsali ilə).

Qrafa 9. Tənliyin təsadüfi toplananı.

Qrafa 10. Modelləşdirilən kvartallıq su sərfi (3,8 və 9-cu sütunlarda verilmiş rəqəmlərin cəmi).

Ədəbiyyat

1. Babayev Ş.Ə. Riyazi geologiya. Bakı, 2006.-314s.
2. Bağırov B.Ə., Calalov Q.İ., Nəzərova S.Ə. Riyazi geologyanın əsasları. Bakı, REALCOM BM nəşr. 2001.-64s.
3. İmanov F.Ə. Tətbiqi hidrologiya. Bakı, 2010.-232 s.
4. İmanov F.Ə. Hidroloji hesablamalar. Bakı, 2011.-263 s.
5. Məmmədov M.Ə., Mahmudov R.N., İmanov F.Ə. Çay axımı və hidroloji hesablamalar (metodik göstəriş). Bakı, 1995.-94s.
6. Алексеев Г.А. Объективные методы выравнивания и нормализации корреляционных связей.-Л.:Гидрометеоиздат, 1971.-363с.
7. Алексеев Г.А. Методы оценки случайных погрешностей гидрометеорологической информации.- Л.:Гидрометеоиздат, 1975.-76с.
8. Бендат Дж., Пирсол А. Применение корреляционного и спектрального анализа. – М.: Мир, 1983.–312 с.
9. Бокс Дж., Дженкинс Г. Анализ временных рядов. – М.: Мир, 1974.–406 с.
10. Боровиков В.П., Боровиков И.П. STATISTICA. Статистический анализ и обработка данных в среде Windows. – М.: Информационно-издательский дом «Филинъ», 1998.–608 с.
11. Боровиков В.П., Ивченко В.П. Прогнозирования в системе STATISTICA в среде Windows. Основы теории и интенсивная практика на компьютере: Учебное пособие–М.: Финансы и статистика, 1999.–384 с.
12. Вентцель Е.С., Овчаров Л.А. Теория вероятностей и ее инженерные приложения. – М.: Наука, 1988.–480 с.
13. Вентцель Е.С., Овчаров Л.А. Теория случайных процессов и ее инженерные приложения.–М.: Наука, 1991.–384 с.
14. Виссмен мл У., Харбаф Т.И, Кнепп Д.У. Введение в гидрологию. Гидрометеоиздат, 1979.-470с.
15. Владимиров А.М., Дружинин В.С. Сборник задач и упражнений по гидрологическим расчётам. Гидрометеоиздат, 1992.-208с.
16. Гандин Л.С. Объективный анализ метеорологических

- колебаний.- Л.:Гидрометеоиздат, 1963.-280с.
- 17.Закс Л. Статистическое оценивание. М.: «Статистика», 1976.-600 с.
- 18.Исаев А.А. Статистика в метеорологии и климатологии.- М.:Изв-во МГУ, 1988.-248с.
- 19.Кайсл Ч. Анализ временных рядов гидрологических данных. Л.: Гидрометеоиздат, 1972.-138 с.
- 20.Клибашев К.П., Горошков И.Ф. Гидрологические расчёты. Л.:Гидрометеоиздат, 1970.-460с.
- 21.Международное руководство по методам расчета основных гидрологических характеристик. – Л.: Гидрометеоиздат, 1984.-247 с.
- 22.Митропольский А.К. Техника статистических вычислений.– М.: Наука, 1971. –576 с.
- 23.Музылев С.В., Привальский В.Е., Раткович Д.Д. Статистические модели в инженерной гидрологии.- Л.:Наука, 1982.-184с.
- 24.Определения основных расчетных гидрологических характеристик. СП 33-101–2003.–М.: Стройиздат, 2004.-72 с.
- 25.Поляк И.И. Методы анализа случайных процессов и полей в климатологии.- Л.:Гидрометеоиздат, 1979.-256.
- 26.Поляк И.И. Численные методы анализа наблюдений.- Л.:Гидрометеоиздат, 1975.-211с.
- 27.Пособие по определению расчетных гидрологических характеристик.–Л.: Гидрометеоиздат, 1984.-447 с.
- 28.Рождественский А.В., Ежов А.В., Сахарюк А.В. Оценка точности гидрологических расчетов.–Л.: Гидрометеоиздат, 1990.-273 с.
- 29.Рождественский А.В. Оценка точности кривых распределения гидрологических характеристик.–Л.: Гидрометеоиздат, 1977.-268 с.
- 30.Рождественский А.В., Чеботарев А.И. Статистические методы в гидрологии.–Л.: Гидрометеоиздат, 1974.-424 с.
- 31.Сванидзе Г.Г. Математическое моделирования гидрологических рядов. – Л.: Гидрометеоиздат, 1977.-296 с.

32. Сикан А.В. Методы статистической обработки гидрометеорологической информации. СПб.: изд. РГГМУ, 2007.- 279с.
33. Справочник по прикладной статистике. Т. 1, 2 / Под ред. Э. Ллойда, У. Линдермана.– М.: Финансы и статистика, 1990.
34. Химмельбау Д. Анализ процессов статистическими методами.–М.: Наука, 1973.–958 с.
35. Щелутко В.А. Численные методы в гидрологии. – Л.: Гидрометеоиздат, 1991.–238 с.
36. David A. Chin. Water-resources Engineering (Second edition). Pearson Education International, USA, New Jersey, 2006.-962pp.
37. V.T.Chow, D.R.Maidment and L.W. Mays. Applied Hydrology. Mc Graw-Hill, Inc., New York, 1988.-572 pp.

ΘΛΑՎΘԼԹՐ

Pearson III tip analitik teminat eğrisinin normalallaşdırılmış ordinatları

$$t_p = f(C_s, p), \quad t_p = (x_p - \bar{x})/\sigma = (k_p - 1)/C_v$$

| C_s | Teminat, % | | | | | | | | | | S |
|-------|------------|------|------|------|------|------|------|------|-------|-------|-------|
| | 0.01 | 0.1 | 1.0 | 5.0 | 10 | 20 | 25 | 30 | 50 | 70 | |
| -1.8 | 1.11 | 1.09 | 1.02 | 0.94 | 0.80 | 0.72 | 0.64 | 0.50 | 0.28 | -0.24 | -0.42 |
| -1.6 | 1.26 | 1.24 | 1.20 | 1.10 | 0.99 | 0.81 | 0.73 | 0.64 | 0.25 | -0.28 | -0.46 |
| -1.4 | 1.41 | 1.39 | 1.32 | 1.17 | 1.04 | 0.83 | 0.73 | 0.64 | 0.22 | -0.31 | -0.49 |
| -1.2 | 1.68 | 1.58 | 1.45 | 1.24 | 1.08 | 0.84 | 0.74 | 0.63 | 0.19 | -0.35 | -0.52 |
| -1.0 | 1.92 | 1.79 | 1.59 | 1.32 | 1.13 | 0.85 | 0.73 | 0.62 | 0.16 | -0.41 | -0.55 |
| -0.8 | 2.23 | 2.02 | 1.74 | 1.38 | 1.17 | 0.86 | 0.73 | 0.60 | 0.13 | -0.44 | -0.58 |
| -0.6 | 2.57 | 2.27 | 1.88 | 1.45 | 1.20 | 0.85 | 0.72 | 0.59 | 0.10 | -0.47 | -0.61 |
| -0.4 | 2.98 | 2.54 | 2.03 | 1.52 | 1.23 | 0.85 | 0.71 | 0.57 | 0.07 | -0.50 | -0.63 |
| -0.2 | 3.37 | 2.81 | 2.18 | 1.58 | 1.26 | 0.85 | 0.69 | 0.55 | 0.03 | -0.55 | -0.65 |
| 0.0 | 32.72 | 3.09 | 2.33 | 1.64 | 1.28 | 0.84 | 0.67 | 0.52 | 0.00 | -0.52 | -0.67 |
| 0.2 | 4.16 | 3.38 | 2.47 | 1.70 | 1.30 | 0.83 | 0.65 | 0.50 | -0.03 | -0.50 | -0.69 |
| 0.4 | 4.61 | 3.66 | 2.61 | 1.75 | 1.32 | 0.82 | 0.63 | 0.47 | -0.07 | -0.52 | -0.71 |

| C_s | Taminat p% | | | | | | | | | | | | S | | | | | |
|-------|------------|------|------|------|------|------|------|-------|-------|-------|-------|-------|-------|-------|-------|-------|-------|------|
| | 0.01 | 0.1 | 1.0 | 5.0 | 10 | 20 | 25 | 30 | 50 | 70 | 75 | 80 | | | | | | |
| 0.6 | 5.05 | 3.96 | 2.75 | 1.80 | 1.33 | 0.80 | 0.61 | 0.44 | -0.10 | -0.55 | -0.72 | -0.85 | -1.20 | -1.45 | -1.61 | -1.88 | -2.27 | 0.17 |
| 0.8 | 5.50 | 4.24 | 2.89 | 1.84 | 1.34 | 0.78 | 0.58 | 0.41 | -0.13 | -0.59 | -0.73 | -0.86 | -1.17 | -1.38 | -1.52 | -1.74 | -2.02 | 0.22 |
| 1.0 | 5.96 | 4.53 | 3.02 | 1.88 | 1.34 | 0.76 | 0.55 | 0.38 | -0.16 | -0.60 | -0.73 | -0.85 | -1.13 | -1.32 | -1.42 | -1.59 | -1.79 | 0.28 |
| 1.2 | 5.41 | 4.81 | 3.15 | 1.92 | 1.34 | 0.73 | 0.52 | 0.35 | -0.19 | -0.62 | -0.74 | -0.84 | -1.08 | -1.24 | -1.33 | -1.45 | -1.58 | 0.34 |
| 1.4 | 6.87 | 5.09 | 3.27 | 1.95 | 1.34 | 0.71 | 0.49 | 0.31 | -0.22 | -0.63 | -0.73 | -0.83 | -1.04 | -1.17 | -1.23 | -1.32 | -1.39 | 0.39 |
| 1.6 | 7.31 | 5.37 | 3.39 | 1.97 | 1.33 | 0.68 | 0.46 | 0.28 | -0.25 | -0.64 | -0.73 | -0.81 | -0.99 | -1.10 | -1.14 | -1.20 | -1.24 | 0.45 |
| 1.8 | 7.76 | 5.64 | 3.50 | 1.99 | 1.32 | 0.64 | 0.42 | 0.24 | -0.28 | -0.64 | -0.72 | -0.80 | -0.94 | -1.02 | -1.06 | -1.09 | -1.11 | 0.51 |
| 2.0 | 8.21 | 5.91 | 3.60 | 2.00 | 1.30 | 0.61 | 0.39 | 0.20 | -0.31 | -0.64 | -0.71 | -0.78 | -0.90 | -0.95 | -0.97 | -0.99 | -1.00 | 0.57 |
| 2.2 | 8.63 | 6.14 | 3.68 | 2.02 | 1.27 | 0.57 | 0.35 | 0.16 | -0.33 | -0.64 | -0.69 | -0.75 | -0.84 | -0.88 | -0.90 | -0.90 | -0.91 | 0.52 |
| 2.4 | 9.00 | 6.37 | 3.78 | 2.00 | 1.25 | 0.52 | 0.29 | 0.12 | -0.35 | -0.62 | -0.67 | -0.72 | -0.79 | -0.82 | -0.83 | -0.83 | -0.83 | 0.67 |
| 2.6 | 9.39 | 6.54 | 3.86 | 2.00 | 1.21 | 0.48 | 0.25 | 0.085 | -0.37 | -0.61 | -0.66 | -0.70 | -0.75 | -0.76 | -0.77 | -0.77 | -0.77 | 0.72 |
| 2.8 | 9.77 | 6.86 | 8.96 | 2.00 | 1.18 | 0.44 | 0.22 | 0.057 | -0.39 | -0.60 | -0.64 | -0.67 | -0.70 | -0.71 | -0.71 | -0.72 | -0.72 | 0.76 |
| 3.0 | 10.16 | 7.10 | 4.05 | 1.97 | 1.13 | 0.39 | 0.19 | 0.027 | -0.40 | -0.59 | -0.62 | -0.64 | -0.66 | -0.66 | -0.67 | -0.67 | -0.67 | 0.80 |

Kritski-Menkelin təminatlar əyrisinin modul əmsalları ilə ifadə olunmuş ordinatları (üçparametrlı qamma paylanma), $C_s/C_v=0,5$

| p% | Variasiya əmsalı, C_v | | | | | | | |
|------|-------------------------|-------|-------|-------|-------|-------|-------|-------|
| | 0,0 | 0,1 | 0,2 | 0,3 | 0,4 | 0,5 | 0,6 | 0,7 |
| 0,01 | 1,00 | 1,38 | 1,76 | 2,13 | 2,47 | 2,74 | 2,91 | 2,89 |
| 0,1 | 1,00 | 1,31 | 1,63 | 1,95 | 2,25 | 2,50 | 2,69 | 2,74 |
| 0,3 | 1,00 | 1,28 | 1,56 | 1,85 | 2,12 | 2,36 | 2,55 | 2,64 |
| 0,5 | 1,00 | 1,26 | 1,53 | 1,79 | 2,05 | 2,28 | 2,48 | 2,59 |
| 1,0 | 1,00 | 1,24 | 1,48 | 1,72 | 1,95 | 2,17 | 2,37 | 2,50 |
| 3 | 1,00 | 1,19 | 1,38 | 1,58 | 1,78 | 1,97 | 2,16 | 2,33 |
| 5 | 1,00 | 1,17 | 1,33 | 1,51 | 1,68 | 1,86 | 2,03 | 2,22 |
| 10 | 1,00 | 1,13 | 1,26 | 1,39 | 1,53 | 1,67 | 1,83 | 2,01 |
| 20 | 1,00 | 1,08 | 1,17 | 1,25 | 1,35 | 1,44 | 1,56 | 1,70 |
| 25 | 1,00 | 1,07 | 1,13 | 1,20 | 1,27 | 1,35 | 1,45 | 1,56 |
| 30 | 1,00 | 1,05 | 1,10 | 1,16 | 1,21 | 1,27 | 1,35 | 1,42 |
| 40 | 1,00 | 1,02 | 1,05 | 1,07 | 1,1 | 1,12 | 1,15 | 1,16 |
| 50 | 1,00 | 0,999 | 0,997 | 0,993 | 0,998 | 0,980 | 0,962 | 0,920 |
| 60 | 1,00 | 0,974 | 0,946 | 0,915 | 0,881 | 0,839 | 0,780 | 0,690 |
| 70 | 1,00 | 0,947 | 0,882 | 0,834 | 0,769 | 0,693 | 0,569 | 0,476 |
| 75 | 1,00 | 0,932 | 0,862 | 0,789 | 0,709 | 0,615 | 0,503 | 0,376 |
| 80 | 1,00 | 0,915 | 0,829 | 0,740 | 0,643 | 0,533 | 0,409 | 0,282 |
| 90 | 1,00 | 0,872 | 0,744 | 0,615 | 0,48 | 0,343 | 0,215 | 0,115 |
| 95 | 1,00 | 0,837 | 0,676 | 0,517 | 0,362 | 0,221 | 0,113 | 0,047 |
| 97 | 1,00 | 0,814 | 0,633 | 0,458 | 0,295 | 0,160 | 0,070 | 0,024 |
| 99 | 1,00 | 0,772 | 0,554 | 0,354 | 0,189 | 0,080 | 0,025 | 0,006 |
| 99,5 | 1,00 | 0,748 | 0,511 | 0,302 | 0,144 | 0,051 | 0,013 | 0,002 |
| 99,7 | 1,00 | 0,732 | 0,482 | 0,269 | 0,117 | 0,037 | 0,008 | 0,001 |
| 99,9 | 1,00 | 0,700 | 0,428 | 0,210 | 0,076 | 0,019 | 0,003 | 0,000 |

Kritski-Menkelin təminatlar əyrisinin modul əmsalları ilə ifadə olunmuş ordinatları (üçparametrlı qamma paylanma), $C_s/C_v=1.0$

| p % | Variasiya əmsalı, C_v | | | | | | | | | |
|------|-------------------------|-------|-------|-------|-------|-------|-------|-------|-------|-------|
| | 0,1 | 0,2 | 0,3 | 0,4 | 0,5 | 0,6 | 0,7 | 0,8 | 0,9 | 1,0 |
| 0,01 | 1,38 | 1,81 | 2,26 | 2,70 | 3,15 | 3,57 | 3,95 | 4,31 | 4,64 | 4,92 |
| 0,1 | 1,32 | 1,67 | 2,03 | 2,40 | 2,77 | 3,13 | 3,48 | 3,82 | 4,13 | 4,42 |
| 0,3 | 1,28 | 1,59 | 1,91 | 2,23 | 2,56 | 2,89 | 3,21 | 3,53 | 3,84 | 4,14 |
| 0,5 | 1,27 | 1,55 | 1,84 | 2,15 | 2,46 | 2,77 | 3,08 | 3,38 | 3,69 | 3,99 |
| 1,0 | 1,24 | 1,49 | 1,76 | 2,03 | 2,30 | 2,59 | 2,88 | 3,16 | 3,46 | 3,75 |
| 3 | 1,19 | 1,39 | 1,60 | 1,82 | 2,04 | 2,27 | 2,50 | 2,75 | 3,01 | 3,29 |
| 5 | 1,17 | 1,34 | 1,52 | 1,70 | 1,90 | 2,10 | 2,30 | 2,53 | 2,76 | 3,02 |
| 10 | 1,13 | 1,26 | 1,40 | 1,54 | 1,68 | 1,83 | 1,99 | 2,16 | 2,35 | 2,55 |
| 20 | 1,08 | 1,17 | 1,25 | 1,34 | 1,42 | 1,51 | 1,60 | 1,70 | 1,80 | 1,90 |
| 25 | 1,07 | 1,13 | 1,20 | 1,26 | 1,33 | 1,39 | 1,46 | 1,52 | 1,59 | 1,64 |
| 30 | 1,05 | 1,10 | 1,15 | 1,20 | 1,24 | 1,29 | 1,33 | 1,37 | 1,39 | 1,40 |
| 40 | 1,02 | 1,04 | 1,06 | 1,08 | 1,09 | 1,10 | 1,10 | 1,08 | 1,05 | 0,995 |
| 50 | 0,998 | 0,993 | 0,985 | 0,972 | 0,954 | 0,928 | 0,891 | 0,836 | 0,76 | 0,665 |
| 60 | 0,973 | 0,943 | 0,909 | 0,870 | 0,824 | 0,768 | 0,698 | 0,613 | 0,512 | 0,406 |
| 70 | 0,946 | 0,890 | 0,830 | 0,764 | 0,692 | 0,609 | 0,515 | 0,413 | 0,309 | 0,215 |
| 75 | 0,932 | 0,861 | 0,787 | 0,708 | 0,622 | 0,528 | 0,426 | 0,321 | 0,224 | 0,144 |
| 80 | 0,915 | 0,829 | 0,740 | 0,648 | 0,549 | 0,445 | 0,338 | 0,237 | 0,151 | 0,088 |
| 90 | 0,873 | 0,748 | 0,623 | 0,500 | 0,378 | 0,264 | 0,165 | 0,092 | 0,045 | 0,019 |
| 95 | 0,838 | 0,683 | 0,533 | 0,392 | 0,263 | 0,157 | 0,081 | 0,036 | 0,013 | 0,004 |
| 97 | 0,816 | 0,642 | 0,478 | 0,329 | 0,202 | 0,107 | 0,048 | 0,018 | 0,005 | 0,001 |
| 99 | 0,775 | 0,568 | 0,383 | 0,229 | 0,115 | 0,047 | 0,015 | 0,004 | 0,001 | 0,000 |
| 99,5 | 0,752 | 0,528 | 0,335 | 0,182 | 0,081 | 0,028 | 0,008 | 0,002 | 0,000 | 0,000 |
| 99,7 | 0,737 | 0,502 | 0,303 | 0,154 | 0,062 | 0,019 | 0,004 | 0,001 | 0,000 | 0,000 |
| 99,9 | 0,707 | 0,451 | 0,247 | 0,108 | 0,036 | 0,008 | 0,001 | 0,000 | 0,000 | 0,000 |

Kritski-Menkelin təminatlar əyrisinin modul əmsalları ilə ifadə olunmuş ordinatları (üçparametrlı qamma paylanması), $C_s/C_v=1.0$

| p % | Variasiya əmsalı, C_v | | | | | | | | | |
|------|-------------------------|-------|-------|-------|-------|-------|-------|-------|-------|------|
| | 0,1 | 0,2 | 0,3 | 0,4 | 0,5 | 0,6 | 0,7 | 0,8 | 0,9 | 1,0 |
| 0,01 | 5,16 | 5,32 | 5,46 | 5,58 | 5,68 | 5,76 | 5,82 | 5,88 | 5,92 | 5,96 |
| 0,1 | 4,69 | 4,92 | 5,06 | 5,18 | 5,29 | 5,37 | 5,44 | 5,49 | 5,54 | 5,58 |
| 0,3 | 4,44 | 4,74 | 4,92 | 5,06 | 5,16 | 5,24 | 5,31 | 5,36 | 5,42 | 5,46 |
| 0,5 | 4,29 | 4,58 | 4,75 | 4,91 | 5,02 | 5,11 | 5,18 | 5,24 | 5,28 | 5,32 |
| 1,0 | 4,06 | 4,36 | 4,55 | 4,72 | 4,84 | 4,94 | 5,00 | 5,07 | 5,12 | 5,16 |
| 3 | 3,59 | 3,92 | 4,14 | 4,33 | 4,46 | 4,58 | 4,68 | 4,76 | 4,84 | 4,92 |
| 5 | 3,31 | 3,63 | 3,84 | 4,02 | 4,16 | 4,28 | 4,40 | 4,50 | 4,60 | 4,69 |
| 10 | 2,78 | 3,03 | 3,26 | 3,46 | 3,64 | 3,81 | 3,94 | 4,05 | 4,15 | 4,25 |
| 20 | 2,00 | 2,10 | 2,20 | 2,32 | 2,44 | 2,56 | 2,67 | 2,80 | 2,92 | 3,03 |
| 25 | 1,68 | 1,69 | 1,70 | 1,70 | 1,68 | 1,66 | 1,61 | 1,56 | 1,51 | 1,46 |
| 30 | 1,39 | 1,34 | 1,26 | 1,17 | 1,07 | 0,96 | 0,84 | 0,72 | 0,60 | 0,45 |
| 40 | 0,916 | 0,808 | 0,72 | 0,60 | 0,50 | 0,38 | 0,28 | 0,20 | 0,11 | 0,04 |
| 50 | 0,559 | 0,446 | 0,34 | 0,26 | 0,20 | 0,15 | 0,105 | 0,07 | 0,04 | 0,01 |
| 60 | 0,306 | 0,216 | 0,19 | 0,13 | 0,10 | 0,075 | 0,055 | 0,035 | 0,015 | 0,00 |
| 70 | 0,141 | 0,085 | 0,06 | 0,045 | 0,035 | 0,025 | 0,015 | 0,010 | 0,000 | 0,00 |
| 75 | 0,086 | 0,046 | 0,025 | 0,020 | 0,010 | 0,005 | 0,000 | 0,000 | 0,000 | 0,00 |
| 80 | 0,047 | 0,023 | 0,015 | 0,005 | 0,000 | 0,000 | 0,000 | 0,000 | 0,000 | 0,00 |
| 90 | 0,007 | 0,002 | 0,000 | 0,000 | 0,000 | 0,000 | 0,000 | 0,000 | 0,000 | 0,00 |
| 95 | 0,001 | 0,000 | 0,000 | 0,000 | 0,000 | 0,000 | 0,000 | 0,000 | 0,000 | 0,00 |
| 97 | 0,000 | 0,000 | 0,000 | 0,000 | 0,000 | 0,000 | 0,000 | 0,000 | 0,000 | 0,00 |
| 99 | 0,000 | 0,000 | 0,000 | 0,000 | 0,000 | 0,000 | 0,000 | 0,000 | 0,000 | 0,00 |
| 99,5 | 0,000 | 0,000 | 0,000 | 0,000 | 0,000 | 0,000 | 0,000 | 0,000 | 0,000 | 0,00 |
| 99,7 | 0,000 | 0,000 | 0,000 | 0,000 | 0,000 | 0,000 | 0,000 | 0,000 | 0,000 | 0,00 |
| 99,9 | 0,000 | 0,000 | 0,000 | 0,000 | 0,000 | 0,000 | 0,000 | 0,000 | 0,000 | 0,00 |

Kritski-Menkelin təminatlar əyrisinin modul əmsalları ilə ifadə olunmuş ordinatları (üçparametrlı qamma paylanması), $C_s/C_v=2.0$

| p% | Variasiya əmsalı, C_v | | | | | | | | | |
|------|-------------------------|-------|-------|-------|-------|-------|-------|-------|-------|-------|
| | 0,1 | 0,2 | 0,3 | 0,4 | 0,5 | 0,6 | 0,7 | 0,8 | 0,9 | 1,0 |
| 0,01 | 1,42 | 1,92 | 2,52 | 3,20 | 3,98 | 4,85 | 5,81 | 6,85 | 7,98 | 9,21 |
| 0,1 | 1,34 | 1,73 | 2,19 | 2,70 | 3,27 | 3,87 | 4,56 | 5,30 | 6,08 | 6,91 |
| 0,3 | 1,30 | 1,64 | 2,02 | 2,45 | 2,91 | 3,42 | 3,96 | 4,55 | 5,16 | 5,81 |
| 0,5 | 1,28 | 1,59 | 1,94 | 2,32 | 2,74 | 3,20 | 3,68 | 4,19 | 4,74 | 5,30 |
| 1,0 | 1,25 | 1,52 | 1,82 | 2,16 | 2,51 | 2,89 | 3,29 | 3,71 | 4,15 | 4,60 |
| 3 | 1,20 | 1,41 | 1,64 | 1,87 | 2,13 | 2,39 | 2,66 | 2,94 | 3,21 | 3,51 |
| 5 | 1,17 | 1,35 | 1,54 | 1,74 | 1,94 | 2,15 | 2,36 | 2,57 | 2,78 | 3,00 |
| 10 | 1,13 | 1,26 | 1,40 | 1,54 | 1,67 | 1,80 | 1,94 | 2,06 | 2,19 | 2,30 |
| 20 | 1,08 | 1,16 | 1,24 | 1,31 | 1,38 | 1,44 | 1,50 | 1,54 | 1,58 | 1,61 |
| 25 | 1,06 | 1,13 | 1,18 | 1,23 | 1,28 | 1,31 | 1,34 | 1,37 | 1,38 | 1,39 |
| 30 | 1,05 | 1,09 | 1,13 | 1,16 | 1,19 | 1,21 | 1,22 | 1,22 | 1,22 | 1,20 |
| 40 | 1,02 | 1,04 | 1,05 | 1,05 | 1,04 | 1,03 | 1,01 | 0,984 | 0,955 | 0,916 |
| 50 | 0,997 | 0,986 | 0,970 | 0,948 | 0,918 | 0,886 | 0,846 | 0,800 | 0,748 | 0,693 |
| 60 | 0,972 | 0,938 | 0,898 | 0,852 | 0,803 | 0,748 | 0,692 | 0,632 | 0,568 | 0,511 |
| 70 | 0,945 | 0,886 | 0,823 | 0,760 | 0,691 | 0,622 | 0,552 | 0,488 | 0,424 | 0,357 |
| 75 | 0,931 | 0,858 | 0,784 | 0,708 | 0,634 | 0,556 | 0,489 | 0,416 | 0,352 | 0,288 |
| 80 | 0,915 | 0,830 | 0,745 | 0,656 | 0,574 | 0,496 | 0,419 | 0,352 | 0,280 | 0,223 |
| 90 | 0,873 | 0,754 | 0,640 | 0,532 | 0,436 | 0,352 | 0,272 | 0,208 | 0,154 | 0,105 |
| 95 | 0,842 | 0,696 | 0,565 | 0,448 | 0,342 | 0,256 | 0,181 | 0,120 | 0,082 | 0,051 |
| 97 | 0,821 | 0,660 | 0,517 | 0,392 | 0,288 | 0,202 | 0,139 | 0,088 | 0,046 | 0,030 |
| 99 | 0,782 | 0,594 | 0,436 | 0,304 | 0,206 | 0,130 | 0,076 | 0,040 | 0,019 | 0,010 |
| 99,5 | 0,761 | 0,560 | 0,394 | 0,269 | 0,166 | 0,099 | 0,054 | 0,027 | 0,012 | 0,005 |
| 99,7 | 0,748 | 0,537 | 0,374 | 0,240 | 0,144 | 0,082 | 0,042 | 0,019 | 0,008 | 0,003 |
| 99,9 | 0,719 | 0,492 | 0,319 | 0,192 | 0,107 | 0,052 | 0,027 | 0,008 | 0,004 | 0,001 |

Əlavə 2.3 (davamı)

Kritski-Menkelin təminatlar əyrisinin modul əmsalları ilə ifadə olunmuş ordinatları (üçparametrlı qamma paylanması), $C_s/C_v=2.0$

| p% | Variasiya əmsali, C_v | | | | | | | | | |
|------|-------------------------|-------|-------|-------|-------|-------|-------|-------|-------|-------|
| | 1,1 | 1,2 | 1,3 | 1,4 | 1,5 | 1,6 | 1,7 | 1,8 | 1,9 | 2,0 |
| 0,01 | 10,5 | 11,8 | 13,2 | 14,7 | 16,4 | 5,76 | 18,2 | 22,2 | 24,4 | 26,6 |
| 0,1 | 7,75 | 8,65 | 9,60 | 10,6 | 11,6 | 5,37 | 13,5 | 14,6 | 15,8 | 17,0 |
| 0,3 | 6,47 | 7,10 | 7,98 | 8,70 | 9,50 | 5,24 | 11,0 | 11,9 | 12,7 | 13,6 |
| 0,5 | 5,90 | 6,50 | 7,13 | 7,80 | 8,42 | 5,11 | 9,5 | 10,1 | 10,8 | 11,4 |
| 1,0 | 5,05 | 5,53 | 6,02 | 6,55 | 7,08 | 4,94 | 8,0 | 8,6 | 9,2 | 9,8 |
| 3 | 3,80 | 4,12 | 4,42 | 4,71 | 4,98 | 4,58 | 5,5 | 5,8 | 6,2 | 6,5 |
| 5 | 3,22 | 3,40 | 3,60 | 3,80 | 3,96 | 4,28 | 4,3 | 4,5 | 4,7 | 5,0 |
| 10 | 2,40 | 2,50 | 2,57 | 2,64 | 2,70 | 3,81 | 2,6 | 2,6 | 2,6 | 2,6 |
| 20 | 1,62 | 1,63 | 1,62 | 1,61 | 1,59 | 2,56 | 1,6 | 1,56 | 1,5 | 1,5 |
| 25 | 1,39 | 1,35 | 1,33 | 1,31 | 1,28 | 1,66 | 1,24 | 1,22 | 1,2 | 1,18 |
| 30 | 1,18 | 1,14 | 1,11 | 1,08 | 1,04 | 0,96 | 0,98 | 0,95 | 0,92 | 0,89 |
| 40 | 0,870 | 0,830 | 0,770 | 0,725 | 0,670 | 0,38 | 0,58 | 0,53 | 0,48 | 0,44 |
| 50 | 0,640 | 0,580 | 0,520 | 0,460 | 0,405 | 0,15 | 0,310 | 0,265 | 0,23 | 0,20 |
| 60 | 0,450 | 0,390 | 0,334 | 0,283 | 0,234 | 0,075 | 0,160 | 0,130 | 0,105 | 0,085 |
| 70 | 0,300 | 0,250 | 0,203 | 0,155 | 0,120 | 0,025 | 0,070 | 0,060 | 0,05 | 0,045 |
| 75 | 0,241 | 0,193 | 0,146 | 0,106 | 0,077 | 0,005 | 0,050 | 0,040 | 0,03 | 0,025 |
| 80 | 0,175 | 0,130 | 0,094 | 0,065 | 0,046 | 0,000 | 0,027 | 0,020 | 0,015 | 0,010 |
| 90 | 0,074 | 0,049 | 0,030 | 0,016 | 0,009 | 0,000 | 0,004 | 0,003 | 0,002 | 0,001 |
| 95 | 0,030 | 0,016 | 0,009 | 0,004 | 0,002 | 0,000 | 0,000 | 0,000 | 0,000 | 0,000 |
| 97 | 0,016 | 0,008 | 0,004 | 0,002 | 0,001 | 0,000 | 0,000 | 0,000 | 0,000 | 0,000 |
| 99 | 0,005 | 0,002 | 0,001 | 0,000 | 0,000 | 0,000 | 0,000 | 0,000 | 0,000 | 0,000 |
| 99,5 | 0,002 | 0,001 | 0,000 | 0,000 | 0,000 | 0,000 | 0,000 | 0,000 | 0,000 | 0,000 |
| 99,7 | 0,001 | 0,000 | 0,000 | 0,000 | 0,000 | 0,000 | 0,000 | 0,000 | 0,000 | 0,000 |
| 99,9 | 0,000 | 0,000 | 0,000 | 0,000 | 0,000 | 0,000 | 0,000 | 0,000 | 0,000 | 0,000 |

Kritski-Menkelin təminatlar əyrisinin modul əmsalları ilə ifadə olunmuş ordinatları (üçparametrlı qamma paylanması), $C_s/C_v=3.0$

| p% | Variasiya əmsalı, C_v | | | | | | | | | |
|------|-------------------------|-------|-------|-------|-------|-------|-------|-------|-------|-------|
| | 0,1 | 0,2 | 0,3 | 0,4 | 0,5 | 0,6 | 0,7 | 0,8 | 0,9 | 1,0 |
| 0,01 | 1,46 | 2,05 | 2,83 | 3,80 | 4,94 | 6,26 | 7,70 | 9,30 | 11,0 | 12,8 |
| 0,1 | 1,36 | 1,81 | 2,35 | 3,01 | 3,74 | 4,56 | 5,44 | 6,38 | 7,37 | 8,41 |
| 0,3 | 1,31 | 1,69 | 2,12 | 2,65 | 3,21 | 3,82 | 4,48 | 5,17 | 5,88 | 6,61 |
| 0,5 | 1,28 | 1,63 | 2,03 | 2,48 | 2,97 | 3,50 | 4,06 | 4,64 | 5,24 | 5,84 |
| 1,0 | 1,25 | 1,55 | 1,90 | 2,26 | 2,66 | 3,07 | 3,50 | 3,96 | 4,41 | 4,87 |
| 3 | 1,20 | 1,42 | 1,66 | 1,91 | 2,17 | 2,43 | 2,69 | 2,95 | 3,21 | 3,47 |
| 5 | 1,17 | 1,36 | 1,55 | 1,75 | 1,95 | 2,14 | 2,34 | 2,52 | 2,70 | 2,88 |
| 10 | 1,13 | 1,26 | 1,40 | 1,52 | 1,65 | 1,76 | 1,87 | 1,97 | 2,06 | 2,15 |
| 20 | 1,08 | 1,16 | 1,23 | 1,29 | 1,34 | 1,38 | 1,42 | 1,45 | 1,47 | 1,49 |
| 25 | 1,07 | 1,12 | 1,17 | 1,21 | 1,24 | 1,26 | 1,28 | 1,28 | 1,29 | 1,29 |
| 30 | 1,05 | 1,09 | 1,12 | 1,14 | 1,15 | 1,16 | 1,16 | 1,15 | 1,14 | 1,13 |
| 40 | 1,02 | 1,03 | 1,03 | 1,03 | 1,01 | 0,995 | 0,972 | 0,946 | 0,915 | 0,883 |
| 50 | 0,997 | 0,981 | 0,959 | 0,930 | 0,898 | 0,862 | 0,823 | 0,783 | 0,741 | 0,699 |
| 60 | 0,972 | 0,933 | 0,890 | 0,843 | 0,794 | 0,745 | 0,695 | 0,646 | 0,597 | 0,549 |
| 70 | 0,945 | 0,884 | 0,822 | 0,758 | 0,696 | 0,636 | 0,578 | 0,523 | 0,471 | 0,422 |
| 75 | 0,931 | 0,858 | 0,786 | 0,715 | 0,647 | 0,583 | 0,522 | 0,465 | 0,412 | 0,363 |
| 80 | 0,915 | 0,830 | 0,748 | 0,669 | 0,596 | 0,528 | 0,465 | 0,407 | 0,354 | 0,306 |
| 90 | 0,876 | 0,761 | 0,656 | 0,563 | 0,479 | 0,406 | 0,341 | 0,284 | 0,235 | 0,193 |
| 95 | 0,844 | 0,708 | 0,588 | 0,487 | 0,400 | 0,326 | 0,263 | 0,210 | 0,166 | 0,129 |
| 97 | 0,825 | 0,675 | 0,548 | 0,443 | 0,355 | 0,282 | 0,221 | 0,171 | 0,131 | 0,099 |
| 99 | 0,786 | 0,618 | 0,484 | 0,369 | 0,283 | 0,213 | 0,158 | 0,116 | 0,083 | 0,058 |
| 99,5 | 0,769 | 0,588 | 0,446 | 0,334 | 0,249 | 0,182 | 0,131 | 0,092 | 0,064 | 0,043 |
| 99,7 | 0,756 | 0,568 | 0,422 | 0,312 | 0,228 | 0,163 | 0,114 | 0,079 | 0,053 | 0,034 |
| 99,9 | 0,732 | 0,531 | 0,381 | 0,273 | 0,192 | 0,131 | 0,088 | 0,057 | 0,036 | 0,022 |

Əlavə 2.4 (davamı)

Kritski-Menkelin təminatlar əyrisinin modul əmsalları ilə ifadə olunmuş ordinatları (üçparametrlı qamma paylanması), $C_s/C_v = 3,0$

| p% | Variasiya əmsali, C_v | | | | | | | | | |
|------|-------------------------|-------|-------|-------|-------|-------|-------|-------|-------|-------|
| | 0,1 | 0,2 | 0,3 | 0,4 | 0,5 | 0,6 | 0,7 | 0,8 | 0,9 | 1,0 |
| 0,01 | 14,8 | 16,8 | 19,0 | 21,2 | 23,5 | 25,9 | 28,4 | 31,0 | 33,7 | 36,5 |
| 0,1 | 9,49 | 10,6 | 11,8 | 13,0 | 14,2 | 15,4 | 16,7 | 18,0 | 19,4 | 20,8 |
| 0,3 | 7,37 | 8,15 | 8,94 | 9,75 | 10,6 | 11,4 | 12,3 | 13,1 | 14,0 | 14,8 |
| 0,5 | 6,47 | 7,10 | 7,75 | 8,41 | 9,07 | 9,74 | 10,4 | 11,1 | 11,8 | 12,4 |
| 1,0 | 5,33 | 5,79 | 6,26 | 6,74 | 7,21 | 7,68 | 8,14 | 8,61 | 9,07 | 9,53 |
| 3 | 3,73 | 3,98 | 4,20 | 4,44 | 4,67 | 4,89 | 5,10 | 5,31 | 5,51 | 5,70 |
| 5 | 3,05 | 3,22 | 3,37 | 3,52 | 3,66 | 3,80 | 3,92 | 4,04 | 4,15 | 4,26 |
| 10 | 2,23 | 2,30 | 2,36 | 2,42 | 2,47 | 2,51 | 2,55 | 2,58 | 2,60 | 2,62 |
| 20 | 1,50 | 1,50 | 1,50 | 1,49 | 1,48 | 1,46 | 1,45 | 1,42 | 1,40 | 1,37 |
| 25 | 1,28 | 1,27 | 1,25 | 1,23 | 1,20 | 1,18 | 1,15 | 1,12 | 1,08 | 1,05 |
| 30 | 1,11 | 1,08 | 1,06 | 1,03 | 0,997 | 0,964 | 0,929 | 0,892 | 0,855 | 0,818 |
| 40 | 0,848 | 0,812 | 0,775 | 0,736 | 0,697 | 0,659 | 0,620 | 0,581 | 0,544 | 0,507 |
| 50 | 0,656 | 0,614 | 0,572 | 0,531 | 0,491 | 0,452 | 0,415 | 0,379 | 0,345 | 0,313 |
| 60 | 0,503 | 0,459 | 0,417 | 0,377 | 0,339 | 0,304 | 0,271 | 0,240 | 0,212 | 0,186 |
| 70 | 0,375 | 0,333 | 0,293 | 0,257 | 0,224 | 0,194 | 0,166 | 0,142 | 0,121 | 0,102 |
| 75 | 0,318 | 0,277 | 0,239 | 0,206 | 0,176 | 0,149 | 0,125 | 0,105 | 0,087 | 0,071 |
| 80 | 0,263 | 0,224 | 0,190 | 0,160 | 0,133 | 0,110 | 0,090 | 0,073 | 0,059 | 0,047 |
| 90 | 0,156 | 0,126 | 0,100 | 0,078 | 0,061 | 0,047 | 0,035 | 0,026 | 0,019 | 0,014 |
| 95 | 0,100 | 0,076 | 0,057 | 0,042 | 0,030 | 0,022 | 0,015 | 0,010 | 0,007 | 0,004 |
| 97 | 0,073 | 0,054 | 0,038 | 0,027 | 0,018 | 0,012 | 0,008 | 0,005 | 0,003 | 0,002 |
| 99 | 0,040 | 0,027 | 0,017 | 0,011 | 0,007 | 0,004 | 0,002 | 0,001 | 0,001 | 0,000 |
| 99,5 | 0,028 | 0,018 | 0,011 | 0,006 | 0,004 | 0,002 | 0,001 | 0,000 | 0,000 | 0,000 |
| 99,7 | 0,022 | 0,014 | 0,008 | 0,004 | 0,002 | 0,001 | 0,000 | 0,000 | 0,000 | 0,000 |
| 99,9 | 0,013 | 0,007 | 0,004 | 0,002 | 0,001 | 0,000 | 0,000 | 0,000 | 0,000 | 0,000 |

Kritski-Menkelin təminatlar əyrisinin modul əmsalları ilə ifadə olunmuş ordinatları (üçparametrlı qamma paylanması), $C_s/C_v = 4.0$

| p% | Variasiya əmsali, C_v | | | | | | | | | |
|------|-------------------------|-------|-------|-------|-------|-------|-------|-------|-------|-------|
| | 0,1 | 0,2 | 0,3 | 0,4 | 0,5 | 0,6 | 0,7 | 0,8 | 0,9 | 1,0 |
| 0,01 | 1,50 | 2,18 | 3,17 | 4,43 | 5,91 | 7,58 | 9,41 | 11,4 | 13,4 | 15,5 |
| 0,1 | 1,38 | 1,88 | 2,53 | 3,29 | 4,15 | 5,07 | 6,05 | 7,08 | 8,15 | 9,26 |
| 0,3 | 1,32 | 1,74 | 2,24 | 2,82 | 3,44 | 4,09 | 4,79 | 5,50 | 6,22 | 6,96 |
| 0,5 | 1,29 | 1,67 | 2,12 | 2,61 | 3,13 | 3,68 | 4,26 | 4,85 | 5,43 | 6,03 |
| 1,0 | 1,25 | 1,58 | 1,94 | 2,31 | 2,75 | 3,17 | 3,59 | 4,03 | 4,47 | 4,91 |
| 3 | 1,20 | 1,44 | 1,68 | 1,93 | 2,18 | 2,43 | 2,68 | 2,92 | 3,16 | 3,39 |
| 5 | 1,17 | 1,36 | 1,56 | 1,75 | 1,94 | 2,12 | 2,29 | 2,46 | 2,62 | 2,78 |
| 10 | 1,13 | 1,26 | 1,39 | 1,51 | 1,62 | 1,72 | 1,81 | 1,90 | 1,98 | 2,05 |
| 20 | 1,08 | 1,15 | 1,22 | 1,27 | 1,31 | 1,34 | 1,37 | 1,40 | 1,41 | 1,42 |
| 25 | 1,07 | 1,12 | 1,16 | 1,19 | 1,21 | 1,23 | 1,24 | 1,24 | 1,24 | 1,24 |
| 30 | 1,05 | 1,08 | 1,11 | 1,12 | 1,13 | 1,13 | 1,13 | 1,12 | 1,11 | 1,10 |
| 40 | 1,02 | 1,02 | 1,02 | 1,01 | 0,996 | 0,976 | 0,954 | 0,929 | 0,902 | 0,873 |
| 50 | 0,997 | 0,976 | 0,950 | 0,920 | 0,888 | 0,853 | 0,818 | 0,781 | 0,744 | 0,707 |
| 60 | 0,972 | 0,929 | 0,885 | 0,839 | 0,793 | 0,747 | 0,702 | 0,658 | 0,614 | 0,572 |
| 70 | 0,945 | 0,883 | 0,821 | 0,761 | 0,704 | 0,649 | 0,597 | 0,548 | 0,501 | 0,457 |
| 75 | 0,931 | 0,858 | 0,788 | 0,722 | 0,660 | 0,601 | 0,546 | 0,495 | 0,448 | 0,403 |
| 80 | 0,915 | 0,832 | 0,754 | 0,681 | 0,614 | 0,553 | 0,496 | 0,443 | 0,395 | 0,351 |
| 90 | 0,877 | 0,767 | 0,671 | 0,586 | 0,511 | 0,444 | 0,384 | 0,331 | 0,284 | 0,243 |
| 95 | 0,846 | 0,719 | 0,611 | 0,519 | 0,440 | 0,372 | 0,312 | 0,261 | 0,217 | 0,180 |
| 97 | 0,829 | 0,690 | 0,576 | 0,481 | 0,400 | 0,332 | 0,274 | 0,224 | 0,182 | 0,147 |
| 99 | 0,790 | 0,638 | 0,516 | 0,417 | 0,336 | 0,269 | 0,214 | 0,168 | 0,132 | 0,102 |
| 99,5 | 0,776 | 0,612 | 0,485 | 0,386 | 0,305 | 0,239 | 0,186 | 0,144 | 0,110 | 0,083 |
| 99,7 | 0,762 | 0,594 | 0,466 | 0,366 | 0,286 | 0,221 | 0,170 | 0,129 | 0,097 | 0,072 |
| 99,9 | 0,742 | 0,561 | 0,430 | 0,331 | 0,252 | 0,189 | 0,141 | 0,104 | 0,075 | 0,054 |

Əlavə 2.5 (davamı)

Kritski-Menkelin təminatlar əyrisinin modul əmsalları ilə ifadə olunmuş ordinatları (üçparametrlı qamma paylanma), $C_s/C_v=4.0$

| p% | Variasiya əmsalı, C_v | | | | | | | | | |
|------|-------------------------|-------|-------|-------|-------|-------|-------|-------|-------|-------|
| | 1,1 | 1,2 | 1,3 | 1,4 | 1,5 | 1,6 | 1,7 | 1,8 | 1,9 | 2,0 |
| 0,01 | 17,9 | 20,3 | 22,8 | 25,4 | 28,0 | 30,8 | 33,6 | 36,5 | 39,4 | 42,4 |
| 0,1 | 10,4 | 11,6 | 12,8 | 14,0 | 15,3 | 16,6 | 17,9 | 19,2 | 20,6 | 21,9 |
| 0,3 | 7,73 | 8,53 | 9,31 | 10,1 | 10,9 | 11,7 | 12,5 | 13,3 | 14,2 | 15,0 |
| 0,5 | 6,65 | 7,29 | 7,91 | 8,53 | 9,16 | 9,79 | 10,4 | 11,0 | 11,7 | 12,3 |
| 1,0 | 5,34 | 5,79 | 6,22 | 6,66 | 7,09 | 7,52 | 7,95 | 8,73 | 8,78 | 9,19 |
| 3 | 3,62 | 3,83 | 4,04 | 4,25 | 4,45 | 4,64 | 4,83 | 5,01 | 5,18 | 5,34 |
| 5 | 2,93 | 3,07 | 3,21 | 3,34 | 3,46 | 3,57 | 3,68 | 3,78 | 3,87 | 3,96 |
| 10 | 2,12 | 2,18 | 2,24 | 2,28 | 2,32 | 2,36 | 2,39 | 2,42 | 2,44 | 2,45 |
| 20 | 1,43 | 1,44 | 1,43 | 1,43 | 1,42 | 1,41 | 1,39 | 1,38 | 1,36 | 1,33 |
| 25 | 1,23 | 1,22 | 1,21 | 1,19 | 1,17 | 1,15 | 1,13 | 1,10 | 1,08 | 1,05 |
| 30 | 1,08 | 1,06 | 1,04 | 1,01 | 0,985 | 0,958 | 0,929 | 0,90 | 0,871 | 0,841 |
| 40 | 0,843 | 0,812 | 0,781 | 0,748 | 0,716 | 0,684 | 0,652 | 0,62 | 0,588 | 0,558 |
| 50 | 0,670 | 0,634 | 0,598 | 0,562 | 0,529 | 0,495 | 0,464 | 0,433 | 0,403 | 0,375 |
| 60 | 0,532 | 0,494 | 0,457 | 0,421 | 0,388 | 0,356 | 0,327 | 0,299 | 0,273 | 0,249 |
| 70 | 0,416 | 0,377 | 0,341 | 0,308 | 0,227 | 0,248 | 0,223 | 0,199 | 0,177 | 0,157 |
| 75 | 0,362 | 0,325 | 0,290 | 0,258 | 0,230 | 0,203 | 0,179 | 0,158 | 0,139 | 0,121 |
| 80 | 0,311 | 0,274 | 0,242 | 0,212 | 0,185 | 0,162 | 0,140 | 0,122 | 0,105 | 0,090 |
| 90 | 0,207 | 0,176 | 0,148 | 0,125 | 0,104 | 0,087 | 0,072 | 0,060 | 0,049 | 0,040 |
| 95 | 0,148 | 0,121 | 0,098 | 0,080 | 0,064 | 0,051 | 0,041 | 0,032 | 0,025 | 0,019 |
| 97 | 0,119 | 0,095 | 0,075 | 0,059 | 0,046 | 0,036 | 0,028 | 0,021 | 0,016 | 0,012 |
| 99 | 0,078 | 0,060 | 0,045 | 0,034 | 0,025 | 0,018 | 0,013 | 0,009 | 0,006 | 0,004 |
| 99,5 | 0,062 | 0,046 | 0,034 | 0,024 | 0,017 | 0,012 | 0,008 | 0,006 | 0,004 | 0,003 |
| 99,7 | 0,053 | 0,038 | 0,027 | 0,019 | 0,013 | 0,009 | 0,006 | 0,004 | 0,003 | 0,002 |
| 99,9 | 0,038 | 0,026 | 0,018 | 0,012 | 0,008 | 0,005 | 0,003 | 0,002 | 0,001 | 0,001 |

Əlavə 2.6

Kritski-Menkelin təminatlar əyrisinin modul əmsalları ilə ifadə olunmuş ordinatları (üçparametrlı qamma paylanma), $C_s/C_v=5.0$

| p% | Variasiya əmsali, C_v | | | | | | | | |
|------|-------------------------|------|------|------|------|------|-------|-------|-------|
| | 0,1 | 0,2 | 0,3 | 0,4 | 0,5 | 0,6 | 0,7 | 0,8 | 0,9 |
| 0,01 | 1,54 | 2,34 | 3,43 | 4,91 | 6,65 | 8,70 | 10,70 | 12,71 | 15,05 |
| 0,1 | 1,40 | 1,95 | 2,66 | 3,51 | 4,44 | 5,40 | 6,43 | 7,54 | 8,64 |
| 0,3 | 1,34 | 1,78 | 2,31 | 2,92 | 3,52 | 4,22 | 4,91 | 5,69 | 6,41 |
| 0,5 | 1,31 | 1,70 | 2,16 | 2,69 | 3,21 | 3,77 | 4,34 | 4,94 | 5,52 |
| 1,0 | 1,27 | 1,61 | 1,98 | 2,38 | 2,79 | 3,21 | 3,65 | 4,06 | 4,50 |
| 3 | 1,20 | 1,44 | 1,67 | 1,93 | 2,17 | 2,42 | 2,62 | 2,88 | 3,10 |
| 5 | 1,17 | 1,36 | 1,55 | 1,74 | 1,90 | 2,08 | 2,22 | 2,41 | 2,54 |
| 10 | 1,13 | 1,26 | 1,37 | 1,49 | 1,60 | 1,70 | 1,79 | 1,86 | 1,94 |
| 20 | 1,08 | 1,15 | 1,21 | 1,25 | 1,30 | 1,32 | 1,34 | 1,36 | 1,36 |
| 25 | 1,06 | 1,11 | 1,15 | 1,17 | 1,20 | 1,20 | 1,20 | 1,22 | 1,22 |
| 30 | 1,05 | 1,08 | 1,09 | 1,10 | 1,10 | 1,11 | 1,10 | 1,10 | 1,09 |
| 40 | 1,02 | 1,02 | 1,01 | 1,00 | 0,98 | 0,97 | 0,94 | 0,92 | 0,90 |
| 50 | 0,99 | 0,97 | 0,94 | 0,92 | 0,88 | 0,85 | 0,82 | 0,78 | 0,75 |
| 60 | 0,97 | 0,93 | 0,88 | 0,84 | 0,79 | 0,75 | 0,71 | 0,67 | 0,63 |
| 70 | 0,94 | 0,88 | 0,82 | 0,77 | 0,71 | 0,66 | 0,61 | 0,56 | 0,52 |
| 75 | 0,93 | 0,86 | 0,79 | 0,73 | 0,67 | 0,62 | 0,56 | 0,51 | 0,47 |
| 80 | 0,91 | 0,83 | 0,75 | 0,69 | 0,63 | 0,57 | 0,52 | 0,47 | 0,42 |
| 90 | 0,88 | 0,77 | 0,68 | 0,61 | 0,53 | 0,47 | 0,41 | 0,36 | 0,32 |
| 95 | 0,84 | 0,73 | 0,63 | 0,55 | 0,47 | 0,40 | 0,34 | 0,29 | 0,25 |
| 97 | 0,82 | 0,70 | 0,60 | 0,51 | 0,43 | 0,36 | 0,31 | 0,26 | 0,22 |
| 99 | 0,78 | 0,66 | 0,55 | 0,45 | 0,37 | 0,31 | 0,25 | 0,20 | 0,16 |
| 99,5 | 0,76 | 0,63 | 0,52 | 0,42 | 0,34 | 0,28 | 0,23 | 0,18 | 0,14 |
| 99,7 | 0,75 | 0,62 | 0,51 | 0,41 | 0,32 | 0,26 | 0,21 | 0,16 | 0,12 |
| 99,9 | 0,73 | 0,59 | 0,47 | 0,37 | 0,29 | 0,23 | 0,18 | 0,14 | 0,10 |

Kritski-Menkelin təminatlar əyrisinin modul əmsalları ilə ifadə olunmuş ordinatları (üçparametrlı qamma paylanması), $C_s/C_v=6.0$

| p% | Variasiya əmsali, C_v | | | | | | | | |
|------|-------------------------|------|------|------|------|------|-------|-------|-------|
| | 0,1 | 0,2 | 0,3 | 0,4 | 0,5 | 0,6 | 0,7 | 0,8 | 0,9 |
| 0,01 | 1,60 | 2,48 | 3,75 | 5,48 | 7,30 | 9,39 | 11,55 | 13,80 | 16,40 |
| 0,1 | 1,41 | 2,02 | 2,80 | 3,68 | 4,58 | 5,54 | 6,57 | 7,63 | 8,79 |
| 0,3 | 1,35 | 1,83 | 2,38 | 2,98 | 3,64 | 4,31 | 5,00 | 5,66 | 6,38 |
| 0,5 | 1,32 | 1,74 | 2,22 | 2,73 | 3,26 | 3,82 | 4,38 | 4,93 | 5,51 |
| 1,0 | 1,29 | 1,63 | 2,01 | 2,40 | 2,81 | 3,22 | 3,63 | 4,03 | 4,44 |
| 3 | 1,21 | 1,45 | 1,68 | 1,92 | 2,14 | 2,38 | 2,60 | 2,82 | 3,04 |
| 5 | 1,18 | 1,37 | 1,55 | 1,73 | 1,89 | 2,05 | 2,20 | 2,36 | 2,51 |
| 10 | 1,14 | 1,26 | 1,37 | 1,47 | 1,56 | 1,66 | 1,73 | 1,82 | 1,90 |
| 20 | 1,08 | 1,14 | 1,19 | 1,23 | 1,27 | 1,30 | 1,32 | 1,34 | 1,36 |
| 25 | 1,07 | 1,10 | 1,13 | 1,16 | 1,18 | 1,19 | 1,20 | 1,21 | 1,20 |
| 30 | 1,04 | 1,07 | 1,08 | 1,10 | 1,10 | 1,10 | 1,10 | 1,09 | 1,08 |
| 40 | 1,02 | 1,02 | 1,01 | 0,99 | 0,98 | 0,96 | 0,94 | 0,92 | 0,89 |
| 50 | 0,99 | 0,97 | 0,94 | 0,91 | 0,88 | 0,85 | 0,82 | 0,79 | 0,75 |
| 60 | 0,96 | 0,92 | 0,88 | 0,84 | 0,80 | 0,76 | 0,72 | 0,68 | 0,64 |
| 70 | 0,94 | 0,88 | 0,83 | 0,77 | 0,72 | 0,67 | 0,63 | 0,58 | 0,54 |
| 75 | 0,93 | 0,86 | 0,80 | 0,74 | 0,68 | 0,63 | 0,58 | 0,53 | 0,49 |
| 80 | 0,91 | 0,84 | 0,77 | 0,70 | 0,64 | 0,58 | 0,53 | 0,48 | 0,44 |
| 90 | 0,88 | 0,78 | 0,70 | 0,62 | 0,55 | 0,49 | 0,43 | 0,38 | 0,33 |
| 95 | 0,85 | 0,74 | 0,65 | 0,56 | 0,49 | 0,43 | 0,37 | 0,32 | 0,27 |
| 97 | 0,83 | 0,72 | 0,62 | 0,53 | 0,46 | 0,39 | 0,33 | 0,28 | 0,24 |
| 99 | 0,80 | 0,67 | 0,57 | 0,48 | 0,40 | 0,33 | 0,28 | 0,23 | 0,19 |
| 99,5 | 0,78 | 0,65 | 0,55 | 0,45 | 0,37 | 0,31 | 0,25 | 0,20 | 0,17 |
| 99,7 | 0,76 | 0,64 | 0,53 | 0,43 | 0,36 | 0,29 | 0,24 | 0,19 | 0,15 |
| 99,9 | 0,75 | 0,61 | 0,50 | 0,40 | 0,33 | 0,26 | 0,21 | 0,16 | 0,12 |

Əlavə 3.1

H – paylanmanın (A.V.Yejovun) təminatlar əyrisinin
modul əmsalları ilə ifadə olunmuş ordinatları

Cs/Cv=0,3 Cs/Cv=0,5

| p% | Variasiya əmsalı,Cv | | | | p% | Variasiya əmsalı,Cv | | | | |
|------|---------------------|------|------|------|------|---------------------|------|------|------|------|
| | 0,1 | 0,2 | 0,3 | 0,4 | | 0,1 | 0,2 | 0,3 | 0,4 | 0,5 |
| 0,01 | 1,38 | 1,76 | 2,15 | 2,52 | 0,01 | 1,38 | 1,78 | 2,17 | 2,57 | 2,76 |
| 0,05 | 1,34 | 1,67 | 2,01 | 2,35 | 0,05 | 1,34 | 1,68 | 2,04 | 2,38 | 2,55 |
| 0,1 | 1,31 | 1,63 | 1,95 | 2,26 | 0,1 | 1,32 | 1,64 | 1,97 | 2,30 | 2,46 |
| 0,5 | 1,26 | 1,52 | 1,79 | 2,05 | 0,5 | 1,26 | 1,53 | 1,80 | 2,08 | 2,21 |
| 1 | 1,24 | 1,47 | 1,71 | 1,95 | 1 | 1,24 | 1,48 | 1,72 | 1,97 | 2,09 |
| 3 | 1,19 | 1,38 | 1,57 | 1,77 | 3 | 1,19 | 1,38 | 1,58 | 1,78 | 1,88 |
| 5 | 1,17 | 1,33 | 1,50 | 1,67 | 5 | 1,17 | 1,34 | 1,51 | 1,68 | 1,77 |
| 10 | 1,13 | 1,26 | 1,39 | 1,52 | 10 | 1,13 | 1,26 | 1,39 | 1,52 | 1,59 |
| 20 | 1,08 | 1,17 | 1,25 | 1,34 | 20 | 1,08 | 1,17 | 1,25 | 1,34 | 1,38 |
| 30 | 1,05 | 1,10 | 1,16 | 1,21 | 30 | 1,05 | 1,10 | 1,15 | 1,21 | 1,23 |
| 40 | 1,02 | 1,05 | 1,07 | 1,10 | 40 | 1,02 | 1,05 | 1,07 | 1,09 | 1,10 |
| 50 | 1,00 | 1,00 | 1,00 | 0,99 | 50 | 1,00 | 1,00 | 0,99 | 0,99 | 0,99 |
| 60 | 0,97 | 0,95 | 0,92 | 0,89 | 60 | 0,97 | 0,95 | 0,92 | 0,88 | 0,87 |
| 70 | 0,95 | 0,89 | 0,84 | 0,78 | 70 | 0,95 | 0,89 | 0,84 | 0,78 | 0,74 |
| 80 | 0,92 | 0,83 | 0,74 | 0,65 | 80 | 0,92 | 0,83 | 0,74 | 0,65 | 0,60 |
| 90 | 0,87 | 0,74 | 0,62 | 0,48 | 90 | 0,87 | 0,74 | 0,62 | 0,48 | 0,42 |
| 95 | 0,84 | 0,67 | 0,51 | 0,34 | 95 | 0,84 | 0,68 | 0,52 | 0,36 | 0,28 |
| 97 | 0,81 | 0,63 | 0,45 | 0,26 | 97 | 0,81 | 0,63 | 0,46 | 0,28 | 0,20 |
| 99 | 0,77 | 0,54 | 0,33 | 0,13 | 99 | 0,77 | 0,55 | 0,34 | 0,16 | 0,09 |
| 99,5 | 0,74 | 0,50 | 0,26 | 0,08 | 99,5 | 0,75 | 0,51 | 0,29 | 0,11 | 0,05 |
| 99,9 | 0,70 | 0,41 | 0,16 | 0,02 | 99,9 | 0,70 | 0,42 | 0,18 | 0,04 | 0,01 |

H – paylanmanın (A.V.Yejovun) təminatlar əyrisinin modul əmsalları ilə ifadə olunmuş ordinatları, $C_s/C_v=1.0$

| p% | Variasiya əomsalı,Cv | | | | | |
|------|----------------------|------|------|------|------|--------|
| | 0,1 | 0,2 | 0,3 | 0,4 | 0,5 | 0,6 |
| 0,01 | 1,39 | 1,81 | 2,26 | 2,72 | 3,18 | 3,65 |
| 0,05 | 1,34 | 1,71 | 2,10 | 2,50 | 2,91 | 3,32 |
| 0,1 | 1,32 | 1,67 | 2,03 | 2,40 | 2,79 | 3,17 |
| 0,5 | 1,27 | 1,55 | 1,84 | 2,15 | 2,46 | 2,78 |
| 1 | 1,24 | 1,49 | 1,76 | 2,03 | 2,31 | 2,60 |
| 3 | 1,19 | 1,39 | 1,60 | 1,82 | 2,04 | 2,26 |
| 5 | 1,17 | 1,34 | 1,52 | 1,70 | 1,89 | 2,09 |
| 10 | 1,13 | 1,26 | 1,40 | 1,53 | 1,68 | 1,82 |
| 20 | 1,08 | 1,17 | 1,25 | 1,33 | 1,42 | 1,51 |
| 30 | 1,05 | 1,10 | 1,15 | 1,19 | 1,24 | 1,28 |
| 50 | 1,00 | 0,99 | 0,98 | 0,97 | 0,96 | 0,93 |
| 70 | 0,95 | 0,89 | 0,83 | 0,76 | 0,69 | 0,62 |
| 80 | 0,92 | 0,83 | 0,74 | 0,65 | 0,55 | 0,45 |
| 90 | 0,87 | 0,75 | 0,62 | 0,50 | 0,38 | 0,26 |
| 95 | 0,84 | 0,68 | 0,53 | 0,39 | 0,26 | 0,15 |
| 97 | 0,82 | 0,64 | 0,48 | 0,33 | 0,20 | 0,10 |
| 99 | 0,77 | 0,57 | 0,38 | 0,22 | 0,11 | 0,04 |
| 99,5 | 0,75 | 0,53 | 0,33 | 0,18 | 0,07 | 0,02 |
| 99,9 | 0,70 | 0,45 | 0,24 | 0,10 | 0,03 | 0,0004 |

Əlavə 3.3

H – paylanması (A.V.Yejovun) təminatlar əyrisinin
modul əmsalları ilə ifadə olunmuş ordinatları, $C_s/C_v=1.5$

| p% | Variasiya əmsali,Cv | | | | | | | |
|------|---------------------|------|------|------|------|------|-------|-------|
| | 0,1 | 0,2 | 0,3 | 0,4 | 0,5 | 0,6 | 0,7 | 0,8 |
| 0,01 | 1,40 | 1,86 | 2,37 | 2,92 | 3,51 | 4,14 | 4,80 | 5,50 |
| 0,05 | 1,35 | 1,75 | 2,18 | 2,66 | 3,16 | 3,37 | 4,27 | 4,86 |
| 0,1 | 1,33 | 1,70 | 2,10 | 2,54 | 3,00 | 3,50 | 4,02 | 4,57 |
| 0,5 | 1,27 | 1,57 | 1,89 | 2,23 | 2,6 | 2,99 | 3,40 | 3,83 |
| 1 | 1,24 | 1,51 | 1,79 | 2,09 | 2,41 | 2,75 | 3,11 | 3,48 |
| 3 | 1,20 | 1,40 | 1,62 | 1,85 | 2,09 | 2,34 | 2,61 | 2,88 |
| 5 | 1,17 | 1,35 | 1,53 | 1,72 | 1,92 | 2,13 | 2,35 | 2,57 |
| 10 | 1,13 | 1,26 | 1,40 | 1,54 | 1,68 | 1,82 | 1,97 | 2,12 |
| 20 | 1,08 | 1,17 | 1,25 | 1,32 | 1,40 | 1,48 | 1,55 | 1,61 |
| 30 | 1,05 | 1,10 | 1,14 | 1,18 | 1,21 | 1,24 | 1,26 | 1,28 |
| 50 | 1,00 | 0,99 | 0,98 | 0,96 | 0,93 | 0,90 | 0,86 | 0,81 |
| 70 | 0,95 | 0,89 | 0,83 | 0,76 | 0,69 | 0,61 | 0,54 | 0,46 |
| 80 | 0,92 | 0,83 | 0,74 | 0,65 | 0,56 | 0,47 | 0,38 | 0,30 |
| 90 | 0,87 | 0,75 | 0,63 | 0,52 | 0,41 | 0,31 | 0,22 | 0,15 |
| 95 | 0,84 | 0,69 | 0,54 | 0,42 | 0,31 | 0,21 | 0,13 | 0,08 |
| 97 | 0,82 | 0,65 | 0,50 | 0,36 | 0,25 | 0,16 | 0,09 | 0,05 |
| 99 | 0,78 | 0,58 | 0,41 | 0,27 | 0,16 | 0,09 | 0,045 | 0,019 |
| 99,5 | 0,76 | 0,54 | 0,37 | 0,23 | 0,13 | 0,06 | 0,028 | 0,011 |
| 99,9 | 0,71 | 0,47 | 0,29 | 0,15 | 0,07 | 0,03 | 0,006 | 0,002 |

χ^2 paylanması

Kvantillərin qiymətləri sərbəstlik dərəcələri ədədi, v , və əhəmiyyətlilik səviyyəsindən, $\alpha\%$, asılı olaraq verilmişdir

| $F(x)$ | 0,5 | 2,5 | 5 | 10 | 90 | 95 | 97,5 | 99,5 | |
|----------------------------------|------|--------|--------|--------|--------|--------|--------|--------|--------|
| α | 99,5 | 97,5 | 95 | 90 | 10 | 5 | 2,5 | 0,5 | |
| sərbəstlik dərəcələri ədədi, v | 3 | 0,071 | 0,216 | 0,352 | 0,584 | 6,251 | 7,815 | 9,348 | 12,838 |
| | 4 | 0,207 | 0,484 | 0,711 | 1,064 | 7,779 | 9,488 | 11,143 | 14,830 |
| | 5 | 0,412 | 0,831 | 1,145 | 1,610 | 9,236 | 11,070 | 12,282 | 16,750 |
| | 6 | 0,676 | 1,237 | 1,635 | 2,204 | 10,645 | 12,592 | 14,449 | 18,475 |
| | 7 | 0,989 | 1,690 | 2,167 | 2,833 | 12,017 | 14,067 | 16,013 | 21,278 |
| | 8 | 1,314 | 2,180 | 2,733 | 3,490 | 13,362 | 15,507 | 17,535 | 21,955 |
| | 9 | 1,735 | 2,700 | 3,325 | 4,168 | 14,684 | 16,919 | 19,023 | 23,589 |
| | 10 | 2,156 | 3,247 | 3,940 | 4,865 | 15,987 | 18,307 | 20,484 | 25,188 |
| | 11 | 2,603 | 3,816 | 4,575 | 5,578 | 17,275 | 19,675 | 21,920 | 26,757 |
| | 12 | 3,074 | 4,404 | 5,226 | 6,304 | 18,549 | 21,026 | 23,336 | 28,300 |
| | 13 | 3,565 | 5,009 | 5,892 | 7,042 | 19,812 | 22,362 | 24,736 | 29,819 |
| | 14 | 4,075 | 5,629 | 6,571 | 7,790 | 21,064 | 23,685 | 26,119 | 31,319 |
| | 15 | 4,601 | 6,262 | 7,261 | 8,547 | 22,307 | 24,996 | 27,488 | 32,804 |
| | 16 | 5,142 | 6,908 | 7,962 | 9,312 | 23,542 | 26,296 | 28,845 | 34,267 |
| | 17 | 5,697 | 7,564 | 8,672 | 10,085 | 24,769 | 27,587 | 30,191 | 35,713 |
| | 18 | 6,265 | 8,231 | 9,390 | 10,865 | 25,989 | 28,869 | 31,526 | 37,156 |
| | 19 | 6,844 | 8,907 | 10,117 | 11,651 | 27,204 | 30,144 | 32,852 | 38,582 |
| | 20 | 7,434 | 9,591 | 10,851 | 12,443 | 28,412 | 31,140 | 34,170 | 39,897 |
| | 21 | 8,034 | 10,283 | 11,591 | 13,240 | 29,615 | 32,671 | 35,479 | 41,401 |
| | 22 | 8,643 | 10,982 | 12,338 | 14,041 | 30,813 | 33,924 | 36,781 | 42,796 |
| | 23 | 9,260 | 11,688 | 13,091 | 14,848 | 32,007 | 35,172 | 38,076 | 44,181 |
| | 24 | 9,886 | 12,401 | 13,848 | 15,659 | 33,196 | 36,415 | 39,364 | 45,558 |
| | 25 | 10,520 | 13,120 | 14,671 | 16,473 | 34,382 | 37,652 | 40,646 | 46,928 |
| | 26 | 11,760 | 13,844 | 15,379 | 17,292 | 35,563 | 38,885 | 41,923 | 48,290 |
| | 27 | 11,808 | 14,573 | 16,151 | 18,114 | 36,741 | 40,113 | 42,194 | 49,645 |
| | 28 | 12,461 | 15,308 | 16,928 | 18,939 | 37,916 | 41,337 | 44,461 | 50,993 |
| | 29 | 13,121 | 16,047 | 17,708 | 19,768 | 39,087 | 42,557 | 45,722 | 52,336 |
| | 30 | 13,787 | 16,791 | 18,498 | 20,599 | 40,256 | 43,773 | 46,979 | 53,672 |

Student paylanması

Kvantillərin mütləq qiymətləri sərbəstlik dərəcələri ədədindən, və asılı olaraq birtərəfli ($\alpha\%$) və ikitərəfli ($2\alpha\%$) əhəmiyyətlilik səviyyələri üçün verilmişdir

| F(t) | 90 | 95 | 97,5 | 99,0 | 99,5 |
|--------------------------------|----|-------|-------|-------|-------|
| 2 α | 20 | 10 | 5 | 2 | 1 |
| α | 10 | 5 | 2,5 | 1 | 0,5 |
| sərbəstlik dərəcələri ədədi, v | 1 | 3,077 | 6,313 | 12,71 | 31,82 |
| | 2 | 1,885 | 2,920 | 4,302 | 6,964 |
| | 3 | 1,638 | 2,353 | 3,182 | 4,54 |
| | 4 | 1,533 | 2,132 | 2,776 | 3,746 |
| | 5 | 1,476 | 2,015 | 2,571 | 3,365 |
| | 6 | 1,439 | 1,943 | 2,446 | 3,142 |
| | 7 | 1,415 | 1,895 | 2,365 | 2,998 |
| | 8 | 1,397 | 1,859 | 2,306 | 2,897 |
| | 9 | 1,383 | 1,833 | 2,262 | 2,821 |
| | 10 | 1,372 | 1,813 | 2,228 | 2,764 |
| | 11 | 1,363 | 1,796 | 2,201 | 2,718 |
| | 12 | 1,356 | 1,782 | 2,179 | 2,681 |
| | 13 | 1,350 | 1,771 | 2,160 | 2,650 |
| | 14 | 1,345 | 1,761 | 2,145 | 2,625 |
| | 15 | 1,341 | 1,753 | 2,131 | 2,603 |
| | 16 | 1,336 | 1,746 | 2,119 | 2,583 |
| | 17 | 1,333 | 1,740 | 2,110 | 2,567 |
| | 18 | 1,330 | 1,734 | 2,101 | 2,551 |
| | 19 | 1,328 | 1,729 | 2,093 | 2,540 |
| | 20 | 1,325 | 1,725 | 2,086 | 2,528 |
| | 21 | 1,323 | 1,721 | 2,079 | 2,517 |
| | 22 | 1,321 | 1,717 | 2,074 | 2,508 |
| | 24 | 1,318 | 1,711 | 2,064 | 2,492 |
| | 26 | 1,315 | 1,706 | 2,055 | 2,478 |
| | 28 | 1,313 | 1,701 | 2,048 | 2,467 |
| | 30 | 1,310 | 1,697 | 2,042 | 2,457 |
| | 32 | 1,308 | 1,693 | 2,036 | 2,448 |
| | | | | | 2,738 |

| F(t) | 90 | 95 | 97,5 | 99,0 | 99,5 |
|------|-------|-------|-------|-------|-------|
| 2 α | 20 | 10 | 5 | 2 | 1 |
| α | 10 | 5 | 2,5 | 1 | 0,5 |
| 34 | 1,307 | 1,691 | 2,032 | 2,441 | 2,728 |
| 36 | 1,305 | 1,688 | 2,028 | 2,435 | 2,712 |
| 38 | 1,304 | 1,686 | 2,024 | 2,429 | 2,720 |
| 40 | 1,303 | 1,684 | 2,021 | 2,423 | 2,705 |
| 50 | 1,299 | 1,676 | 2,009 | 2,403 | 2,678 |
| 60 | 1,296 | 1,671 | 2,000 | 2,390 | 2,660 |
| 80 | 1,292 | 1,664 | 1,990 | 2,373 | 2,638 |
| 100 | 1,290 | 1,660 | 1,984 | 2,364 | 2,626 |
| 200 | 1,286 | 1,653 | 1,972 | 2,345 | 2,601 |
| 300 | 1,284 | 1,650 | 1,968 | 2,339 | 2,592 |
| 500 | 1,283 | 1,647 | 1,964 | 2,333 | 2,585 |

F – paylanması (Fisər paylanması)

Kvantillərin qiymətləri sərbəstlik dərcələri ədədindən, v_1 (böyük dispersiya üçün) və v_2 (kiçik dispersiya üçün) asılı olaraq $2\alpha = 10\%$ əhəmiyyətlilik seviyəsində verilmişdir

| v_2 | sərbəstlik dərcələri ədədi, v_1 | | | | | | | | | | |
|-------|-----------------------------------|------|------|------|------|------|------|------|------|------|----------|
| | 1 | 4 | 6 | 8 | 10 | 15 | 20 | 30 | 60 | 120 | ∞ |
| 1 | 161 | 225 | 234 | 239 | 242 | 246 | 248 | 250 | 252 | 253 | 254 |
| 2 | 181,5 | 19,2 | 19,3 | 19,4 | 19,4 | 19,4 | 19,4 | 19,5 | 19,5 | 19,5 | 19,5 |
| 3 | 10,1 | 9,12 | 8,94 | 8,84 | 8,78 | 8,70 | 8,66 | 8,62 | 8,57 | 8,56 | 8,53 |
| 4 | 7,71 | 6,39 | 6,16 | 6,04 | 5,69 | 5,86 | 5,80 | 5,74 | 5,68 | 5,66 | 5,63 |
| 5 | 6,61 | 5,19 | 4,95 | 4,82 | 4,47 | 4,62 | 4,56 | 4,50 | 4,42 | 4,40 | 4,63 |
| 6 | 5,99 | 4,53 | 4,28 | 4,15 | 4,06 | 3,94 | 3,87 | 3,81 | 3,72 | 3,71 | 3,67 |
| 7 | 5,59 | 4,12 | 3,87 | 3,73 | 4,63 | 3,51 | 3,44 | 3,38 | 3,28 | 3,28 | 3,23 |
| 8 | 5,32 | 3,84 | 3,58 | 3,44 | 4,34 | 3,22 | 3,15 | 3,08 | 3,00 | 2,98 | 3,93 |
| 9 | 5,12 | 3,63 | 3,37 | 3,23 | 3,13 | 3,01 | 2,93 | 2,86 | 2,77 | 2,76 | 2,71 |
| 10 | 4,96 | 3,48 | 3,22 | 3,07 | 2,97 | 2,85 | 2,77 | 2,70 | 2,61 | 2,59 | 2,54 |
| 11 | 4,84 | 3,36 | 3,09 | 2,95 | 2,86 | 2,72 | 2,65 | 2,57 | 2,47 | 2,45 | 2,40 |
| 12 | 4,75 | 3,26 | 3,00 | 2,85 | 2,76 | 2,62 | 2,54 | 2,46 | 2,36 | 2,35 | 2,30 |
| 13 | 4,67 | 3,18 | 2,92 | 2,77 | 2,67 | 2,53 | 2,46 | 2,38 | 2,28 | 2,26 | 2,21 |
| 14 | 4,60 | 3,11 | 2,85 | 2,70 | 2,60 | 2,46 | 2,39 | 2,31 | 2,21 | 2,19 | 2,13 |
| 15 | 4,54 | 3,06 | 2,79 | 2,64 | 2,55 | 2,40 | 2,33 | 2,25 | 2,15 | 2,12 | 2,07 |

| ν_2 | serbestlik daracaları adedi, V_1 | | | | | | | | ∞ | |
|----------|------------------------------------|------|------|------|------|------|------|------|----------|------|
| | 1 | 4 | 6 | 8 | 10 | 15 | 20 | 30 | | |
| 16 | 4,49 | 3,01 | 2,74 | 2,59 | 2,49 | 2,35 | 2,28 | 2,20 | 2,09 | 2,07 |
| 17 | 4,45 | 2,96 | 2,70 | 2,55 | 2,45 | 2,31 | 2,23 | 2,15 | 2,04 | 2,02 |
| 18 | 4,41 | 2,93 | 2,66 | 2,51 | 2,41 | 2,27 | 2,19 | 2,11 | 2,00 | 1,98 |
| 19 | 4,38 | 2,90 | 2,63 | 2,48 | 2,38 | 2,23 | 2,15 | 2,07 | 1,96 | 1,94 |
| 20 | 4,35 | 2,87 | 2,60 | 2,45 | 2,35 | 2,20 | 2,12 | 2,04 | 1,92 | 1,92 |
| 21 | 4,32 | 2,84 | 2,57 | 2,42 | 2,32 | 2,18 | 2,09 | 2,00 | 1,89 | 1,87 |
| 22 | 4,30 | 2,82 | 2,55 | 2,40 | 2,30 | 2,15 | 2,07 | 1,98 | 1,87 | 1,84 |
| 23 | 4,28 | 2,80 | 2,53 | 2,38 | 2,28 | 2,13 | 2,04 | 1,96 | 1,84 | 1,82 |
| 24 | 4,26 | 2,78 | 2,51 | 2,36 | 2,26 | 2,11 | 2,02 | 1,94 | 1,82 | 1,80 |
| 25 | 4,24 | 2,76 | 2,49 | 2,34 | 2,24 | 2,09 | 2,00 | 1,92 | 1,80 | 1,77 |
| 26 | 4,23 | 2,74 | 2,47 | 2,32 | 2,22 | 2,07 | 1,99 | 1,90 | 1,78 | 1,76 |
| 27 | 4,21 | 2,73 | 2,46 | 2,30 | 2,20 | 2,06 | 1,97 | 1,88 | 1,76 | 1,74 |
| 28 | 4,20 | 2,71 | 2,44 | 2,29 | 2,19 | 2,04 | 1,96 | 1,87 | 1,75 | 1,72 |
| 29 | 4,18 | 2,70 | 2,43 | 2,28 | 2,18 | 2,03 | 1,94 | 1,85 | 1,73 | 1,71 |
| 30 | 4,17 | 2,69 | 2,42 | 2,27 | 2,16 | 2,01 | 1,93 | 1,84 | 1,72 | 1,69 |
| 40 | 4,08 | 2,61 | 2,34 | 2,18 | 2,07 | 1,92 | 1,84 | 1,74 | 1,61 | 1,59 |
| 60 | 4,00 | 2,52 | 2,25 | 2,10 | 1,99 | 1,84 | 1,75 | 1,65 | 1,50 | 1,48 |
| 120 | 3,92 | 2,44 | 2,17 | 2,01 | 1,90 | 1,75 | 1,65 | 1,49 | 1,36 | 1,25 |
| ∞ | 3,84 | 2,37 | 2,09 | 1,94 | 1,83 | 1,67 | 1,57 | 1,46 | 1,28 | 1,24 |

F – paylanması (Fisər paylanması).

Kvantillərin qiymətləri sərbəstlik dərəcələri adədindən, v_1 (böyük dispersiya üçün) və v_2 (kiçik dispersiya üçün) asılı olaraq $2\alpha=5\%$ əhəmiyyətlişlik seviyyəsində verilmişdir

| v_2 | sərbəstlik dərəcələri adədi, v_1 | | | | | | | | | | ∞ |
|-------|------------------------------------|------|------|------|------|------|------|------|------|------|----------|
| | 1 | 4 | 6 | 8 | 10 | 15 | 20 | 30 | 60 | 120 | |
| 1 | 648 | 899 | 937 | 957 | 969 | 985 | 993 | 1001 | 1010 | 1014 | 1018 |
| 2 | 38,5 | 39,2 | 39,3 | 39,4 | 39,4 | 39,4 | 39,4 | 39,5 | 39,5 | 39,5 | 39,5 |
| 3 | 17,4 | 15,1 | 14,7 | 14,6 | 14,4 | 14,3 | 14,2 | 14,1 | 14,0 | 13,9 | 13,9 |
| 4 | 12,2 | 9,60 | 9,20 | 8,98 | 8,84 | 8,66 | 8,56 | 8,46 | 8,36 | 8,31 | 8,26 |
| 5 | 10,0 | 7,39 | 6,98 | 6,76 | 6,62 | 6,42 | 6,33 | 6,23 | 6,12 | 6,07 | 6,02 |
| 6 | 8,81 | 6,23 | 5,82 | 5,60 | 5,46 | 5,27 | 5,17 | 5,07 | 4,96 | 4,90 | 4,85 |
| 7 | 8,07 | 5,52 | 5,12 | 4,90 | 4,76 | 4,57 | 4,47 | 4,36 | 4,25 | 4,20 | 4,14 |
| 8 | 7,57 | 5,05 | 4,65 | 4,43 | 4,30 | 4,10 | 4,00 | 3,89 | 3,78 | 3,73 | 3,67 |
| 9 | 7,21 | 4,72 | 4,32 | 4,10 | 3,96 | 3,77 | 3,67 | 3,56 | 3,45 | 3,39 | 3,33 |
| 10 | 6,94 | 4,47 | 4,07 | 3,85 | 3,72 | 3,52 | 3,42 | 3,31 | 3,20 | 3,14 | 3,08 |
| 11 | 6,72 | 4,28 | 3,88 | 3,66 | 3,53 | 3,33 | 3,23 | 3,12 | 3,00 | 2,94 | 2,88 |
| 12 | 6,55 | 4,12 | 3,73 | 3,51 | 3,37 | 3,18 | 3,07 | 2,96 | 2,85 | 2,79 | 2,72 |
| 13 | 6,41 | 4,00 | 3,61 | 3,39 | 3,25 | 3,05 | 2,95 | 2,84 | 2,72 | 2,66 | 2,60 |
| 14 | 6,30 | 3,89 | 3,50 | 3,29 | 3,15 | 2,95 | 2,84 | 2,73 | 2,61 | 2,55 | 2,49 |
| 15 | 6,20 | 3,80 | 3,41 | 3,20 | 3,05 | 2,86 | 2,76 | 2,64 | 2,52 | 2,46 | 2,40 |

| | | sərbəstlik dərəcələri ədədi, v_1 | | | | | | | | | | | |
|----------|------|------------------------------------|------|------|------|------|------|------|------|------|----------|--|--|
| v_2 | 1 | 4 | 6 | 8 | 10 | 15 | 20 | 30 | 60 | 120 | ∞ | | |
| 16 | 6,16 | 3,73 | 3,34 | 3,12 | 2,99 | 2,79 | 2,68 | 2,57 | 2,45 | 2,38 | 2,32 | | |
| 17 | 6,04 | 3,66 | 3,28 | 3,06 | 2,92 | 2,72 | 2,62 | 2,50 | 2,39 | 2,32 | 2,25 | | |
| 18 | 5,98 | 3,61 | 3,22 | 3,01 | 2,87 | 2,67 | 2,56 | 2,44 | 2,32 | 2,26 | 2,19 | | |
| 19 | 5,92 | 3,56 | 3,17 | 2,96 | 2,82 | 2,62 | 2,51 | 2,38 | 2,27 | 2,20 | 2,13 | | |
| 20 | 5,87 | 3,55 | 3,13 | 2,91 | 2,77 | 2,57 | 2,46 | 2,35 | 2,22 | 2,16 | 2,09 | | |
| 21 | 5,83 | 3,47 | 3,09 | 2,87 | 2,73 | 2,53 | 2,42 | 2,31 | 2,18 | 2,11 | 2,04 | | |
| 22 | 5,79 | 3,44 | 3,05 | 2,84 | 2,70 | 2,50 | 2,39 | 2,27 | 2,14 | 2,08 | 2,03 | | |
| 23 | 5,75 | 3,41 | 3,02 | 2,81 | 2,67 | 2,47 | 2,36 | 2,24 | 2,11 | 2,04 | 1,97 | | |
| 24 | 5,72 | 3,38 | 2,99 | 2,78 | 2,64 | 2,44 | 2,33 | 2,21 | 2,08 | 2,01 | 1,94 | | |
| 25 | 5,69 | 3,35 | 2,97 | 2,75 | 2,61 | 2,41 | 2,30 | 2,18 | 2,05 | 1,98 | 1,91 | | |
| 26 | 5,66 | 3,33 | 2,94 | 2,72 | 2,59 | 2,39 | 2,28 | 2,16 | 2,03 | 1,95 | 1,88 | | |
| 27 | 5,63 | 3,31 | 2,92 | 2,71 | 2,57 | 2,34 | 2,25 | 2,13 | 2,00 | 1,93 | 1,85 | | |
| 28 | 5,61 | 3,29 | 2,9 | 2,69 | 2,55 | 2,34 | 2,23 | 2,11 | 1,98 | 1,91 | 1,83 | | |
| 29 | 5,59 | 3,27 | 2,88 | 2,67 | 2,53 | 2,32 | 2,21 | 2,09 | 1,96 | 1,89 | 1,81 | | |
| 30 | 5,57 | 3,25 | 2,87 | 2,65 | 2,51 | 2,31 | 2,20 | 2,07 | 1,94 | 1,87 | 1,77 | | |
| 40 | 5,42 | 3,13 | 2,74 | 2,53 | 2,39 | 2,18 | 2,07 | 1,94 | 1,80 | 1,72 | 1,74 | | |
| 60 | 5,28 | 3,01 | 2,63 | 2,41 | 2,27 | 2,06 | 1,94 | 1,82 | 1,67 | 1,58 | 1,48 | | |
| 120 | 5,15 | 3,89 | 2,52 | 2,30 | 2,16 | 1,95 | 1,82 | 1,69 | 1,53 | 1,43 | 1,31 | | |
| ∞ | 5,02 | 2,79 | 2,41 | 2,19 | 2,05 | 1,83 | 1,71 | 1,57 | 1,39 | 1,27 | 1,00 | | |

F – paylanması (Fiser paylanması)

Kvantillərin qiymətləri səbstılık dərəcləri adədindən, v_1 (böyük dispersiya üçün) və v_2 (kiçik dispersiya üçün) asılı olaraq $2\alpha=1\%$ əhəmiyyətlilik seviyəsində verilmişdir

| v_2 | səbstılık dərəcləri adədi, v_1 | | | | | | | | | | ∞ |
|-------|----------------------------------|------|------|------|-------|------|------|-------|------|------|----------|
| | 1 | 4 | 6 | 8 | 10 | 15 | 20 | 30 | 60 | 120 | |
| 2 | 198 | 199 | 199 | 199 | 199 | 199 | 199 | 199 | 199 | 199 | 199 |
| 3 | 55,6 | 46,2 | 44,8 | 44,1 | 43,7 | 43,1 | 42,8 | 42,25 | 42,1 | 42,0 | 41,8 |
| 4 | 31,3 | 23,2 | 22,0 | 21,4 | 21,10 | 20,4 | 20,2 | 19,9 | 19,6 | 19,5 | 19,3 |
| 5 | 22,8 | 15,6 | 14,5 | 14,0 | 13,6 | 13,1 | 12,9 | 12,7 | 12,4 | 12,3 | 12,1 |
| 6 | 18,6 | 12,1 | 11,1 | 10,6 | 10,3 | 9,81 | 9,59 | 9,36 | 9,12 | 9,00 | 8,88 |
| 7 | 16,2 | 10,1 | 9,16 | 8,68 | 8,38 | 7,97 | 7,75 | 7,53 | 7,31 | 7,19 | 7,08 |
| 8 | 14,7 | 8,81 | 7,95 | 7,57 | 7,21 | 6,81 | 6,61 | 6,40 | 6,18 | 6,06 | 5,95 |
| 9 | 13,6 | 7,96 | 7,13 | 8,69 | 6,42 | 6,03 | 5,83 | 5,52 | 5,41 | 5,30 | 5,19 |
| 10 | 12,8 | 7,34 | 6,51 | 6,12 | 5,85 | 5,47 | 5,27 | 5,07 | 4,86 | 4,75 | 4,64 |
| 11 | 12,2 | 6,88 | 6,10 | 5,68 | 5,42 | 5,05 | 4,68 | 4,65 | 4,45 | 4,34 | 4,23 |
| 12 | 11,7 | 6,52 | 5,76 | 5,35 | 5,09 | 4,72 | 4,53 | 4,33 | 4,12 | 4,01 | 3,90 |
| 13 | 11,4 | 6,23 | 5,48 | 5,08 | 4,82 | 4,46 | 4,27 | 3,97 | 3,76 | 3,76 | 3,44 |
| 14 | 11,1 | 6,00 | 5,26 | 4,86 | 4,60 | 4,25 | 4,06 | 3,86 | 3,66 | 3,55 | 3,26 |
| 15 | 10,8 | 5,80 | 5,08 | 4,67 | 4,42 | 4,07 | 3,88 | 3,69 | 3,48 | 3,37 | 3,26 |
| 16 | 10,6 | 5,54 | 4,91 | 4,52 | 4,24 | 3,96 | 3,73 | 3,41 | 3,33 | 3,22 | 3,11 |

| v_2 | sərbəstlik dərəcələri adədi, v_1 | | | | | | | | | | |
|----------|------------------------------------|------|------|------|------|------|------|------|------|------|----------|
| | 1 | 4 | 6 | 8 | 10 | 15 | 20 | 30 | 60 | 120 | ∞ |
| 17 | 10,4 | 5,50 | 4,78 | 4,39 | 4,14 | 3,79 | 3,61 | 3,30 | 3,21 | 3,10 | 2,98 |
| 18 | 10,2 | 5,37 | 4,66 | 4,28 | 4,03 | 3,40 | 3,50 | 3,21 | 3,10 | 2,99 | 2,87 |
| 19 | 10,1 | 5,27 | 4,56 | 4,18 | 3,93 | 3,59 | 3,40 | 3,12 | 3,00 | 2,89 | 2,78 |
| 20 | 9,94 | 5,17 | 4,47 | 4,09 | 3,85 | 3,50 | 3,32 | 3,05 | 2,92 | 2,81 | 2,69 |
| 21 | 9,83 | 5,09 | 4,39 | 4,01 | 3,77 | 3,43 | 3,24 | 3,05 | 2,84 | 2,73 | 2,61 |
| 22 | 9,73 | 5,02 | 4,32 | 3,94 | 3,70 | 3,36 | 3,18 | 2,98 | 2,77 | 2,66 | 2,55 |
| 23 | 9,63 | 4,95 | 4,26 | 3,88 | 3,64 | 3,30 | 3,12 | 2,92 | 2,71 | 2,60 | 2,48 |
| 24 | 9,55 | 4,89 | 4,20 | 3,83 | 3,59 | 3,25 | 3,06 | 2,87 | 2,66 | 2,55 | 2,43 |
| 25 | 9,48 | 4,84 | 4,15 | 3,76 | 3,54 | 3,20 | 3,01 | 2,82 | 2,61 | 2,50 | 2,38 |
| 26 | 9,41 | 4,79 | 4,10 | 3,73 | 3,49 | 3,15 | 2,97 | 2,77 | 2,56 | 2,45 | 2,33 |
| 27 | 9,34 | 4,74 | 4,06 | 3,69 | 3,44 | 3,11 | 2,93 | 2,73 | 2,52 | 2,41 | 2,29 |
| 28 | 9,28 | 4,70 | 4,02 | 3,65 | 3,41 | 3,07 | 2,89 | 2,69 | 2,48 | 2,37 | 2,25 |
| 29 | 9,23 | 4,66 | 3,98 | 3,61 | 3,38 | 3,04 | 2,86 | 2,66 | 2,45 | 2,33 | 2,21 |
| 30 | 9,18 | 4,62 | 3,95 | 3,58 | 3,34 | 3,01 | 2,82 | 2,63 | 2,42 | 2,30 | 2,18 |
| 40 | 8,83 | 4,37 | 3,71 | 3,35 | 3,12 | 2,78 | 2,59 | 2,40 | 2,18 | 2,06 | 1,93 |
| 60 | 8,48 | 4,14 | 3,49 | 3,13 | 2,90 | 2,57 | 2,39 | 2,19 | 1,96 | 1,83 | 1,69 |
| 120 | 8,18 | 3,92 | 3,25 | 2,93 | 2,71 | 2,37 | 2,19 | 1,98 | 1,73 | 1,61 | 1,43 |
| ∞ | 7,88 | 3,72 | 3,09 | 2,74 | 2,52 | 2,19 | 2,00 | 1,79 | 1,53 | 1,36 | 1,00 |

Ötme (aşma) eltimalları vəhidin hissələri ilə verilmişdir

$$P(\lambda) = 2 \sum_{k=1}^{\infty} (-1)^{k-1} e^{-2k^2\lambda^2}$$

| α | 0 | 1 | 2 | 3 | 4 | 5 | 6 | 7 | 8 | 9 |
|----------|--------|--------|--------|--------|--------|--------|--------|--------|--------|--------|
| 0,3 | 0,9960 | 0,9945 | 0,9926 | 0,9983 | 0,9997 | 0,9995 | 0,9992 | 0,9987 | 0,9981 | |
| 0,4 | 0,9972 | 0,9957 | 0,9572 | 0,9497 | 0,9415 | 0,9325 | 0,9228 | 0,9124 | 0,9013 | 0,9700 |
| 0,5 | 0,9639 | 0,8508 | 0,8368 | 0,8222 | 0,8073 | 0,7920 | 0,7746 | 0,7604 | 0,7442 | 0,8772 |
| 0,6 | 0,8643 | 0,7112 | 0,6777 | 0,6609 | 0,6440 | 0,6272 | 0,6104 | 0,5906 | 0,5770 | 0,7278 |
| 0,7 | 0,5441 | 0,5280 | 0,5120 | 0,4962 | 0,4806 | 0,4653 | 0,4503 | 0,4355 | 0,4209 | 0,5605 |
| 0,8 | 0,3927 | 0,3791 | 0,3657 | 0,3527 | 0,3499 | 0,3275 | 0,3154 | 0,3036 | 0,2921 | 0,4067 |
| 0,9 | 0,2700 | 0,2594 | 0,2492 | 0,2392 | 0,2296 | 0,2202 | 0,2111 | 0,2024 | 0,1939 | 0,1857 |
| 1 | 0,1777 | 0,1700 | 0,1626 | 0,1555 | 0,1486 | 0,1420 | 0,1356 | 0,1294 | 0,1235 | 0,1177 |
| 1,1 | 0,1122 | 0,1070 | 0,1019 | 0,0970 | 0,0924 | 0,0879 | 0,0836 | 0,0794 | 0,0755 | 0,0717 |
| 1,2 | 0,0681 | 0,0646 | 0,0613 | 0,0582 | 0,0551 | 0,0522 | 0,0495 | 0,0469 | 0,0444 | 0,0420 |
| 1,3 | 0,0397 | 0,0375 | 0,0354 | 0,0335 | 0,0316 | 0,0298 | 0,0282 | 0,0266 | 0,0250 | 0,0236 |
| 1,4 | 0,0222 | 0,0209 | 0,0197 | 0,0185 | 0,0174 | 0,0164 | 0,0154 | 0,0145 | 0,0136 | 0,0127 |
| 1,5 | 0,0120 | 0,0112 | 0,0105 | 0,0098 | 0,0092 | 0,0086 | 0,0081 | 0,0076 | 0,0071 | 0,0066 |
| 1,6 | 0,0062 | 0,0058 | 0,0054 | 0,0050 | 0,0047 | 0,0044 | 0,0041 | 0,0038 | 0,0035 | 0,0033 |
| 1,7 | 0,0032 | 0,0029 | 0,0027 | 0,0025 | 0,0023 | 0,0021 | 0,0020 | 0,0019 | 0,0017 | 0,0016 |
| 1,8 | 0,0015 | 0,0013 | 0,0012 | 0,0011 | 0,0010 | 0,0009 | 0,0009 | 0,0008 | 0,0007 | |
| 1,9 | 0,0007 | 0,0006 | 0,0005 | 0,0005 | 0,0004 | 0,0004 | 0,0004 | 0,0003 | 0,0003 | |
| 2 | 0,0003 | 0,0003 | 0,0002 | 0,0002 | 0,0002 | 0,0002 | 0,0002 | 0,0001 | 0,0001 | 0,0001 |
| 2,1 | 0,0001 | 0,0001 | 0,0001 | 0,0001 | 0,0001 | 0,0001 | 0,0001 | 0,0001 | 0,0001 | 0,0001 |
| 2,2 | 0,0001 | 0,0000 | 0,0000 | 0,0000 | 0,0000 | 0,0000 | 0,0000 | 0,0000 | 0,0000 | |
| 2,3 | 0,0000 | 0,0000 | 0,0000 | 0,0000 | 0,0000 | 0,0000 | 0,0000 | 0,0000 | 0,0000 | |

$y=f(z)$ asılılığı üçün yanlış korrelyasiya effekti (Bensona görə)

| Dayışan kəmiyyətlər | | Şərtlər | $r_{y,z}$ (aproksimasiya) | Variasiya əmsalı, C | $r_{y,z}$ (qiymətlər) |
|------------------------|-----------|---|--|---|---------------------------------|
| y | z | $r_{1,2} = 0$ | $\frac{C_2}{(C_1^2 + C_2^2)^{1/2}}$ | $C_1 = C_2$ $C_1 > C_2$ | 0,71 $>0,71$ |
| x_1x_2 | x_2 | $r_{1,2} = 0$ $r_{1,3} = 0$ $r_{2,3} = 0$ | $\frac{C_2^2}{(C_1^2 + C_2^2)^{1/2}} \left(C_2^2 + C_3^2 \right)^{1/2}$ | $C_2 > C_1, C_3$ $C_2 = 2C_1 = 2C_3$ $C_2 = 2C_1 = 3C_3$ $C_2 = 3C_1 = 3C_3$ | $>0,50$ 0,80 0,85 0,90 |
| x_1/x_2 | x_2 | $r_{1,2} = 0$ | $\frac{-C_2}{(C_1^2 + C_2^2)^{1/2}}$ | $C_2 > C_1$ $C_2 = 2C_1$ $C_2 = 3C_1$ | $<-0,70$ -0,89 -0,95 |
| x_1/x_2 | x_3/x_2 | $r_{1,2} = 0$ $r_{1,3} = 0$ $r_{2,3} = 0$ | $\frac{C_2^2}{(C_1^2 + C_2^2)^{1/2}} \left(C_2^2 + C_3^2 \right)^{1/2}$ | $C_1 > C_2, C_3$ $C_2 = 2C_1 = 2C_3$ $C_2 = 3C_1 = 3C_3$ | $>0,50$ 0,80 0,90 |

Ən çox həqiqətəbənzər metod ilə λ_2 statistikasından asılı olaraq
variasiya əmsalı, C_v , teyin etmək üçün cədvəl
(Pissonun III tip təminatlar əyirləri üçün, $C_s/C_v=1$)

| C_v | 0 | 1 | 2 | 3 | 4 | 5 | 6 | 7 | 8 | 9 |
|-------|--------|--------|--------|--------|--------|--------|--------|--------|--------|--------|
| 0,1 | 0,0022 | 0,0026 | 0,0032 | 0,0038 | 0,0044 | 0,0050 | 0,0058 | 0,0066 | 0,0074 | 0,0082 |
| 0,2 | 0,0090 | 0,0100 | 0,0111 | 0,0122 | 0,0132 | 0,0143 | 0,0157 | 0,0171 | 0,0184 | 0,0199 |
| 0,3 | 0,0212 | 0,0229 | 0,0246 | 0,0263 | 0,0280 | 0,0297 | 0,0318 | 0,0339 | 0,0360 | 0,0381 |
| 0,4 | 0,0402 | 0,0428 | 0,0454 | 0,0479 | 0,0505 | 0,0530 | 0,0562 | 0,0593 | 0,0624 | 0,0655 |
| 0,5 | 0,0686 | 0,0723 | 0,0760 | 0,0797 | 0,0835 | 0,0872 | 0,0916 | 0,0961 | 0,101 | 0,105 |
| 0,6 | 0,109 | 0,115 | 0,120 | 0,125 | 0,130 | 0,136 | 0,142 | 0,148 | 0,154 | 0,160 |
| 0,7 | 0,166 | 0,173 | 0,181 | 0,188 | 0,195 | 0,202 | 0,210 | 0,218 | 0,227 | 0,235 |
| 0,8 | 0,243 | 0,252 | 0,262 | 0,271 | 0,281 | 0,290 | 0,300 | 0,315 | 0,321 | 0,332 |
| 0,9 | 0,342 | 0,354 | 0,366 | 0,377 | 0,389 | 0,401 | 0,414 | 0,427 | 0,440 | 0,435 |
| 1 | 0,466 | 0,480 | 0,495 | 0,509 | 0,223 | 0,583 | 0,553 | 0,569 | 0,585 | 0,600 |
| 1,1 | 0,616 | 0,633 | 0,650 | 0,668 | 0,684 | 0,701 | 0,719 | 0,737 | 0,755 | 0,774 |
| 1,2 | 0,792 | | | | | | | | | |

Ən çox həqiqətəbenzər metodu ilə λ_2 statistikasından asılı olaraq variasiya əmsalını, C_v , təyin etmək üçün cədvəl

(Pissonun III tip terminatlar əyriləri üçün, $C_s/C_v=2$)

| ζ | 0 | 1 | 2 | 3 | 4 | 5 | 6 | 7 | 8 | 9 |
|---------|--------|--------|--------|--------|--------|--------|--------|--------|--------|--------|
| 0,1 | 0,0022 | 0,0026 | 0,0031 | 0,0037 | 0,0043 | 0,0049 | 0,0056 | 0,0063 | 0,0071 | 0,0079 |
| 0,2 | 0,0087 | 0,0096 | 0,0106 | 0,0116 | 0,0126 | 0,0137 | 0,0148 | 0,0160 | 0,0172 | 0,0185 |
| 0,3 | 0,0198 | 0,0212 | 0,0296 | 0,0241 | 0,0256 | 0,0271 | 0,0287 | 0,0304 | 0,0321 | 0,0339 |
| 0,4 | 0,0357 | 0,0375 | 0,0394 | 0,0414 | 0,0434 | 0,0271 | 0,0476 | 0,0497 | 0,0519 | 0,0542 |
| 0,5 | 0,0565 | 0,0589 | 0,0613 | 0,0638 | 0,0664 | 0,0454 | 0,0716 | 0,0743 | 0,0771 | 0,0799 |
| 0,6 | 0,0828 | 0,0858 | 0,0887 | 0,0918 | 0,0949 | 0,0690 | 0,101 | 0,105 | 0,108 | 0,111 |
| 0,7 | 0,1115 | 0,1118 | 0,1122 | 0,1126 | 0,1129 | 0,0981 | 0,137 | 0,141 | 0,145 | 0,149 |
| 0,8 | 0,153 | 0,157 | 0,162 | 0,166 | 0,170 | 0,133 | 0,180 | 0,184 | 0,189 | 0,194 |
| 0,9 | 0,198 | 0,203 | 0,208 | 0,213 | 0,218 | 0,175 | 0,229 | 0,234 | 0,240 | 0,245 |
| 1 | 0,251 | 0,256 | 0,262 | 0,258 | 0,274 | 0,280 | 0,286 | 0,292 | 0,298 | 0,304 |
| 1,1 | 0,311 | 0,317 | 0,323 | 0,330 | 0,337 | 0,343 | 0,350 | 0,357 | 0,364 | 0,371 |
| 1,2 | 0,378 | 0,386 | 0,393 | 0,400 | 0,408 | 0,415 | 0,423 | 0,431 | 0,438 | 0,446 |
| 1,3 | 0,454 | 0,462 | 0,471 | 0,479 | 0,487 | 0,496 | 0,504 | 0,513 | 0,521 | 0,530 |
| 1,4 | 0,539 | 0,548 | 0,557 | 0,566 | 0,575 | 0,584 | 0,594 | 0,603 | 0,613 | 0,623 |
| 1,5 | 0,632 | 0,642 | 0,652 | 0,662 | 0,672 | 0,682 | 0,692 | 0,703 | 0,713 | 0,724 |
| 1,6 | 0,734 | 0,745 | 0,756 | 0,767 | 0,772 | 0,789 | 0,800 | 0,811 | 0,823 | 0,824 |
| 1,7 | 0,846 | 0,857 | 0,860 | 0,881 | 0,893 | 0,905 | 0,917 | 0,929 | 0,911 | 0,953 |
| 1,8 | 0,966 | 0,978 | 0,991 | 1,004 | 1,016 | 1,029 | 1,042 | 1,055 | 1,069 | 1,082 |
| 1,9 | 1,095 | 1,109 | 1,122 | 1,136 | 1,150 | 1,063 | 1,177 | 1,191 | 1,205 | 1,220 |

Ən çox həqiqətəbenzər metod ilə λ_2 statistikasından asılı olaraq variasiya əmsalı, C_v , teyin etmək üçün cədvəl
(Pearsonun III tip təminatlar əyirləri üçün, $C_s/C_v=3$)

| C_v | 0 | 1 | 2 | 3 | 4 | 5 | 6 | 7 | 8 | 9 |
|-------|--------|--------|--------|--------|--------|--------|--------|--------|--------|--------|
| 0,1 | 0,0022 | 0,0026 | 0,0031 | 0,0037 | 0,0043 | 0,0048 | 0,0055 | 0,0062 | 0,0070 | 0,0078 |
| 0,2 | 0,0085 | 0,0094 | 0,0104 | 0,0113 | 0,0122 | 0,0132 | 0,0143 | 0,0154 | 0,0165 | 0,0176 |
| 0,3 | 0,0188 | 0,0191 | 0,0214 | 0,0227 | 0,0240 | 0,0253 | 0,0267 | 0,0282 | 0,0297 | 0,0311 |
| 0,4 | 0,0326 | 0,0342 | 0,0359 | 0,0375 | 0,0391 | 0,0408 | 0,0425 | 0,0443 | 0,0461 | 0,0476 |
| 0,5 | 0,0497 | 0,0526 | 0,0555 | 0,0574 | 0,0594 | 0,0614 | 0,0635 | 0,0656 | 0,0677 | |
| 0,6 | 0,0698 | 0,0720 | 0,0742 | 0,0764 | 0,0786 | 0,0808 | 0,0832 | 0,0856 | 0,0879 | 0,0903 |
| 0,7 | 0,0926 | 0,0951 | 0,0976 | 0,100 | 0,103 | 0,105 | 0,108 | 0,110 | 0,113 | 0,116 |
| 0,8 | 0,1118 | 0,1121 | 0,1124 | 0,1127 | 0,1129 | 0,1132 | 0,1135 | 0,1138 | 0,1141 | 0,1144 |
| 0,9 | 0,1417 | 0,150 | 0,153 | 0,156 | 0,159 | 0,162 | 0,165 | 0,168 | 0,171 | 0,174 |
| 1 | 0,177 | 0,181 | 0,184 | 0,187 | 0,191 | 0,194 | 0,197 | 0,201 | 0,204 | 0,208 |
| 1,1 | 0,211 | 0,215 | 0,218 | 0,222 | 0,225 | 0,229 | 0,232 | 0,236 | 0,240 | 0,243 |
| 1,2 | 0,247 | 0,251 | 0,255 | 0,258 | 0,262 | 0,266 | 0,270 | 0,274 | 0,277 | 0,281 |
| 1,3 | 0,286 | 0,289 | 0,294 | 0,298 | 0,302 | 0,306 | 0,311 | 0,315 | 0,319 | 0,323 |
| 1,4 | 0,327 | 0,332 | 0,336 | 0,340 | 0,345 | 0,349 | 0,354 | 0,358 | 0,363 | 0,367 |
| 1,5 | 0,372 | 0,376 | 0,381 | 0,386 | 0,390 | 0,395 | 0,400 | 0,404 | 0,409 | 0,414 |
| 1,6 | 0,419 | 0,424 | 0,428 | 0,433 | 0,438 | 0,443 | 0,448 | 0,453 | 0,458 | 0,463 |
| 1,7 | 0,468 | 0,474 | 0,479 | 0,484 | 0,489 | 0,495 | 0,500 | 0,505 | 0,511 | 0,516 |
| 1,8 | 0,521 | 0,527 | 0,532 | 0,538 | 0,543 | 0,549 | 0,555 | 0,560 | 0,566 | 0,572 |
| 1,9 | 0,578 | 0,584 | 0,589 | 0,595 | 0,600 | 0,606 | 0,612 | 0,618 | 0,624 | 0,630 |

Ən çox həqiqətəbenzər metod ilə λ_2 statistikasından asılı olaraq
 variasiya əmsalı, C_v , təyin etmək üçün cədvəl
 (Prisonur III tip təminatlar səyrləri üçün, $C_s/C_v=4$)

| C_v | 0 | 1 | 2 | 3 | 4 | 5 | 6 | 7 | 8 | 9 |
|-------|--------|--------|--------|--------|--------|--------|--------|--------|--------|--------|
| 0,1 | 0,0022 | 0,0026 | 0,0031 | 0,0037 | 0,0043 | 0,0048 | 0,0055 | 0,0062 | 0,0069 | 0,0076 |
| 0,2 | 0,0083 | 0,0092 | 0,0101 | 0,0110 | 0,0119 | 0,0128 | 0,0138 | 0,0148 | 0,0159 | 0,0169 |
| 0,3 | 0,0180 | 0,0192 | 0,0203 | 0,0215 | 0,0227 | 0,0239 | 0,0252 | 0,0265 | 0,0279 | 0,0292 |
| 0,4 | 0,0305 | 0,0319 | 0,0334 | 0,0348 | 0,0363 | 0,0377 | 0,0392 | 0,0408 | 0,0423 | 0,0439 |
| 0,5 | 0,0454 | 0,0471 | 0,0488 | 0,0505 | 0,0522 | 0,0538 | 0,0556 | 0,0574 | 0,0592 | 0,0609 |
| 0,6 | 0,0627 | 0,0646 | 0,0665 | 0,0683 | 0,0701 | 0,0721 | 0,0741 | 0,0760 | 0,0780 | 0,0800 |
| 0,7 | 0,0820 | 0,0840 | 0,0861 | 0,0882 | 0,0903 | 0,0923 | 0,0946 | 0,0966 | 0,0989 | 0,101 |
| 0,8 | 0,103 | 0,105 | 0,108 | 0,110 | 0,112 | 0,114 | 0,117 | 0,119 | 0,121 | 0,124 |
| 0,9 | 0,126 | 0,128 | 0,131 | 0,133 | 0,136 | 0,138 | 0,141 | 0,143 | 0,146 | 0,148 |
| 1 | 0,151 | 0,153 | 0,156 | 0,158 | 0,161 | 0,163 | 0,166 | 0,169 | 0,171 | 0,174 |
| 1,1 | 0,177 | 0,179 | 0,182 | 0,185 | 0,188 | 0,190 | 0,193 | 0,196 | 0,199 | 0,201 |
| 1,2 | 0,204 | 0,207 | 0,210 | 0,213 | 0,216 | 0,219 | 0,222 | 0,224 | 0,227 | 0,230 |
| 1,3 | 0,233 | 0,236 | 0,239 | 0,242 | 0,245 | 0,248 | 0,251 | 0,254 | 0,285 | 0,261 |
| 1,4 | 0,264 | 0,267 | 0,270 | 0,273 | 0,276 | 0,279 | 0,283 | 0,286 | 0,289 | 0,292 |
| 1,5 | 0,296 | 0,299 | 0,302 | 0,305 | 0,309 | 0,312 | 0,315 | 0,319 | 0,322 | 0,325 |
| 1,6 | 0,329 | 0,332 | 0,336 | 0,339 | 0,342 | 0,346 | 0,349 | 0,353 | 0,356 | 0,360 |
| 1,7 | 0,363 | 0,367 | 0,370 | 0,374 | 0,377 | 0,381 | 0,384 | 0,388 | 0,392 | 0,395 |
| 1,8 | 0,399 | 0,403 | 0,406 | 0,410 | 0,414 | 0,417 | 0,421 | 0,425 | 0,429 | 0,432 |
| 1,9 | 0,436 | 0,440 | 0,444 | 0,447 | 0,451 | 0,455 | 0,459 | 0,463 | 0,467 | 0,471 |

Əlavə 10.1

Dikson statistikasının, D_{mak} , böhran qiymətləri
 (əhəmiyyətlilik səviyyəsi, $\alpha \%$, sıradaxili korrelyasiya əmsalı, r ,
 sıranın uzunluğu, n , və asimmetriya əmsalından, C_s , asılı olaraq
 sıranın maksimal həddi üçün)

| α , % | Avtokorrelya siya əmsalı, r | Sıranın uzunluğu, n | | | | | | |
|--------------|-------------------------------|-----------------------|------|------|------|------|------|------|
| | | 6 | 10 | 20 | 30 | 50 | 70 | 100 |
| $C_s=0$ | | | | | | | | |
| 1 | 0 | 0,70 | 0,53 | 0,39 | 0,34 | 0,31 | 0,28 | 0,25 |
| | 0,5 | 0,70 | 0,52 | 0,38 | 0,32 | 0,28 | 0,26 | 0,23 |
| | 0,9 | 0,66 | 0,47 | 0,32 | 0,27 | 0,22 | 0,20 | 0,17 |
| 5 | 0 | 0,56 | 0,41 | 0,30 | 0,26 | 0,22 | 0,20 | 0,18 |
| | 0,5 | 0,56 | 0,40 | 0,29 | 0,25 | 0,21 | 0,19 | 0,17 |
| | 0,9 | 0,54 | 0,38 | 0,24 | 0,20 | 0,16 | 0,14 | 0,12 |
| 10 | 0 | 0,48 | 0,35 | 0,25 | 0,22 | 0,19 | 0,17 | 0,15 |
| | 0,5 | 0,48 | 0,34 | 0,24 | 0,21 | 0,18 | 0,16 | 0,14 |
| | 0,9 | 0,46 | 0,32 | 0,19 | 0,16 | 0,13 | 0,12 | 0,10 |
| $C_s=0,5$ | | | | | | | | |
| 1 | 0 | 0,74 | 0,58 | 0,48 | 0,43 | 0,39 | 0,37 | 0,33 |
| | 0,5 | 0,74 | 0,57 | 0,44 | 0,39 | 0,36 | 0,34 | 0,31 |
| | 0,9 | 0,68 | 0,54 | 0,36 | 0,30 | 0,26 | 0,24 | 0,21 |
| 5 | 0 | 0,63 | 0,48 | 0,38 | 0,33 | 0,29 | 0,26 | 0,25 |
| | 0,5 | 0,62 | 0,47 | 0,36 | 0,31 | 0,27 | 0,26 | 0,23 |
| | 0,9 | 0,56 | 0,41 | 0,28 | 0,24 | 0,19 | 0,18 | 0,26 |
| 10 | 0 | 0,55 | 0,42 | 0,32 | 0,28 | 0,24 | 0,23 | 0,21 |
| | 0,5 | 0,54 | 0,39 | 0,30 | 0,26 | 0,22 | 0,21 | 0,19 |
| | 0,9 | 0,48 | 0,35 | 0,22 | 0,19 | 0,16 | 0,15 | 0,13 |

Əlavə 10.1 (davamı)

Dikson statistikasının, D_{\max} , böhran qiymətləri
 (əhəmiyyətlilik səviyyəsi, $\alpha \%$, sıradaxılı korrelyasiya əmsalı, r ,
 sıranın uzunluğu, n , və asimmetriya əmsalından, C_s , asılı olaraq
 sıranın maksimal həddi üçün)

| α % | Avtokorrelya siya əmsalı, r | Sıranın uzunluğu, n | | | | | | |
|---------------|-------------------------------------|-----------------------|------|------|------|------|------|------|
| | | 6 | 10 | 20 | 30 | 50 | 70 | 100 |
| $C_s=1,0$ | | | | | | | | |
| 1 | 0 | 0,79 | 0,65 | 0,55 | 0,50 | 0,47 | 0,45 | 0,41 |
| | 0,5 | 0,78 | 0,63 | 0,52 | 0,47 | 0,43 | 0,41 | 0,38 |
| | 0,9 | 0,73 | 0,58 | 0,42 | 0,36 | 0,32 | 0,30 | 0,27 |
| 5 | 0 | 0,68 | 0,55 | 0,45 | 0,40 | 0,36 | 0,34 | 0,31 |
| | 0,5 | 0,67 | 0,53 | 0,43 | 0,38 | 0,33 | 0,31 | 0,38 |
| | 0,9 | 0,59 | 0,45 | 0,31 | 0,37 | 0,23 | 0,22 | 0,19 |
| 10 | 0 | 0,60 | 0,48 | 0,39 | 0,34 | 0,30 | 0,28 | 0,26 |
| | 0,5 | 0,59 | 0,45 | 0,36 | 0,31 | 0,27 | 0,26 | 0,24 |
| | 0,9 | 0,51 | 0,38 | 0,26 | 0,23 | 0,19 | 0,18 | 0,16 |
| $C_s=1,5$ | | | | | | | | |
| 1 | 0 | 0,84 | 0,71 | 0,62 | 0,57 | 0,54 | 0,51 | 0,47 |
| | 0,5 | 0,82 | 0,69 | 0,58 | 0,53 | 0,50 | 0,48 | 0,45 |
| | 0,9 | 0,75 | 0,62 | 0,46 | 0,41 | 0,37 | 0,35 | 0,31 |
| 5 | 0 | 0,73 | 0,60 | 0,51 | 0,46 | 0,42 | 0,40 | 0,37 |
| | 0,5 | 0,72 | 0,58 | 0,49 | 0,44 | 0,39 | 0,38 | 0,34 |
| | 0,9 | 0,62 | 0,49 | 0,37 | 0,32 | 0,28 | 0,26 | 0,24 |
| 10 | 0 | 0,67 | 0,54 | 0,45 | 0,40 | 0,36 | 0,34 | 0,31 |
| | 0,5 | 0,64 | 0,51 | 0,42 | 0,38 | 0,33 | 0,32 | 0,29 |
| | 0,9 | 0,53 | 0,48 | 0,31 | 0,27 | 0,23 | 0,22 | 0,18 |

Əlavə 10.1 (davamı)

Dikson statistikasının, D_{\max} , böhran qiymətləri
 (əhəmiyyətlilik səviyyəsi, $\alpha \%$, sıradaxılı korrelyasiya əmsali, r ,
 sıranın uzunluğu, n , və asimmetriya əmsalından, C_s , asılı olaraq
 sıranın maksimal həddi üçün)

| α % | Avtokorrelya siya əmsali, r | Sıranın uzunluğu, n | | | | | | |
|---------------|-------------------------------------|-----------------------|------|------|------|------|------|------|
| | | 6 | 10 | 20 | 30 | 50 | 70 | 100 |
| $C_s=2,0$ | | | | | | | | |
| 1 | 0 | 0,88 | 0,77 | 0,68 | 0,64 | 0,61 | 0,58 | 0,53 |
| | 0,5 | 0,88 | 0,76 | 0,65 | 0,61 | 0,57 | 0,54 | 0,50 |
| | 0,9 | 0,79 | 0,61 | 0,52 | 0,46 | 0,41 | 0,39 | 0,36 |
| 5 | 0 | 0,79 | 0,67 | 0,58 | 0,52 | 0,48 | 0,45 | 0,42 |
| | 0,5 | 0,77 | 0,65 | 0,55 | 0,49 | 0,44 | 0,42 | 0,39 |
| | 0,9 | 0,67 | 0,56 | 0,41 | 0,36 | 0,32 | 0,30 | 0,27 |
| 10 | 0 | 0,72 | 0,60 | 0,51 | 0,46 | 0,41 | 0,39 | 0,36 |
| | 0,5 | 0,69 | 0,57 | 0,49 | 0,44 | 0,38 | 0,36 | 0,33 |
| | 0,9 | 0,57 | 0,46 | 0,34 | 0,30 | 0,26 | 0,25 | 0,23 |
| $C_s=3,0$ | | | | | | | | |
| 1 | 0 | 0,96 | 0,87 | 0,78 | 0,74 | 0,70 | 0,67 | 0,62 |
| | 0,5 | 0,96 | 0,86 | 0,76 | 0,71 | 0,67 | 0,63 | 0,58 |
| | 0,9 | 0,91 | 0,83 | 0,69 | 0,61 | 0,55 | 0,53 | 0,49 |
| 5 | 0 | 0,88 | 0,79 | 0,69 | 0,63 | 0,58 | 0,55 | 0,50 |
| | 0,5 | 0,88 | 0,78 | 0,67 | 0,61 | 0,55 | 0,52 | 0,47 |
| | 0,9 | 0,79 | 0,69 | 0,54 | 0,48 | 0,42 | 0,39 | 0,36 |
| 10 | 0 | 0,83 | 0,72 | 0,62 | 0,56 | 0,50 | 0,47 | 0,44 |
| | 0,5 | 0,81 | 0,70 | 0,60 | 0,54 | 0,48 | 0,45 | 0,42 |
| | 0,9 | 0,69 | 0,59 | 0,46 | 0,40 | 0,35 | 0,33 | 0,30 |

Dikson statistikasının, D_{\min} , böhran qiymətləri
 (əhəmiyyətlilik səviyyəsi, $\alpha \%$, sıradaxılı korrelyasiya əmsalı, r ,
 sıranın uzunluğu, n , və asimetriya əmsalından, C_s , asılı olaraq
 sıranın minimal həddi üçün)

| α , % | Avtokorrelyा siya əmsalı, r | Sıranın uzunluğu, n | | | | | | |
|-----------------|-------------------------------------|-----------------------|------|------|------|------|------|------|
| | | 6 | 10 | 20 | 30 | 50 | 70 | 100 |
| $C_s=0$ | | | | | | | | |
| 1 | 0 | 0,70 | 0,53 | 0,39 | 0,34 | 0,28 | 0,24 | 0,21 |
| | 0,5 | 0,69 | 0,51 | 0,38 | 0,29 | 0,26 | 0,22 | 0,19 |
| | 0,9 | 0,69 | 0,49 | 0,35 | 0,25 | 0,20 | 0,19 | 0,17 |
| 5 | 0 | 0,56 | 0,41 | 0,30 | 0,26 | 0,21 | 0,19 | 0,16 |
| | 0,5 | 0,56 | 0,40 | 0,29 | 0,25 | 0,20 | 0,17 | 0,15 |
| | 0,9 | 0,56 | 0,36 | 0,24 | 0,19 | 0,15 | 0,13 | 0,12 |
| 10 | 0 | 0,48 | 0,35 | 0,25 | 0,21 | 0,17 | 0,15 | 0,13 |
| | 0,5 | 0,48 | 0,34 | 0,24 | 0,18 | 0,16 | 0,14 | 0,12 |
| | 0,9 | 0,47 | 0,30 | 0,20 | 0,15 | 0,12 | 0,11 | 0,09 |
| $C_s=0,5$ | | | | | | | | |
| 1 | 0 | 0,65 | 0,45 | 0,31 | 0,25 | 0,19 | 0,16 | 0,14 |
| | 0,5 | 0,65 | 0,45 | 0,31 | 0,25 | 0,19 | 0,16 | 0,14 |
| | 0,9 | 0,65 | 0,45 | 0,29 | 0,22 | 0,16 | 0,15 | 0,13 |
| 5 | 0 | 0,51 | 0,34 | 0,22 | 0,18 | 0,14 | 0,12 | 0,10 |
| | 0,5 | 0,51 | 0,34 | 0,22 | 0,18 | 0,14 | 0,12 | 0,10 |
| | 0,9 | 0,51 | 0,33 | 0,21 | 0,16 | 0,12 | 0,10 | 0,09 |
| 10 | 0 | 0,44 | 0,29 | 0,18 | 0,14 | 0,11 | 0,10 | 0,09 |
| | 0,5 | 0,44 | 0,29 | 0,18 | 0,14 | 0,11 | 0,10 | 0,09 |
| | 0,9 | 0,44 | 0,28 | 0,17 | 0,12 | 0,10 | 0,08 | 0,07 |

Əlavə 10.2 (davamı)

Dikson statistikasının, D_{\min} , böhran qiymətləri
 (əhəmiyyətlilik səviyyəsi, $\alpha \%$, sıradaxılı korrelyasiya əmsalı, r ,
 sıranın uzunluğu, n , və asimmetriya əmsalından, C_s , asılı olaraq
 sıranın minimal həddi üçün)

| α , % | Avtokorrelyasiya əmsalı, r | Sıranın uzunluğu, n | | | | | | |
|--------------|------------------------------|-----------------------|------|------|------|-------|------|------|
| | | 6 | 10 | 20 | 30 | 50 | 70 | 100 |
| $C_s=1,0$ | | | | | | | | |
| 1 | 0 | 0,58 | 0,38 | 0,22 | 0,17 | 0,12 | 0,09 | 0,08 |
| | 0,5 | 0,62 | 0,38 | 0,22 | 0,17 | 0,12 | 0,09 | 0,08 |
| | 0,9 | 0,66 | 0,43 | 0,26 | 0,18 | 0,12 | 0,09 | 0,08 |
| 5 | 0 | 0,44 | 0,27 | 0,16 | 0,12 | 0,08 | 0,07 | 0,06 |
| | 0,5 | 0,46 | 0,27 | 0,16 | 0,12 | 0,08 | 0,07 | 0,06 |
| | 0,9 | 0,52 | 0,30 | 0,17 | 0,13 | 0,09 | 0,07 | 0,06 |
| 10 | 0 | 0,37 | 0,23 | 0,12 | 0,09 | 0,07 | 0,06 | 0,05 |
| | 0,5 | 0,39 | 0,24 | 0,13 | 0,09 | 0,07 | 0,06 | 0,05 |
| | 0,9 | 0,42 | 0,25 | 0,14 | 0,10 | 0,07 | 0,06 | 0,05 |
| $C_s=1,5$ | | | | | | | | |
| 1 | 0 | 0,51 | 0,30 | 0,14 | 0,10 | 0,06 | 0,04 | 0,03 |
| | 0,5 | 0,57 | 0,32 | 0,17 | 0,11 | 0,07 | 0,05 | 0,04 |
| | 0,9 | 0,63 | 0,39 | 0,22 | 0,14 | 0,09 | 0,06 | 0,05 |
| 5 | 0 | 0,38 | 0,20 | 0,10 | 0,07 | 0,04 | 0,03 | 0,02 |
| | 0,5 | 0,41 | 0,22 | 0,11 | 0,07 | 0,04 | 0,03 | 0,02 |
| | 0,9 | 0,48 | 0,27 | 0,14 | 0,10 | 0,06 | 0,04 | 0,03 |
| 10 | 0 | 0,31 | 0,17 | 0,08 | 0,05 | 0,03 | 0,25 | 0,02 |
| | 0,5 | 0,34 | 0,18 | 0,09 | 0,06 | 0,04 | 0,25 | 0,02 |
| | 0,9 | 0,39 | 0,22 | 0,11 | 0,07 | 0,045 | 0,03 | 0,02 |

Əlavə 10.2 (davamı)

Dikson statistikasının, D_{\min} , böhran qiymətləri
 (əhəmiyyətlilik səviyyəsi, $\alpha \%$, sıradaxılı korrelyasiya əmsali, r ,
 sıranın uzunluğu, n , və asimetriya əmsalından, C_s , asılı olaraq
 sıranın minimal həddi üçün)

| α , % | Avtokorrelya siya əmsali, r | Sıranın uzunluğu, n | | | | | | |
|--------------|-------------------------------|-----------------------|------|-------|-------|-------|-------|--------|
| | | 6 | 10 | 20 | 30 | 50 | 70 | 100 |
| $C_s=2,0$ | | | | | | | | |
| 1 | 0 | 0,42 | 0,22 | 0,09 | 0,05 | 0,025 | 0,015 | 0,01 |
| | 0,5 | 0,52 | 0,25 | 0,11 | 0,06 | 0,03 | 0,02 | 0,01 |
| | 0,9 | 0,60 | 0,35 | 0,18 | 0,11 | 0,6 | 0,04 | 0,03 |
| 5 | 0 | 0,31 | 0,14 | 0,06 | 0,03 | 0,015 | 0,01 | 0,007 |
| | 0,5 | 0,36 | 0,17 | 0,08 | 0,04 | 0,02 | 0,01 | 0,007 |
| | 0,9 | 0,45 | 0,24 | 0,11 | 0,07 | 0,04 | 0,02 | 0,15 |
| 10 | 0 | 0,24 | 0,11 | 0,04 | 0,02 | 0,01 | 0,008 | 0,005 |
| | 0,5 | 0,29 | 0,13 | 0,05 | 0,03 | 0,01 | 0,008 | 0,005 |
| | 0,9 | 0,36 | 0,19 | 0,09 | 0,05 | 0,03 | 0,02 | 0,01 |
| $C_s=3,0$ | | | | | | | | |
| 1 | 0 | 0,32 | 0,11 | 0,02 | 0,008 | 0,002 | 0,001 | 0,000 |
| | 0,5 | 0,43 | 0,15 | 0,04 | 0,01 | 0,004 | 0,002 | 0,001 |
| | 0,9 | 0,56 | 0,29 | 0,12 | 0,07 | 0,03 | 0,015 | 0,007 |
| 5 | 0 | 0,30 | 0,06 | 0,009 | 0,003 | 0,001 | 0,000 | 0,0000 |
| | 0,5 | 0,27 | 0,09 | 0,02 | 0,006 | 0,002 | 0,001 | 0,0000 |
| | 0,9 | 0,39 | 0,18 | 0,07 | 0,03 | 0,01 | 0,005 | 0,002 |
| 10 | 0 | 0,14 | 0,04 | 0,006 | 0,002 | 0,001 | 0,000 | 0,000 |
| | 0,5 | 0,18 | 0,06 | 0,01 | 0,003 | 0,001 | 0,000 | 0,000 |
| | 0,9 | 0,30 | 0,13 | 0,05 | 0,02 | 0,006 | 0,003 | 0,001 |

Smirnov-Qrabbs statistikasının, G_{\max} , böhran qiymətləri
 (əhəmiyyətlilik səviyyəsi, $\alpha \%$, sıradaxılı korrelasiya əmsali, r ,
 sıranın uzunluğu, n , və asimetriya əmsalından, C_s , asılı olaraq
 sıranın maksimal həddi üçün)

| α , % | Avtokorrelasiya əmsali, r | Sıranın uzunluğu, n | | | | | | |
|--------------|-----------------------------|-----------------------|------|------|------|-------|------|------|
| | | 6 | 10 | 20 | 30 | 50 | 70 | 100 |
| $C_s=0$ | | | | | | | | |
| 1 | 0 | 1,95 | 2,43 | 2,94 | 3,17 | 3,38 | 3,52 | 3,54 |
| | 0,5 | 1,94 | 2,39 | 2,84 | 3,11 | 3,35 | 3,50 | 3,51 |
| | 0,9 | 1,92 | 2,30 | 2,67 | 2,86 | 3,18 | 3,10 | 3,18 |
| 5 | 0 | 1,84 | 2,17 | 2,60 | 2,79 | 3,00 | 3,10 | 3,21 |
| | 0,5 | 1,83 | 2,15 | 2,52 | 2,74 | 2,93 | 3,02 | 3,15 |
| | 0,9 | 1,80 | 2,10 | 2,37 | 2,51 | 2,67 | 2,79 | 2,90 |
| 10 | 0 | 1,75 | 2,04 | 2,44 | 2,60 | 2,851 | 2,91 | 3,02 |
| | 0,5 | 1,73 | 2,03 | 2,36 | 2,54 | 2,78 | 2,88 | 2,96 |
| | 0,9 | 1,70 | 1,99 | 2,22 | 2,34 | 2,52 | 2,62 | 2,72 |
| $C_s=0,5$ | | | | | | | | |
| 1 | 0 | 1,98 | 2,54 | 3,26 | 3,60 | 3,97 | 4,26 | 4,33 |
| | 0,5 | 1,98 | 2,50 | 3,17 | 3,52 | 3,90 | 4,21 | 4,30 |
| | 0,9 | 1,93 | 2,47 | 2,88 | 3,12 | 3,44 | 3,67 | 3,71 |
| 5 | 0 | 1,89 | 2,32 | 2,89 | 3,18 | 3,52 | 3,69 | 3,85 |
| | 0,5 | 1,88 | 2,29 | 2,80 | 3,10 | 3,43 | 3,61 | 3,74 |
| | 0,9 | 1,82 | 2,22 | 2,53 | 2,71 | 2,97 | 3,12 | 3,32 |
| 10 | 0 | 1,81 | 2,19 | 2,70 | 2,99 | 3,28 | 3,46 | 3,62 |
| | 0,5 | 1,79 | 2,16 | 2,64 | 2,88 | 3,20 | 3,39 | 3,52 |
| | 0,9 | 1,73 | 2,06 | 2,35 | 2,54 | 2,78 | 2,94 | 3,09 |

Smirnov-Qrabbs statistikasının, G_{\max} , böhran qiymətləri (əhəmiyyətlilik səviyyəsi, α %, sıradaxılı korrlasiya əmsalı, r , sıranın uzunluğu, n , və asimmetriya əmsalından, C_s , asılı olaraq sıranın maksimal həddi üçün)

| α , % | Avtokorrelaya siya əmsali, r | Sıranın uzunluğu, n | | | | | | |
|--------------|------------------------------|---------------------|------|------|------|------|------|------|
| | | 6 | 10 | 20 | 30 | 50 | 70 | 100 |
| $C_s=1,0$ | | | | | | | | |
| 1 | 0 | 2,00 | 2,64 | 3,53 | 3,96 | 4,59 | 4,96 | 5,16 |
| | 0,5 | 2,00 | 2,59 | 3,42 | 3,87 | 4,42 | 4,83 | 5,04 |
| | 0,9 | 1,96 | 2,52 | 3,06 | 3,36 | 3,72 | 4,10 | 4,18 |
| 5 | 0 | 1,93 | 2,46 | 3,18 | 3,54 | 4,00 | 4,24 | 4,47 |
| | 0,5 | 1,92 | 2,43 | 3,05 | 3,45 | 3,93 | 4,19 | 4,36 |
| | 0,9 | 1,85 | 2,29 | 2,68 | 3,92 | 3,25 | 3,50 | 4,74 |
| 10 | 0 | 1,87 | 2,34 | 2,98 | 3,34 | 3,74 | 3,98 | 4,22 |
| | 0,5 | 1,85 | 2,29 | 2,88 | 3,20 | 3,61 | 3,84 | 4,08 |
| | 0,9 | 1,77 | 2,13 | 2,49 | 2,74 | 3,05 | 3,26 | 3,47 |
| $C_s=1,5$ | | | | | | | | |
| 1 | 0 | 2,02 | 2,71 | 3,73 | 4,29 | 5,06 | 5,54 | 5,86 |
| | 0,5 | 2,02 | 2,68 | 3,58 | 4,19 | 4,90 | 5,40 | 5,76 |
| | 0,9 | 1,98 | 2,57 | 3,25 | 3,70 | 4,18 | 4,54 | 4,70 |
| 5 | 0 | 1,97 | 2,57 | 3,42 | 3,87 | 4,43 | 4,81 | 5,06 |
| | 0,5 | 1,96 | 2,53 | 3,30 | 3,74 | 4,28 | 4,70 | 4,94 |
| | 0,9 | 1,89 | 2,38 | 2,86 | 3,15 | 3,57 | 3,92 | 4,17 |
| 10 | 0 | 1,92 | 2,47 | 3,23 | 3,66 | 4,14 | 4,46 | 4,77 |
| | 0,5 | 1,90 | 2,40 | 3,11 | 3,52 | 4,00 | 4,32 | 4,60 |
| | 0,9 | 1,80 | 2,22 | 2,66 | 2,96 | 3,35 | 3,59 | 3,87 |

Əlavə 11.1 (davamı)

Smirnov-Qrabbs statistikasının, G_{\max} , böhran qiymətləri
 (əhəmiyyətlilik səviyyəsi, $\alpha \%$, sıradaxılı korrelyasiya əmsalı, r ,
 sıranın uzunluğu, n , və asimmetriya əmsalından, C_s , asılı olaraq
 sıranın maksimal həddi üçün)

| α , % | Avtokorrelyasiya əmsalı, r | Sıranın uzunluğu, n | | | | | | |
|--------------|------------------------------|-----------------------|------|------|------|------|------|------|
| | | 6 | 10 | 20 | 30 | 50 | 70 | 100 |
| $C_s=2,0$ | | | | | | | | |
| 1 | 0 | 2,03 | 2,76 | 3,91 | 4,57 | 5,49 | 6,08 | 6,51 |
| | 0,5 | 2,03 | 2,75 | 3,85 | 4,48 | 5,31 | 5,97 | 6,39 |
| | 0,9 | 1,99 | 2,65 | 3,44 | 4,04 | 4,62 | 5,01 | 5,24 |
| 5 | 0 | 2,00 | 2,65 | 3,62 | 4,14 | 4,86 | 5,30 | 5,62 |
| | 0,5 | 1,99 | 2,62 | 3,55 | 4,04 | 4,67 | 5,14 | 5,50 |
| | 0,9 | 1,92 | 2,48 | 3,06 | 3,42 | 3,92 | 4,30 | 4,58 |
| 10 | 0 | 1,96 | 2,57 | 3,44 | 3,92 | 4,49 | 4,91 | 5,28 |
| | 0,5 | 1,95 | 2,52 | 3,33 | 3,79 | 4,35 | 4,79 | 5,08 |
| | 0,9 | 1,85 | 2,33 | 2,85 | 3,17 | 3,66 | 3,94 | 4,26 |
| $C_s=3,0$ | | | | | | | | |
| 1 | 0 | 2,04 | 2,82 | 4,10 | 4,93 | 6,06 | 6,88 | 7,63 |
| | 0,5 | 2,04 | 2,82 | 4,04 | 4,87 | 5,94 | 6,68 | 7,42 |
| | 0,9 | 2,03 | 2,80 | 3,94 | 4,51 | 5,23 | 5,95 | 6,37 |
| 5 | 0 | 2,03 | 2,77 | 3,91 | 4,59 | 5,51 | 6,11 | 6,63 |
| | 0,5 | 2,03 | 2,75 | 3,84 | 4,51 | 5,34 | 6,00 | 6,41 |
| | 0,9 | 2,00 | 2,67 | 3,56 | 4,00 | 4,61 | 5,10 | 5,50 |
| 10 | 0 | 2,01 | 2,72 | 3,76 | 4,38 | 5,15 | 5,67 | 6,23 |
| | 0,5 | 2,01 | 2,68 | 3,68 | 4,28 | 5,02 | 5,56 | 5,95 |
| | 0,9 | 1,94 | 2,54 | 3,30 | 3,69 | 4,25 | 4,70 | 5,12 |

Smirnov-Qrabbs statistikasının, G_{\min} , böhran qiymətləri
 (əhəmiyyətlilik səviyyəsi, α %, sıradaxılı korrelyasiya əmsalı, r ,
 sıranın uzunluğu, n , və asimmetriya əmsalından, C_s , asılı olaraq
 sıranın minimal həddi üçün)

| α , % | Avtokorrela siya əmsalı, r | Sıranın uzunluğu, n | | | | | | |
|-----------------|------------------------------------|-----------------------|------|------|------|-------|------|------|
| | | 6 | 10 | 20 | 30 | 50 | 70 | 100 |
| $C_s=0$ | | | | | | | | |
| 1 | 0 | 1,95 | 2,43 | 2,94 | 3,17 | 3,38 | 3,52 | 3,54 |
| | 0,5 | 1,94 | 2,39 | 2,84 | 3,11 | 3,35 | 3,50 | 3,51 |
| | 0,9 | 1,92 | 2,30 | 2,67 | 2,86 | 3,08 | 3,10 | 3,18 |
| 5 | 0 | 1,84 | 2,17 | 2,60 | 2,79 | 3,00 | 3,10 | 3,21 |
| | 0,5 | 1,83 | 2,15 | 2,52 | 2,74 | 2,93 | 3,02 | 3,15 |
| | 0,9 | 1,80 | 2,10 | 2,37 | 2,51 | 2,67 | 2,79 | 2,90 |
| 10 | 0 | 1,75 | 2,04 | 2,44 | 2,60 | 2,851 | 2,91 | 3,02 |
| | 0,5 | 1,73 | 2,03 | 2,36 | 2,54 | 2,78 | 2,88 | 2,97 |
| | 0,9 | 1,70 | 2,99 | 2,22 | 2,34 | 2,52 | 2,62 | 2,72 |
| $C_s=0,5$ | | | | | | | | |
| 1 | 0 | 1,88 | 2,27 | 2,50 | 2,51 | 2,53 | 2,55 | 2,57 |
| | 0,5 | 1,90 | 2,28 | 2,53 | 2,60 | 2,63 | 2,65 | 2,65 |
| | 0,9 | 1,93 | 2,29 | 2,56 | 2,64 | 2,72 | 2,74 | 2,86 |
| 5 | 0 | 1,74 | 2,00 | 2,22 | 2,28 | 2,36 | 2,39 | 2,42 |
| | 0,5 | 1,76 | 2,02 | 2,24 | 2,30 | 2,38 | 2,41 | 2,44 |
| | 0,9 | 1,78 | 2,04 | 2,26 | 2,32 | 2,40 | 2,44 | 2,48 |
| 10 | 0 | 1,66 | 1,88 | 2,09 | 2,17 | 2,27 | 2,29 | 2,32 |
| | 0,5 | 1,65 | 1,87 | 2,07 | 2,16 | 2,26 | 2,28 | 2,31 |
| | 0,9 | 1,64 | 1,86 | 2,06 | 2,15 | 2,28 | 2,27 | 2,30 |

Əlavə 11.2 (davamı)

Smirnov-Qrabbs statistikasının, G_{\min} , böhran qiymətləri
 (əhəmiyyətlilik səviyyəsi, $\alpha \%$, siradaxılı korrelyasiya əmsali, r ,
 sıranın uzunluğu, n , və asimmetriya əmsalından, C_s , asılı olaraq
 sıranın minimal həddi üçün)

| α , % % | Avtokorrela- siya əmsali, r | Sıranın uzunluğu, n | | | | | | |
|----------------------|-----------------------------------|---------------------|------|------|------|------|------|------|
| | | 6 | 10 | 20 | 30 | 50 | 70 | 100 |
| $C_s=1,0$ | | | | | | | | |
| 1 | 0 | 1,83 | 2,09 | 2,12 | 2,12 | 2,05 | 2,03 | 2,01 |
| | 0,5 | 1,87 | 2,10 | 2,17 | 2,13 | 2,11 | 2,11 | 2,04 |
| | 0,9 | 1,92 | 2,22 | 2,40 | 2,40 | 2,40 | 2,40 | 2,40 |
| 5 | 0 | 1,66 | 1,80 | 1,91 | 1,91 | 1,91 | 1,91 | 1,91 |
| | 0,5 | 1,70 | 1,86 | 1,93 | 1,93 | 1,93 | 1,93 | 1,93 |
| | 0,9 | 1,74 | 1,94 | 2,09 | 2,09 | 2,10 | 2,10 | 2,13 |
| 10 | 0 | 1,56 | 1,70 | 1,78 | 1,80 | 1,83 | 1,83 | 1,83 |
| | 0,5 | 1,60 | 1,72 | 1,82 | 1,83 | 1,85 | 1,85 | 1,85 |
| | 0,9 | 1,65 | 1,81 | 1,95 | 1,95 | 1,96 | 1,98 | 1,99 |
| $C_s=1,5$ | | | | | | | | |
| 1 | 0 | 1,78 | 1,91 | 1,82 | 1,73 | 1,66 | 1,60 | 1,56 |
| | 0,5 | 1,83 | 1,93 | 1,87 | 1,81 | 1,70 | 1,66 | 1,61 |
| | 0,9 | 1,89 | 2,11 | 2,26 | 2,22 | 2,10 | 2,01 | 2,00 |
| 5 | 0 | 1,56 | 1,61 | 1,60 | 1,57 | 1,53 | 1,50 | 1,48 |
| | 0,5 | 1,62 | 1,69 | 1,68 | 1,62 | 1,58 | 1,54 | 1,51 |
| | 0,9 | 1,71 | 1,86 | 1,94 | 1,87 | 1,84 | 1,81 | 1,79 |
| 10 | 0 | 1,45 | 1,51 | 1,50 | 1,48 | 1,46 | 1,44 | 1,44 |
| | 0,5 | 1,52 | 1,57 | 1,56 | 1,53 | 1,51 | 1,48 | 1,47 |
| | 0,9 | 1,60 | 1,72 | 1,79 | 1,75 | 1,71 | 1,70 | 1,69 |

Əlavə 11.2 (davamı)

Smirnov-Qrabbs statistikasının, G_{\min} , böhran qiymətləri
 (əhəmiyyətlilik səviyyəsi, $\alpha \%$, sıradaxılı korrelyasiya əmsalı, r ,
 sıranın uzunluğu, n , və asimetriya əmsalından, C_s , asılı olaraq
 sıranın minimal həddi üçün)

| α , % | Avtokor- relyasiya əmsalı, r | Sıranın uzunluğu, n | | | | | | |
|-----------------|--------------------------------------|-----------------------|------|------|------|------|-------|------|
| | | 6 | 10 | 20 | 30 | 50 | 70 | 100 |
| $C_s=2,0$ | | | | | | | | |
| 1 | 0 | 1,70 | 1,71 | 1,53 | 1,44 | 1,35 | 1,28 | 1,»4 |
| | 0,5 | 1,78 | 1,77 | 1,62 | 1,53 | 1,43 | 1,35 | 1,31 |
| | 0,9 | 1,88 | 2,04 | 1,10 | 1,97 | 1,84 | 1,73 | 1,71 |
| 5 | 0 | 1,46 | 1,46 | 1,35 | 1,30 | 1,25 | 1,20 | 1,17 |
| | 0,5 | 1,54 | 1,54 | 1,44 | 1,36 | 1,29 | 1,25 | 1,22 |
| | 0,9 | 1,66 | 1,79 | 1,78 | 1,69 | 1,61 | 1,56 | 1,52 |
| 10 | 0 | 1,34 | 1,34 | 1,27 | 1,23 | 1,18 | 1,15 | 1,15 |
| | 0,5 | 1,43 | 1,43 | 1,35 | 1,29 | 1,23 | 1,20 | 1,17 |
| | 0,9 | 1,55 | 1,63 | 1,63 | 1,59 | 1,50 | 1,46 | 1,43 |
| $C_s=3,0$ | | | | | | | | |
| 1 | 0 | 1,53 | 1,38 | 1,12 | 1,04 | 0,97 | 0,92 | 0,87 |
| | 0,5 | 1,65 | 1,52 | 1,28 | 1,15 | 1,04 | 0,96 | 0,92 |
| | 0,9 | 1,83 | 1,87 | 1,84 | 1,64 | 1,46 | 1,35 | 1,31 |
| 5 | 0 | 1,26 | 1,17 | 1,02 | 0,94 | 0,89 | 0,85 | 0,82 |
| | 0,5 | 1,38 | 1,28 | 1,10 | 1,03 | 0,94 | 0,89 | 0,85 |
| | 0,9 | 1,76 | 1,63 | 1,52 | 1,41 | 1,28 | 1,21 | 1,12 |
| 10 | 0 | 1,15 | 1,08 | 0,95 | 0,89 | 0,84 | 0,081 | 0,80 |
| | 0,5 | 1,25 | 1,18 | 1,02 | 0,95 | 0,88 | 0,85 | 0,82 |
| | 0,9 | 1,50 | 1,46 | 1,38 | 1,30 | 1,17 | 1,10 | 1,04 |

Standart normal ayıri altındaki saheler

| z | 0,00 | 0,01 | 0,02 | 0,03 | 0,04 | 0,05 | 0,06 | 0,07 | 0,08 | 0,09 |
|----------|-------------|-------------|-------------|-------------|-------------|-------------|-------------|-------------|-------------|-------------|
| -4,0 | 0,0000 | 0,0000 | 0,0000 | 0,0000 | 0,0000 | 0,0000 | 0,0000 | 0,0000 | 0,0000 | 0,0000 |
| -3,9 | 0,0000 | 0,0000 | 0,0000 | 0,0000 | 0,0000 | 0,0000 | 0,0000 | 0,0000 | 0,0000 | 0,0000 |
| -3,8 | 0,0001 | 0,0001 | 0,0001 | 0,0001 | 0,0001 | 0,0001 | 0,0001 | 0,0001 | 0,0001 | 0,0001 |
| -3,7 | 0,0001 | 0,0001 | 0,0001 | 0,0001 | 0,0001 | 0,0001 | 0,0001 | 0,0001 | 0,0001 | 0,0001 |
| -3,6 | 0,0002 | 0,0002 | 0,0002 | 0,0002 | 0,0002 | 0,0002 | 0,0002 | 0,0002 | 0,0002 | 0,0002 |
| -3,5 | 0,0002 | 0,0002 | 0,0002 | 0,0002 | 0,0002 | 0,0002 | 0,0002 | 0,0002 | 0,0002 | 0,0002 |
| -3,4 | 0,0003 | 0,0003 | 0,0003 | 0,0003 | 0,0003 | 0,0003 | 0,0003 | 0,0003 | 0,0003 | 0,0003 |
| -3,3 | 0,0005 | 0,0005 | 0,0005 | 0,0004 | 0,0004 | 0,0004 | 0,0004 | 0,0004 | 0,0004 | 0,0003 |
| -3,2 | 0,0007 | 0,0007 | 0,0006 | 0,0006 | 0,0006 | 0,0006 | 0,0006 | 0,0005 | 0,0005 | 0,0005 |
| -3,1 | 0,0010 | 0,0009 | 0,0009 | 0,0009 | 0,0008 | 0,0008 | 0,0008 | 0,0008 | 0,0007 | 0,0007 |
| -3,0 | 0,0013 | 0,0013 | 0,0013 | 0,0012 | 0,0012 | 0,0011 | 0,0011 | 0,0011 | 0,0010 | 0,0010 |
| -2,9 | 0,0019 | 0,0018 | 0,0018 | 0,0017 | 0,0017 | 0,0016 | 0,0016 | 0,0015 | 0,0014 | 0,0014 |
| -2,8 | 0,0026 | 0,0025 | 0,0024 | 0,0024 | 0,0023 | 0,0023 | 0,0022 | 0,0021 | 0,0020 | 0,0019 |
| -2,7 | 0,0035 | 0,0034 | 0,0033 | 0,0032 | 0,0031 | 0,0030 | 0,0029 | 0,0028 | 0,0027 | 0,0026 |
| -2,6 | 0,0047 | 0,0045 | 0,0044 | 0,0043 | 0,0041 | 0,0040 | 0,0039 | 0,0038 | 0,0037 | 0,0036 |
| -2,5 | 0,0062 | 0,0060 | 0,0059 | 0,0057 | 0,0055 | 0,0054 | 0,0052 | 0,0051 | 0,0049 | 0,0048 |
| -2,4 | 0,0082 | 0,0080 | 0,0078 | 0,0075 | 0,0073 | 0,0071 | 0,0069 | 0,0068 | 0,0066 | 0,0064 |
| -2,3 | 0,0107 | 0,0104 | 0,0102 | 0,0099 | 0,0096 | 0,0094 | 0,0091 | 0,0089 | 0,0087 | 0,0084 |
| -2,2 | 0,0139 | 0,0136 | 0,0132 | 0,0129 | 0,0125 | 0,0122 | 0,0119 | 0,0116 | 0,0113 | 0,0110 |

| z | 0,00 | 0,01 | 0,02 | 0,03 | 0,04 | 0,05 | 0,06 | 0,07 | 0,08 | 0,09 |
|----------|-------------|-------------|-------------|-------------|-------------|-------------|-------------|-------------|-------------|-------------|
| -2,1 | 0,0179 | 0,0174 | 0,0170 | 0,0166 | 0,0162 | 0,0158 | 0,0154 | 0,0150 | 0,0146 | 0,0143 |
| -2,0 | 0,0228 | 0,0222 | 0,0217 | 0,0212 | 0,0207 | 0,0202 | 0,0197 | 0,0192 | 0,0188 | 0,0183 |
| -1,9 | 0,0287 | 0,0281 | 0,0274 | 0,0268 | 0,0262 | 0,0256 | 0,0250 | 0,0244 | 0,0239 | 0,0233 |
| -1,8 | 0,0359 | 0,0351 | 0,0344 | 0,0336 | 0,0329 | 0,0322 | 0,0314 | 0,0307 | 0,0301 | 0,0294 |
| -1,7 | 0,0446 | 0,0436 | 0,0427 | 0,0418 | 0,0409 | 0,0401 | 0,0392 | 0,0384 | 0,0375 | 0,0367 |
| -1,6 | 0,0548 | 0,0537 | 0,0526 | 0,0516 | 0,0505 | 0,0495 | 0,0485 | 0,0475 | 0,0465 | 0,0455 |
| -1,5 | 0,0668 | 0,0655 | 0,0643 | 0,0630 | 0,0618 | 0,0606 | 0,0594 | 0,0582 | 0,0571 | 0,0559 |
| -1,4 | 0,0808 | 0,0793 | 0,0778 | 0,0764 | 0,0749 | 0,0735 | 0,0721 | 0,0708 | 0,0694 | 0,0681 |
| -1,3 | 0,0968 | 0,0951 | 0,0934 | 0,0918 | 0,0901 | 0,0885 | 0,0869 | 0,0853 | 0,0838 | 0,0823 |
| -1,2 | 0,1151 | 0,1131 | 0,1112 | 0,1093 | 0,1075 | 0,1056 | 0,1038 | 0,1020 | 0,1003 | 0,0985 |
| -1,1 | 0,1357 | 0,1335 | 0,1314 | 0,1292 | 0,1271 | 0,1251 | 0,1230 | 0,1210 | 0,1190 | 0,1170 |
| -1,0 | 0,1587 | 0,1562 | 0,1539 | 0,1515 | 0,1492 | 0,1469 | 0,1446 | 0,1423 | 0,1401 | 0,1379 |
| -0,9 | 0,1841 | 0,1814 | 0,1788 | 0,1762 | 0,1736 | 0,1711 | 0,1685 | 0,1660 | 0,1635 | 0,1611 |
| -0,8 | 0,2119 | 0,2090 | 0,2061 | 0,2033 | 0,2005 | 0,1977 | 0,1949 | 0,1922 | 0,1894 | 0,1867 |
| -0,7 | 0,2420 | 0,2389 | 0,2358 | 0,2327 | 0,2297 | 0,2266 | 0,2236 | 0,2206 | 0,2177 | 0,2148 |
| -0,6 | 0,2743 | 0,2709 | 0,2676 | 0,2643 | 0,2611 | 0,2578 | 0,2546 | 0,2514 | 0,2483 | 0,2451 |
| -0,5 | 0,3085 | 0,3050 | 0,3015 | 0,2981 | 0,2946 | 0,2912 | 0,2877 | 0,2843 | 0,2810 | 0,2776 |
| -0,4 | 0,3446 | 0,3409 | 0,3372 | 0,3336 | 0,3300 | 0,3264 | 0,3228 | 0,3192 | 0,3156 | 0,3121 |
| -0,3 | 0,3821 | 0,3783 | 0,3745 | 0,3707 | 0,3669 | 0,3632 | 0,3594 | 0,3557 | 0,3520 | 0,3483 |
| -0,2 | 0,4207 | 0,4168 | 0,4129 | 0,4090 | 0,4052 | 0,4013 | 0,3974 | 0,3936 | 0,3897 | 0,3859 |
| -0,1 | 0,4602 | 0,4562 | 0,4522 | 0,4483 | 0,4430 | 0,4404 | 0,4364 | 0,4325 | 0,4286 | 0,4247 |

| z | 0,00 | 0,01 | 0,02 | 0,03 | 0,04 | 0,05 | 0,06 | 0,07 | 0,08 | 0,09 |
|----------|-------------|-------------|-------------|-------------|-------------|-------------|-------------|-------------|-------------|-------------|
| 0,0 | 0,5000 | 0,5040 | 0,5080 | 0,5120 | 0,5160 | 0,5199 | 0,5239 | 0,5279 | 0,5319 | 0,5359 |
| 0,1 | 0,5398 | 0,5438 | 0,5478 | 0,5517 | 0,5557 | 0,5596 | 0,5636 | 0,5675 | 0,5714 | 0,5753 |
| 0,2 | 0,5793 | 0,5832 | 0,5871 | 0,5910 | 0,5948 | 0,5987 | 0,6026 | 0,6064 | 0,6103 | 0,6141 |
| 0,3 | 0,6179 | 0,6217 | 0,6255 | 0,6293 | 0,6331 | 0,6368 | 0,6406 | 0,6443 | 0,6480 | 0,6517 |
| 0,4 | 0,6554 | 0,6591 | 0,6628 | 0,6664 | 0,6700 | 0,6736 | 0,6772 | 0,6808 | 0,6844 | 0,6879 |
| 0,5 | 0,6915 | 0,6950 | 0,6985 | 0,7019 | 0,7054 | 0,7088 | 0,7123 | 0,7157 | 0,7190 | 0,7224 |
| 0,6 | 0,7257 | 0,7291 | 0,7324 | 0,7357 | 0,7389 | 0,7422 | 0,7454 | 0,7486 | 0,7517 | 0,7549 |
| 0,7 | 0,7580 | 0,7611 | 0,7642 | 0,7673 | 0,7704 | 0,7734 | 0,7764 | 0,7794 | 0,7823 | 0,7852 |
| 0,8 | 0,7881 | 0,7910 | 0,7939 | 0,7967 | 0,7995 | 0,8023 | 0,8051 | 0,8078 | 0,8106 | 0,8133 |
| 0,9 | 0,8159 | 0,8186 | 0,8212 | 0,8238 | 0,8264 | 0,8289 | 0,8315 | 0,8340 | 0,8365 | 0,8389 |
| 1,0 | 0,8413 | 0,8438 | 0,8461 | 0,8485 | 0,8508 | 0,8531 | 0,8554 | 0,8577 | 0,8599 | 0,8621 |
| 1,1 | 0,8643 | 0,8665 | 0,8686 | 0,8708 | 0,8729 | 0,8749 | 0,8770 | 0,8790 | 0,8810 | 0,8830 |
| 1,2 | 0,8849 | 0,8869 | 0,8888 | 0,8907 | 0,8925 | 0,8944 | 0,8962 | 0,8980 | 0,8997 | 0,9015 |
| 1,3 | 0,9032 | 0,9049 | 0,9066 | 0,9082 | 0,9099 | 0,9115 | 0,9131 | 0,9147 | 0,9162 | 0,9177 |
| 1,4 | 0,9192 | 0,9207 | 0,9222 | 0,9236 | 0,9251 | 0,9265 | 0,9279 | 0,9292 | 0,9306 | 0,9319 |
| 1,5 | 0,9332 | 0,9345 | 0,9357 | 0,9370 | 0,9382 | 0,9394 | 0,9406 | 0,9418 | 0,9429 | 0,9441 |
| 1,6 | 0,9452 | 0,9463 | 0,9474 | 0,9484 | 0,9495 | 0,9505 | 0,9515 | 0,9525 | 0,9535 | 0,9545 |
| 1,7 | 0,9554 | 0,9564 | 0,9573 | 0,9582 | 0,9591 | 0,9599 | 0,9608 | 0,9616 | 0,9625 | 0,9633 |
| 1,8 | 0,9641 | 0,9649 | 0,9656 | 0,9664 | 0,9671 | 0,9678 | 0,9686 | 0,9693 | 0,9699 | 0,9706 |
| 1,9 | 0,9713 | 0,9719 | 0,9726 | 0,9732 | 0,9738 | 0,9944 | 0,9875 | 0,9756 | 0,9761 | 0,9767 |
| 2,0 | 0,9772 | 0,9778 | 0,9783 | 0,9788 | 0,9793 | 0,9798 | 0,9803 | 0,9808 | 0,9812 | 0,9817 |

| z | 0,00 | 0,01 | 0,02 | 0,03 | 0,04 | 0,05 | 0,06 | 0,07 | 0,08 | 0,09 |
|----------|-------------|-------------|-------------|-------------|-------------|-------------|-------------|-------------|-------------|-------------|
| 2,1 | 0,9821 | 0,9826 | 0,9830 | 0,9834 | 0,9838 | 0,9842 | 0,9846 | 0,9850 | 0,9854 | 0,9857 |
| 2,2 | 0,9861 | 0,9866 | 0,9868 | 0,9871 | 0,9875 | 0,9878 | 0,9881 | 0,9884 | 0,9887 | 0,9890 |
| 2,3 | 0,9893 | 0,9902 | 0,9901 | 0,9898 | 0,9901 | 0,9904 | 0,9906 | 0,9911 | 0,9913 | 0,9917 |
| 2,4 | 0,9918 | 0,9940 | 0,9922 | 0,9925 | 0,9927 | 0,9929 | 0,9931 | 0,9932 | 0,9934 | 0,9936 |
| 2,5 | 0,9938 | 0,9941 | 0,9943 | 0,9945 | 0,9946 | 0,9948 | 0,9949 | 0,9951 | 0,9952 | 0,9952 |
| 2,6 | 0,9953 | 0,9966 | 0,9956 | 0,9957 | 0,9959 | 0,9960 | 0,9961 | 0,9962 | 0,9963 | 0,9964 |
| 2,7 | 0,9965 | 0,9975 | 0,9967 | 0,9968 | 0,9969 | 0,9970 | 0,9971 | 0,9972 | 0,9973 | 0,9974 |
| 2,8 | 0,9974 | 0,9982 | 0,9976 | 0,9977 | 0,9977 | 0,9978 | 0,9979 | 0,9979 | 0,9980 | 0,9981 |
| 2,9 | 0,9981 | 0,9987 | 0,9982 | 0,9983 | 0,9984 | 0,9985 | 0,9986 | 0,9986 | 0,9986 | 0,9986 |
| 3,0 | 0,9987 | 0,9991 | 0,9991 | 0,9992 | 0,9992 | 0,9992 | 0,9993 | 0,9993 | 0,9993 | 0,9993 |
| 3,1 | 0,9990 | 0,9993 | 0,9993 | 0,9994 | 0,9994 | 0,9994 | 0,9995 | 0,9995 | 0,9995 | 0,9995 |
| 3,2 | 0,9993 | 0,9995 | 0,9995 | 0,9996 | 0,9996 | 0,9996 | 0,9996 | 0,9996 | 0,9996 | 0,9996 |
| 3,3 | 0,9995 | 0,9997 | 0,9997 | 0,9998 | 0,9998 | 0,9998 | 0,9999 | 0,9999 | 0,9999 | 0,9999 |
| 3,4 | 0,9997 | 0,9998 | 0,9997 | 0,9997 | 0,9997 | 0,9997 | 0,9998 | 0,9998 | 0,9998 | 0,9998 |
| 3,5 | 0,9998 | 0,9998 | 0,9998 | 0,9998 | 0,9998 | 0,9998 | 0,9998 | 0,9998 | 0,9998 | 0,9998 |
| 3,6 | 0,9998 | 0,9998 | 0,9998 | 0,9999 | 0,9999 | 0,9999 | 0,9999 | 0,9999 | 0,9999 | 0,9999 |
| 3,7 | 0,9999 | 0,9999 | 0,9999 | 0,9999 | 0,9999 | 0,9999 | 0,9999 | 0,9999 | 0,9999 | 0,9999 |
| 3,8 | 1,0000 | 1,0000 | 1,0000 | 1,0000 | 1,0000 | 1,0000 | 1,0000 | 1,0000 | 1,0000 | 1,0000 |
| 3,9 | 1,0000 | 1,0000 | 1,0000 | 1,0000 | 1,0000 | 1,0000 | 1,0000 | 1,0000 | 1,0000 | 1,0000 |
| 4,0 | 1,0000 | 1,0000 | 1,0000 | 1,0000 | 1,0000 | 1,0000 | 1,0000 | 1,0000 | 1,0000 | 1,0000 |

Kolmoqorov – Smirnov statistikasının böhran qiymətləri

| Sıranın uzunluğu | Əhəmiyyətlilik səviyyəsi | | | | |
|-------------------------|--------------------------|-------------------------|-------------------------|-------------------------|-------------------------|
| | 0,20 | 0,15 | 0,10 | 0,05 | 0,01 |
| 1 | 0,900 | 0,925 | 0,950 | 0,975 | 0,995 |
| 2 | 0,684 | 0,726 | 0,776 | 0,842 | 0,929 |
| 3 | 0,585 | 0,597 | 0,642 | 0,708 | 0,829 |
| 4 | 0,494 | 0,525 | 0,564 | 0,624 | 0,734 |
| 5 | 0,446 | 0,474 | 0,510 | 0,563 | 0,669 |
| 6 | 0,410 | 0,436 | 0,470 | 0,521 | 0,618 |
| 7 | 0,381 | 0,405 | 0,438 | 0,486 | 0,577 |
| 8 | 0,358 | 0,381 | 0,411 | 0,457 | 0,543 |
| 9 | 0,339 | 0,360 | 0,388 | 0,432 | 0,514 |
| 10 | 0,322 | 0,342 | 0,368 | 0,409 | 0,486 |
| 11 | 0,307 | 0,326 | 0,352 | 0,391 | 0,468 |
| 12 | 0,295 | 0,313 | 0,338 | 0,375 | 0,450 |
| 13 | 0,284 | 0,302 | 0,325 | 0,361 | 0,433 |
| 14 | 0,274 | 0,292 | 0,314 | 0,349 | 0,418 |
| 15 | 0,266 | 0,283 | 0,304 | 0,338 | 0,404 |
| 16 | 0,258 | 0,274 | 0,295 | 0,328 | 0,391 |
| 17 | 0,250 | 0,266 | 0,286 | 0,318 | 0,380 |
| 18 | 0,244 | 0,259 | 0,278 | 0,309 | 0,370 |
| 19 | 0,237 | 0,252 | 0,272 | 0,301 | 0,361 |
| 20 | 0,231 | 0,246 | 0,264 | 0,294 | 0,352 |
| 25 | 0,210 | 0,220 | 0,240 | 0,264 | 0,320 |
| 30 | 0,190 | 0,200 | 0,220 | 0,242 | 0,290 |
| 35 | 0,180 | 0,190 | 0,210 | 0,230 | 0,270 |
| 40 | | | | 0,210 | 0,250 |
| 50 | | | | 0,190 | 0,230 |
| 60 | | | | 0,170 | 0,210 |
| 70 | | | | 0,160 | 0,190 |
| 80 | | | | 0,150 | 0,180 |
| 90 | | | | 0,140 | |
| 100 | | | | 0,140 | |
| Asimptotik düsturlar | $\frac{1.07}{\sqrt{n}}$ | $\frac{1.14}{\sqrt{n}}$ | $\frac{1.22}{\sqrt{n}}$ | $\frac{1.36}{\sqrt{n}}$ | $\frac{1.63}{\sqrt{n}}$ |

Qamma funksiyası

| z | $\Gamma(z)$ | z | $\Gamma(z)$ | z | $\Gamma(z)$ |
|------|-------------|------|-------------|------|-------------|
| 1.00 | 1.00000 | 1.34 | 0.89222 | 1.68 | 0.90500 |
| 1.01 | 0.99433 | 1.35 | 0.89115 | 1.69 | 0.90678 |
| 1.02 | 0.98884 | 1.36 | 0.89018 | 1.70 | 0.90864 |
| 1.03 | 0.98355 | 1.37 | 0.88931 | 1.71 | 0.91057 |
| 1.04 | 0.97844 | 1.38 | 0.88854 | 1.72 | 0.91258 |
| 1.05 | 0.97350 | 1.39 | 0.88785 | 1.73 | 0.91467 |
| 1.06 | 0.96874 | 1.40 | 0.88726 | 1.74 | 0.91683 |
| 1.07 | 0.96415 | 1.41 | 0.88676 | 1.75 | 0.91906 |
| 1.08 | 0.95973 | 1.42 | 0.88636 | 1.76 | 0.92137 |
| 1.09 | 0.95546 | 1.43 | 0.88604 | 1.77 | 0.92376 |
| 1.10 | 0.95135 | 1.44 | 0.88581 | 1.78 | 0.92623 |
| 1.11 | 0.94740 | 1.45 | 0.88566 | 1.79 | 0.92877 |
| 1.12 | 0.94359 | 1.46 | 0.88560 | 1.80 | 0.93138 |
| 1.13 | 0.93993 | 1.47 | 0.88563 | 1.81 | 0.93408 |
| 1.14 | 0.93642 | 1.48 | 0.88575 | 1.82 | 0.93685 |
| 1.15 | 0.93304 | 1.49 | 0.88595 | 1.83 | 0.93969 |
| 1.16 | 0.92980 | 1.50 | 0.88623 | 1.84 | 0.94261 |
| 1.17 | 0.92670 | 1.51 | 0.88659 | 1.85 | 0.94561 |
| 1.18 | 0.92373 | 1.52 | 0.88704 | 1.86 | 0.94869 |
| 1.19 | 0.92089 | 1.53 | 0.88757 | 1.87 | 0.95184 |
| 1.20 | 0.91817 | 1.54 | 0.88818 | 1.88 | 0.95507 |
| 1.21 | 0.91558 | 1.55 | 0.88887 | 1.89 | 0.95838 |
| 1.22 | 0.91311 | 1.56 | 0.88964 | 1.90 | 0.96177 |
| 1.23 | 0.91075 | 1.57 | 0.89049 | 1.91 | 0.96523 |
| 1.24 | 0.90852 | 1.58 | 0.89142 | 1.92 | 0.96877 |
| 1.25 | 0.90640 | 1.59 | 0.89243 | 1.93 | 0.97240 |
| 1.26 | 0.90440 | 1.60 | 0.89352 | 1.94 | 0.97610 |
| 1.27 | 0.90250 | 1.61 | 0.89468 | 1.95 | 0.97988 |
| 1.28 | 0.90072 | 1.62 | 0.89592 | 1.96 | 0.98768 |
| 1.29 | 0.89904 | 1.63 | 0.89724 | 1.97 | 0.99171 |
| 1.30 | 0.89747 | 1.64 | 0.89864 | 1.98 | 0.99581 |
| 1.31 | 0.89600 | 1.65 | 0.90012 | 1.99 | 1.00000 |
| 1.32 | 0.89464 | 1.66 | 0.90167 | 2.00 | |
| 1.33 | 0.89338 | 1.67 | 0.90330 | | |

Korrelyasiya əmsalının böhran qiymətləri

| Sıranın uzunluğu | Müxtəlif etibarlılıq səviyyələrində, %, korrelyasiya əmsalının böhran qiymətləri | | | |
|---------------------|---|------|------|------|
| | 10 | 5 | 2 | 1 |
| 20 | 0.36 | 0.42 | 0.49 | 0.54 |
| 25 | 0.32 | 0.38 | 0.45 | 0.49 |
| 30 | 0.30 | 0.35 | 0.41 | 0.45 |
| 40 | 0.26 | 0.30 | 0.36 | 0.39 |
| 50 | 0.23 | 0.27 | 0.32 | 0.35 |
| 60 | 0.21 | 0.25 | 0.29 | 0.32 |
| 70 | 0.20 | 0.23 | 0.27 | 0.30 |
| 80 | 0.18 | 0.22 | 0.26 | 0.28 |
| 90 | 0.17 | 0.21 | 0.24 | 0.27 |
| 100 | 0.16 | 0.16 | 0.23 | 0.25 |

QEYDLƏR ÜÇÜN

QEYDLƏR ÜÇÜN

F.Ə.İmanov

HİDROMETEOROLOGİYADA STATİSTİK METODLAR

Yığılmağa verilmiştir: 12.04.2011

Çapa imzalanmıştır: 01.06.2011

Tiraj 300; ş.ç.v. 17

«MBM» MMC mətbəəsində
çap olunmuşdur